



# **Generación de escenarios de cambio climático de alta resolución para aplicaciones en la toma de decisiones en agricultura**

**Dr. Luis Morales S.**

Laboratorio de Investigación en Ciencias Ambientales (LARES)

Dept. Cs. Amb. y Recursos Naturales Ren

Facultad de Ciencias Agronómicas

Universidad de Chile



**A2C2**

Adaptación de la **Agricultura**  
al **Cambio Climático**

Universidad de Talca

En Chile la variabilidad natural del clima genera cíclicamente eventos climáticos extremos, como inundaciones, tormentas severas, sequías, nevazones, granizadas y heladas. Estos eventos hacen que nuestro país sea considerado como vulnerable frente al cambio climático global, sin embargo, los gobiernos en Chile han fomentado estudios que nos ayuden a enfrentar con éxito la posibilidad de enfrentar impactos relevantes en la agricultura.

En términos generales, estudios locales, señalan una disminución de las precipitaciones y un aumento de la temperatura, sumado a cambios en la variabilidad climática. Estos cambios pueden generar peligros y riesgos que afectaran a la agricultura.

Uno de los principales problemas radica en la resolución de cálculo a nivel espacial, por ejemplo 25 km, inadecuada para aplicarla en agricultura.

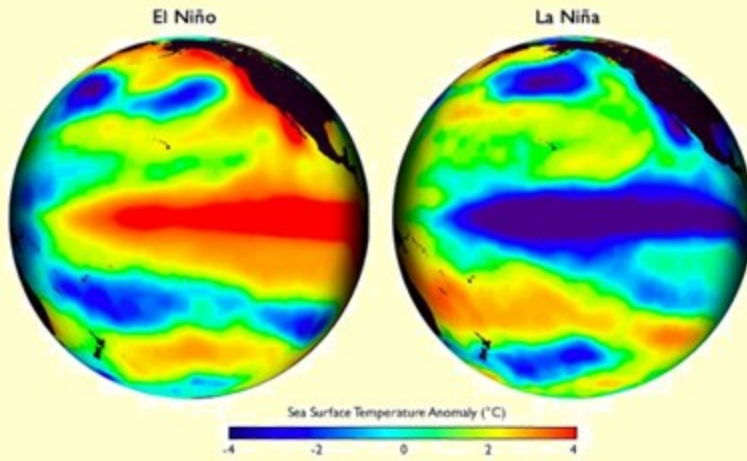
Producto de lo anterior, para realizar evaluaciones del impacto del cambio climático en la agricultura se requieren datos modelados espacialmente en alta resolución, por lo menos a 1 km.

Sin esta apropiada resolución es complejo que las evaluaciones realizadas a partir de ellos puedan convertirse en herramientas de planificación apropiadas para el sector agrícola, en especial al riego.

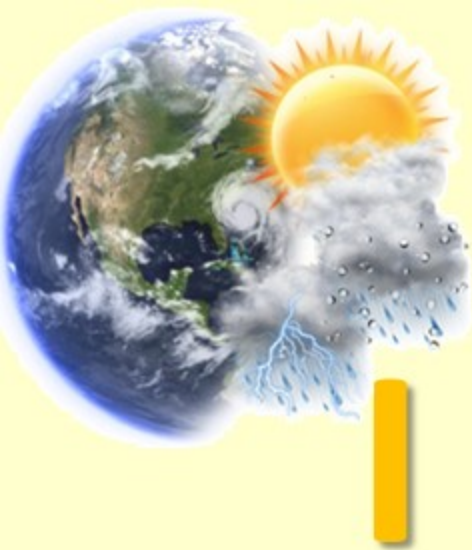
# CLIMA

## Variabilidad climática

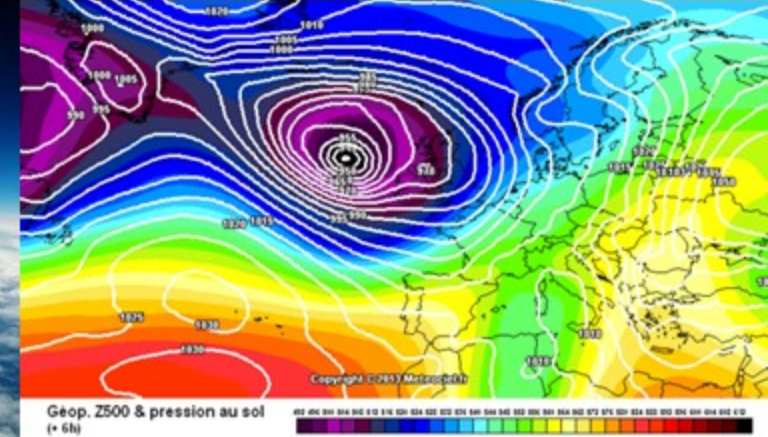
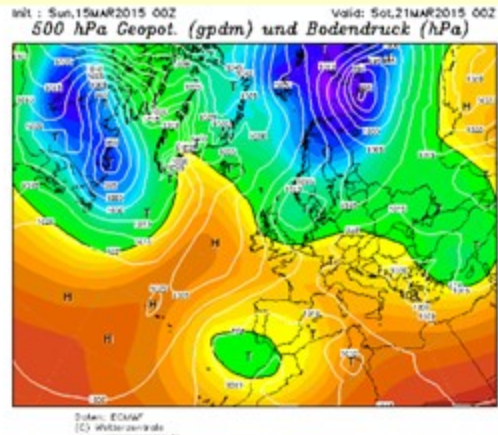
## Cambio climático







# MODELOS DE CIRCULACION GENERAL DE LA ATMOSFERA (GCM)

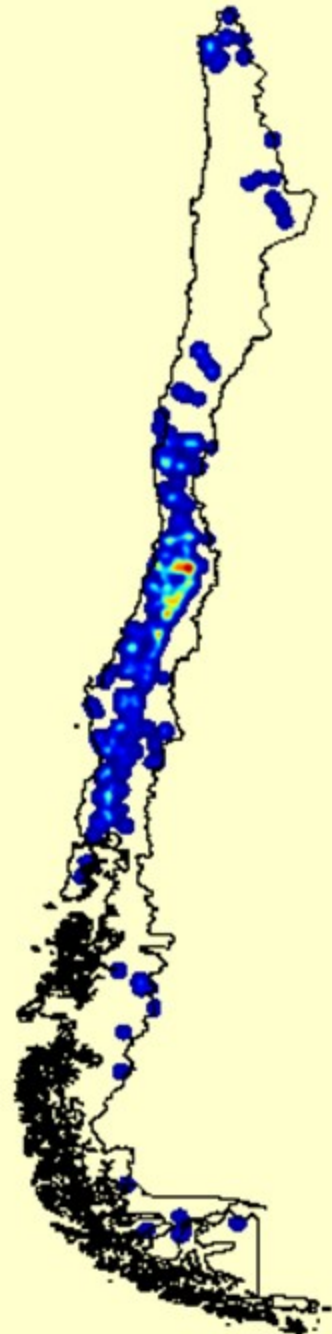
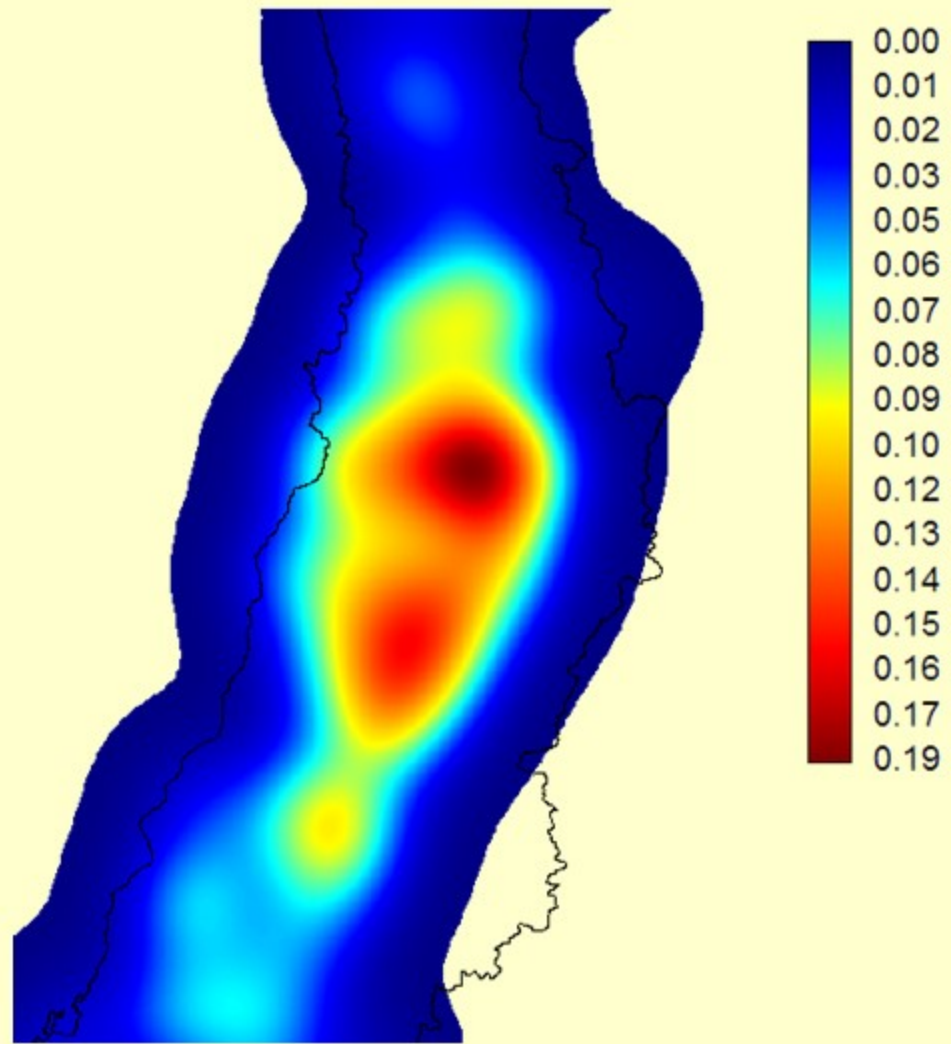


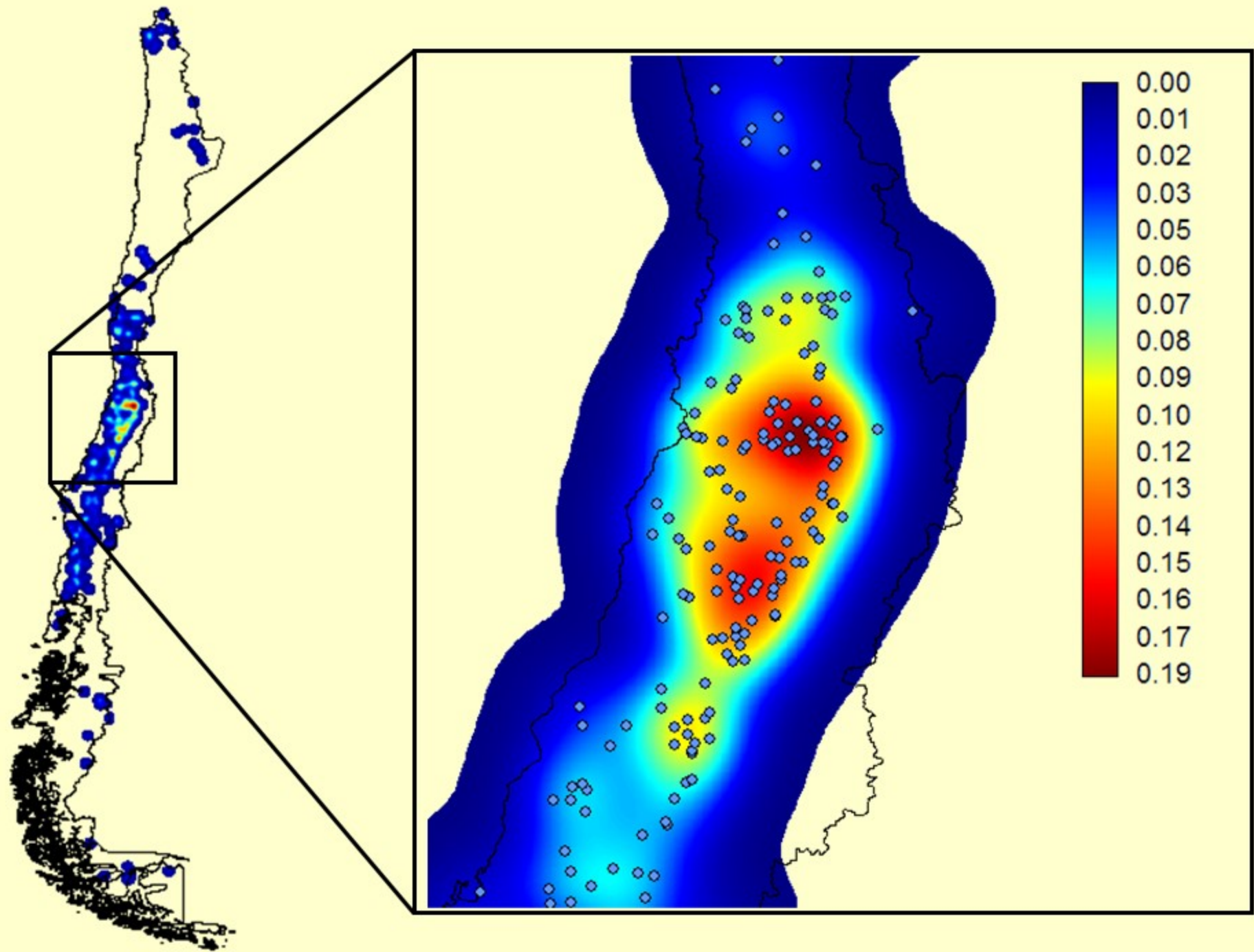
Geop. Z500 & pression au sol  
(+ 6h)

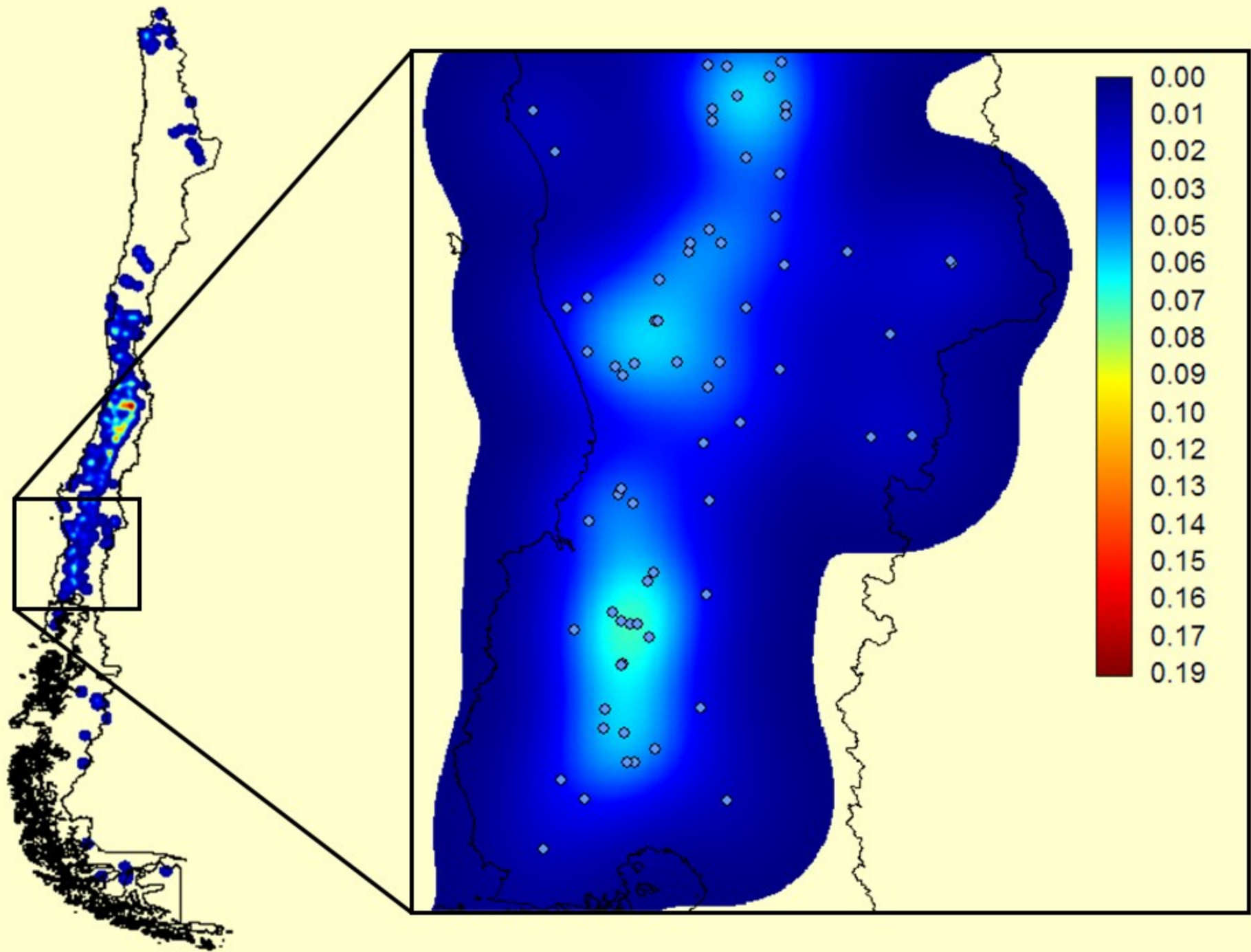
402 404 406 408 410 412 414 416 418 420 422 424 426 428 430 432 434 436 438 440 442 444 446 448 450 452 454 456 458 460 462 464 466 468 470 472 474 476 478 480 482 484 486 488 490 492 494 496 498 499 500

# PROBLEMAS?

Densidad espacial de la red de EMAs

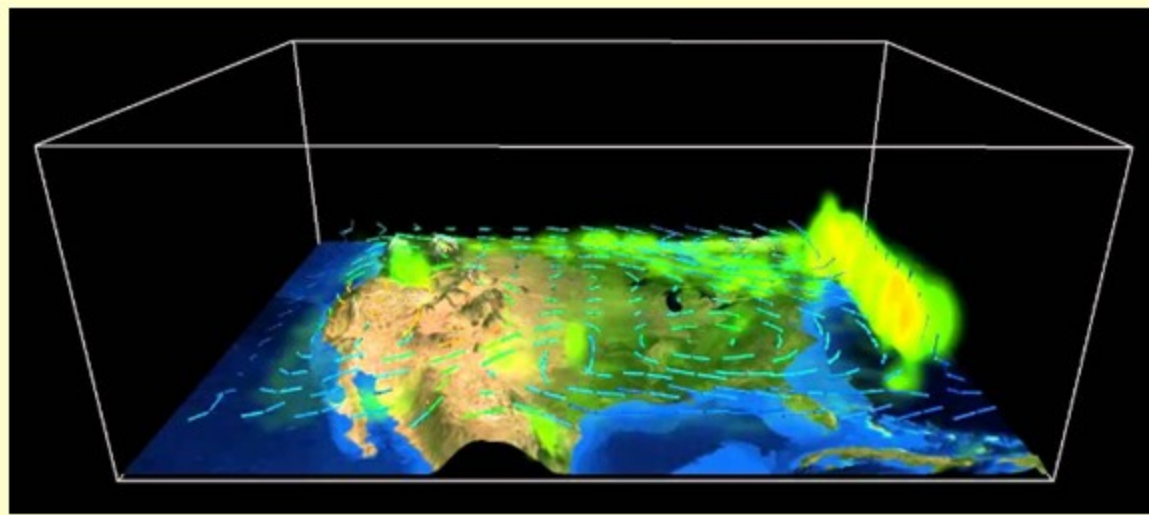
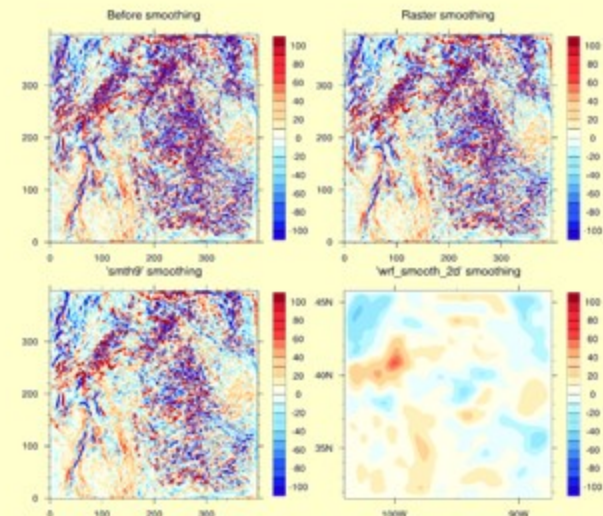






# SOLUCION?

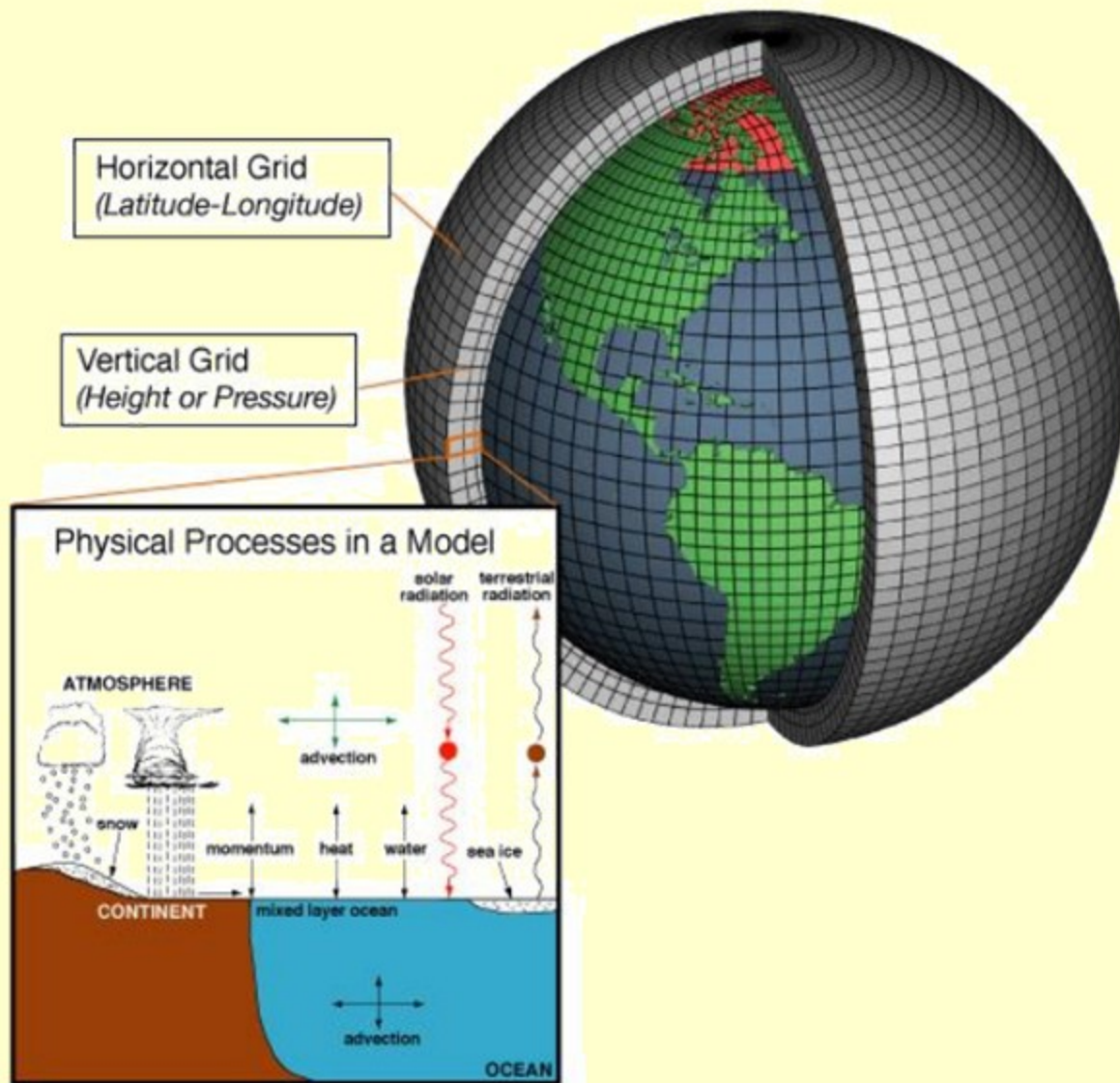
Modelación de mesoscala a partir de datos de EMAs, Teledetección y estadística espacial.



# General or global circulation models (GCMs)

Simulan el clima de la tierra usando complejas ecuaciones matemáticas que describen la evolución de la atmósfera, océanos y todos los procesos bióticos derivados del funcionamiento de los ecosistemas y sus interacciones.

La salida matricial o GRID de estos modelos es gruesa.

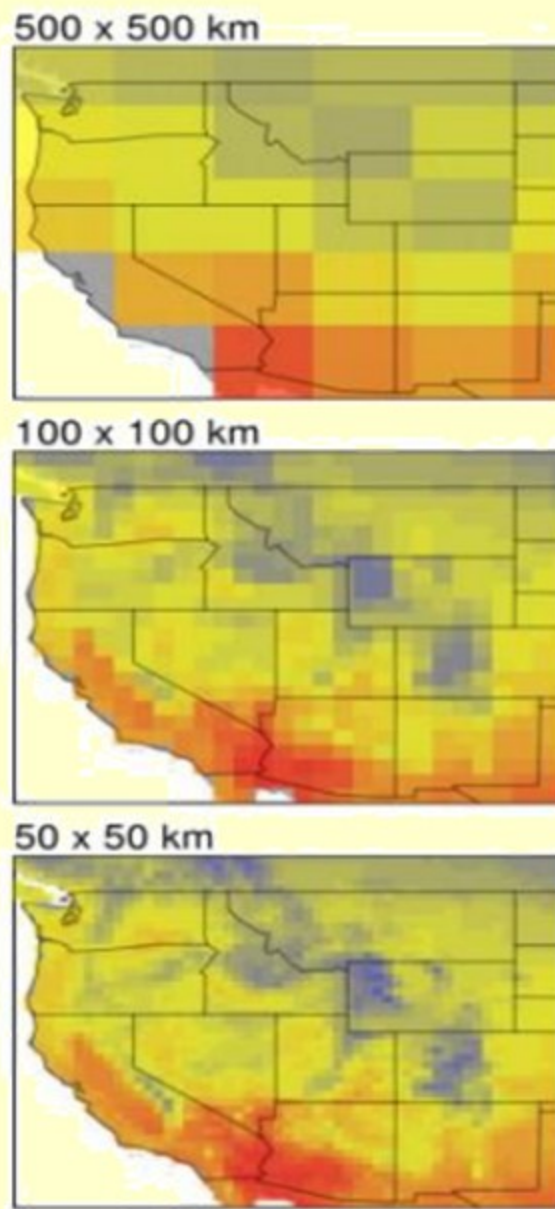


## Temperatura media anual (1961–1990)

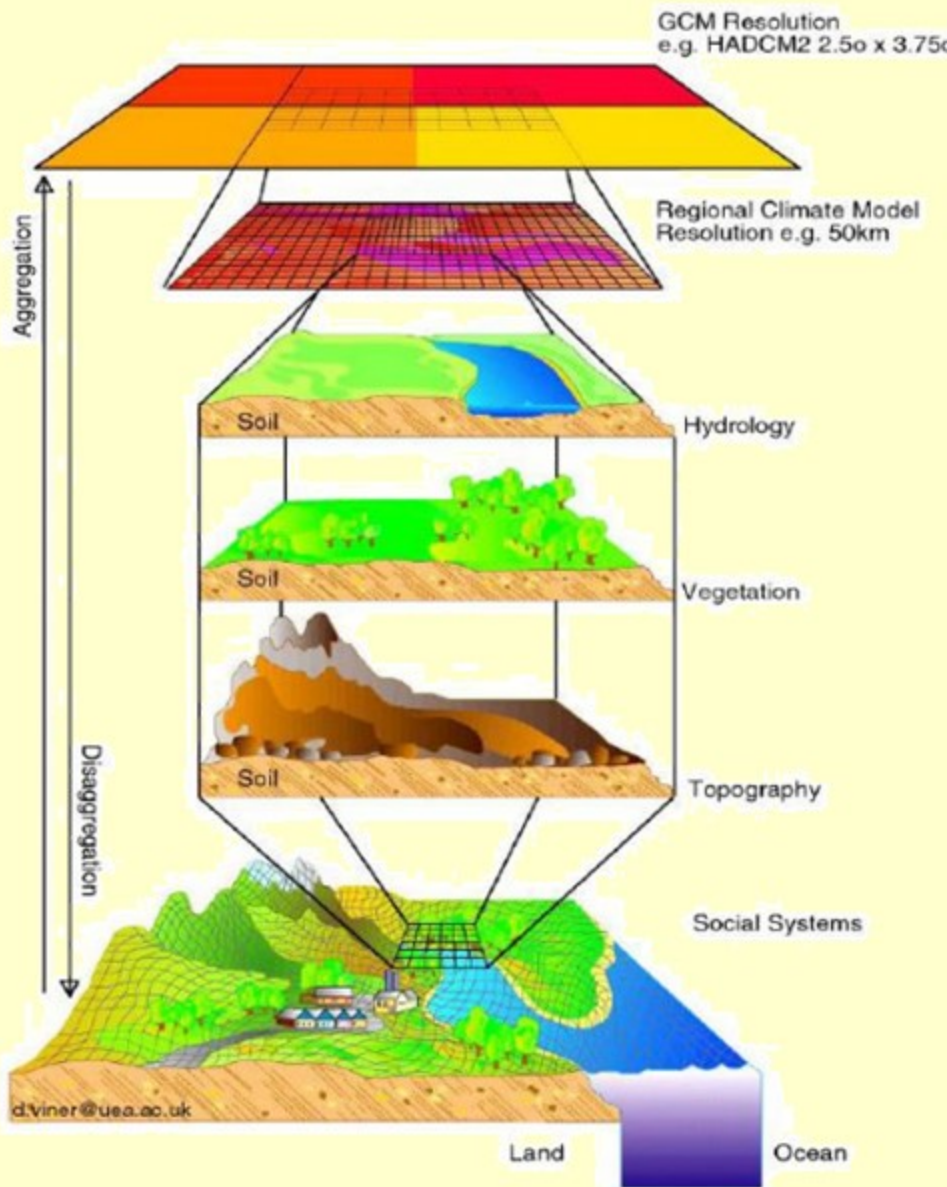
Esta figura muestra esta variable simulada por un GCM a una resolución espacial de 500 km, 100 km y 50 km.

*Para llevar estos GRIDS a resoluciones espaciales de la escala de los fenómenos que se observan y cuantifican en ecosistemas naturales y agrícolas hay que recurrir a un cambio de escala, llamado downscaling.*

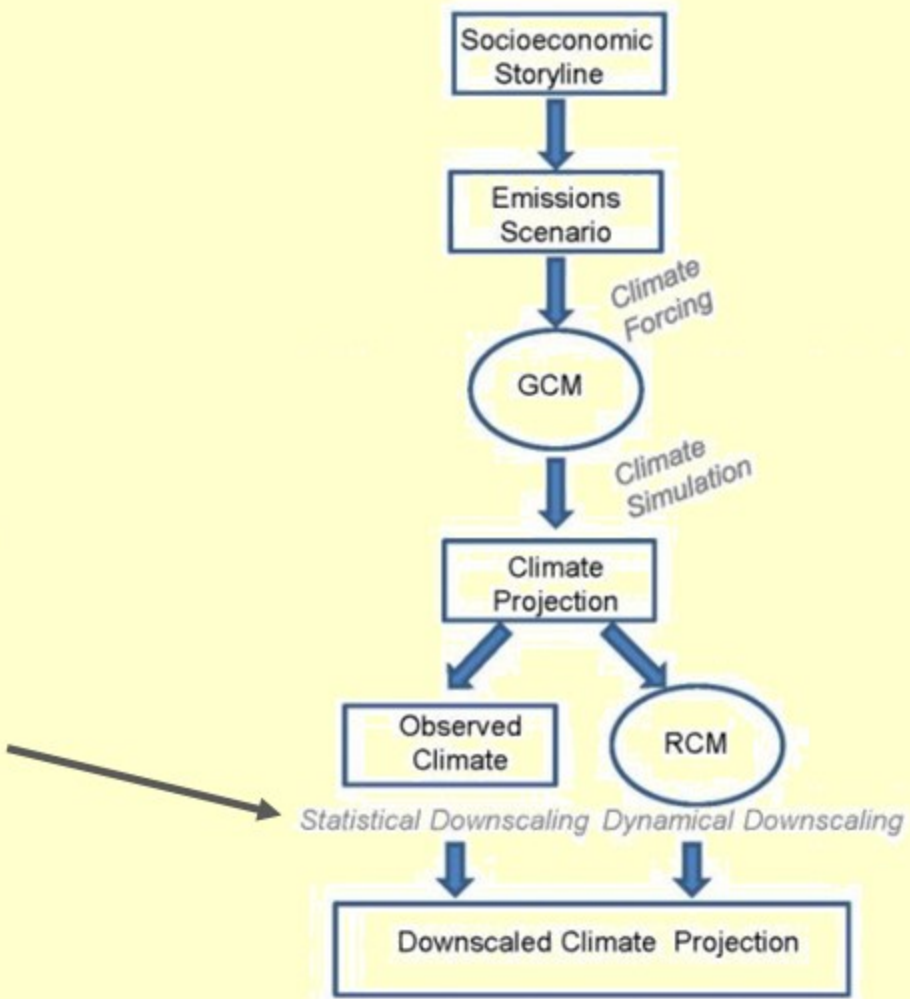
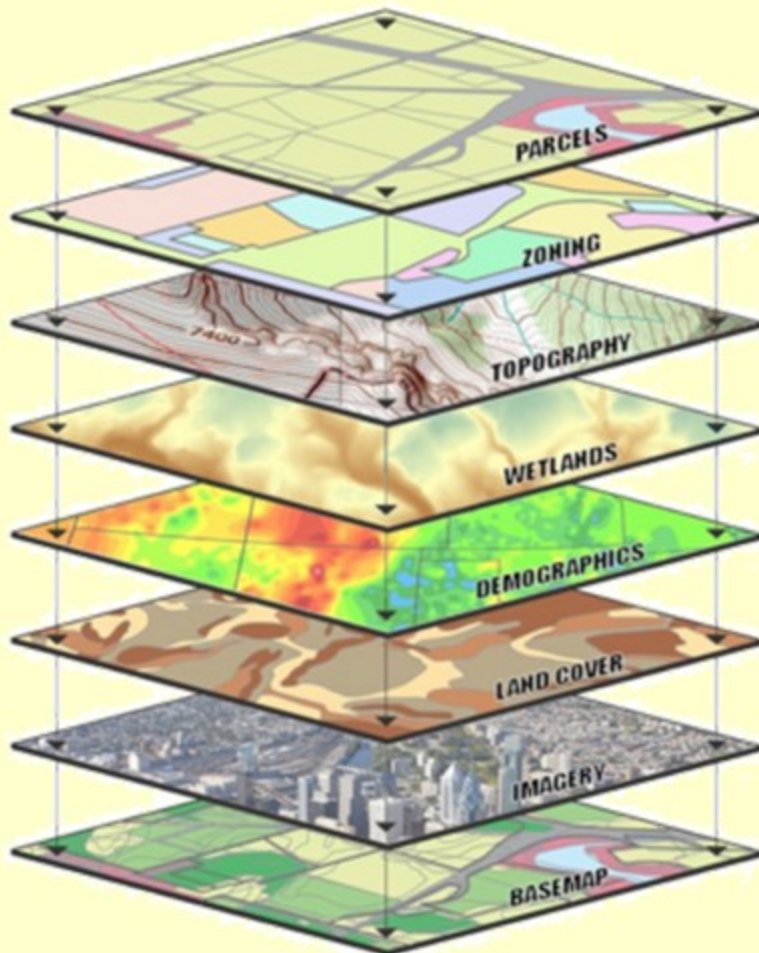
Daniels et al., 2012.

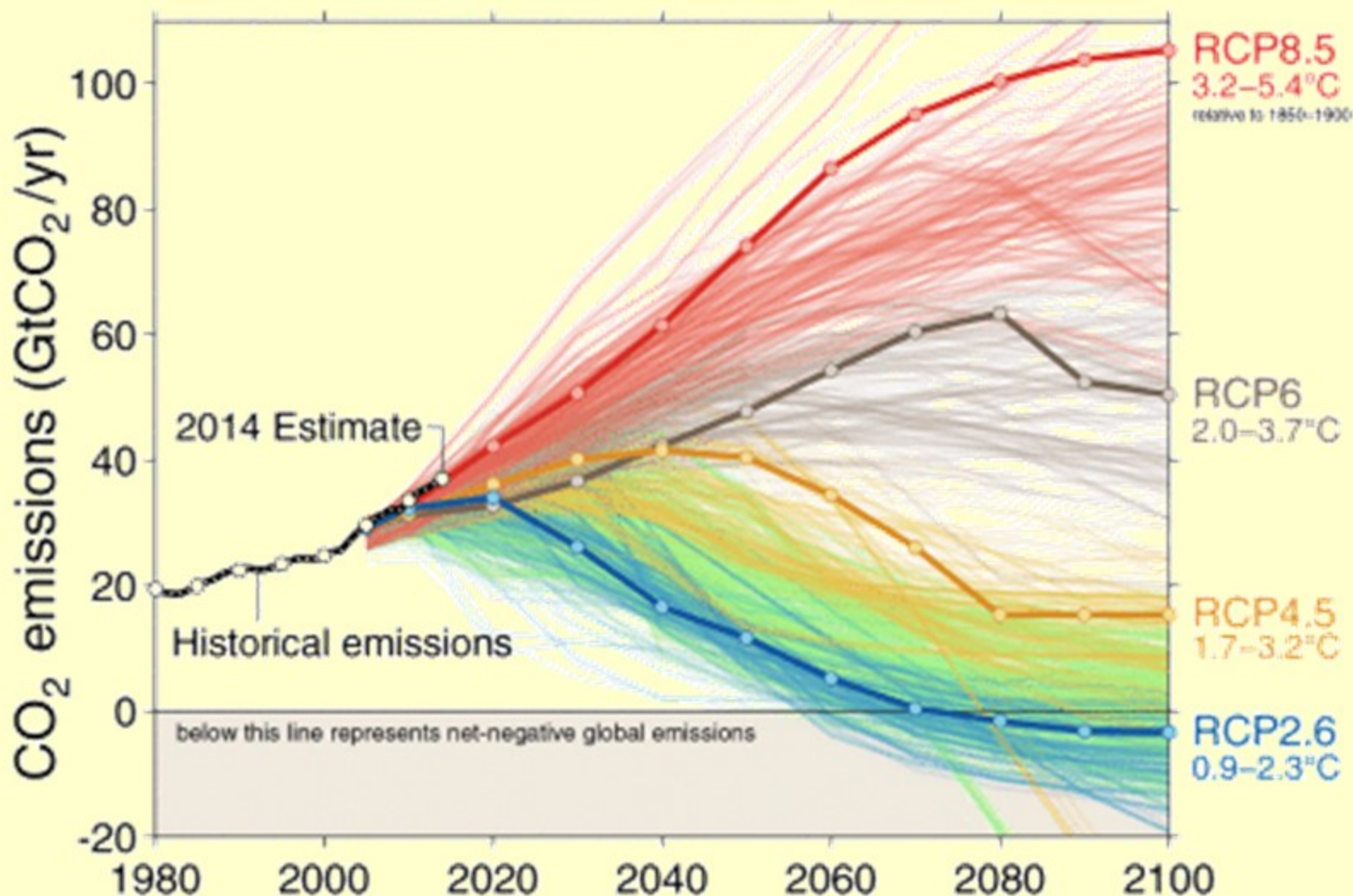


*Muchos de los procesos que controlan el clima local, por ejemplo, topografía, la vegetación y la hidrología, no están incluidos GCM en baja resolución.*

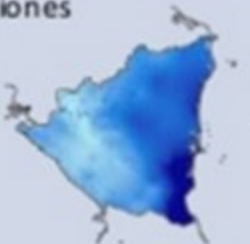
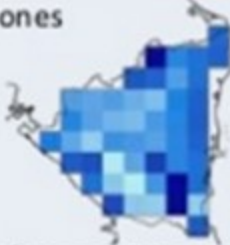


*El desarrollo de relaciones estadísticas entre las escalas locales y regionales pueden incluir algunos de los procesos de mayor complejidad implícitamente*





# Métodos Estadísticos v/s Dinámicos

Método	Estadísticos	Dinámicos
Pros	<p>↑ Resoluciones</p>  <p>~ 1km</p> <ul style="list-style-type: none"><li>- Rápido de implementar y más asequible</li><li>- Aplicable a <u>TODOS</u> los GCMs</li></ul>	<p>↑ Robusto</p> <p>↑ Variables</p> <ul style="list-style-type: none"><li>- Muy buenos para estudiar procesos atmosféricos</li><li>- Aplicable a varios GCMs dependiendo de disponibilidad de datos</li></ul>
Contras	<p>Cambios solo varían en gran escala</p> <p>↓ variables</p>	<p>↓ Resoluciones</p>  <p>25-50 Km</p> <p>Requiere más experiencia para correrlo</p> <p>Pocas plataformas, mucho procesamiento y almacenamiento</p> <p>Incertidumbre difíciles de cuantificar</p>

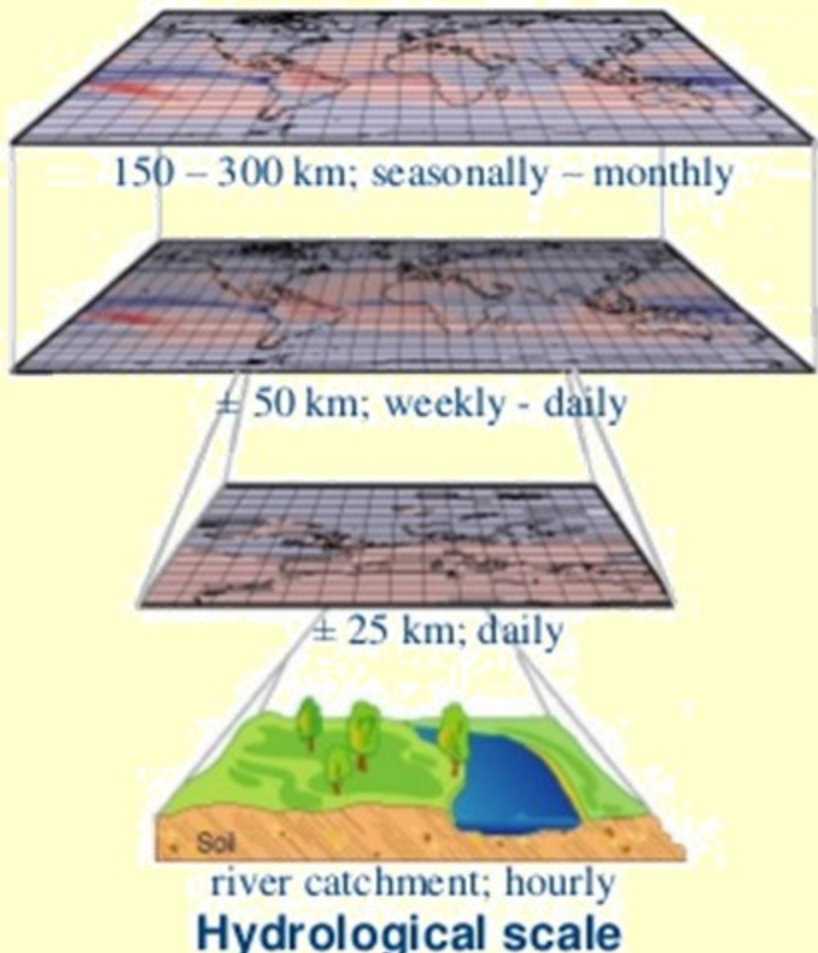


II

## ESCENARIOS CLIMATICOS FUTUROS PARA LA AGRICULTURA



## Large Scale



General  
Circulation Models  
(GCMs)



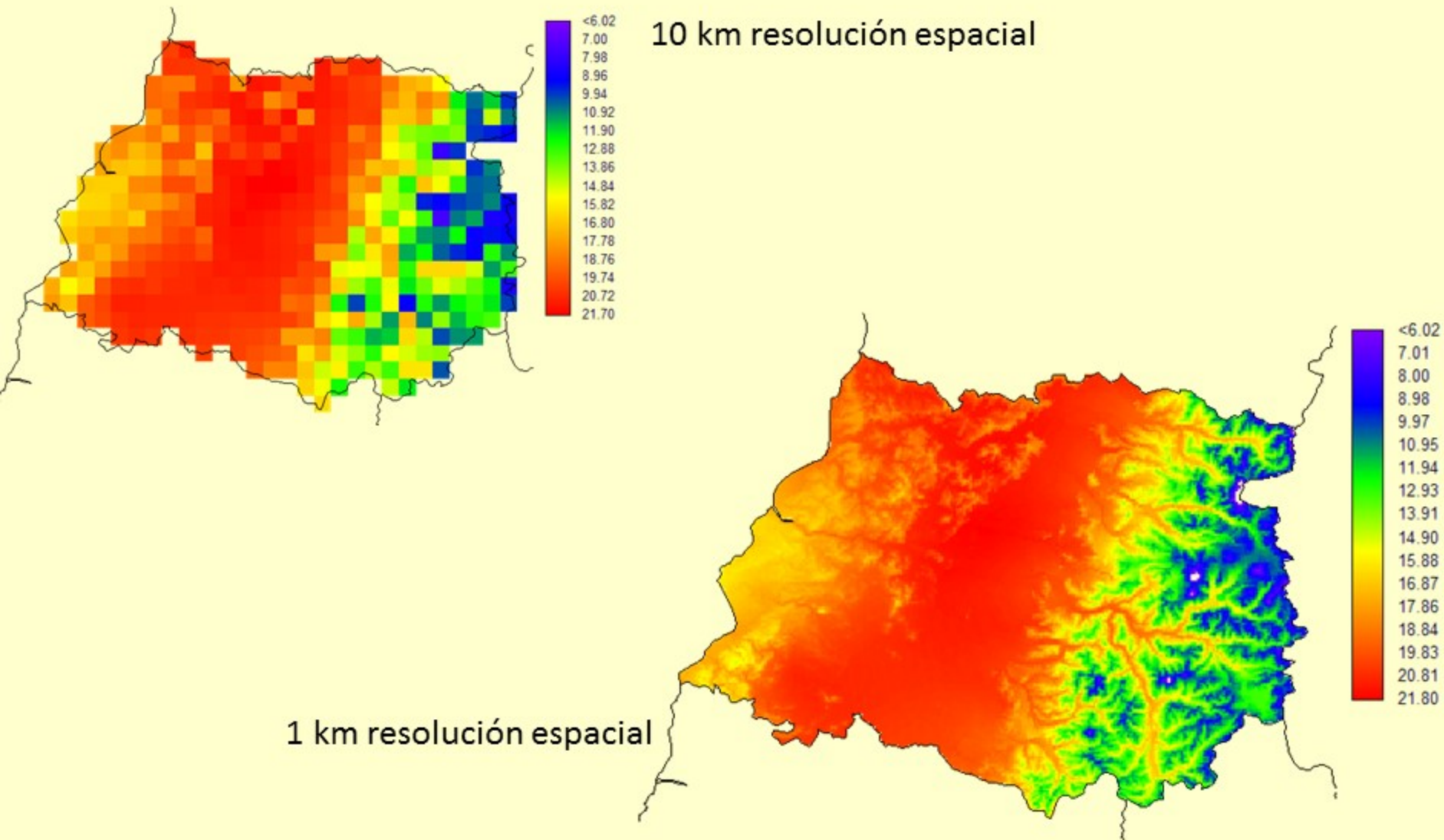
Regional  
Climate Models  
(RCMs)

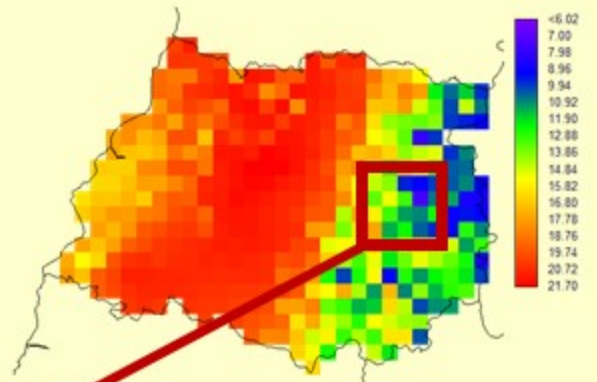


Dynamical  
downscaling

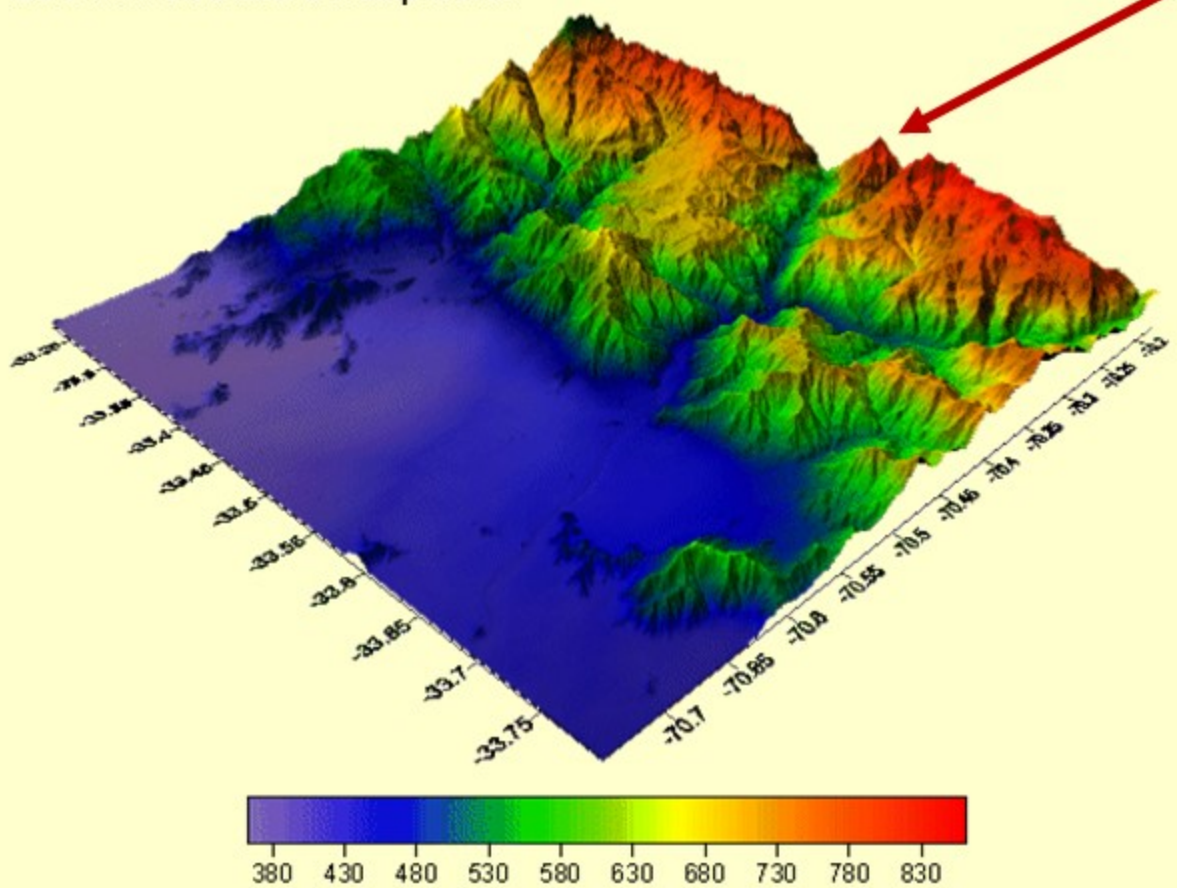
Statistical  
downscaling

# Concepto de Downscaling

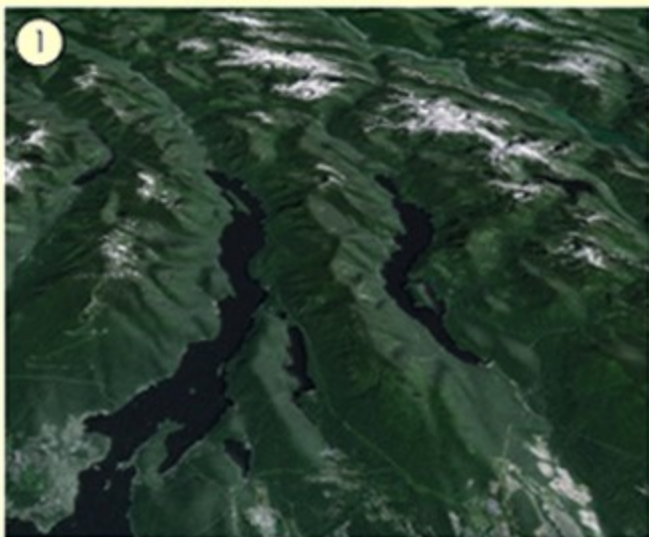




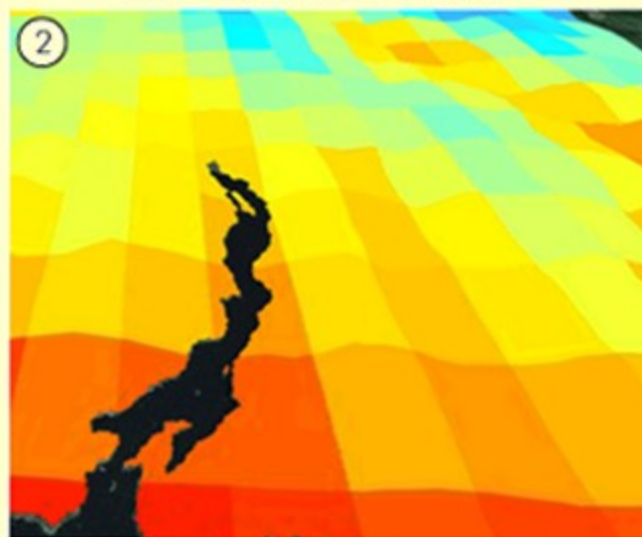
100 m resolución espacial



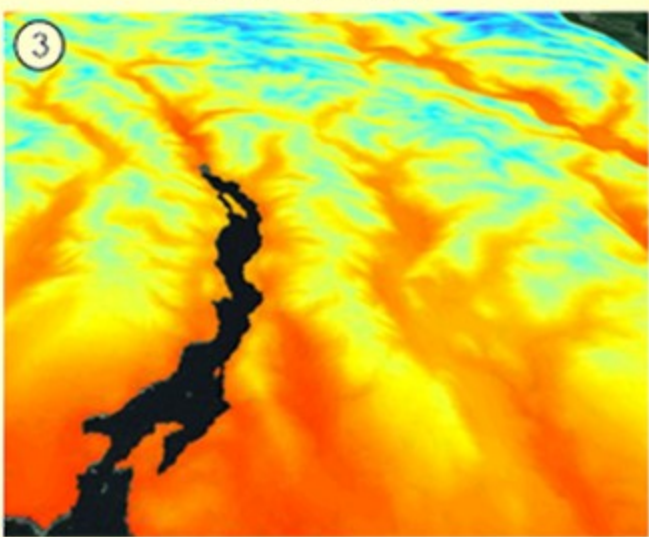
Satellite image



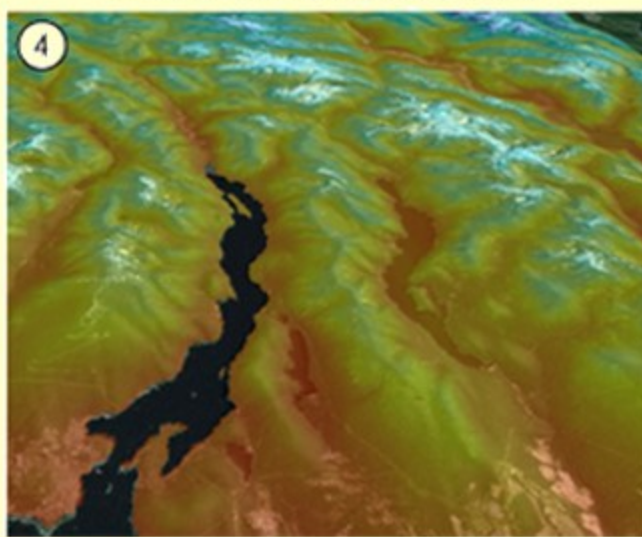
Prism baseline climate data



ClimateBC output



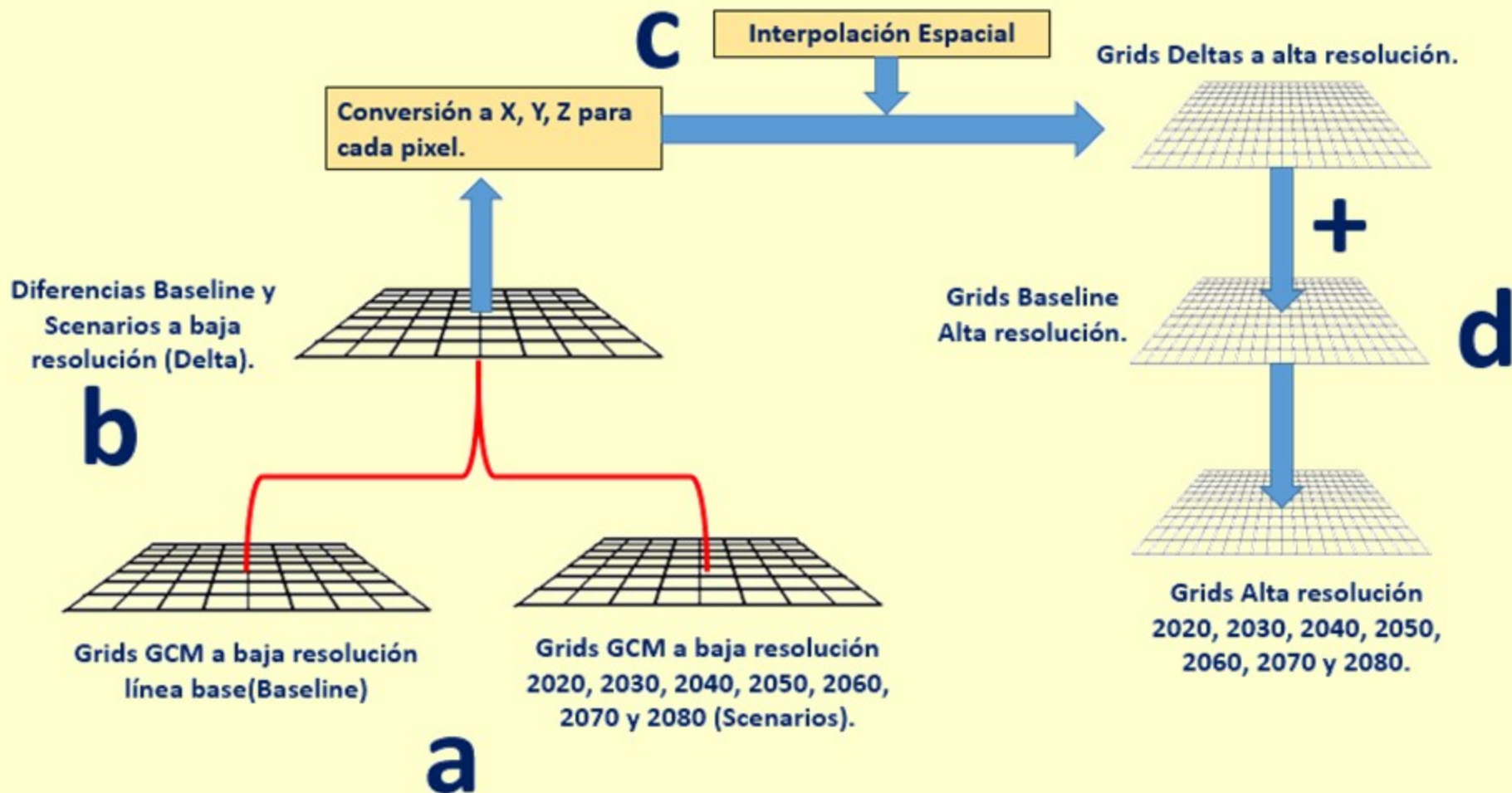
ClimateBC output (transparent)



Wang, T., Hamann, A., Spittlehouse, D., and Murdock, T. N. 2012. ClimateWNA – High-resolution spatial climate data for western North America. *Journal of Applied Meteorology and Climatology* 61: 16-29.

Wang, T., Hamann, A., Spittlehouse, D., and Aitken, S. N. 2006. Development of scale-free climate data for western Canada for use in resource management. *International Journal of Climatology* 26: 383-397.

# Statistical Downscaling: Delta Method



(Wilby et al., 2004; Ramirez y Jarvis, 2010; Anandhi et al., 2011)

**a.- Bases de datos:** Primeramente se debe contar con la base de datos climáticos tanto a nivel de línea base como a nivel de los escenarios generados por los modelos de circulación general de la atmósfera a la misma resolución espacial en ambos casos.

The screenshot shows the homepage of WorldClim. At the top, it says "WorldClim - Global Climate Data" and "Free climate data for ecological modeling and GIS". Below this are links for "Download", "About us", and "Contact". The main content area is titled "WorldClim" and describes it as a set of global climate layers. It mentions that the data can be used for mapping and spatial analysis. A note states that the current version is Version 1.4 (release 3). There is a link to "Download data". Below this, there is information about methods and a frequently asked questions section. A note at the bottom states that the dataset is freely available for academic use but not allowed without prior permission.

The screenshot shows the "Data" page of the Climatic Research Unit (CRU). The header includes the CRU logo and navigation links for Home, About CRU, Data, Academic Programmes, Research, Staff and Students, Information Sheets, Publications, Media, and News/Events. The main content area is titled "Data" and contains several sections: "What's new in NRC", "About NRC", "NRC home", "Assessment & Monitoring", "Environmental Management", "Geo-Spatial Data & Info", "Global Environmental Change", "Contact", "References", "Search in FAO", "Français", "Español", and "About Climpag". Below this, there is a note about data availability and download instructions, mentioning ".tar" and ".zip" formats. Further down, there is information about datasets provided for use, a note about acknowledging the website, and a section on "Regions".

The screenshot shows the homepage of the Tyndall Centre. The header includes the Tyndall Centre logo and "for Climate Change Research". Below this are links for HOME, RESEARCH, COMMUNICATION, PEOPLE, PARTNERS, PUBLICATIONS, CONTACT US, INTRANET, and JOBS. The main content area features a graphic for the United Nations Conference on Climate Change (COP21/CMP11) with a green leaf icon. It also includes sections for "Recent Videos" showing "Global Carbon Budget 2015", "HELIx research videos", and "Global Carbon Project Side Event - COP20".

The screenshot shows the homepage of the GCM DOWNSCALED GCM DATA PORTAL. The header includes the GCM logo and "DOWNSCALED GCM DATA PORTAL". Below this are links for Home, Spatial Downscaling, Spatial Disaggregation, Data Documentation, Links, and Citations. The main content area features a large image of a mountain range and includes sections for "Spatial Downscaling", "Spatial Disaggregation", "Data", "Useful Documents", "Links", "Citations", and "Contact". Logos for CGIAR and CCAFS are also present.

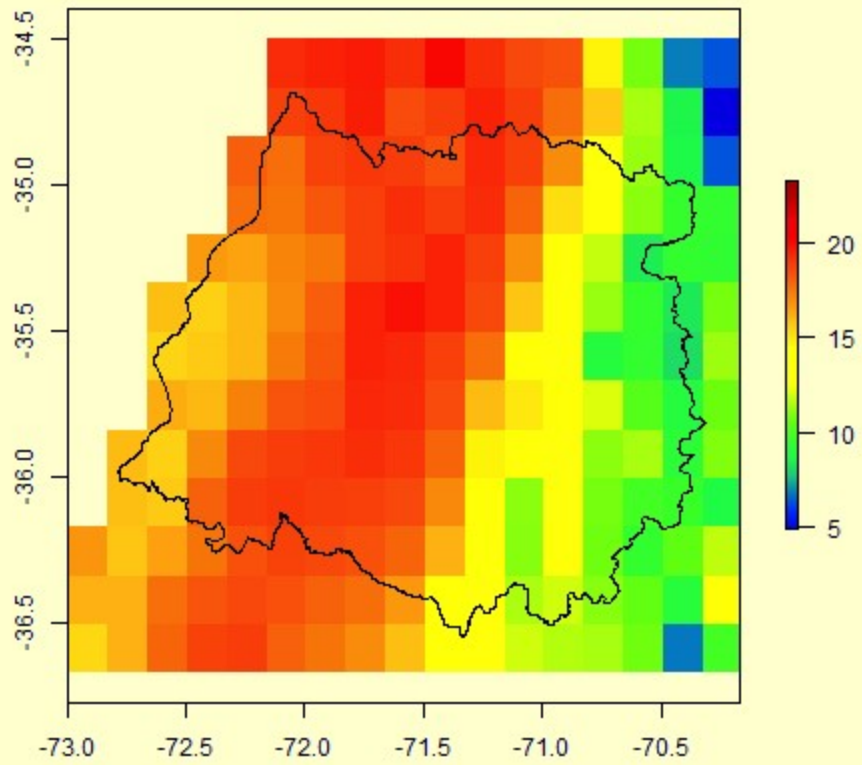
**b.- Diferencias:** En segundo lugar se deben calcular las diferencias o anomalías absolutas entre la línea base y cada uno de los escenarios generados por los modelos de circulación general de la atmósfera a la misma resolución espacial en ambos caso

$$\Delta X_{i,m} = X_{i,m}^{Baseline} - X_{i,m}^{Scenarios}$$

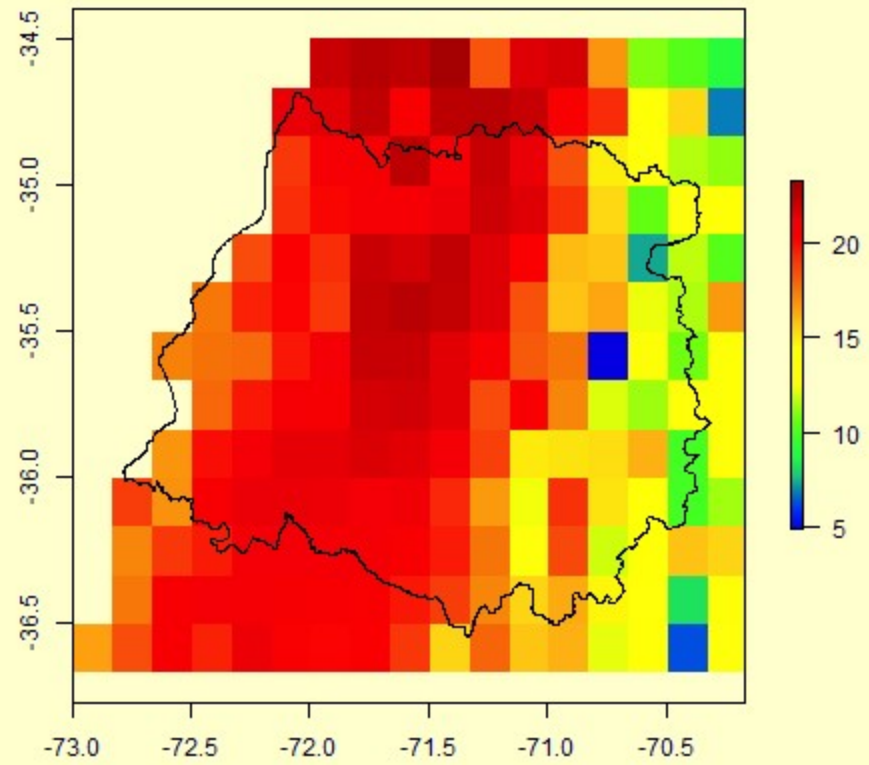
$\Delta X_{i,m}$  : Es el valor calculado de Delta o anomalía.

$X_{i,m}^{Baseline}$  : Es el valor de la variable correspondiente a la línea base.

$X_{i,m}^{Scenarios}$  : Es el valor de la variable correspondiente al escenario considerado.

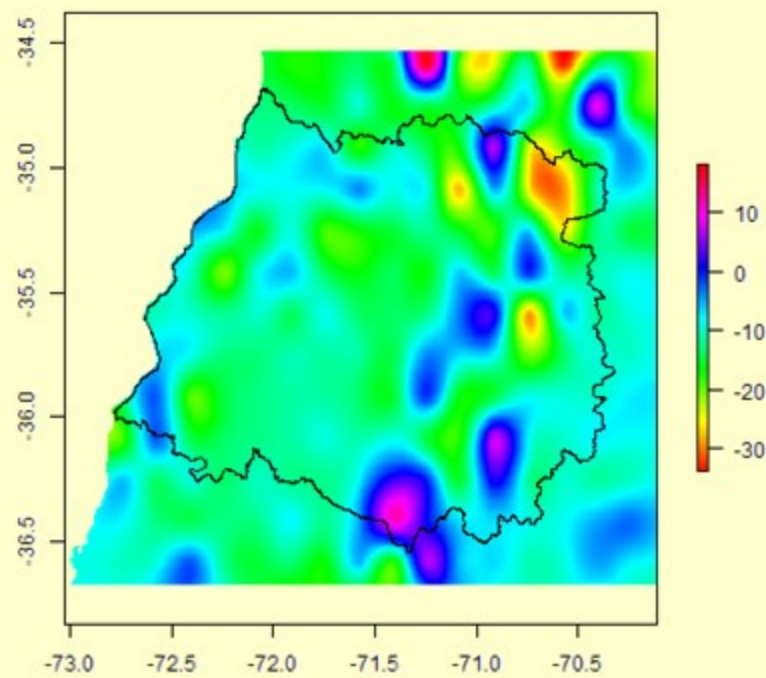
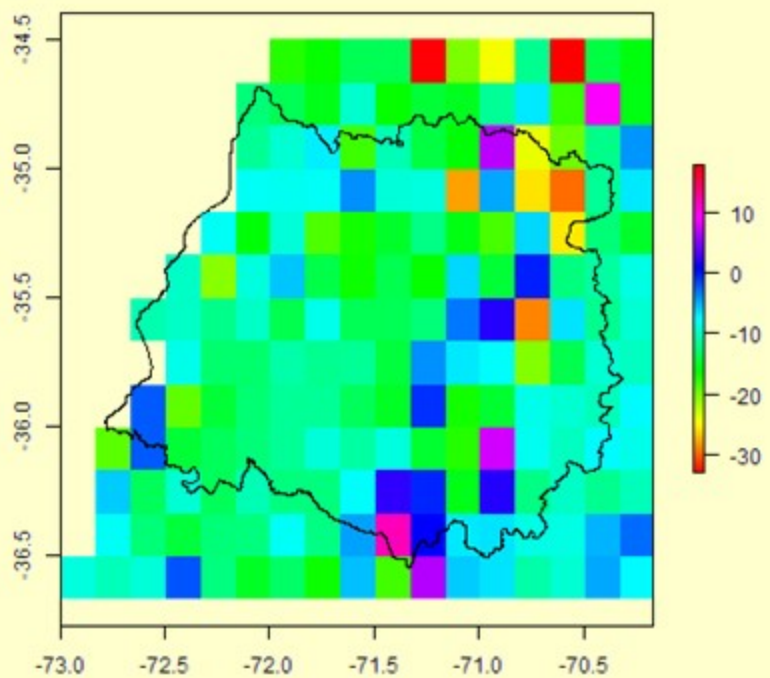


**Baseline**



**2080**

c.- **Interpolación:** Las diferencias calculadas en el paso anterior en formato grid se transforman en formato de texto con una estructura (X, Y, Z) para cada elemento o pixel de la matriz grid. Posteriormente cada delta de cada escenario contenido en el archivo de texto es interpolado usando kriging a la resolución espacial requerido (1 km) y transformado nuevamente a formato grid. La figura 3 muestra, a modo de ejemplo, una reproducción de un informe de un proyecto similar al propuesto (Ramirez y Jarvis, 2010) de la interpolación realizada a diferencias entre la línea base y un escenario específico.

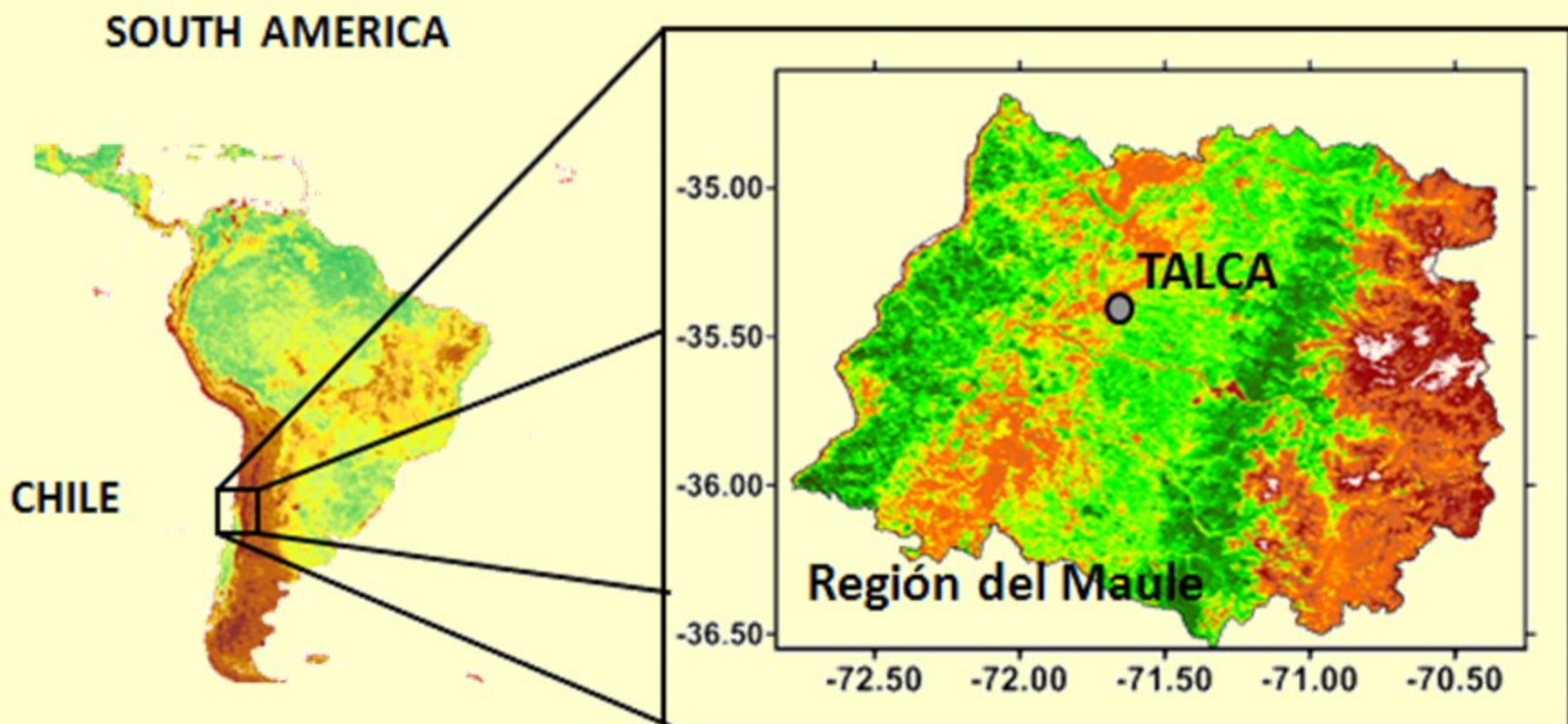


**d.- Grids a alta resolución:** Una vez que se han calculado las anomalías absolutas, estas deben ser sumadas a la línea base de la variable climatológica y mes correspondiente, de acuerdo a las ecuaciones siguientes.

$$X_{i,m} = X_{i,m}^{Baseline} + \Delta X_{i,m}$$

$$X_{i,m} = X_{i,m}^{Baseline} \cdot \left| 1 + \frac{\Delta X_{i,m}}{1 + X_{i,m}^{Baseline}} \right|$$

## Área de Estudio



# Base de datos GCM

<http://www.ccafs-climate.org/>

File Set

- Empirical/Statistical Downscaling
  - Delta Method IPCC AR5
  - Delta Method IPCC AR4
  - MarkSim Pattern Scaling
- Dynamical Downscaling
  - Eta South America
  - PRECIS Andes
- CORDEX
- Spatial Disaggregation
  - Disaggregation IPCC AR4
- Older Data (only available by order)
  - Delta Climgen
  - Delta Method IPCC AR4 (Climgen Data)
  - Delta Method IPCC AR4 (Stanford Data)
  - Delta Method IPCC AR3

Scenario

Model

Extent

Format

Period

Variable

Resolution

0 files found

- 30 seconds
- 2.5 minutes
- 5 minutes
- 10 minutes
- 30 minutes
- 25 minutes
- 20 minutes

Bioclimatics

Diurnal Temperature Range

Maximum Temperature

Mean Temperature

Minimum Temperature

Precipitation

Solar Radiation

Other

AMÉRICA DEL NORTE

AMÉRICA DEL SUR

ÁFRICA

ASIA

Océano Pacífico

Océano Índico

Océano Atlántico

AUSTRALASIA

Google

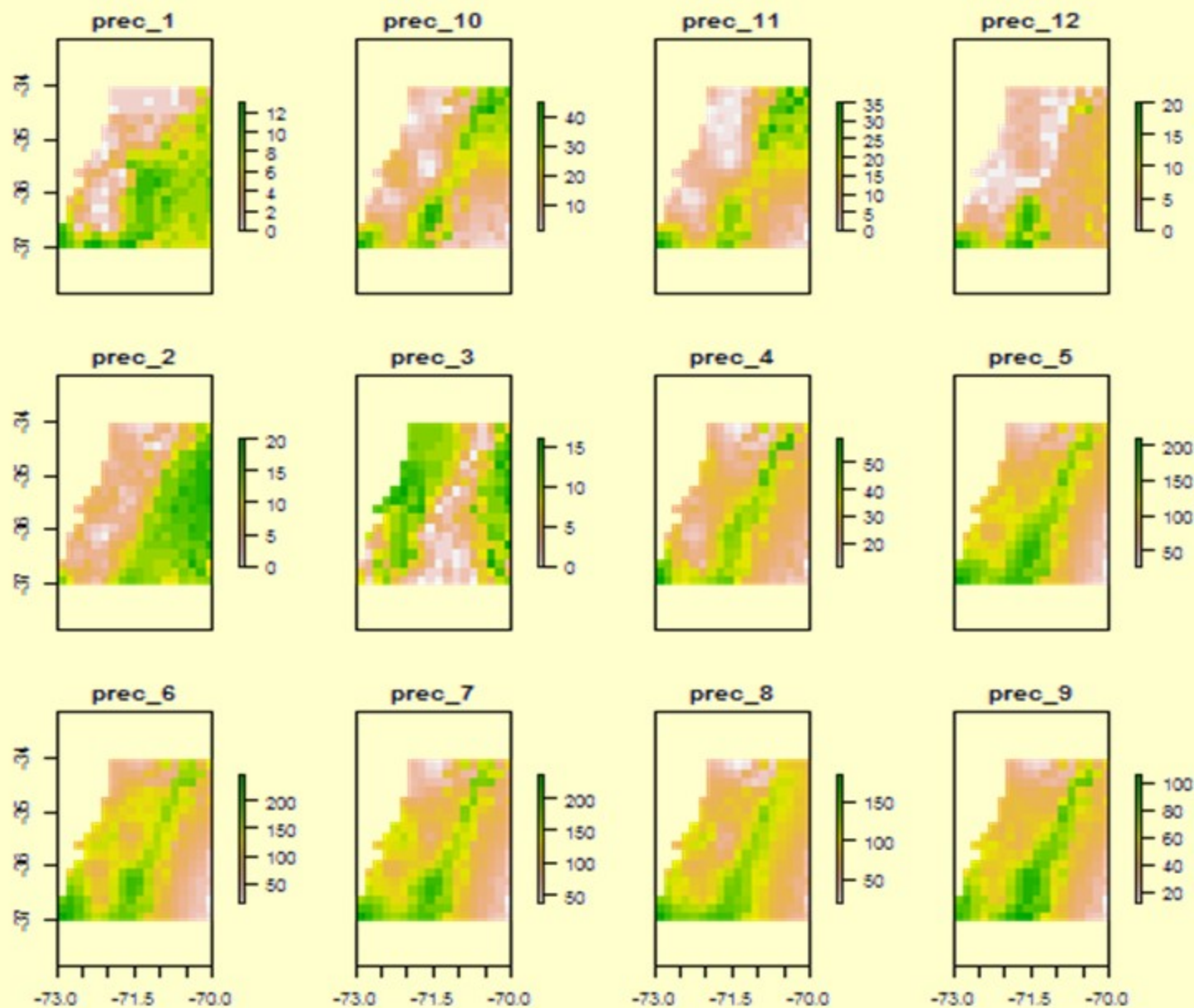
Datos de mapas ©2016 Términos de uso Informar de un error de Maps

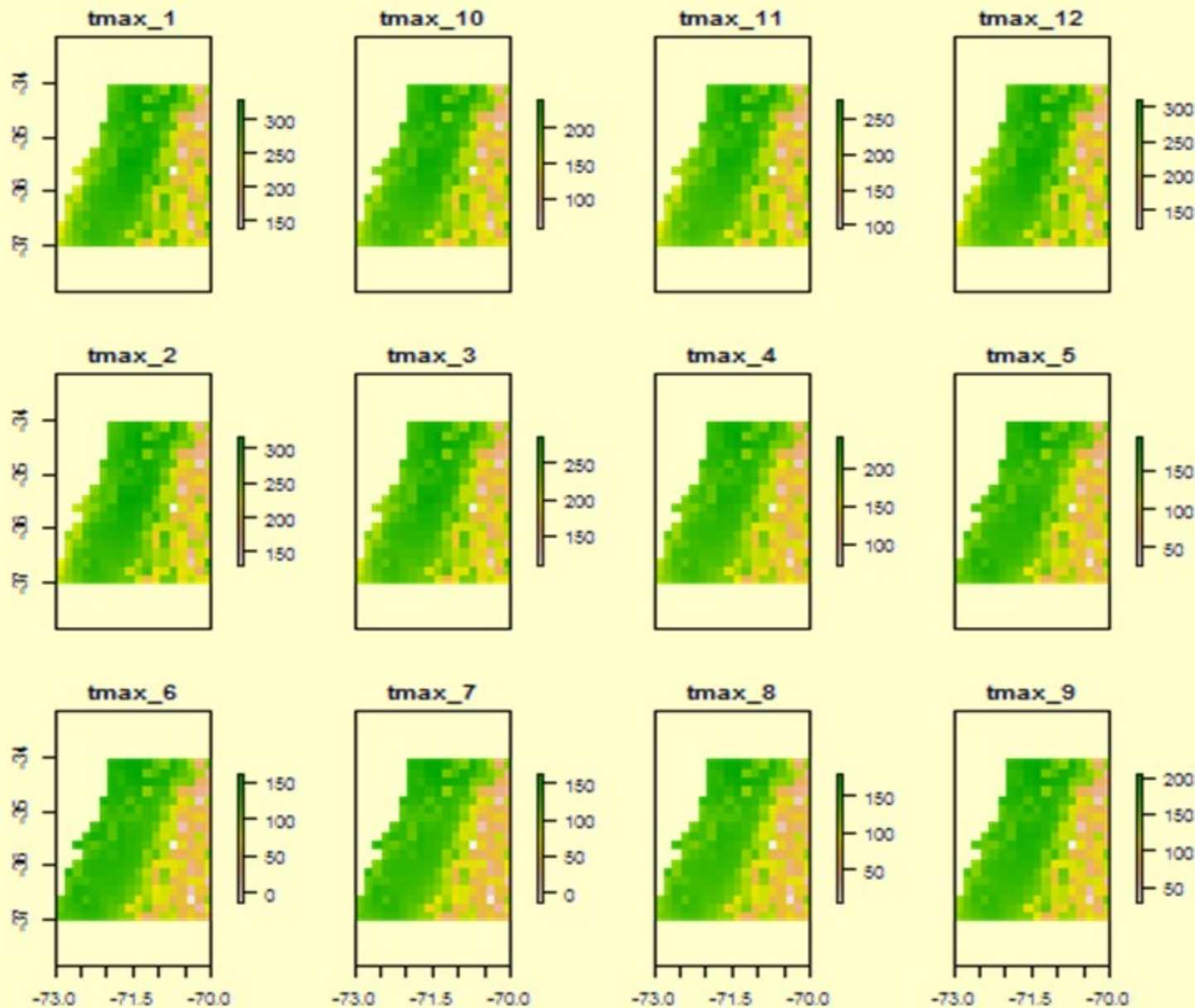
# Modelos GCM disponibles y sus principales características (País de origen, resolución y referencia bibliográfica)

Modelo	País	Atmósfera	Océano	Referencia
BCCR-BCM2.0	Norway	T63,L31	1.5x0.5,L35	N/A
CCCMA-CGCM3.1(T47)	Canada	T47(3.75x3.75),L31	1.85x1.85,L29	Scinocca et al. (2008)
CCCMA-CGCM3.1(T63)	Canada	T63(2.8x2.8),L31	1.4x0.94,L29	Scinocca et al. (2008)
CNRM-CM3	France	T63(2.8x2.8),L45	1.875x(0.5-2),L31	Salas-Mélia et al. (2005)
CSIRO-Mk3.0	Australia	T63,L18	1.875x0.84,L31	Gordon et al. (2002)
CSIRO-Mk3.5	Australia	T63,L18	1.875x0.84,L31	Gordon et al. (2002)
GFDL-CM2.0	USA	2.5x2.0,L24	1.0x(1/3-1),L50	Delworth et al. (2004)
GFDL-CM2.1	USA	2.5x2.0,L24	1.0x(1/3-1),L50	Delworth et al. (2004)
GISS-AOM	USA	4x3,L12	4x3,L16	Russell et al. (1995)
GISS-MODEL-EH	USA	5x4,L20	5x4,L13	Schmidt et al. (2005)
GISS-MODEL-ER	USA	5x4,L20	5x4,L13	Schmidt et al. (2005)
IAP-FGOALS1.0-G	China	2.8x2.8,L26	1x1,L16	Yu et al. (2004)
INGV-ECHAM4	Italy	T42,L19	2x(0.5-2),L31	Gualdi et al. (2006)
INM-CM3.0	Russia	5x4,L21	2.5x2,L33	Diansky et al. (2002)
IPSL-CM4	France	2.5x3.75,L19	2x(1-2),L30	Marti et al. (2005)
MIROC3.2-HIRES	Japan	T106,L56	0.28x0.19,L47	Hasumi and Emori (2004)
MIROC3.2-MEDRES	Japan	T42,L20	1.4x(0.5-1.4),L43	Hasumi and Emori (2004)
MIUB-ECHO-G	Germany/Korea	T30,L19	T42,L20	Grötzner et al. (1996)
MPI-ECHAM5	Germany	T63,L32	1x1,L41	Jungclaus et al. (2005)
MRI-CGCM2.3.2A	Japan	T42,L30	2.5x(0.5-2.0)	Yukimoto et al. (2001)
NCAR-CCSM3.0	USA	T85L26,1.4x1.4	1x(0.27-1),L40	Collins et al. (2005)
NCAR-PCM1	USA	T42(2.8x2.8),L18	1x(0.27-1),L40	Washington et al. (2000)
UKMO-HADCM3	UK	3.75x2.5,L19	1.25x1.25,L20	Gordon et al. (2002)
UKMO-HADGEM1	UK	1.875x1.25,L38	1.25x1.25,L20	Johns et al. (2006)

La línea base fue obtenida como el promedio de los datos climatológicos de 30 años, la cual se encuentra centrada entre los años 1961 al 1990, según el método propuesto por la WMO. En cambio los escenarios del cambio climático son para cada década fue calculada como una media móvil centrada en una década específica, de acuerdo a

Década	Promedio móvil
1.	2010-2039, referido al 2020
2.	2020-2049, referido al 2030
3.	2030-2059, referido al 2040
4.	2040-2069, referido al 2050
5.	2050-2079, referido al 2060
6.	2060-2089, referido al 2070
7.	2070-2099, referido al 2080





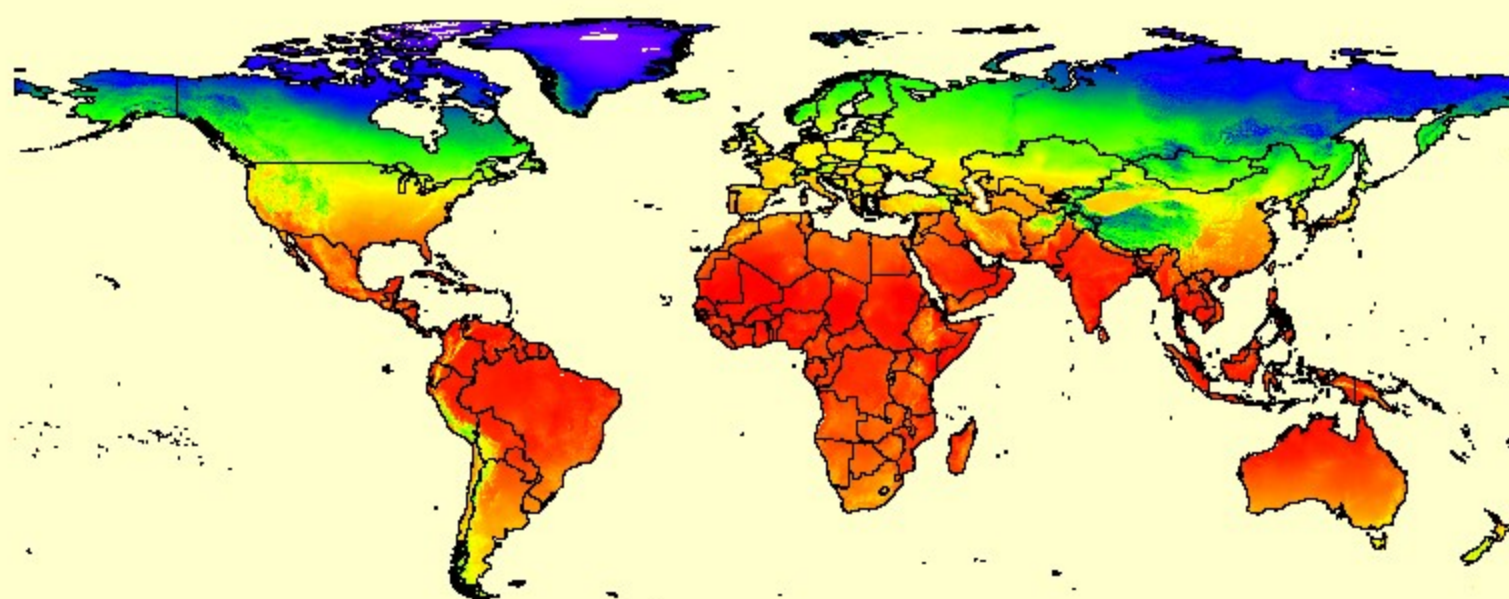
# Línea Base: WORLDCLIM

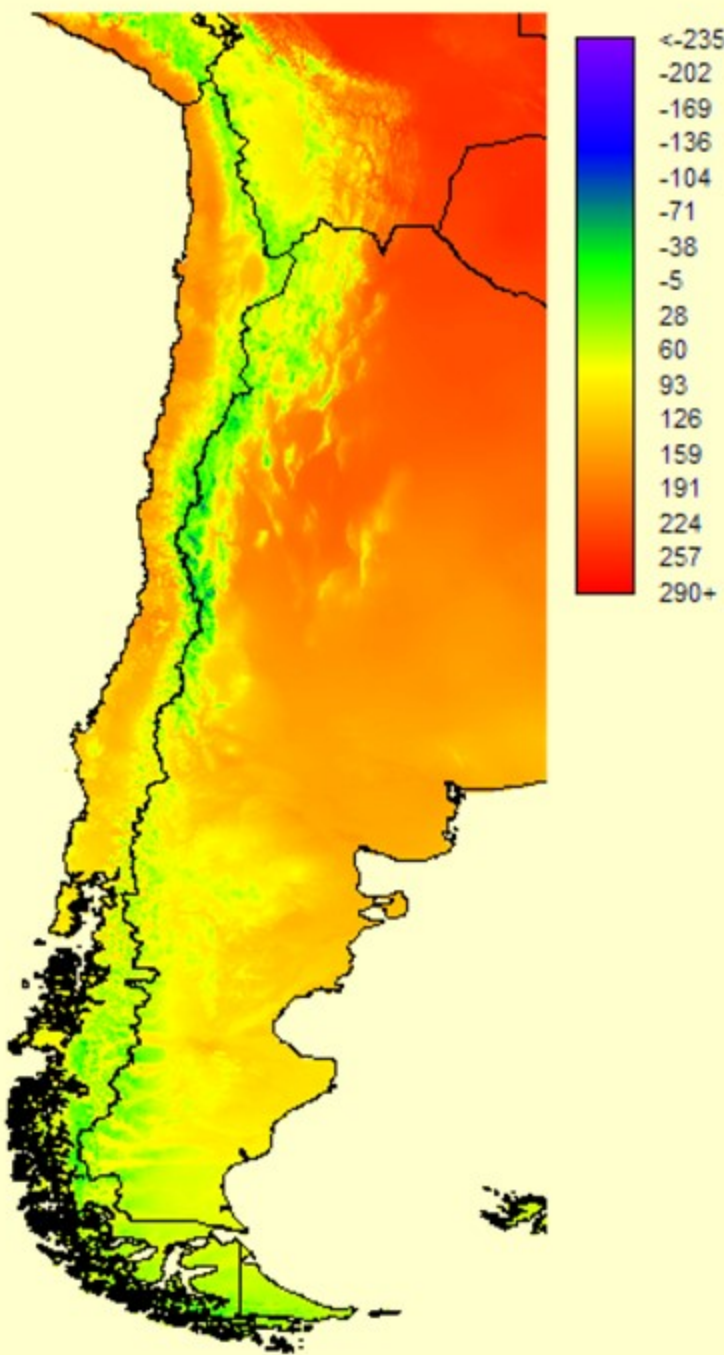
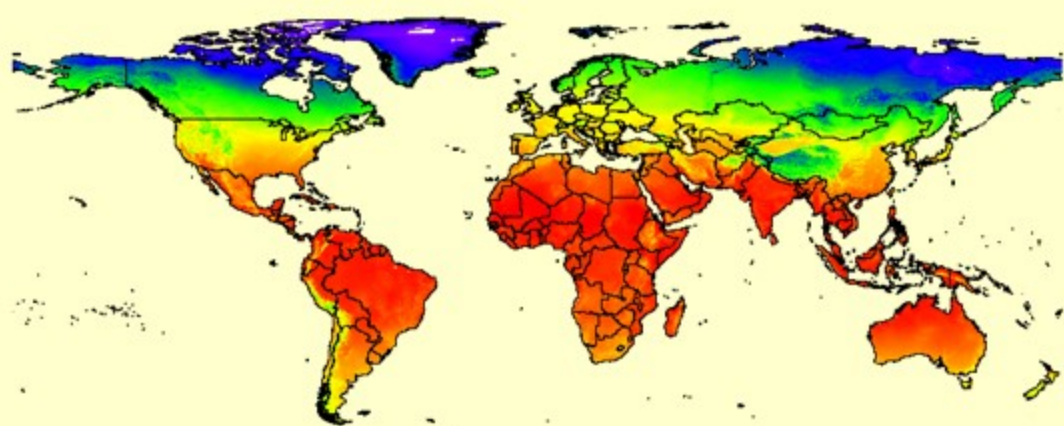
Temperatura Mínima Media Mensual (1,2,3,.....12)

Temperatura Máxima Media Mensual (1,2,3,.....12)

Temperatura Media Mensual (1,2,3,.....12)

Precipitación (1,2,3,.....12)





# BIOCLIM

BIO1 = Temperatura Media Anual

BIO2 = Rango Diario Diurno (Tmax - Tmin)

BIO3 = Isotermalidad (BIO2/BIO7) (\* 100)

BIO4 = Temperatura Estacional (Desviacion Estándar\*100)

BIO5 = Temperatura Máxima Mes más Cálido

BIO6 = Temperatura Mínima Mes más Frío

BIO7 = Rango de Temperatura Anual (BIO5-BIO6)

BIO8 = Temperatura Media Estación más Húmeda

BIO9 = Temperatura Media Estación más Seca

BIO10 = Temperatura Media Estación más Cálido

BIO11 = Temperatura Media Estación más Frío

BIO12 = Precipitacion Media Anual

BIO13 = Precipitación Mes más Húmedo

BIO14 = Precipitación Mes más Seco

BIO15 = Precipitacion Estacional (Coeficiente de Variacion)

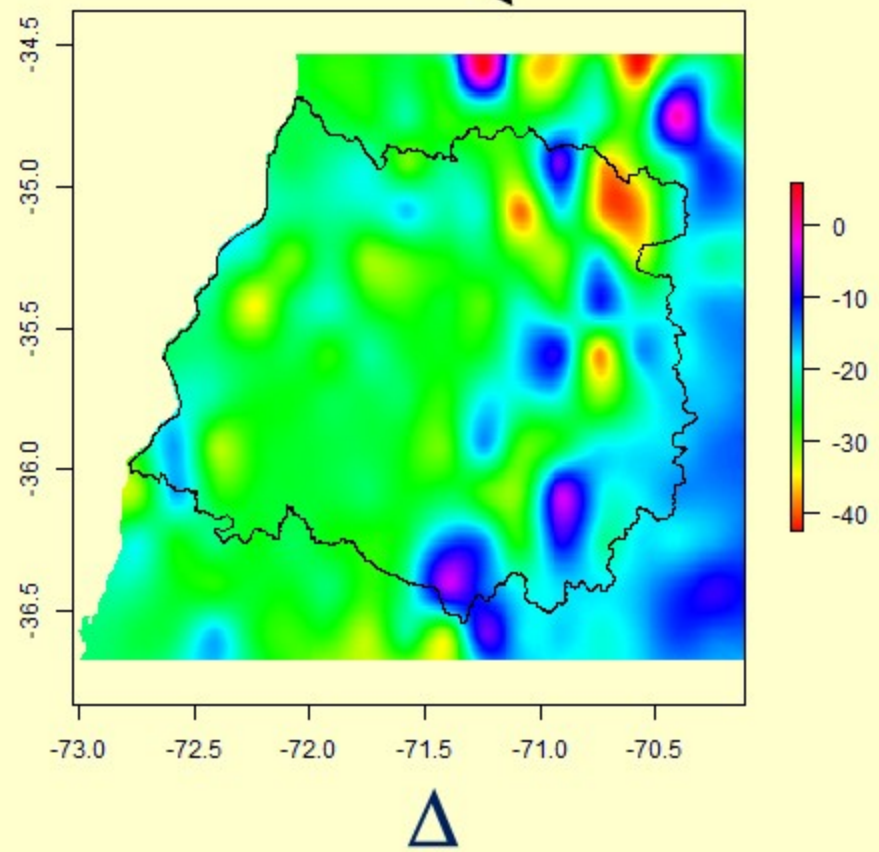
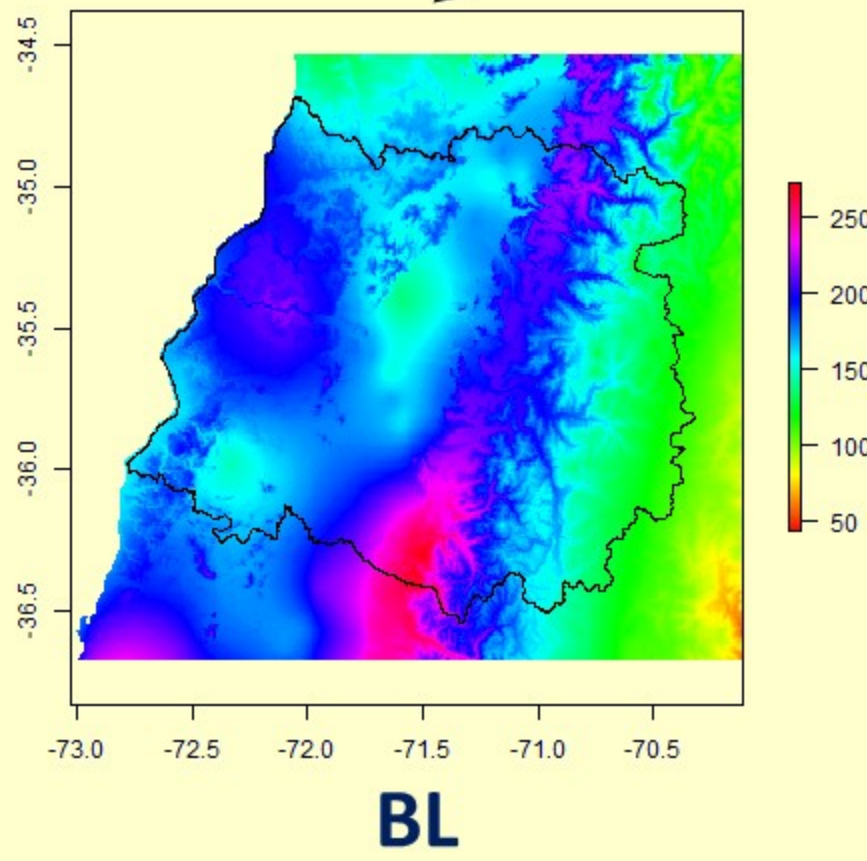
BIO16 = Precipitacion Estación más Húmeda

BIO17 = Precipitacion Estación más Seca

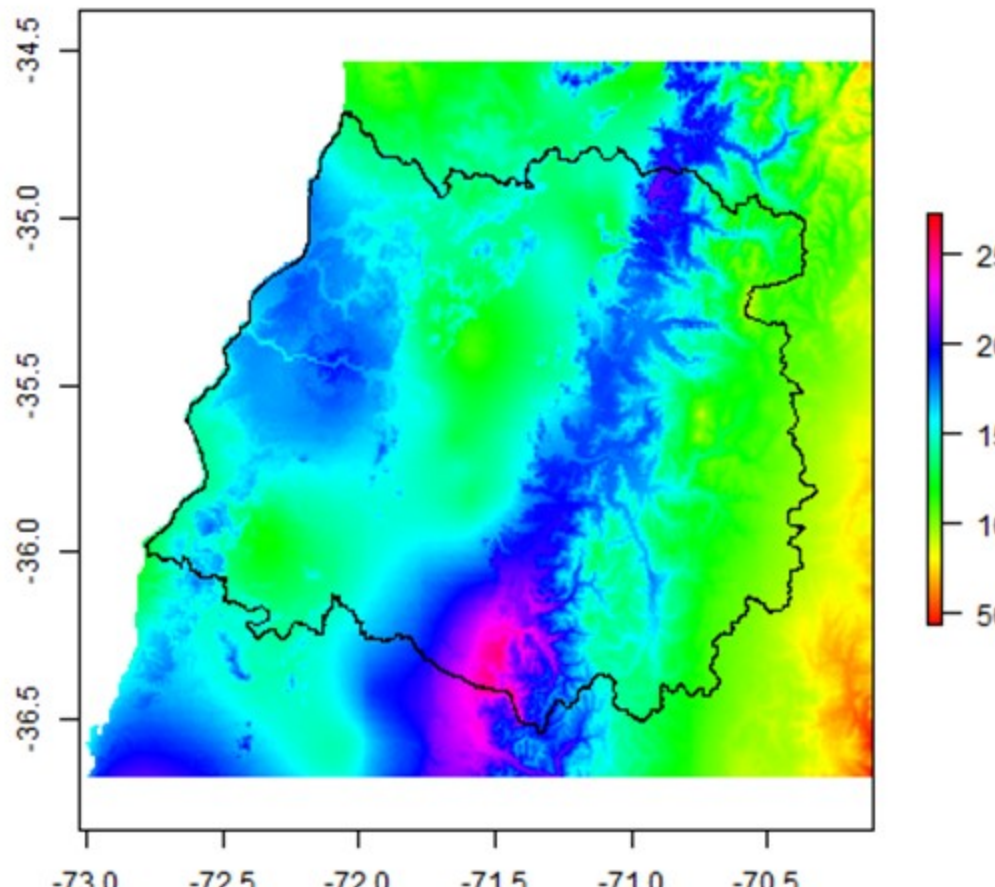
BIO18 = Precipitacion Estación más Cálida

BIO19 = Precipitacion Estación más Seca

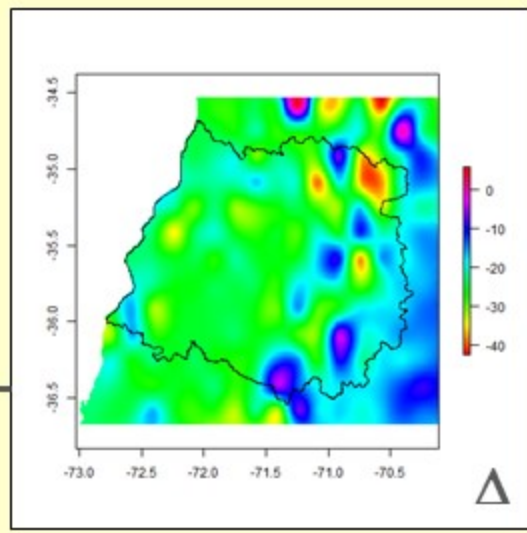
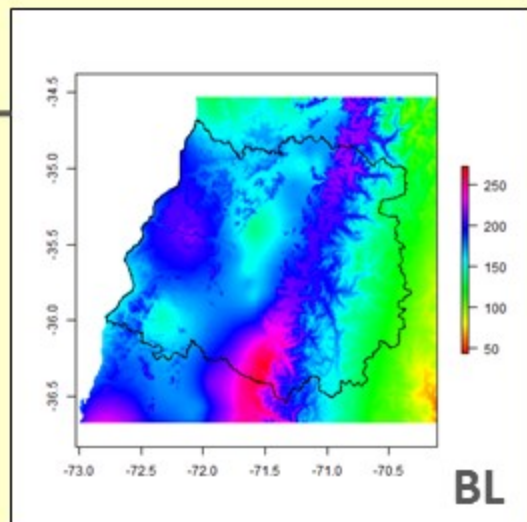
$$X_{i,m} = X_{i,m}^{Baseline} + \Delta X_{i,m}$$

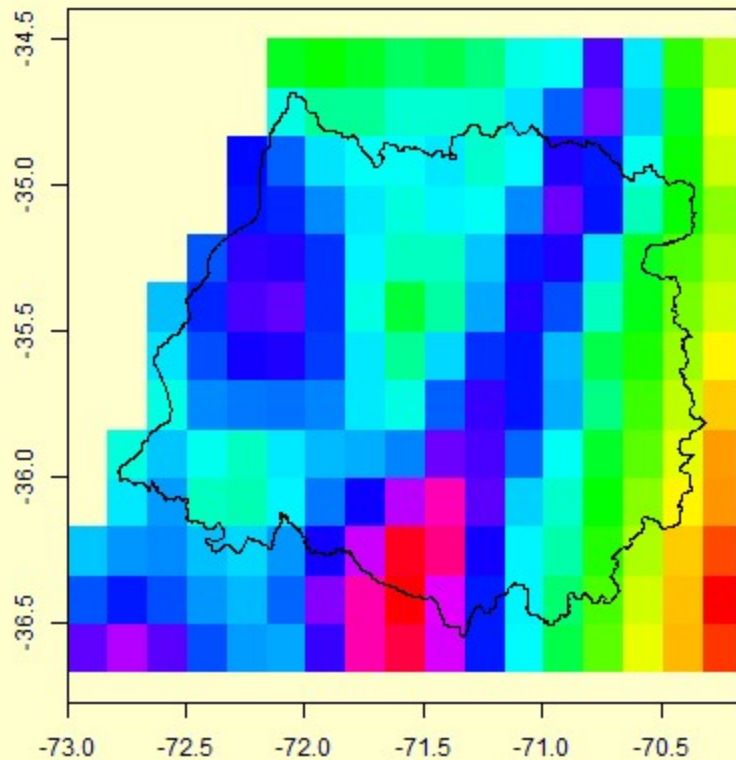


$$X_{i,m} = X_{i,m}^{Baseline} + \Delta X_{i,m}$$

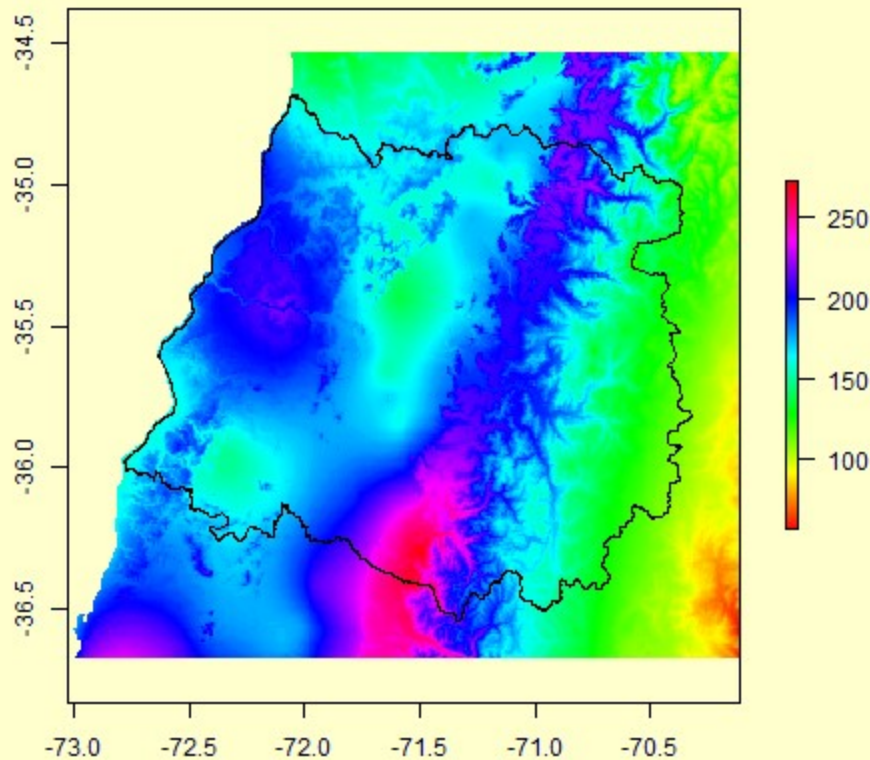


2080





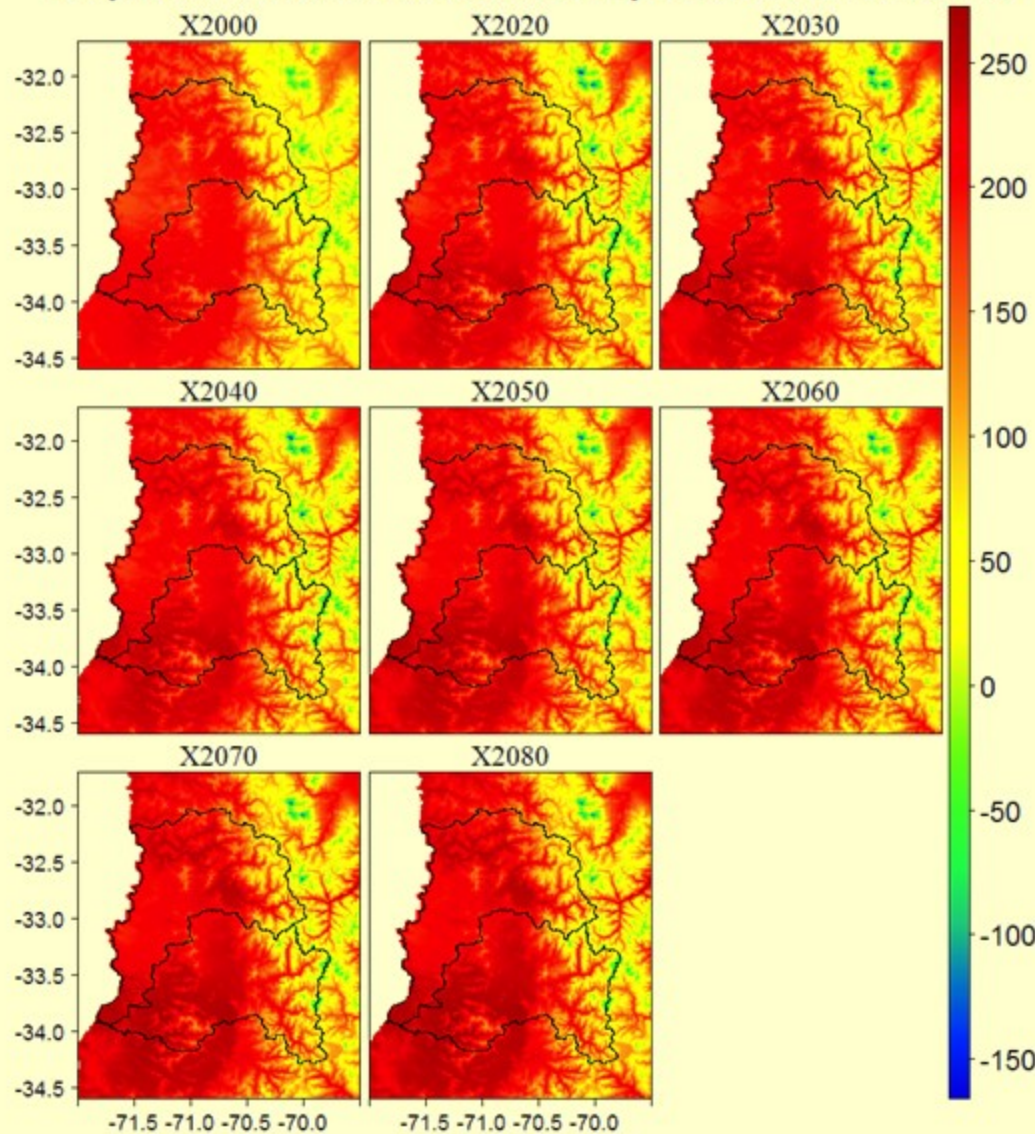
**GCM**



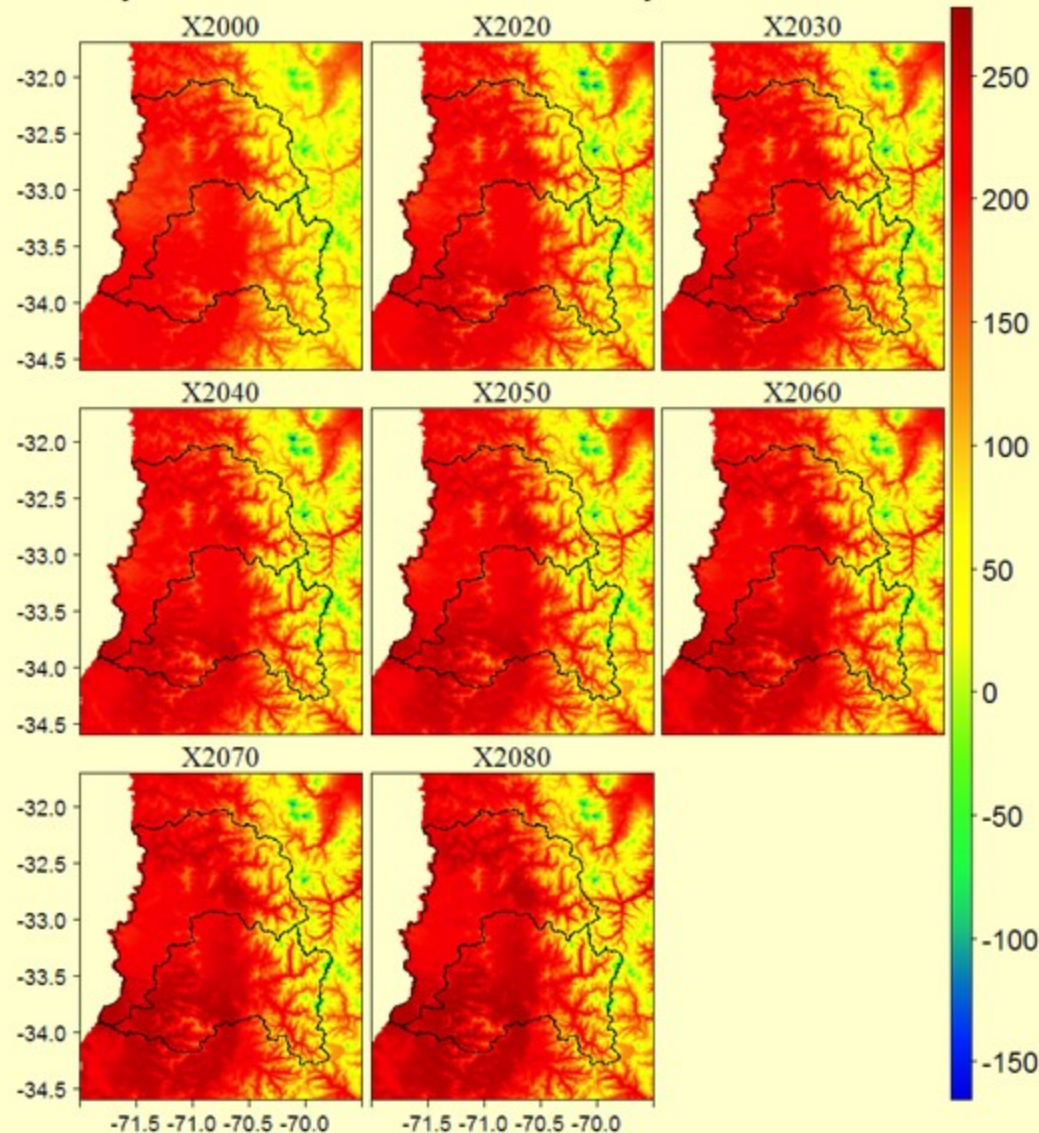
**Downscaling**

# Temperatura

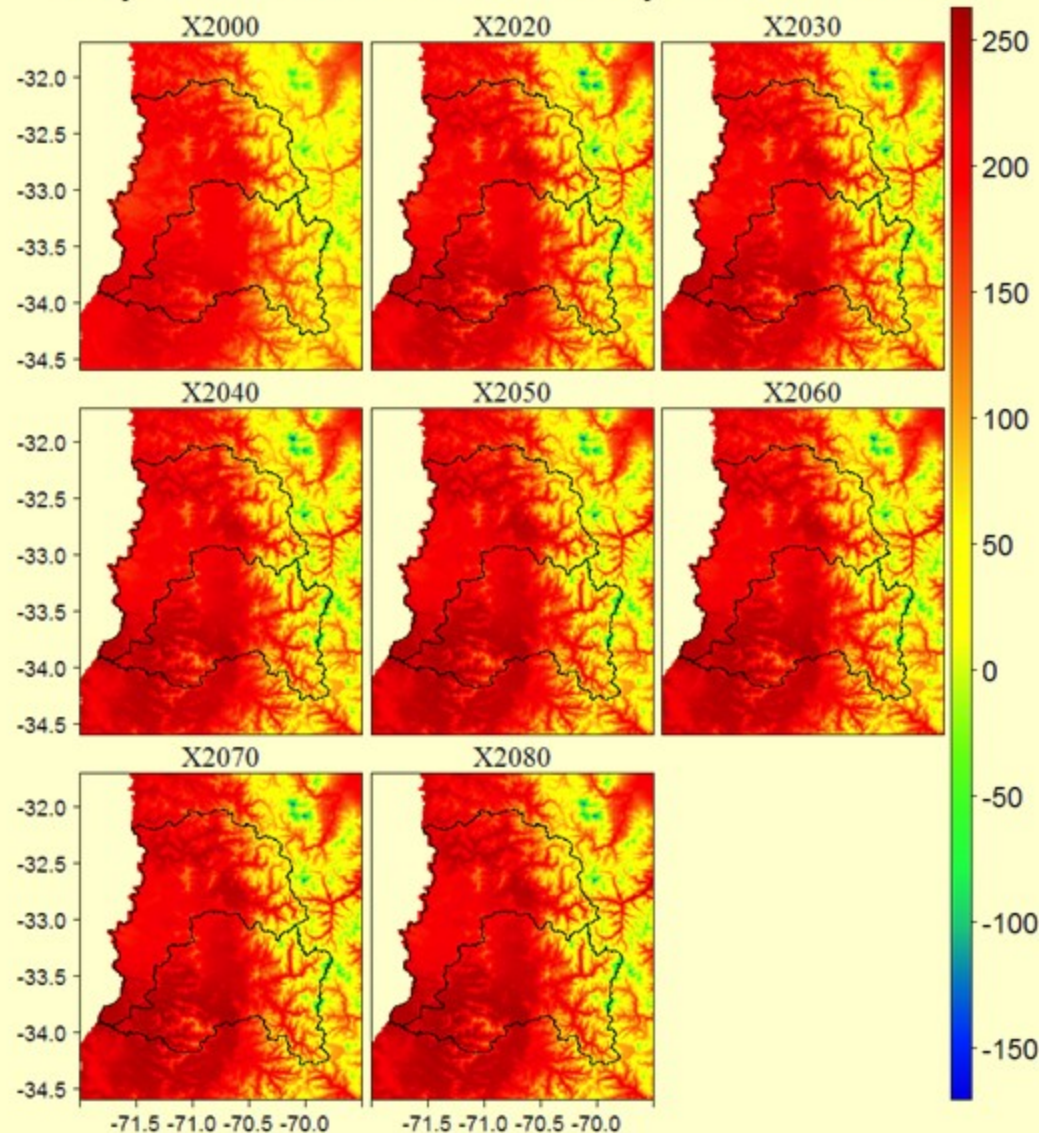
Temperatura Media mes de enero para el escenario A1b



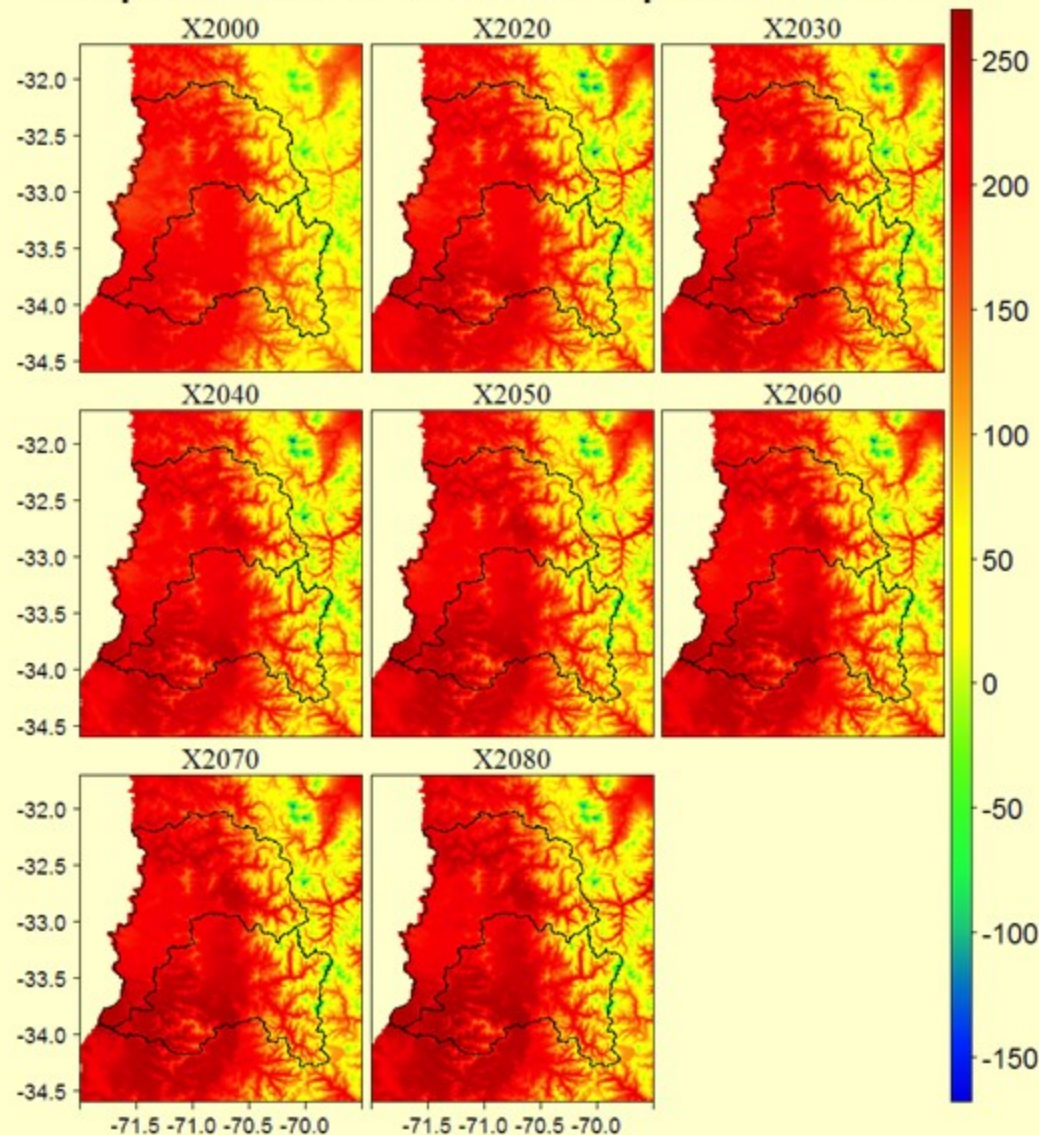
## Temperatura Media mes de enero para el escenario A2



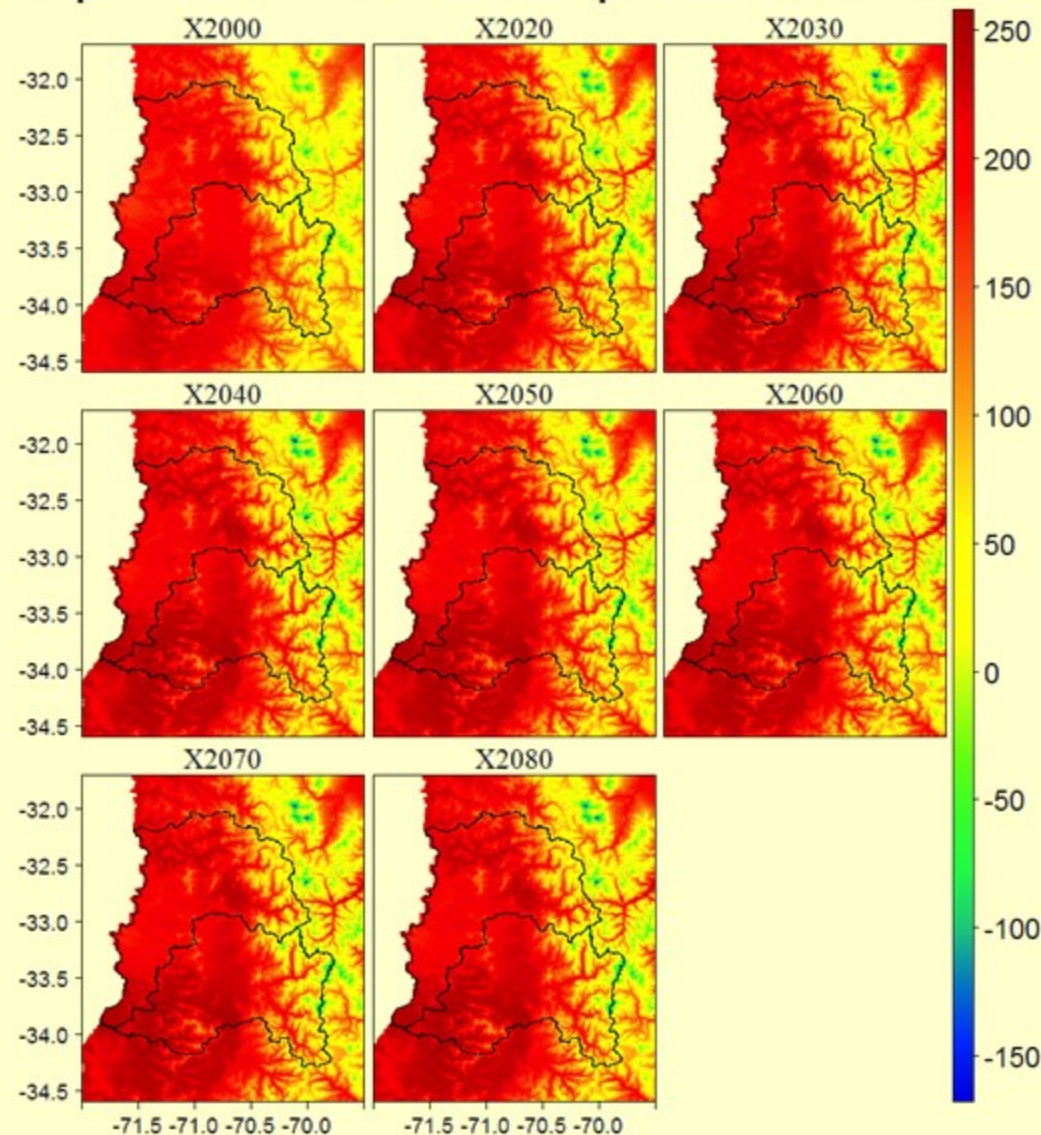
## Temperatura Media mes de enero para el escenario B1



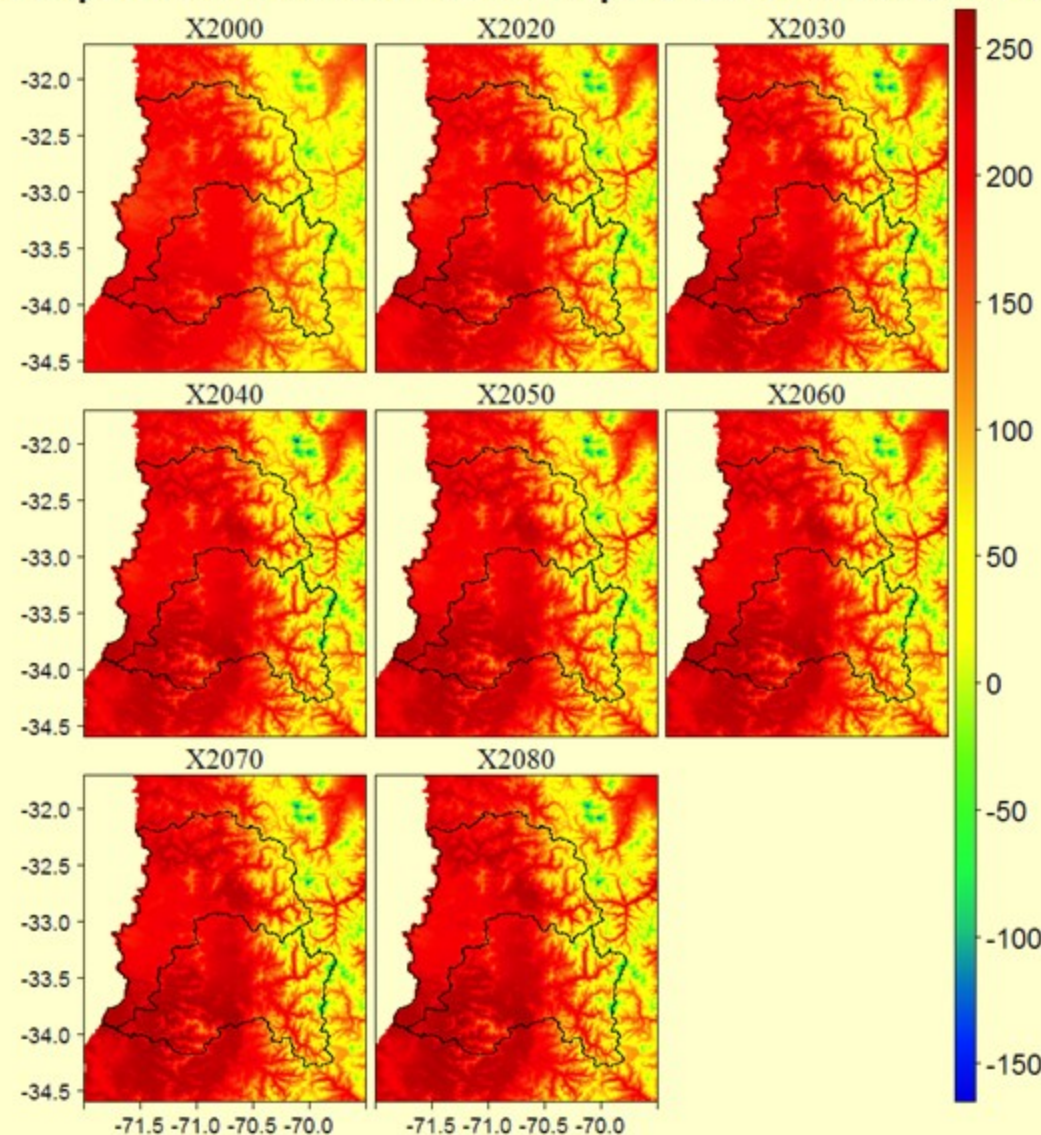
## Temperatura Media mes de enero para el escenario B2



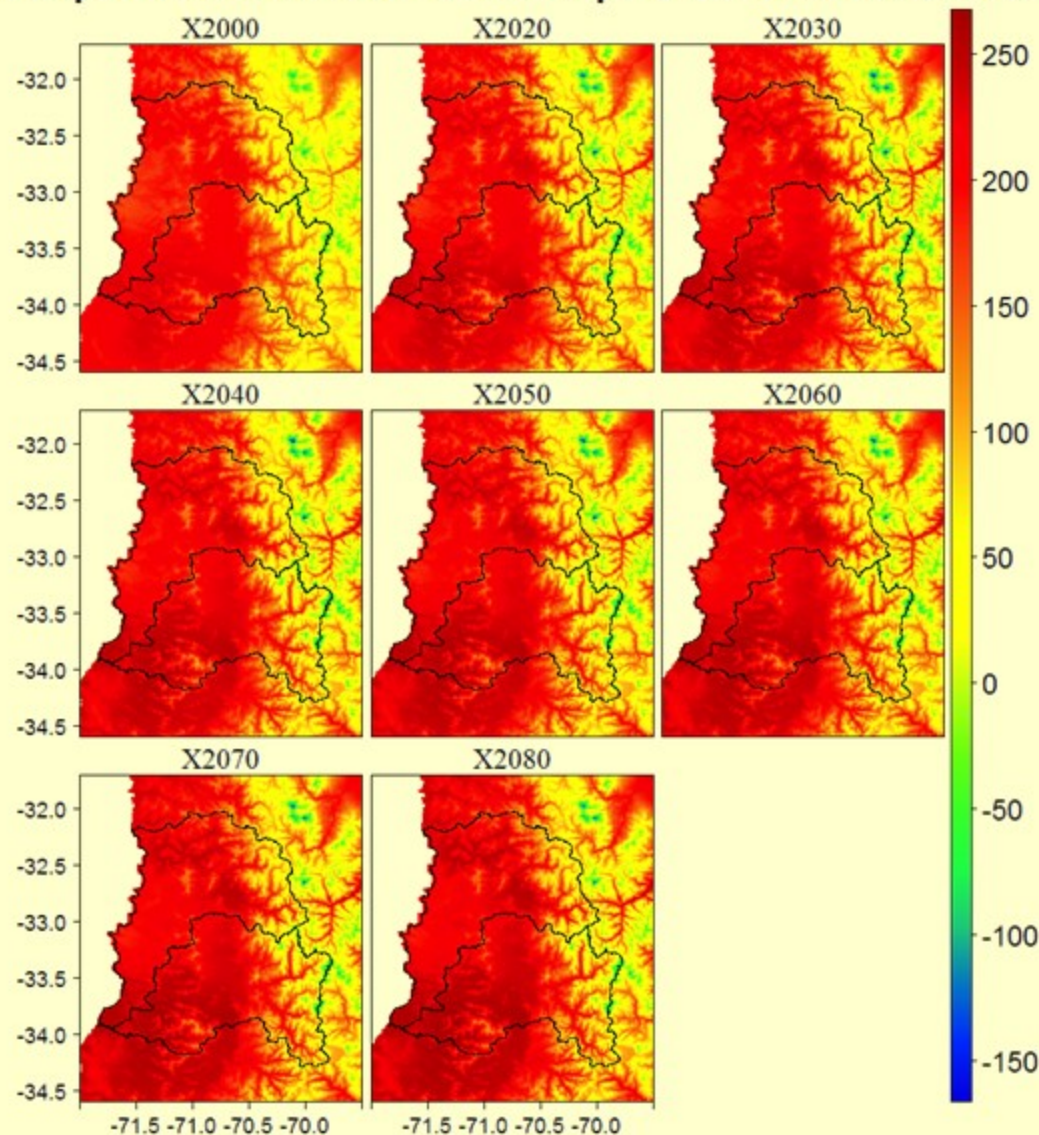
## Temperatura Media mes de enero para el escenario RCP 2.6



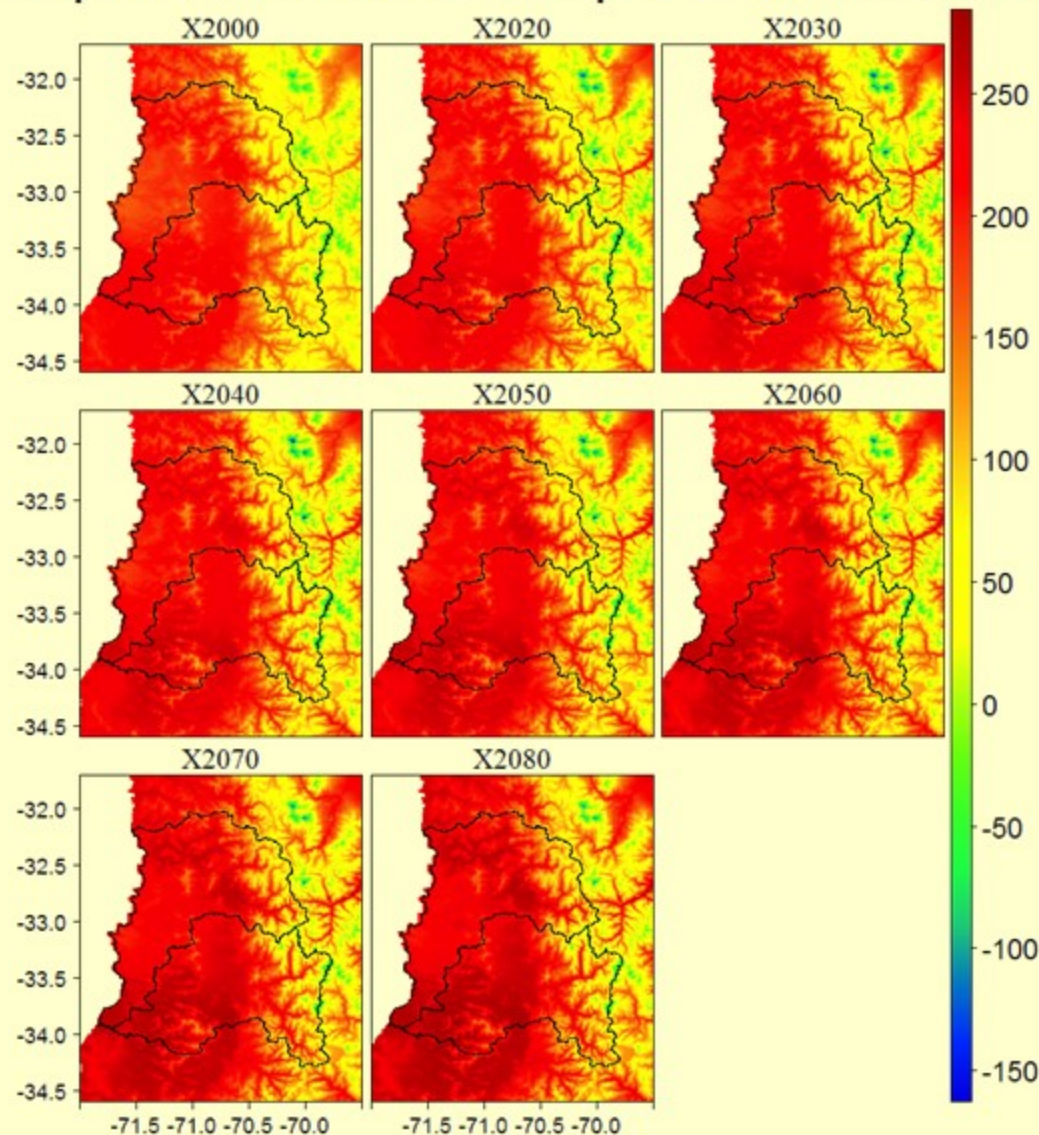
## Temperatura Media mes de enero para el escenario RCP 4.5



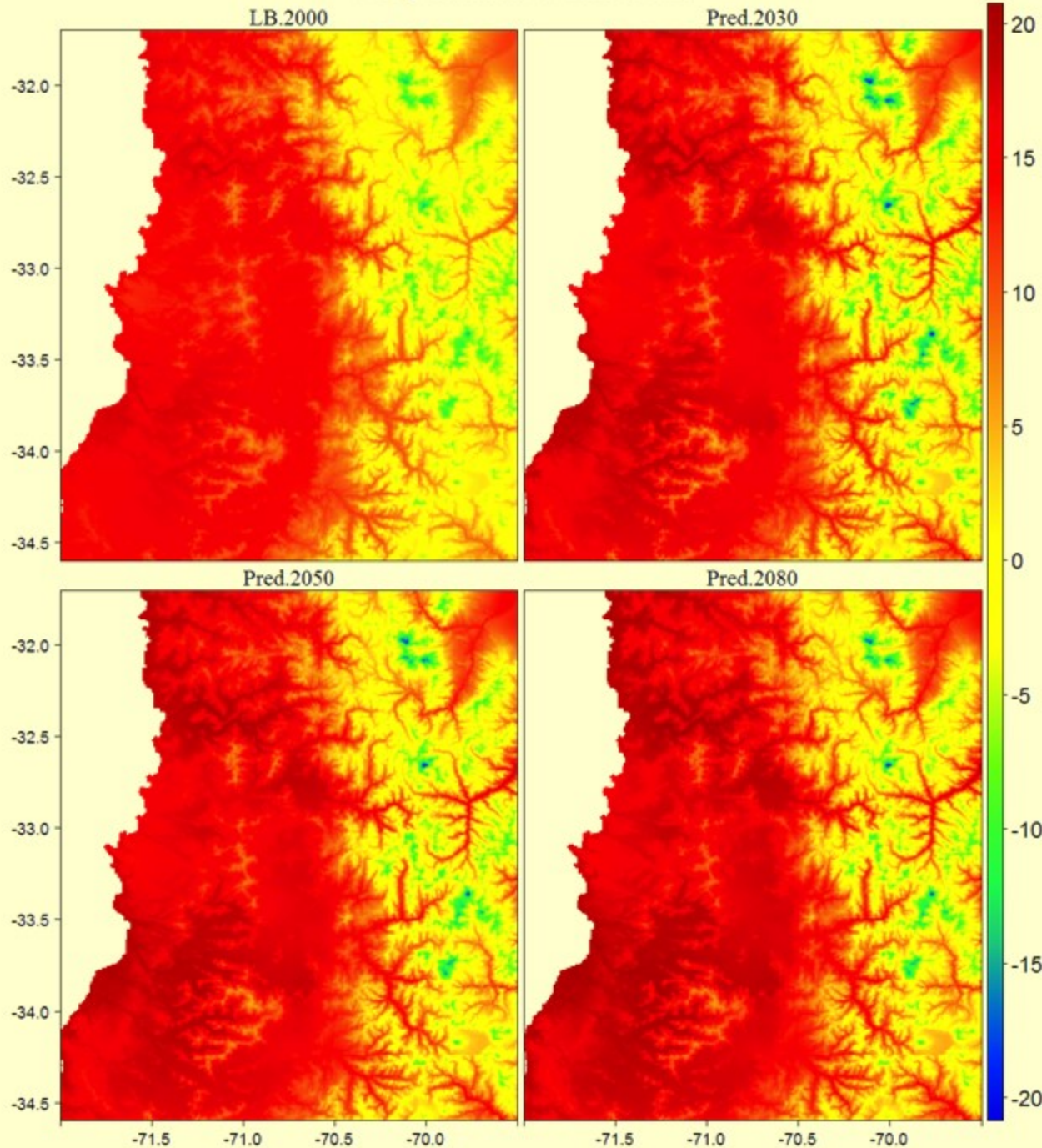
## Temperatura Media mes de enero para el escenario RCP 6.0



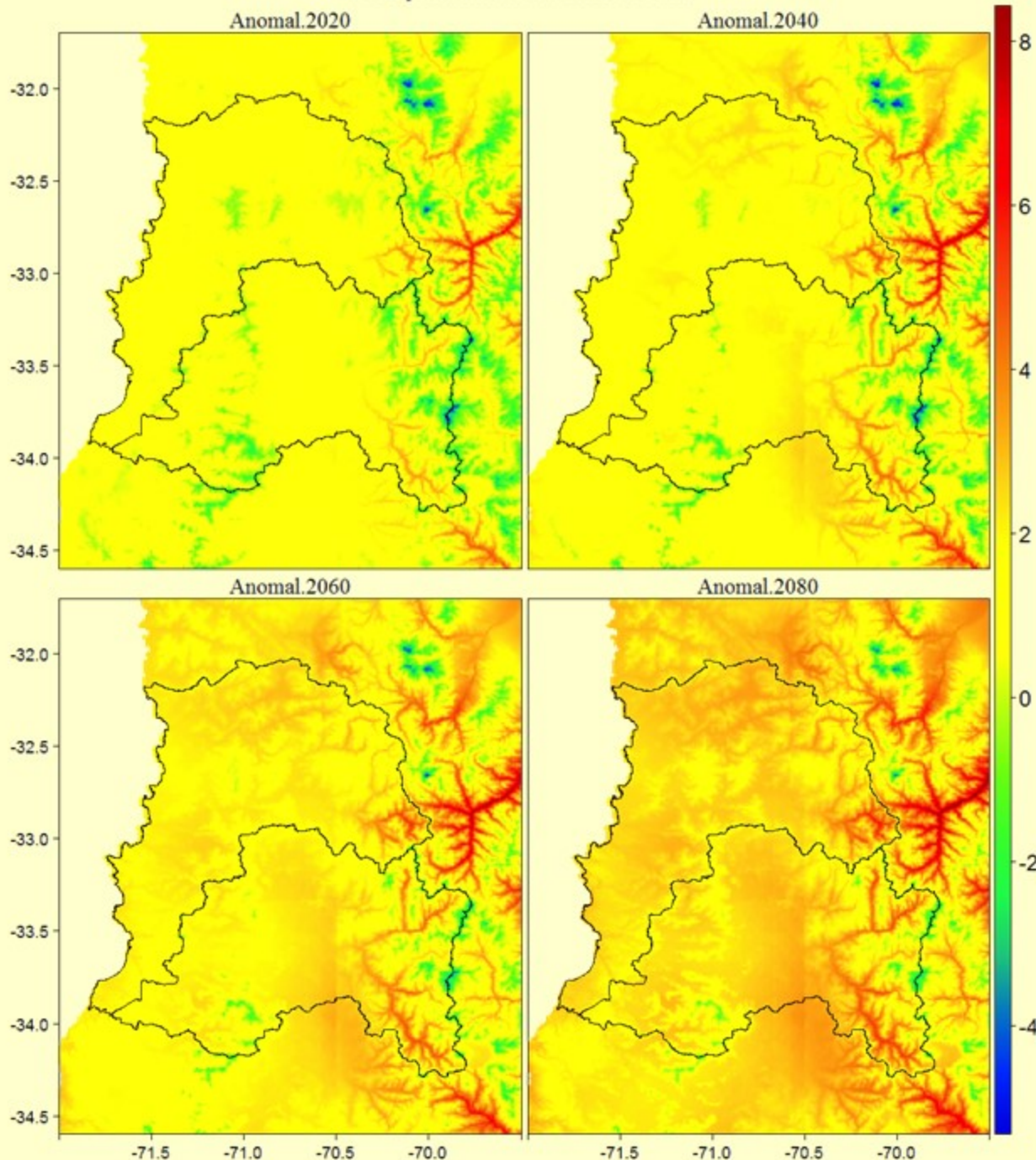
## Temperatura Media mes de enero para el escenario RCP 8.5



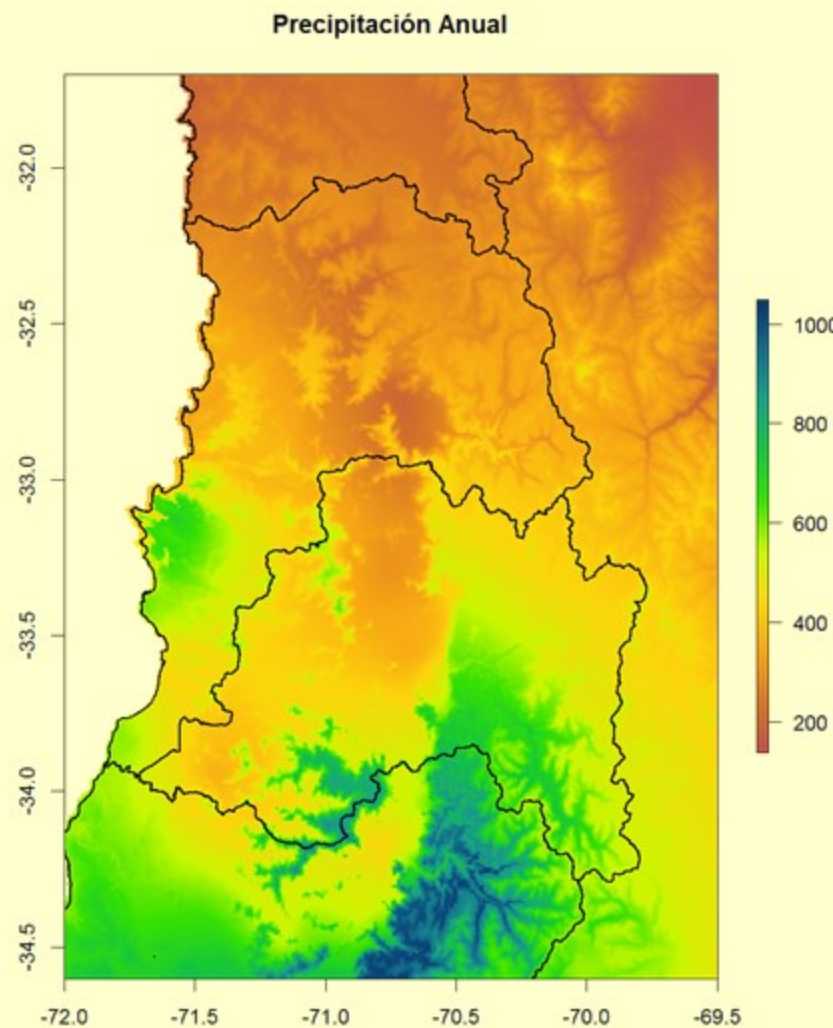
## Temperatura media anual



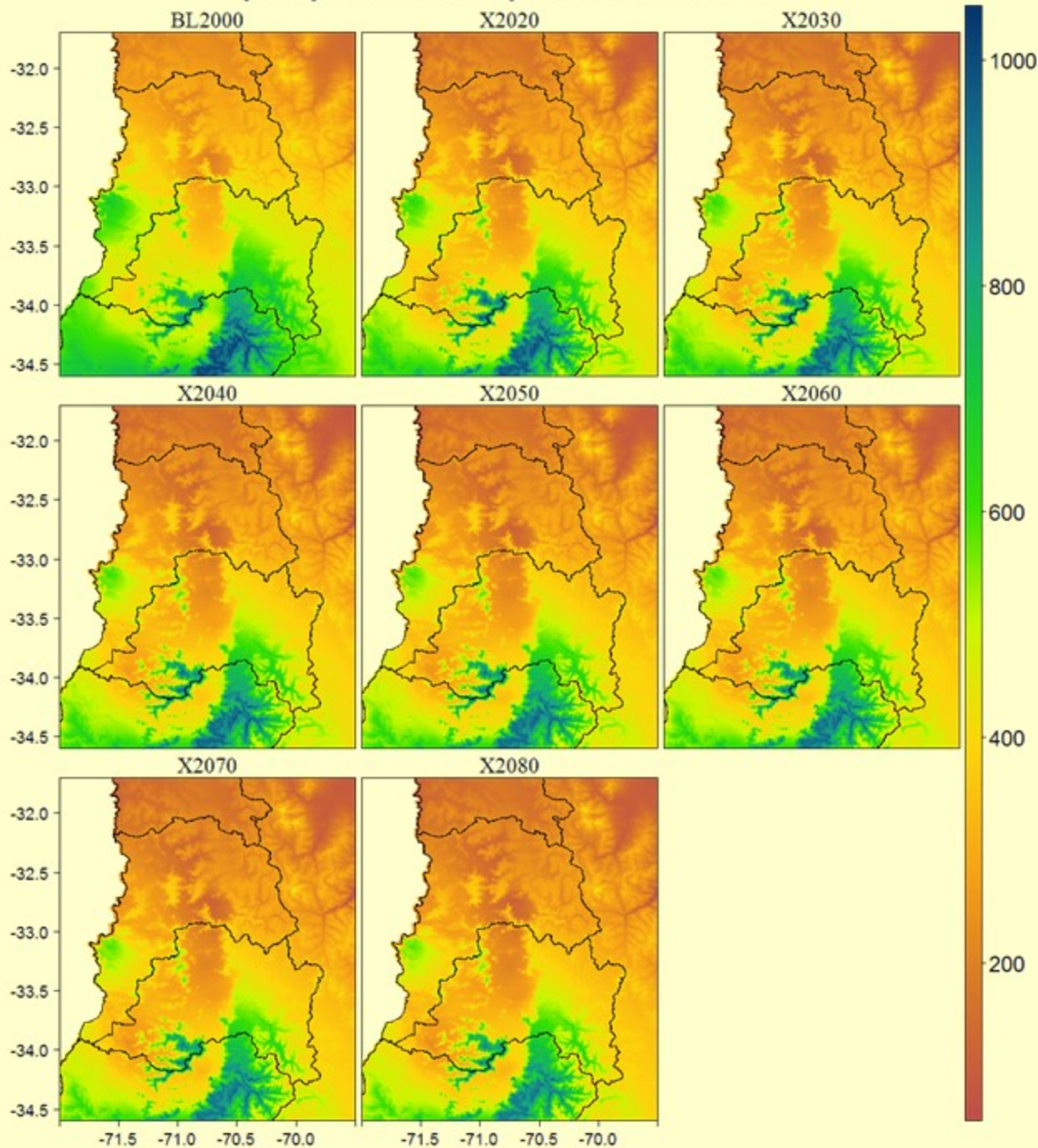
# Temperatura media anual



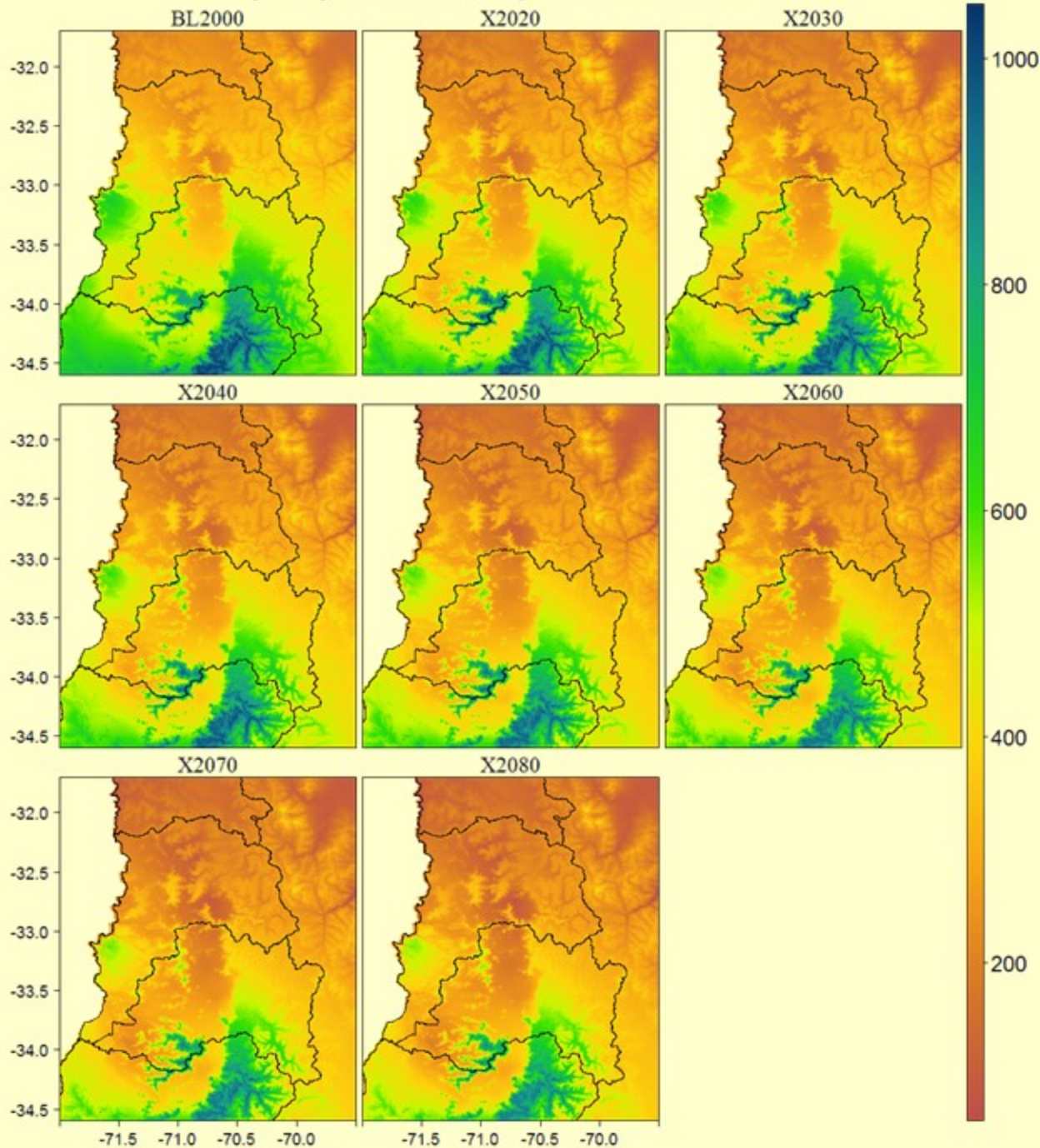
# Precipitación



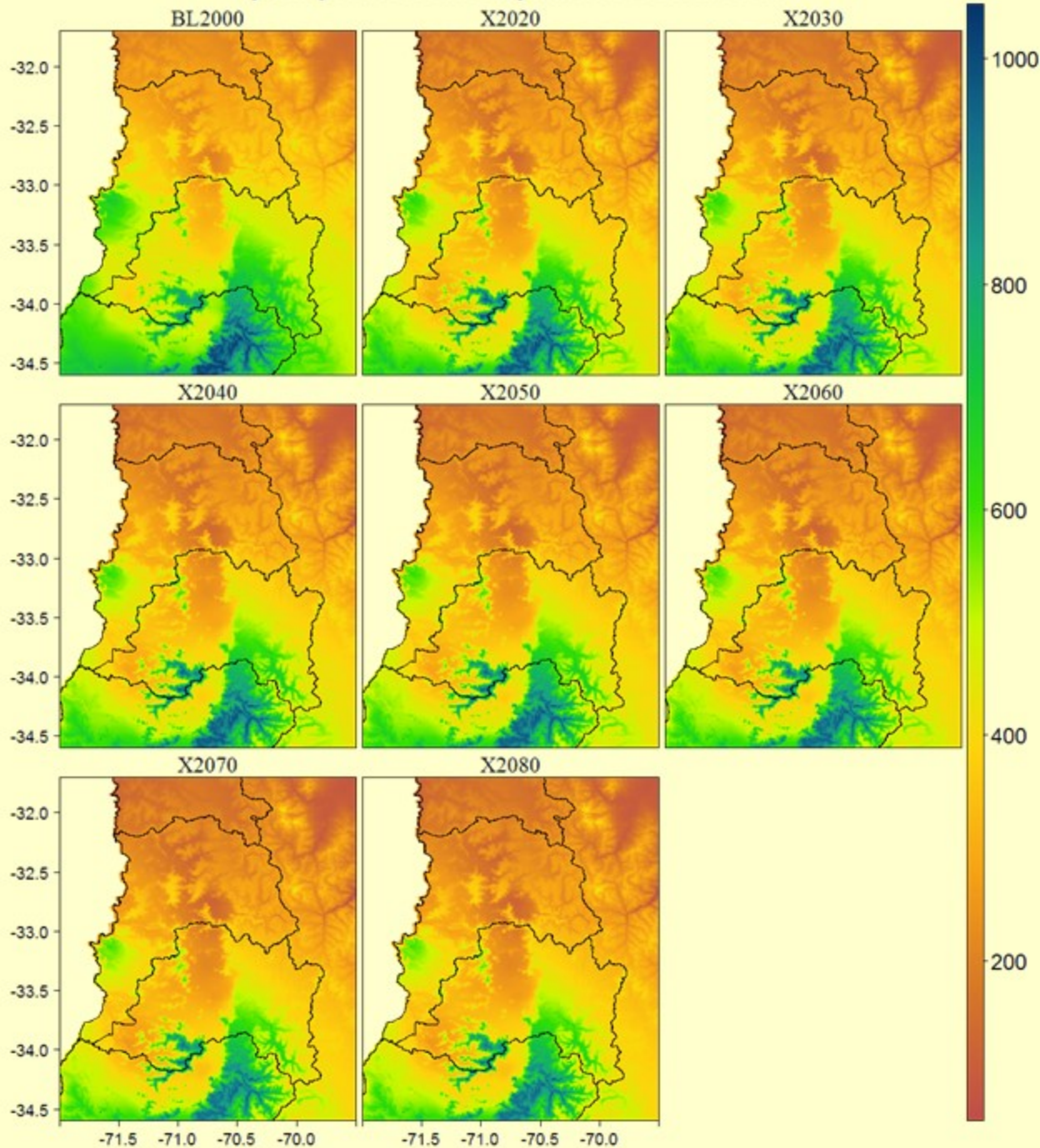
# precipitación anual para el escenario a1b



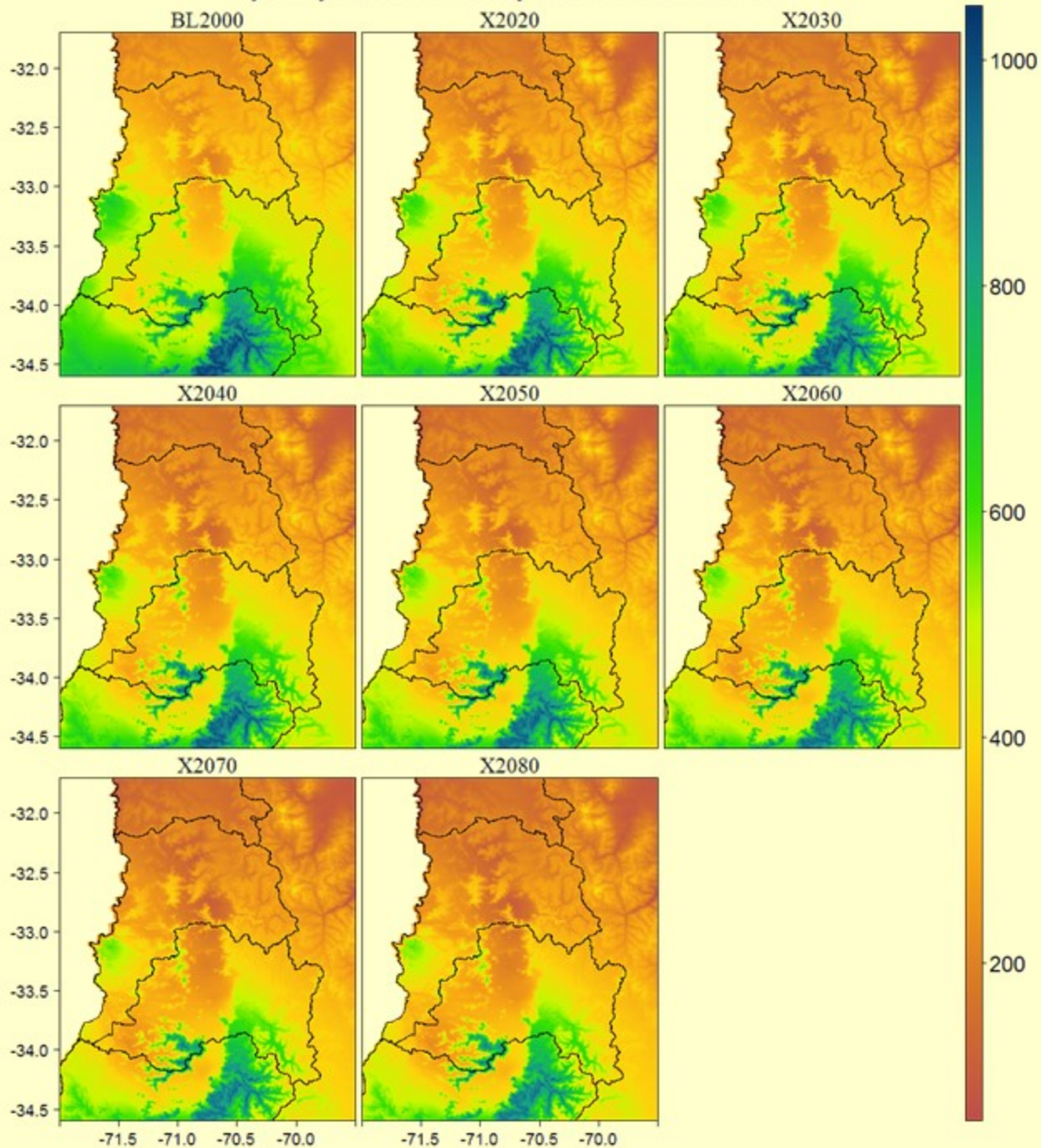
## precipitación anual para el escenario a2



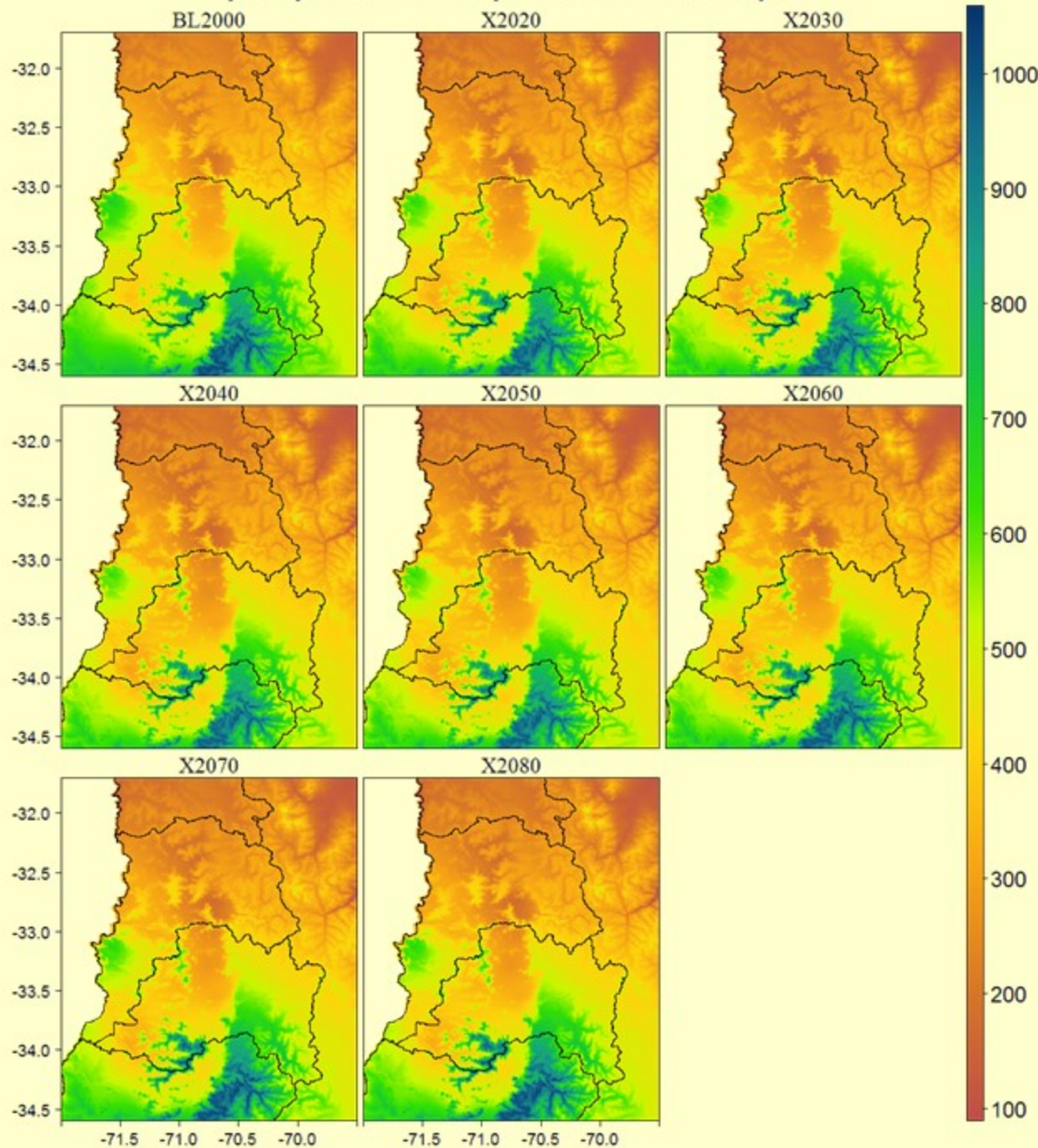
# precipitación anual para el escenario b1



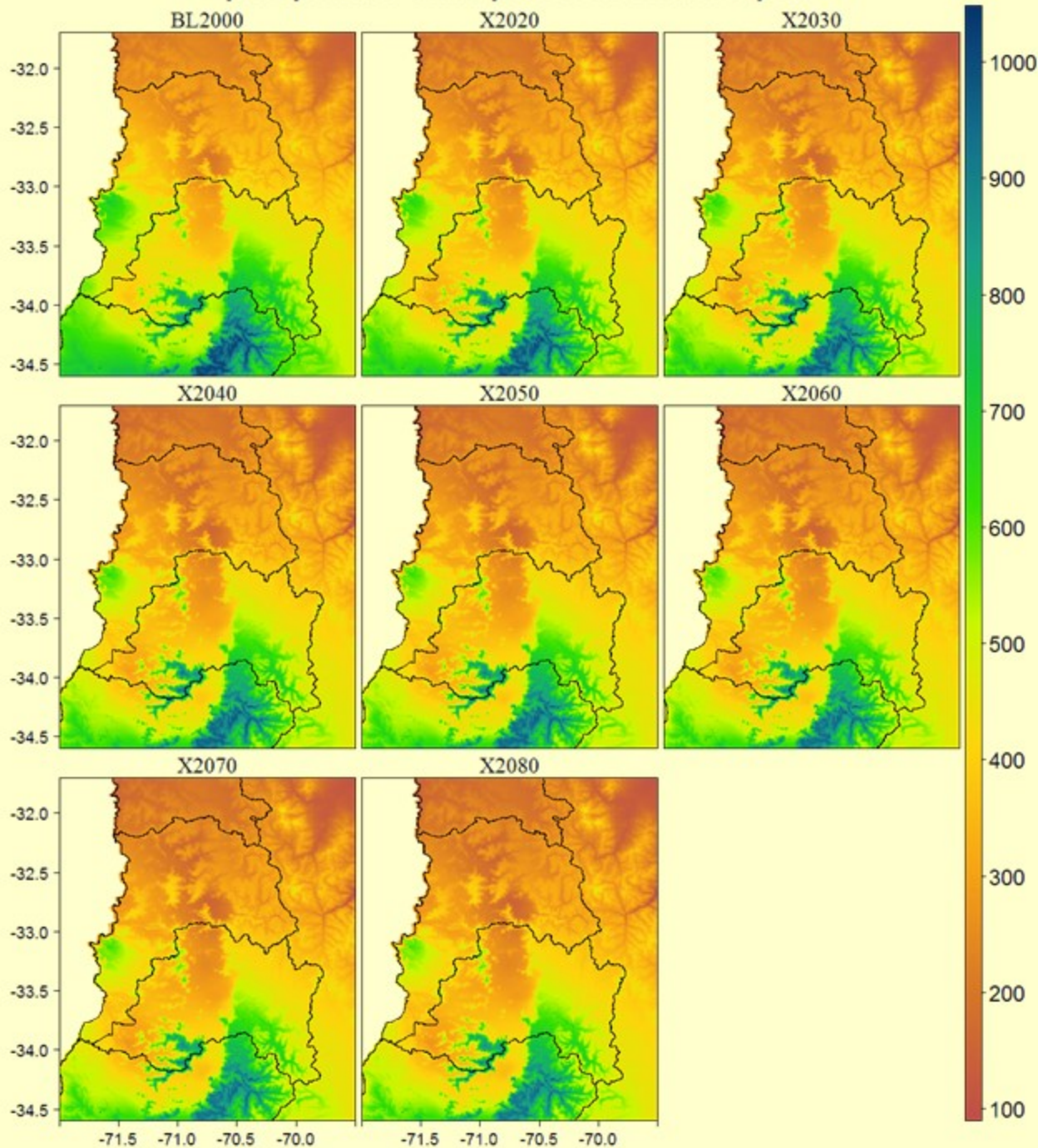
## precipitación anual para el escenario b2



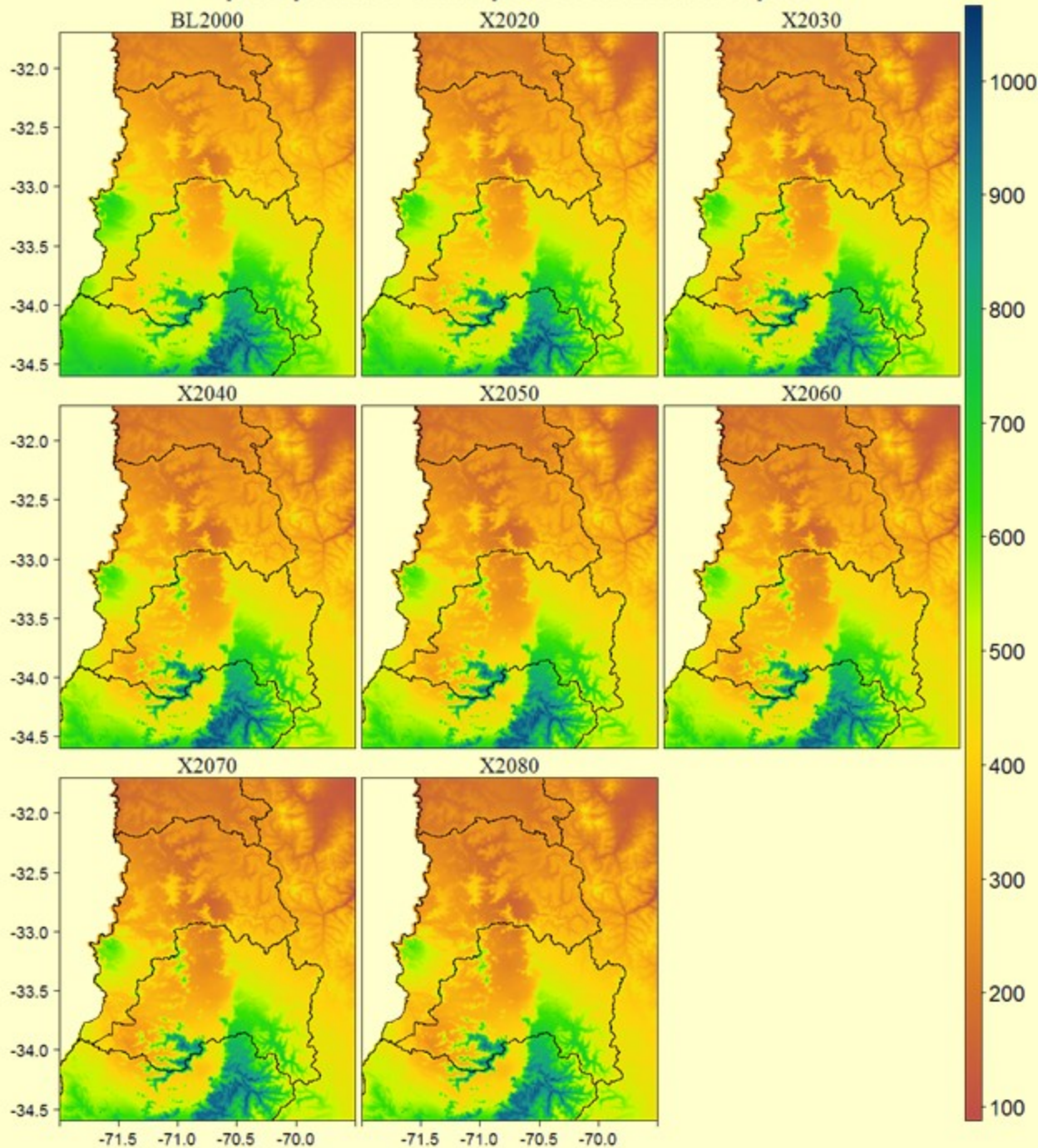
# precipitación anual para el escenario rcp2.6



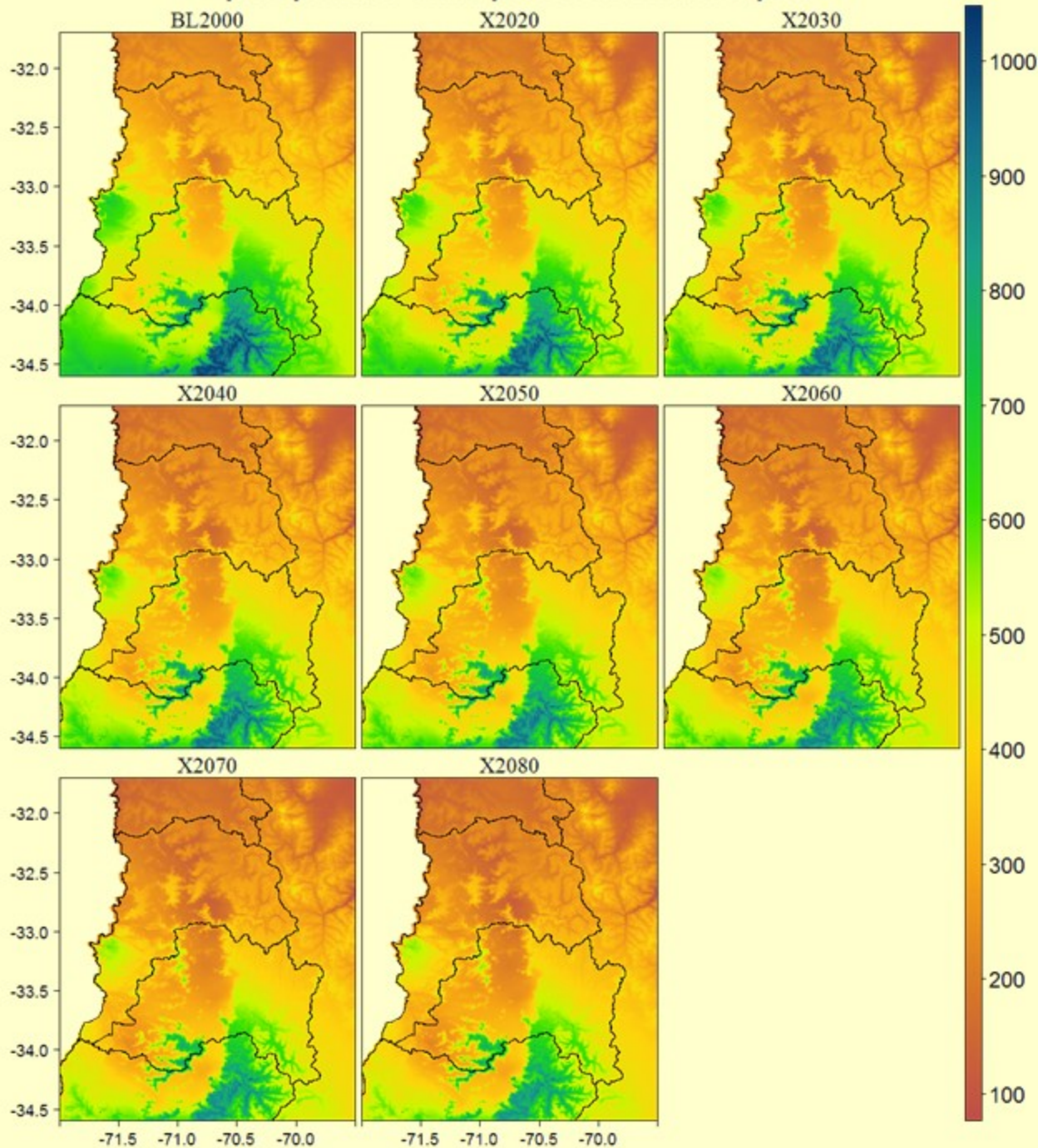
# precipitación anual para el escenario rcp4.5



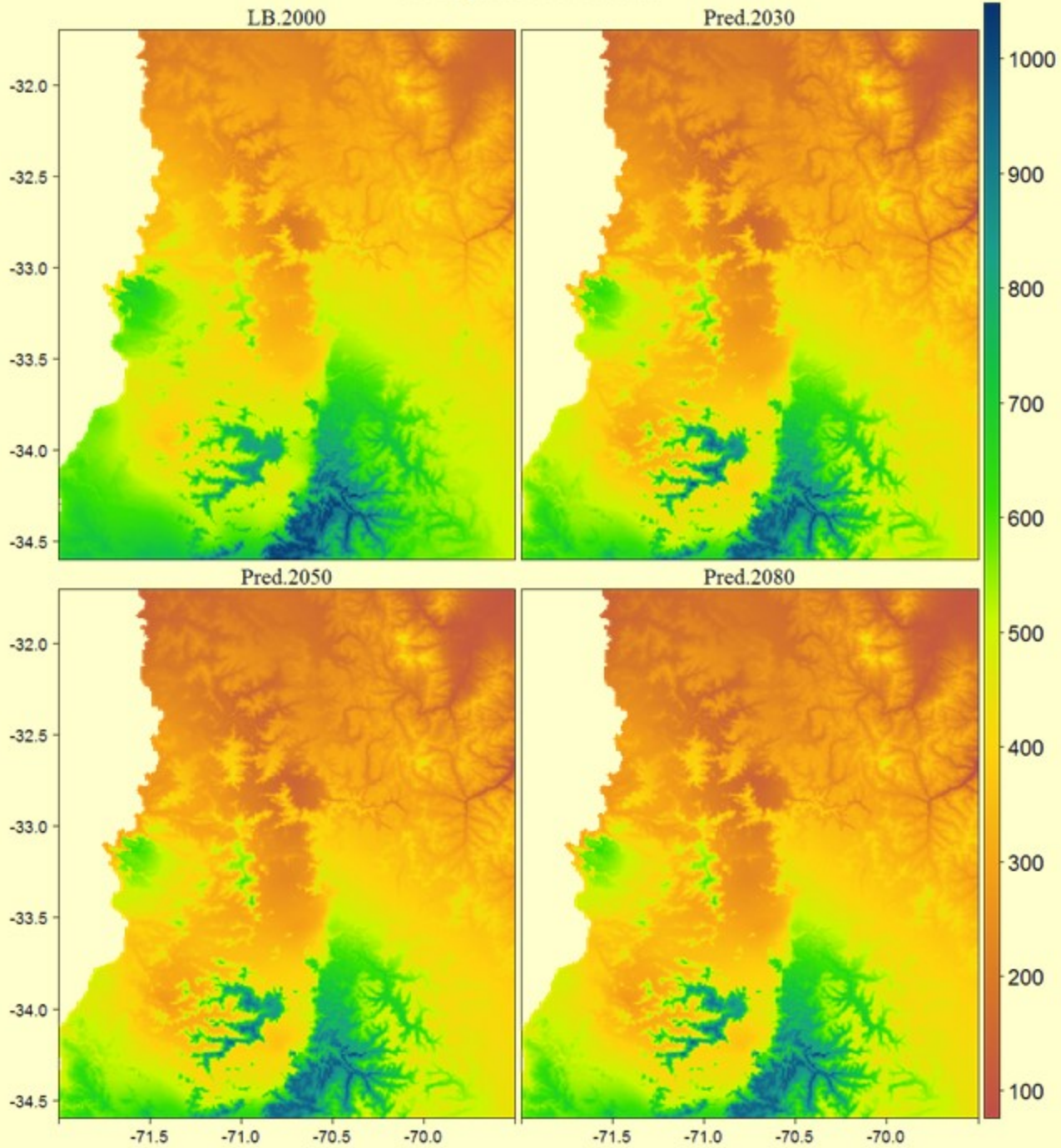
# precipitación anual para el escenario rcp6.0



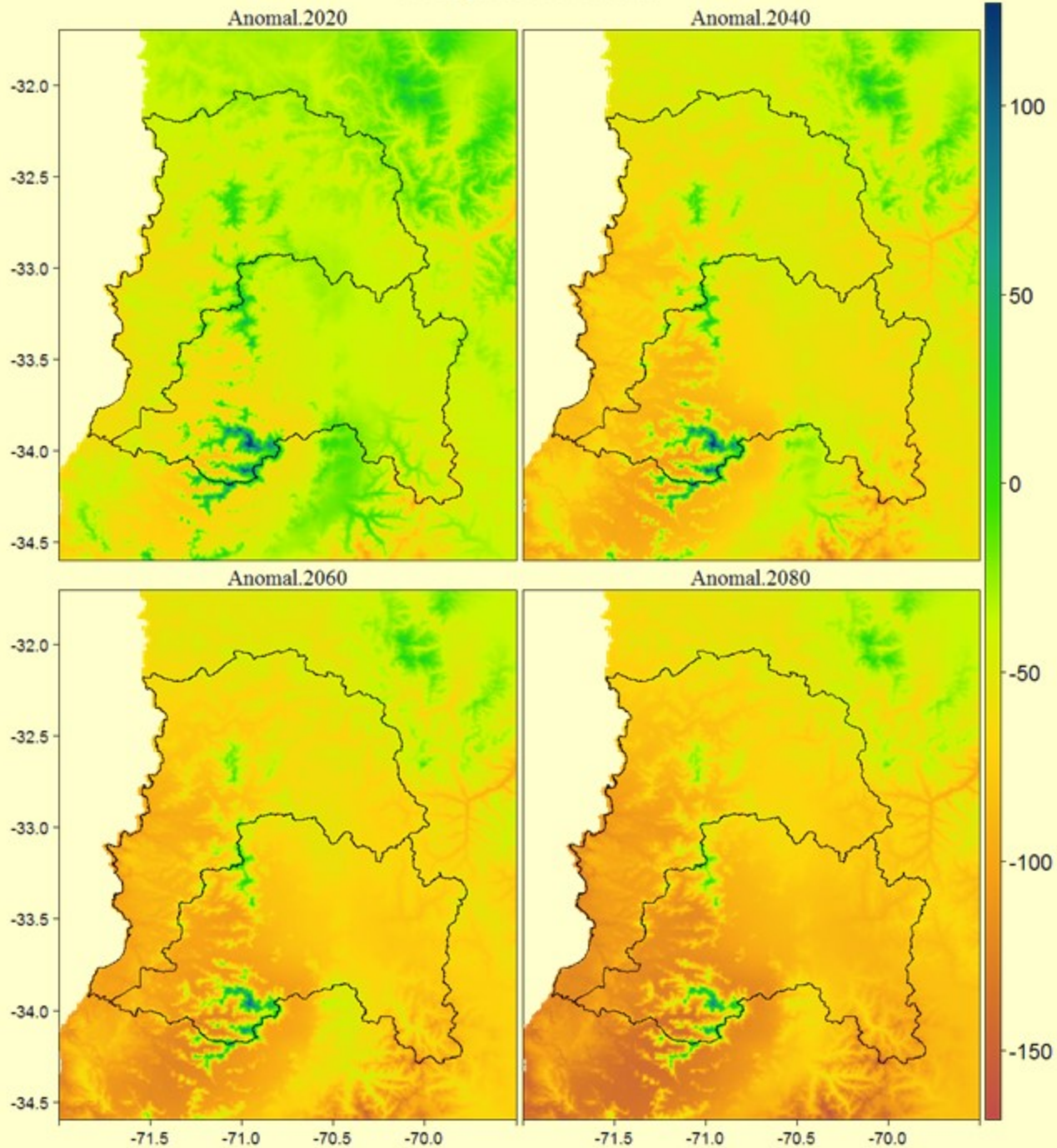
# precipitación anual para el escenario rcp8.5



## Precipitación anual

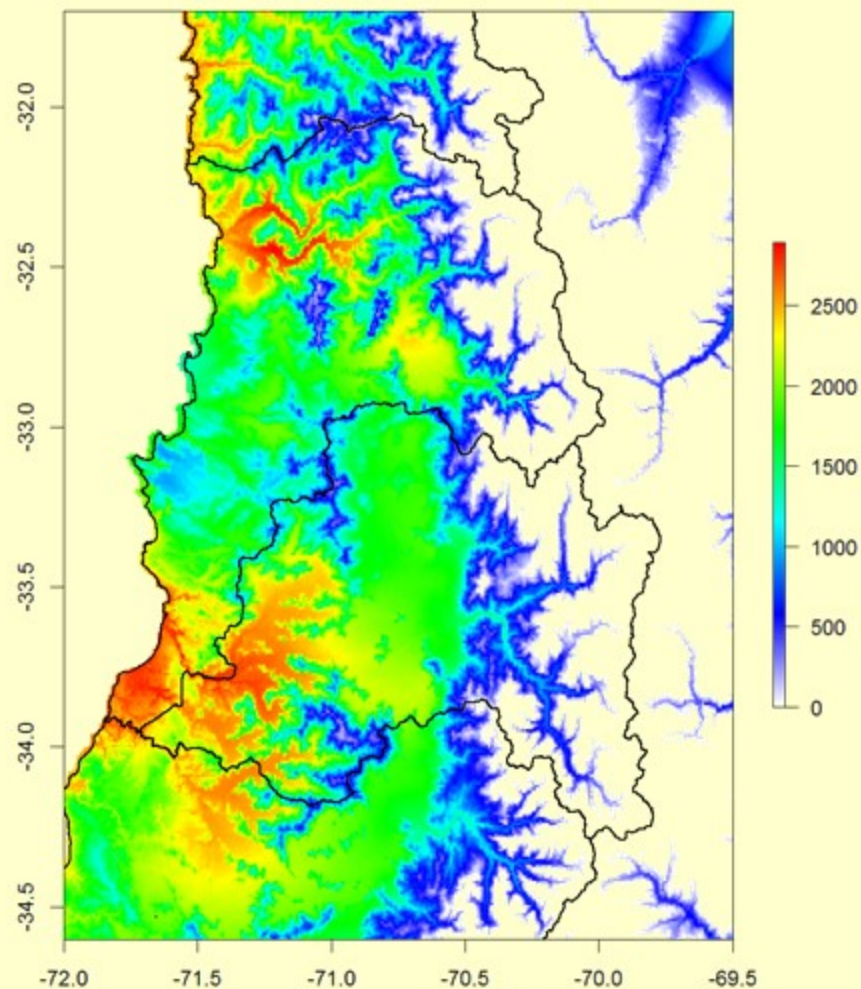


## Precipitación anual

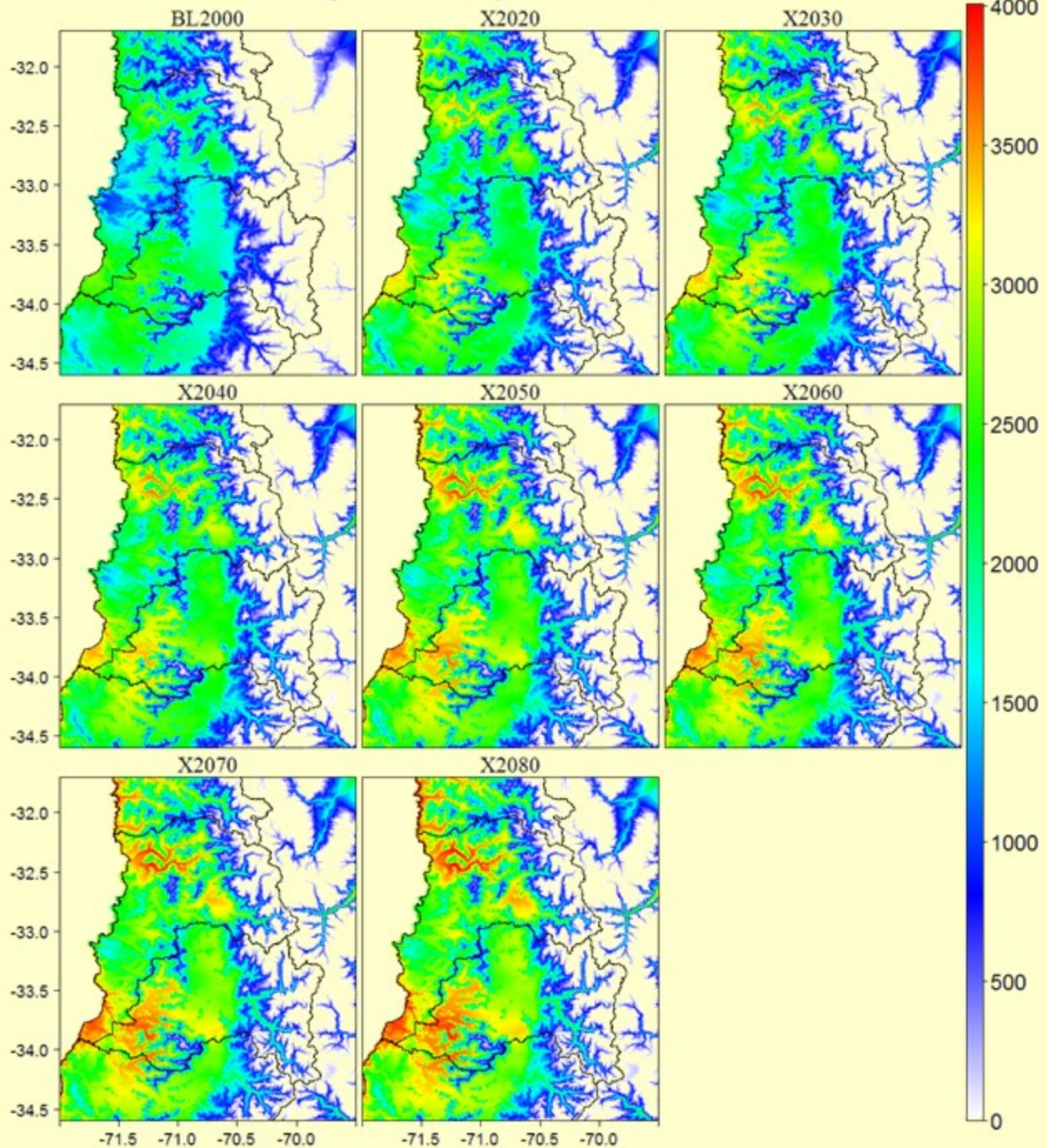


# Días Grado

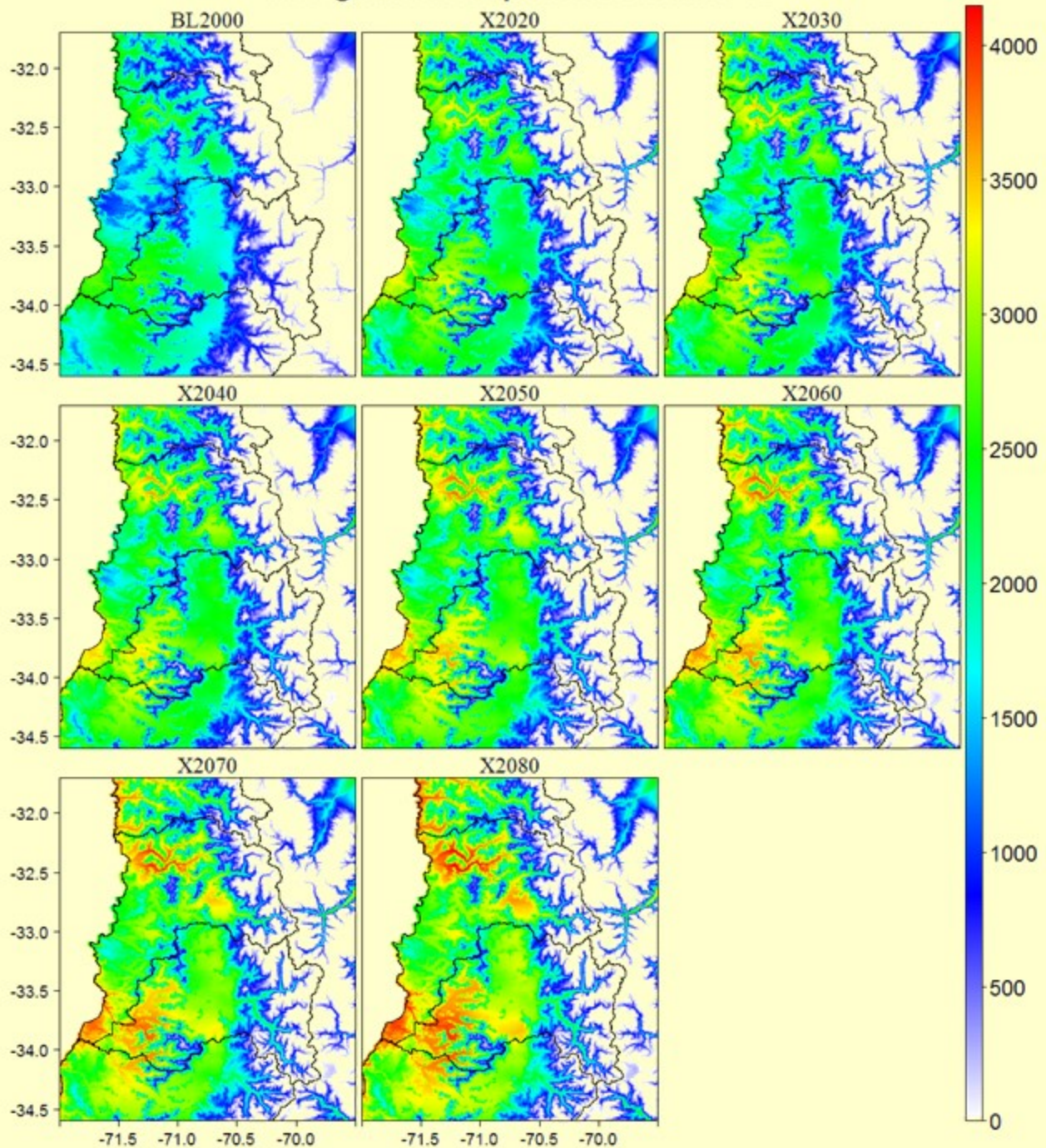
Días Grado Anual



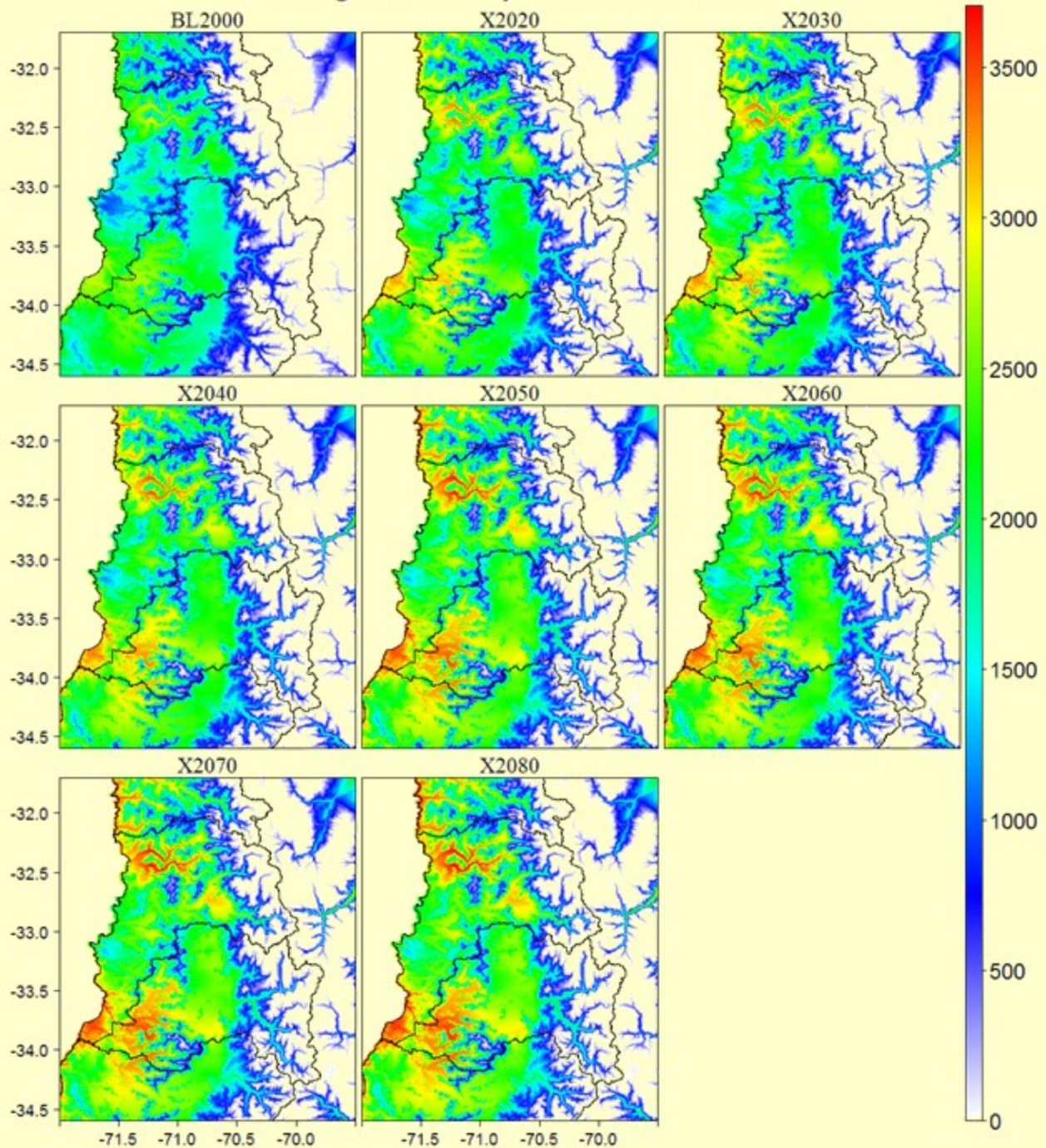
## Días grado anual para el escenario a1b



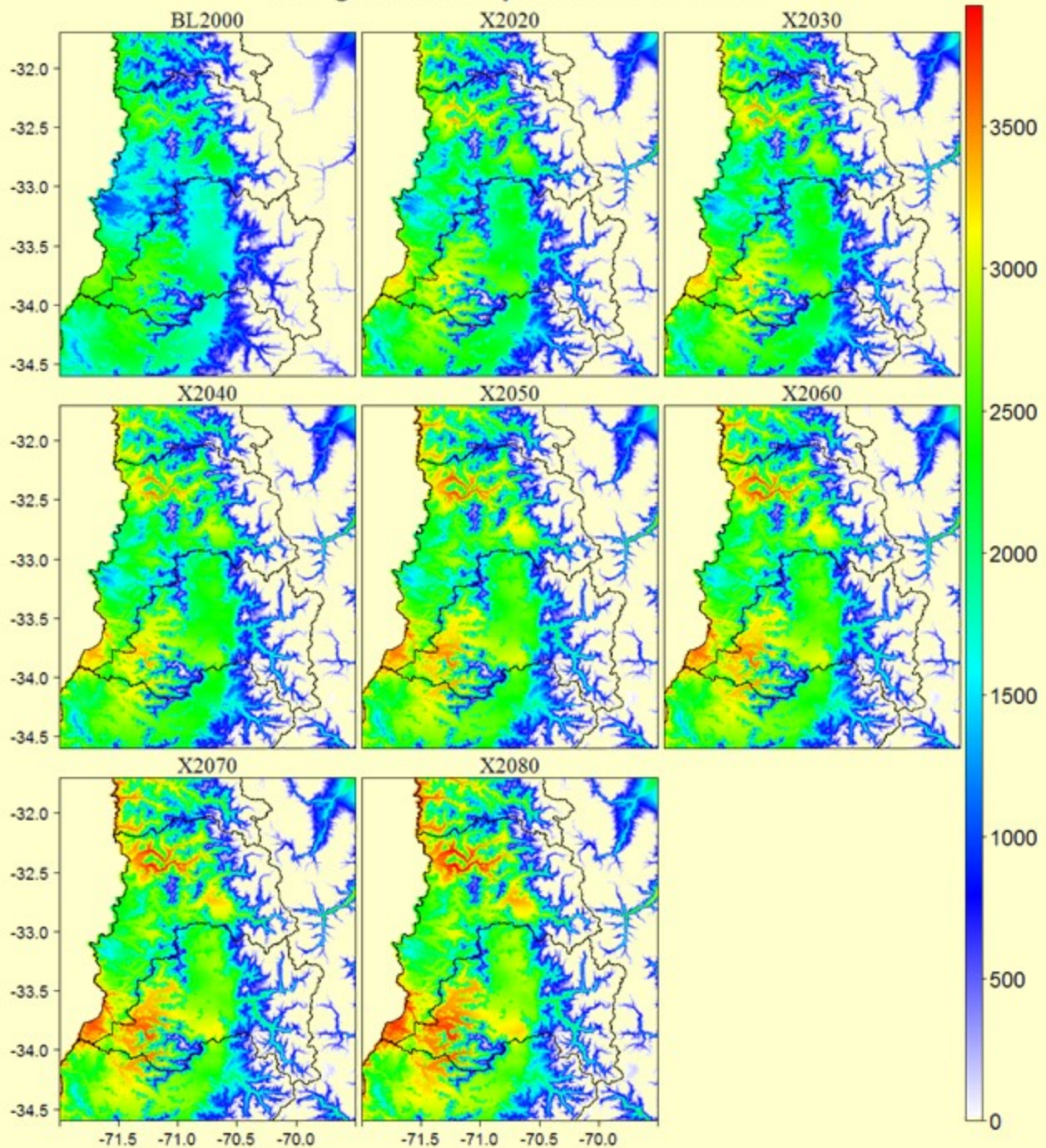
## Días grado anual para el escenario a2



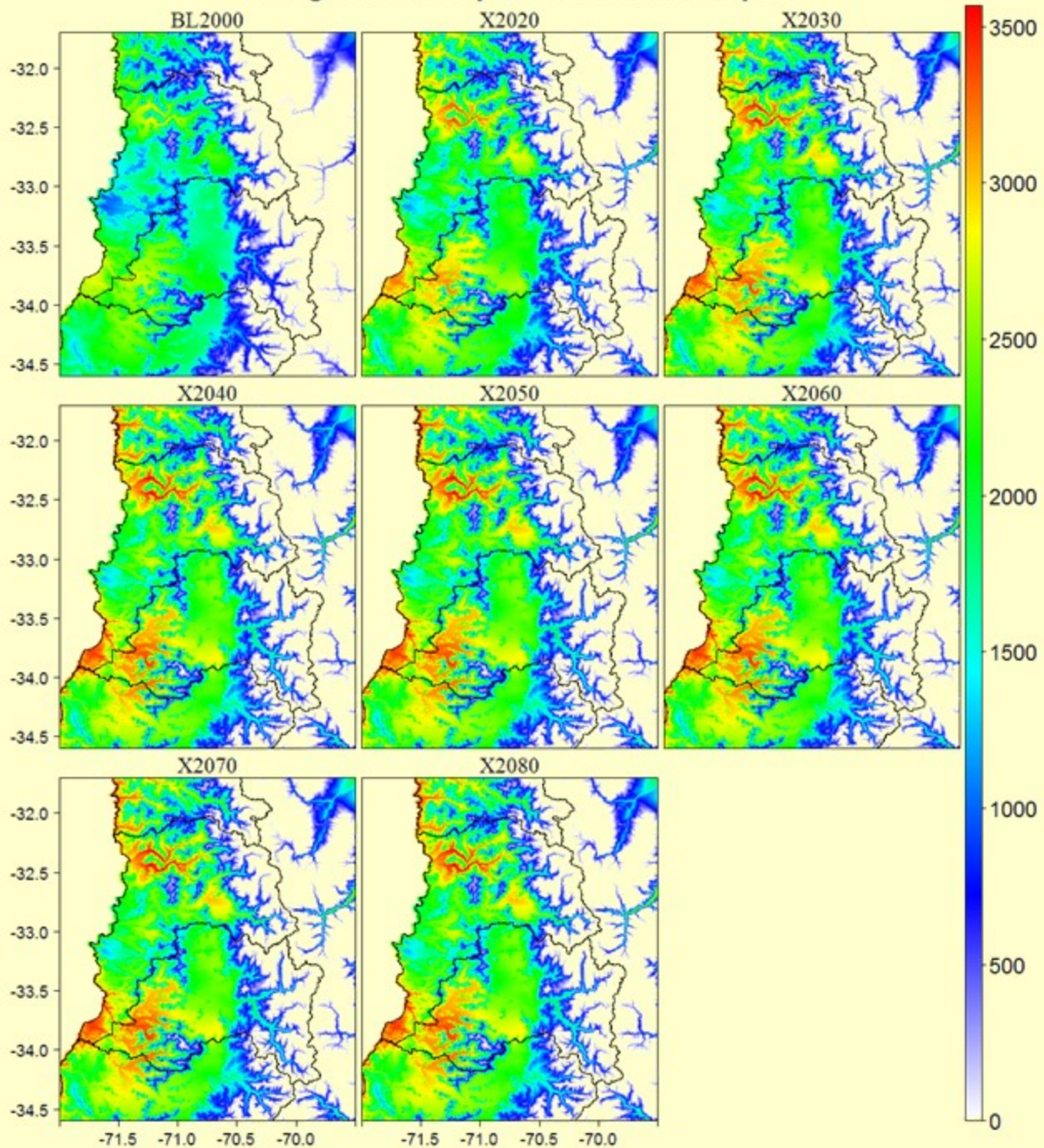
## Días grado anual para el escenario b1



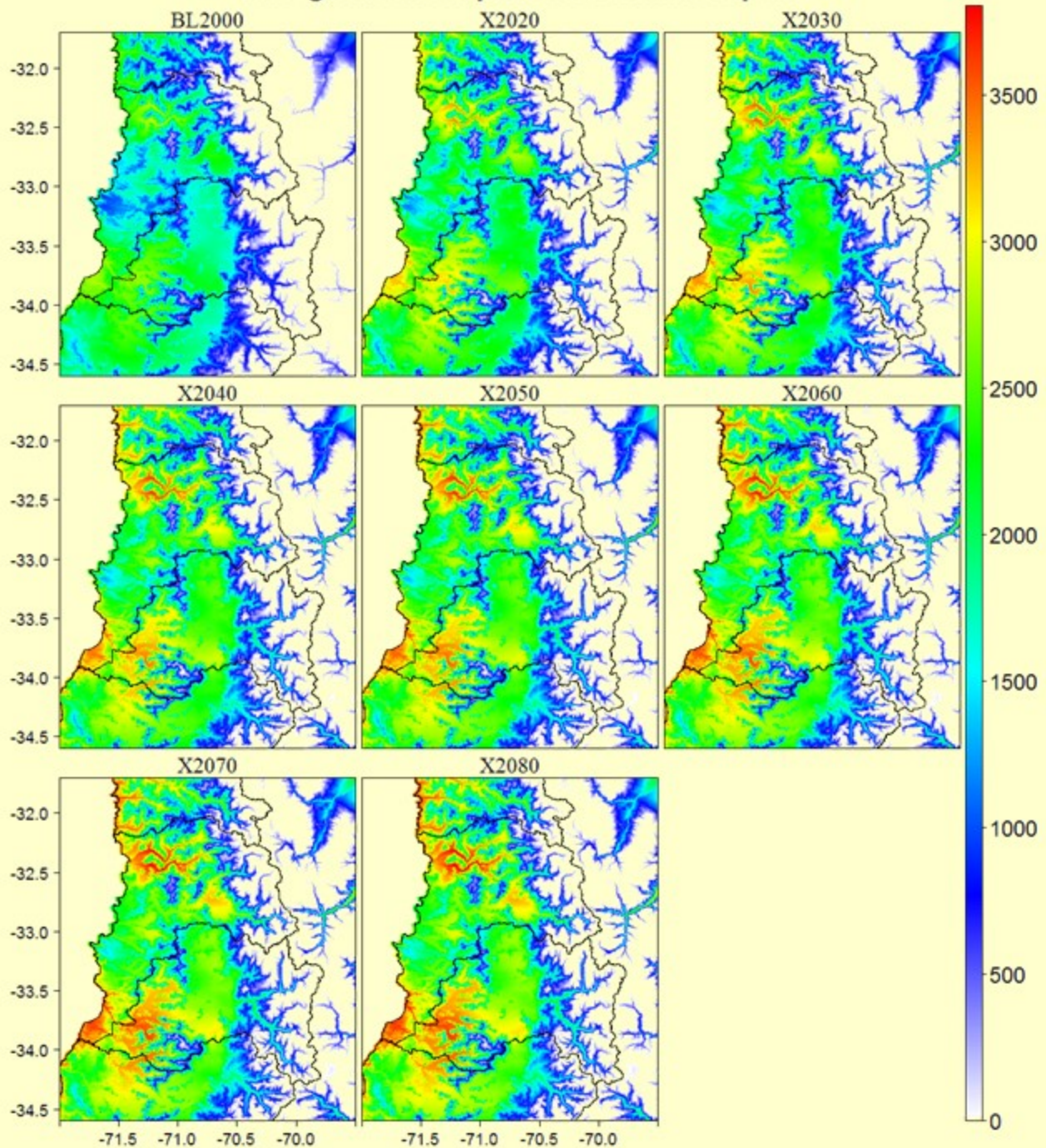
## Días grado anual para el escenario b2



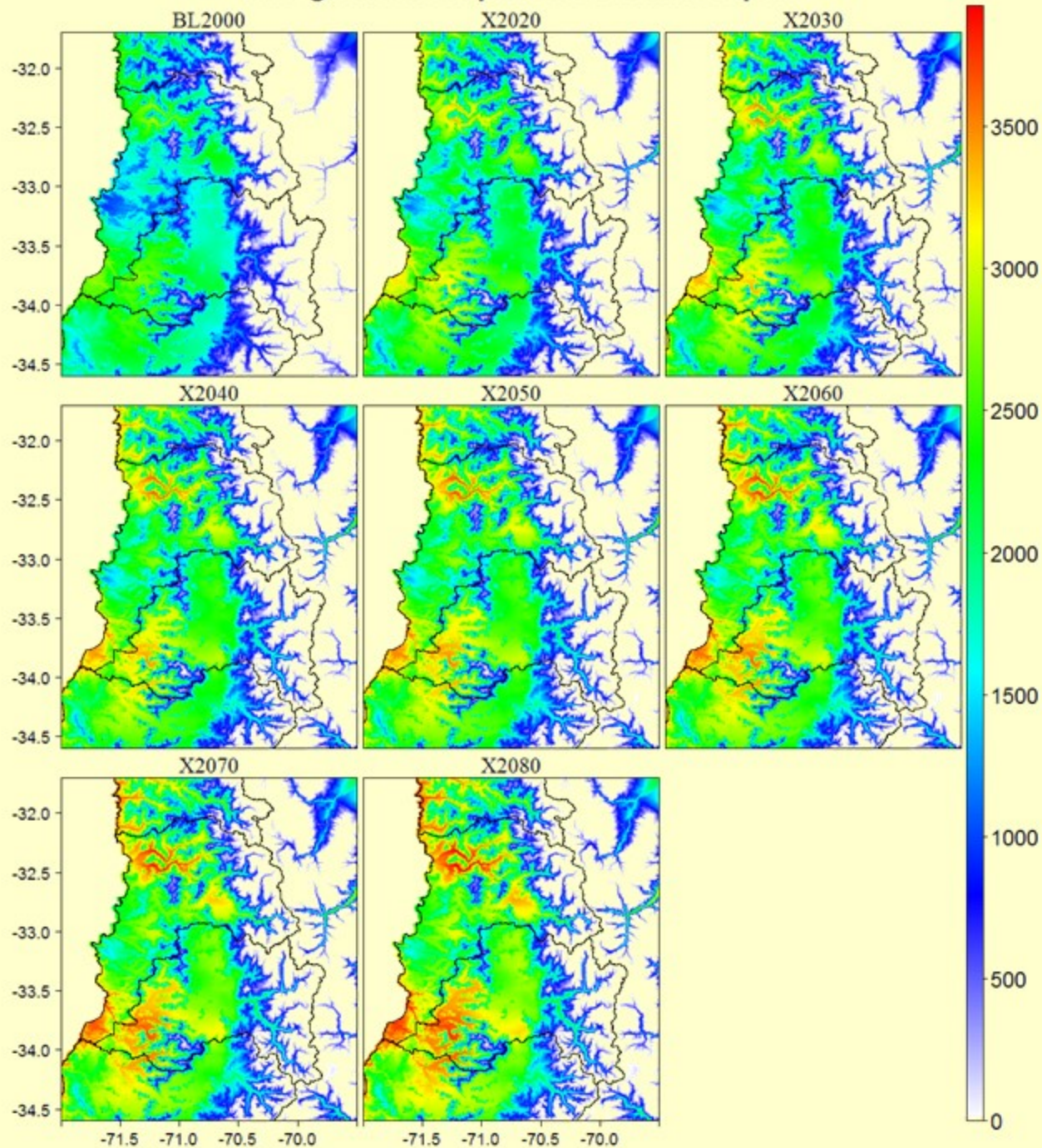
### Días grado anual para el escenario rcp2.6



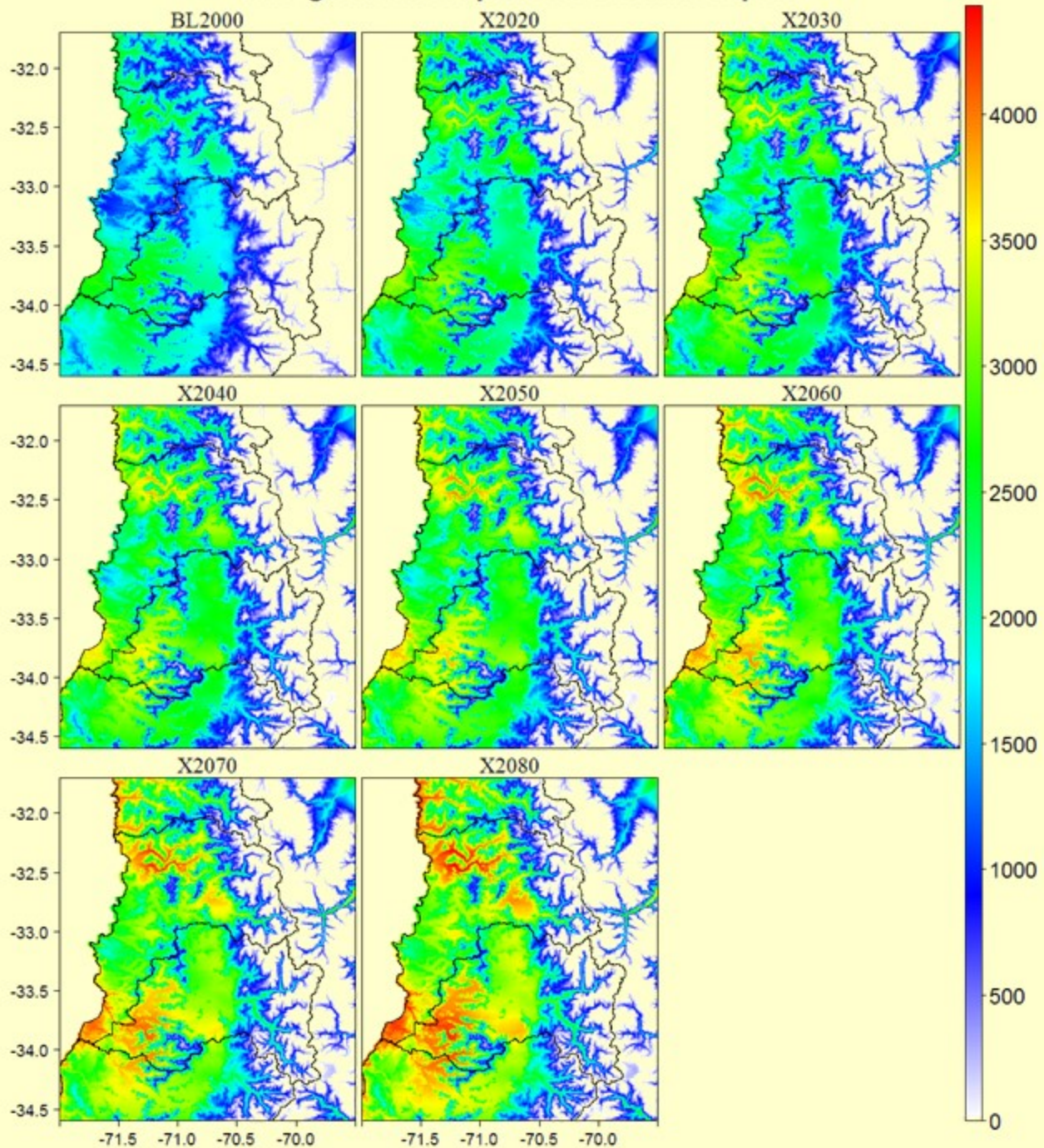
## Días grado anual para el escenario rcp4.5



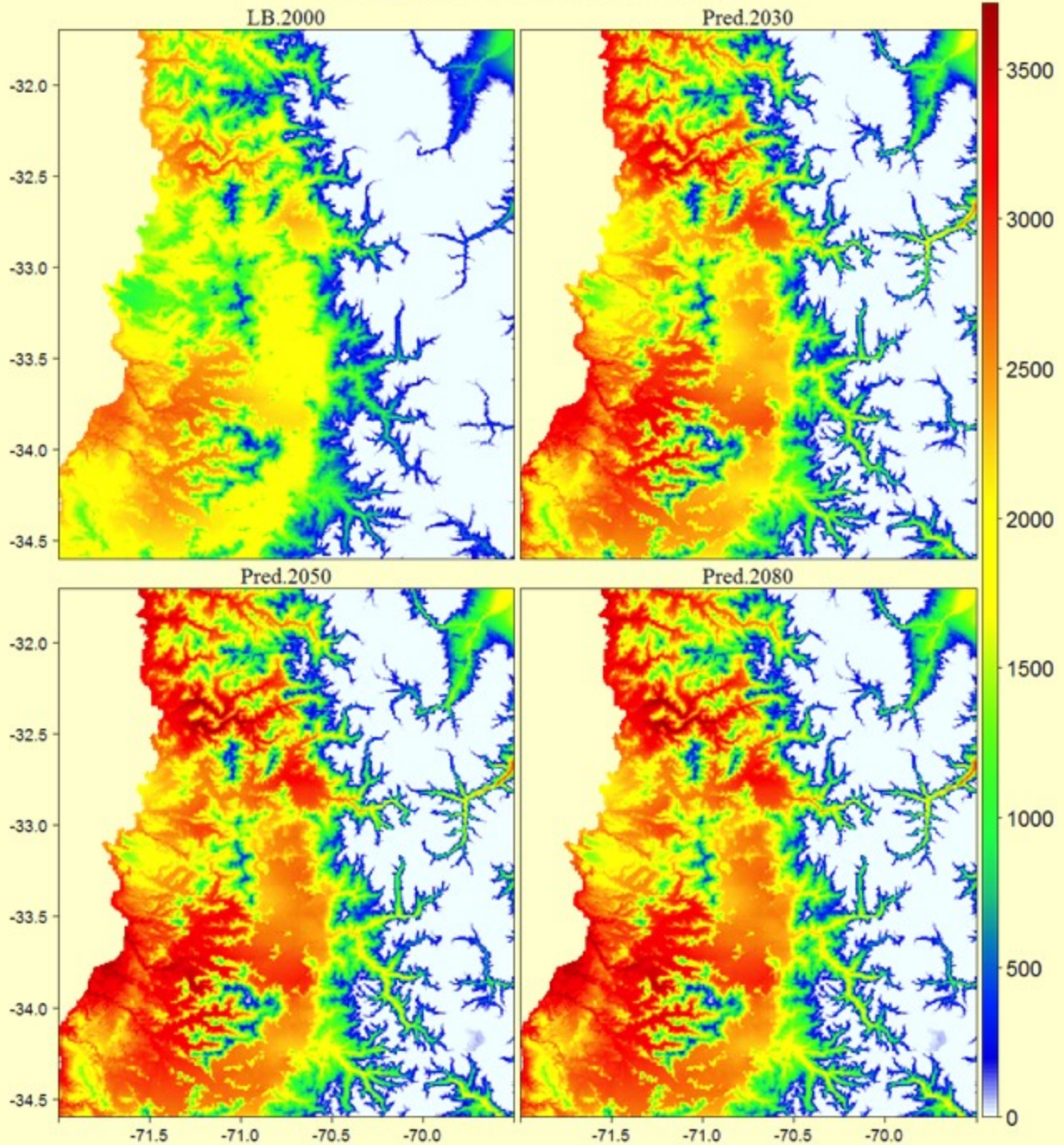
### Días grado anual para el escenario rcp6.0



# Días grado anual para el escenario rcp8.5



# Días grados acumulados anual



# EVAPOTRANSPIRACION (mm/día)

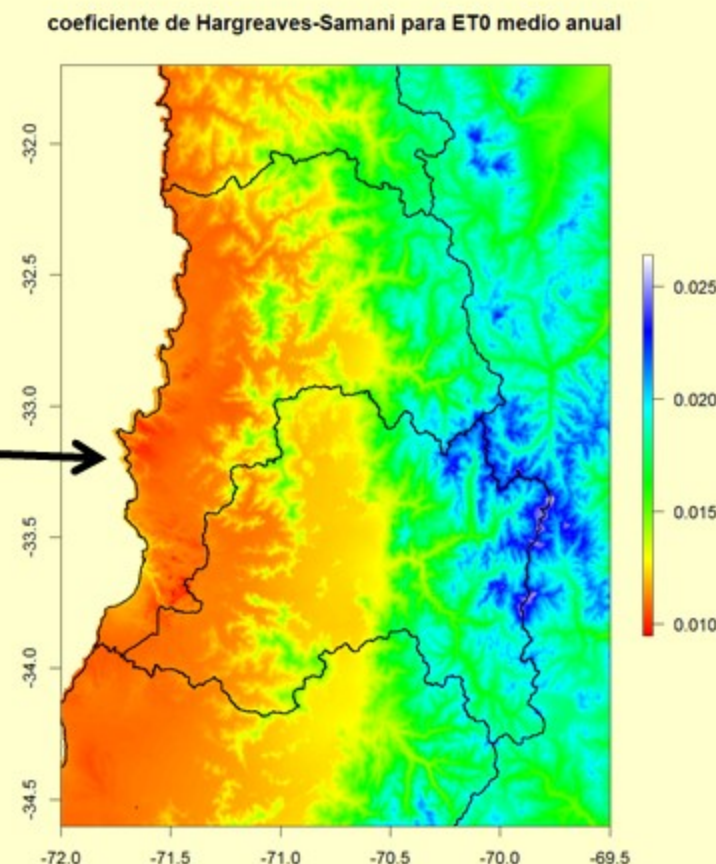
$$ET_d = k_{HS} \cdot \left( \frac{R_g}{\lambda} \right) \cdot (T_m + 17.8)$$

$$\lambda = 2.501 - 0.002361 \cdot T_m$$

$$k_{HS} \approx 0.0135$$

$$R_g = k_{RS} \cdot R_{SE} \cdot \sqrt{T_X - T_N}$$

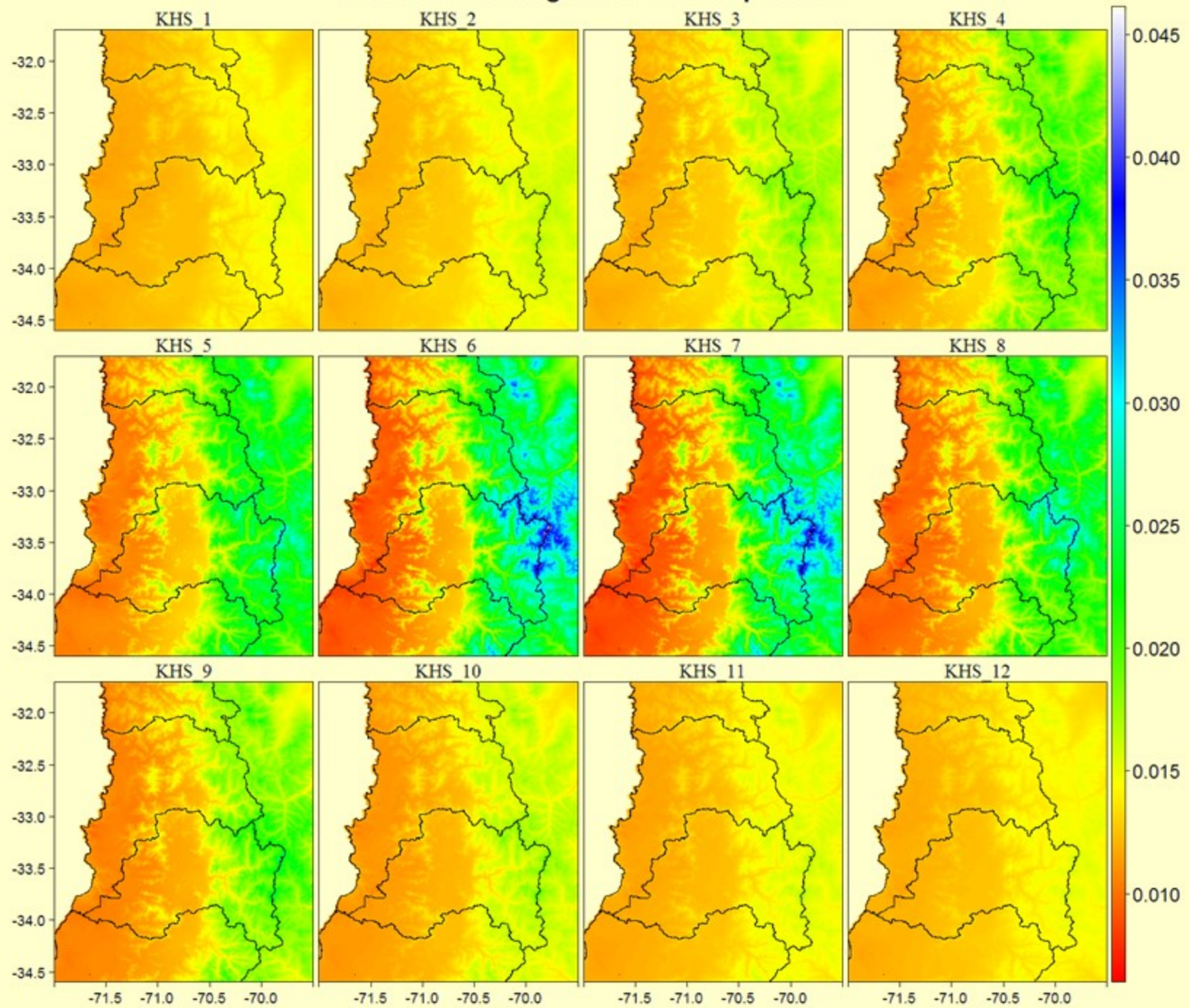
$$k_{RS} \approx 0.17$$



Samani , Z. 2000. Estimating Solar Radiation and Evapotranspiration Using Minimum Climatological Data . Journal of Irrigation and Drainage Engineering, Vol. 126, No. 4, pp. 265-267

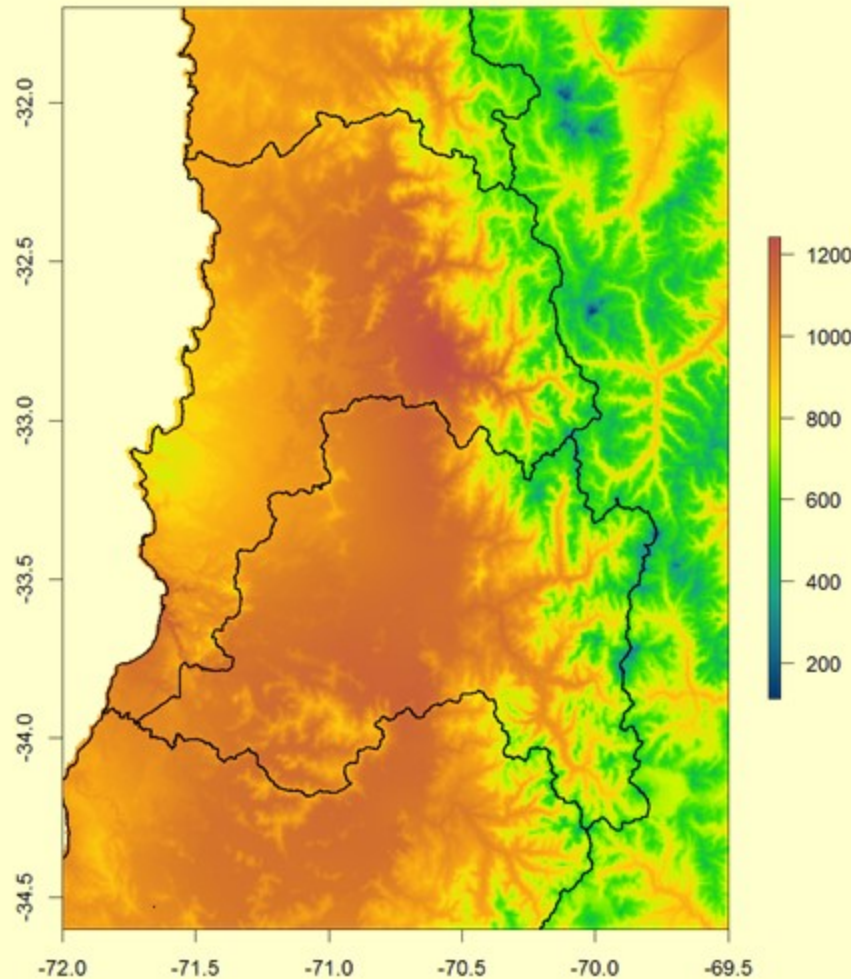
Luis Morales-Salinas, Samuel Ortega-Farías, Camilo Riveros-Burgos, José Neira-Román, Marcos Carrasco-Benavides & Rafael López-Olivari. 2017. MONTHLY CALIBRATION OF HAR-GREAVES-SAMANI EQUATION USING REMOTE SENSING AND TOPOCLIMATOLOGY IN CENTRAL-SOUTHERN CHILE. International Journal of Remote Sensing (ISI), <https://doi.org/10.1080/01431161.2017.1323287>.

# coeficiente de Hargreaves-Samani para ET0

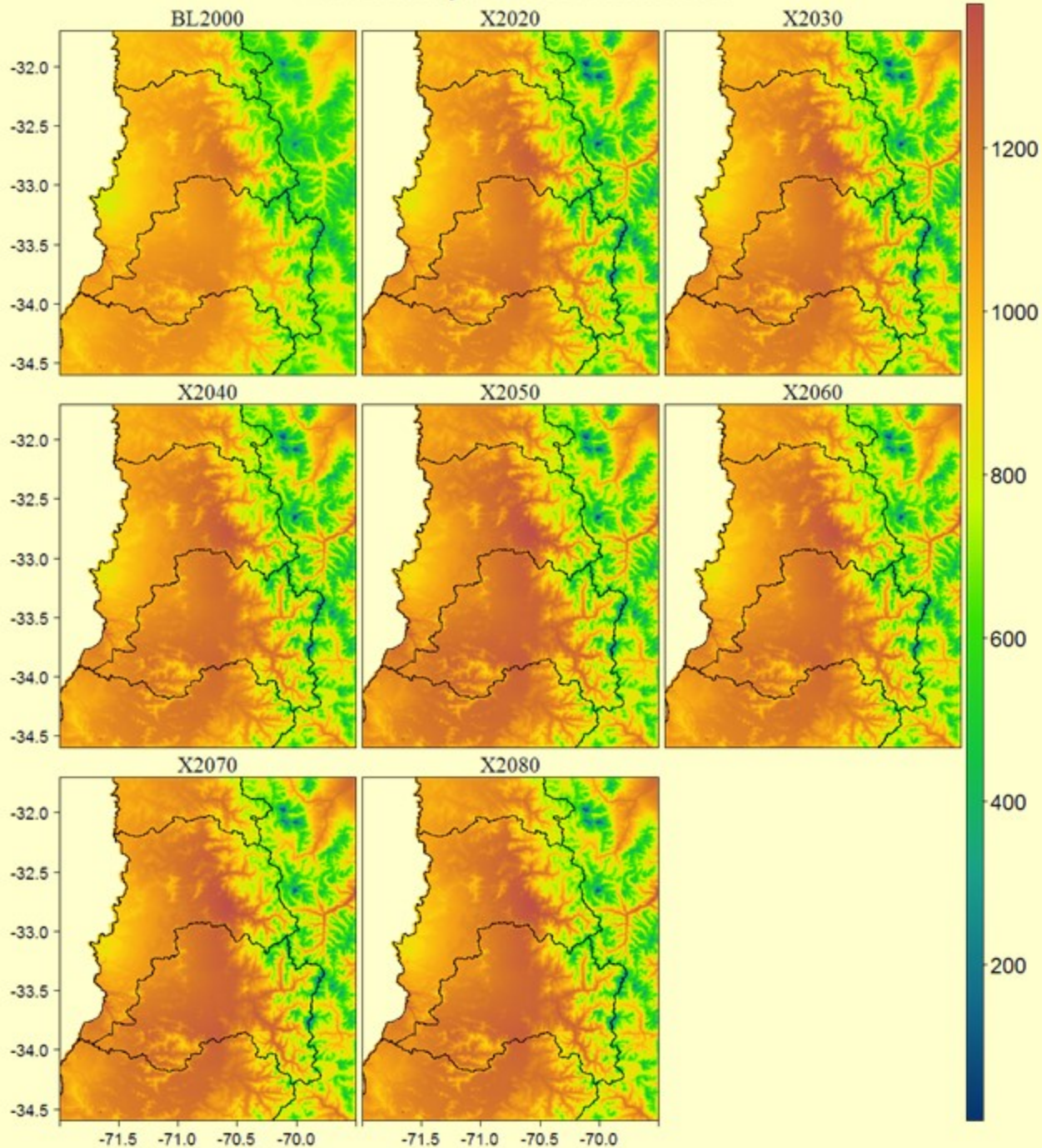


# ETo

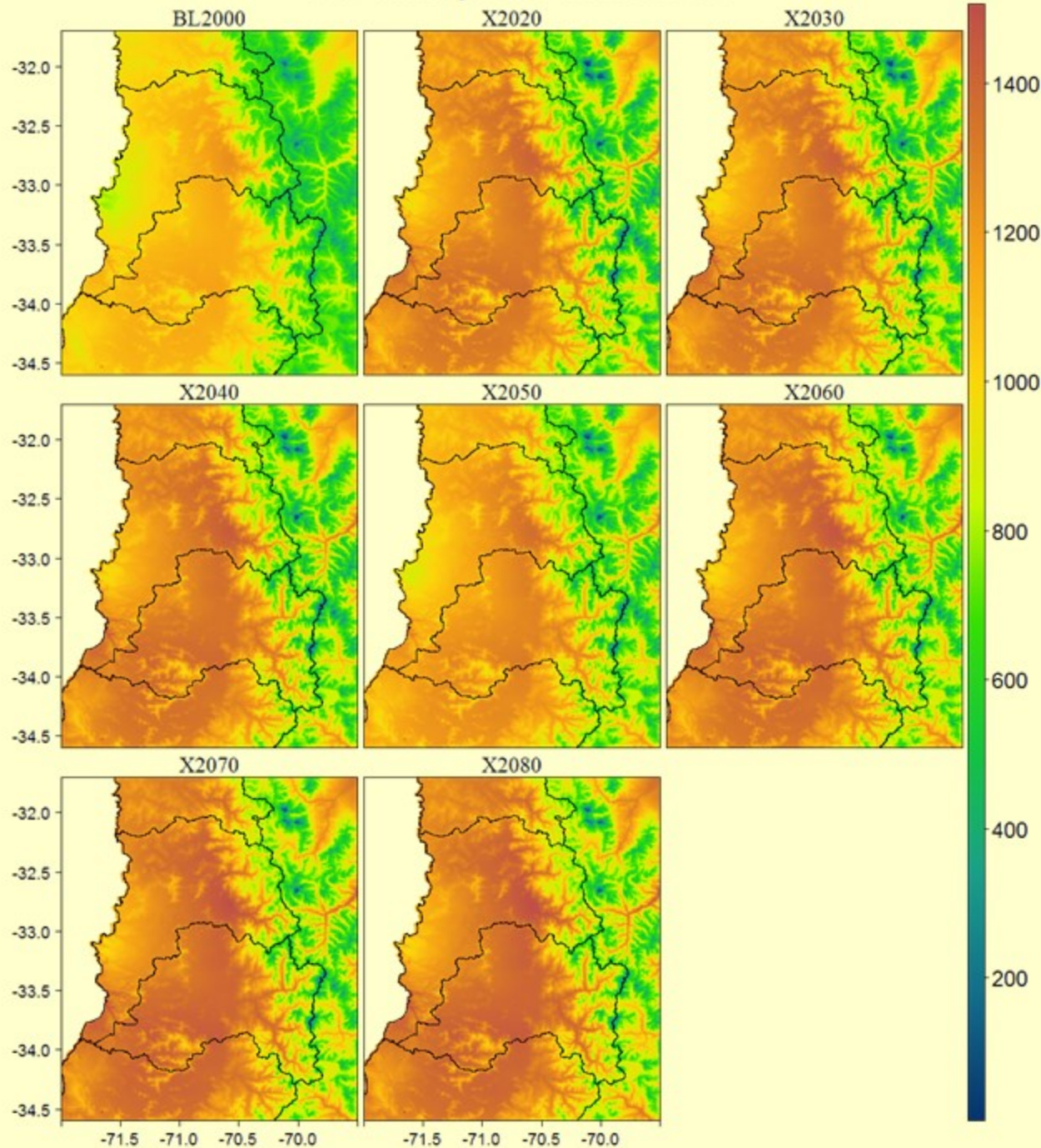
Evapotranspiración Potencial Anual



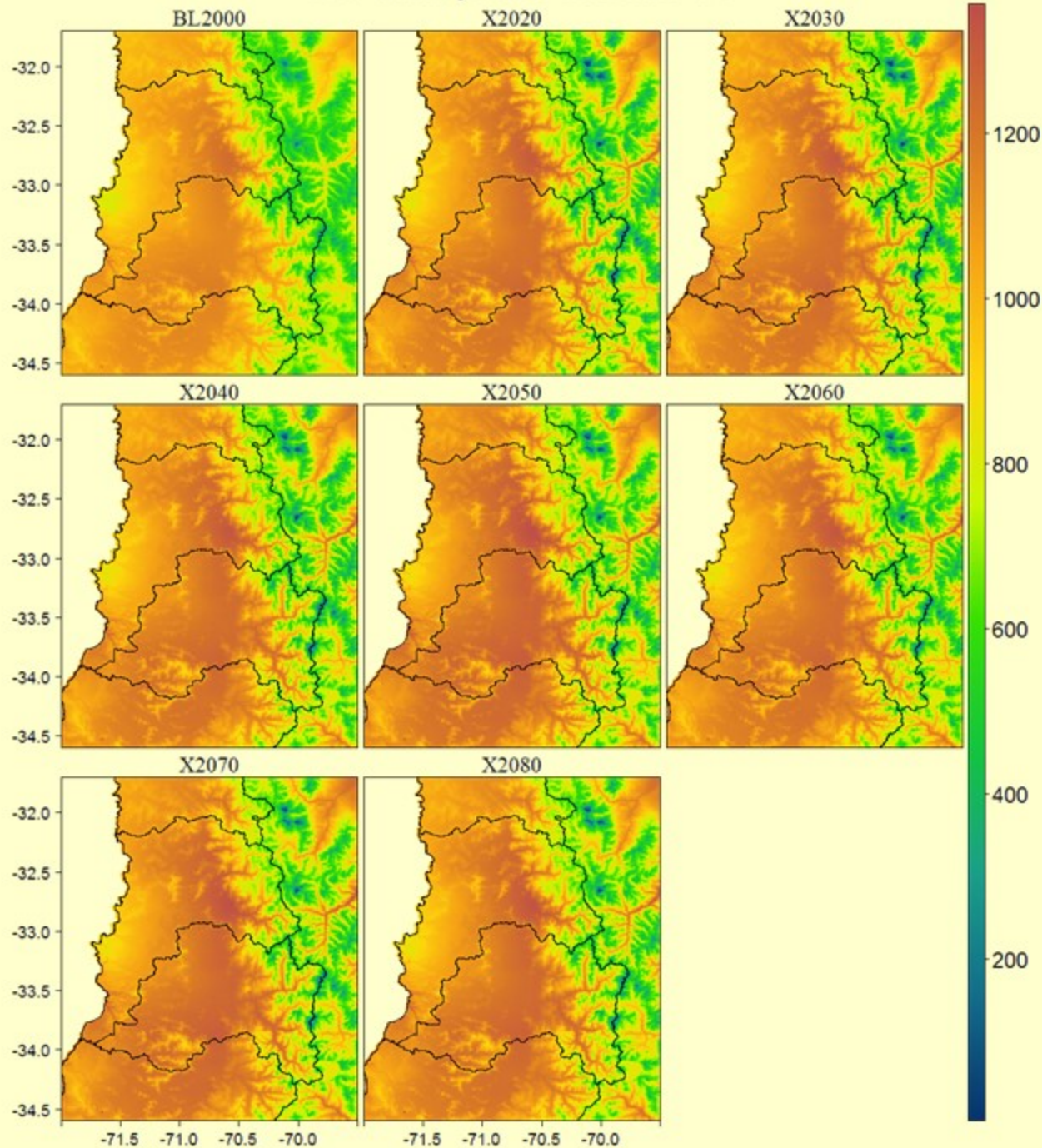
## ET0 anual para el escenario a1b



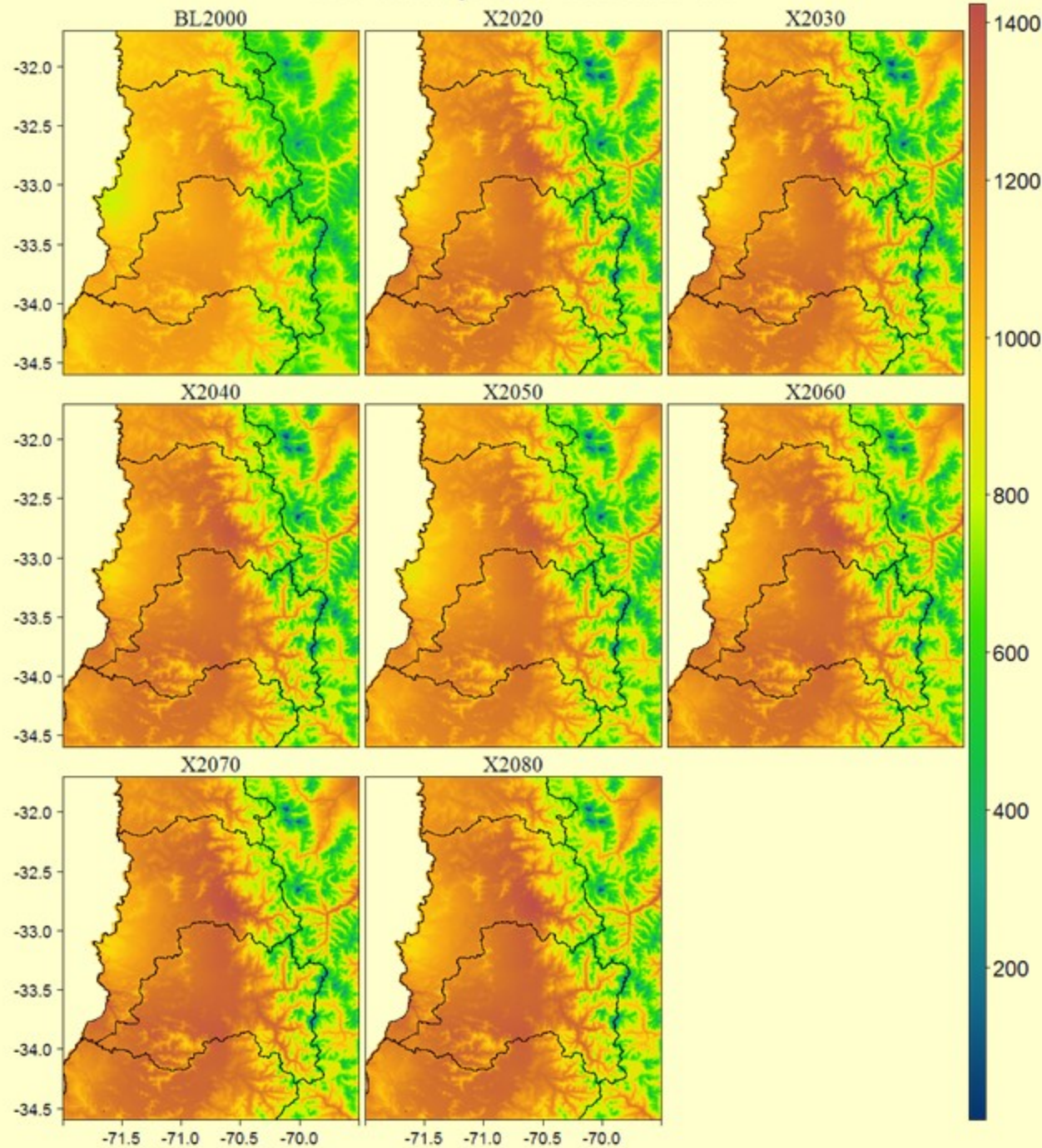
## ET0 anual para el escenario a2



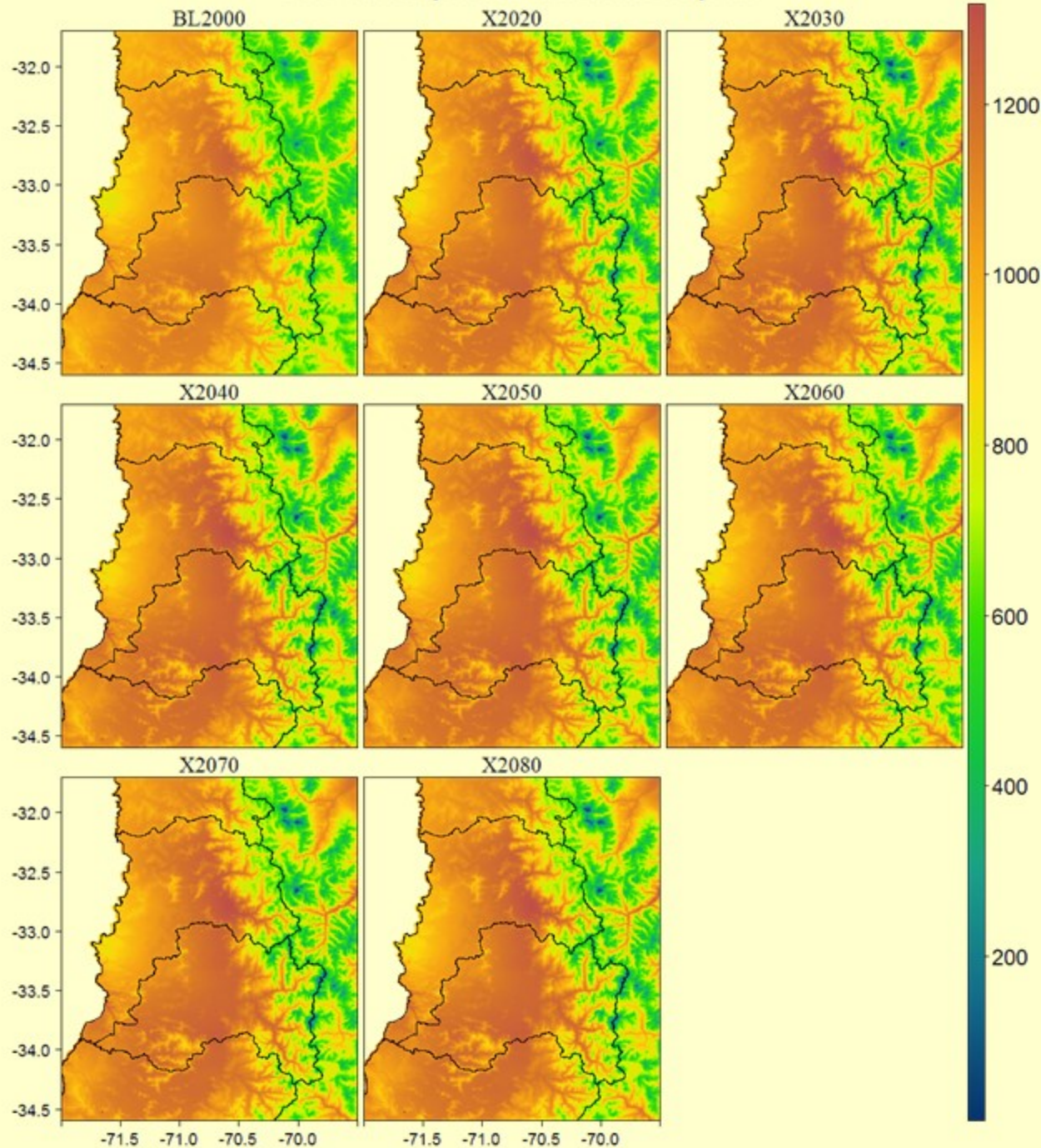
## ET0 anual para el escenario b1



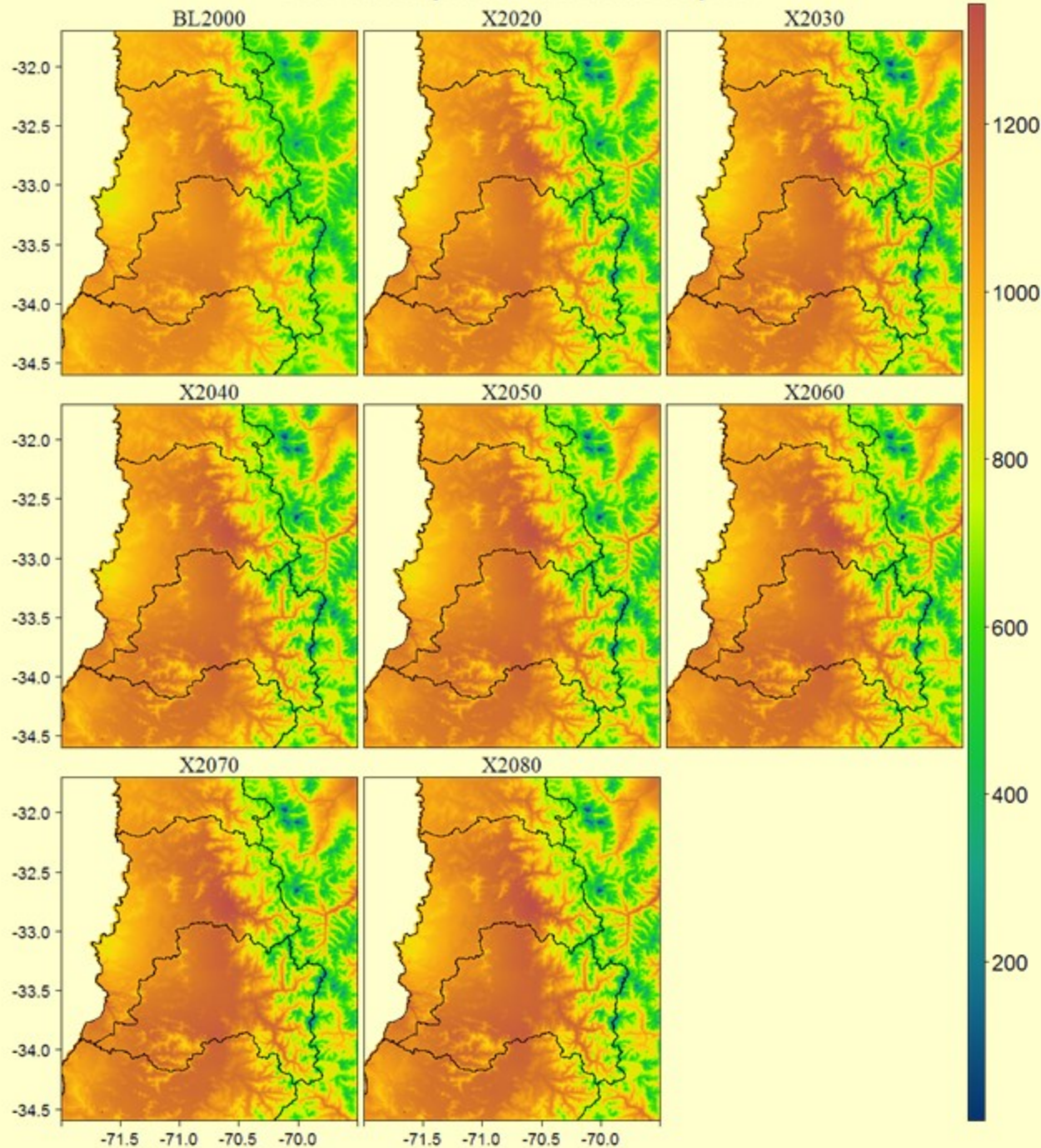
## ET0 anual para el escenario b2



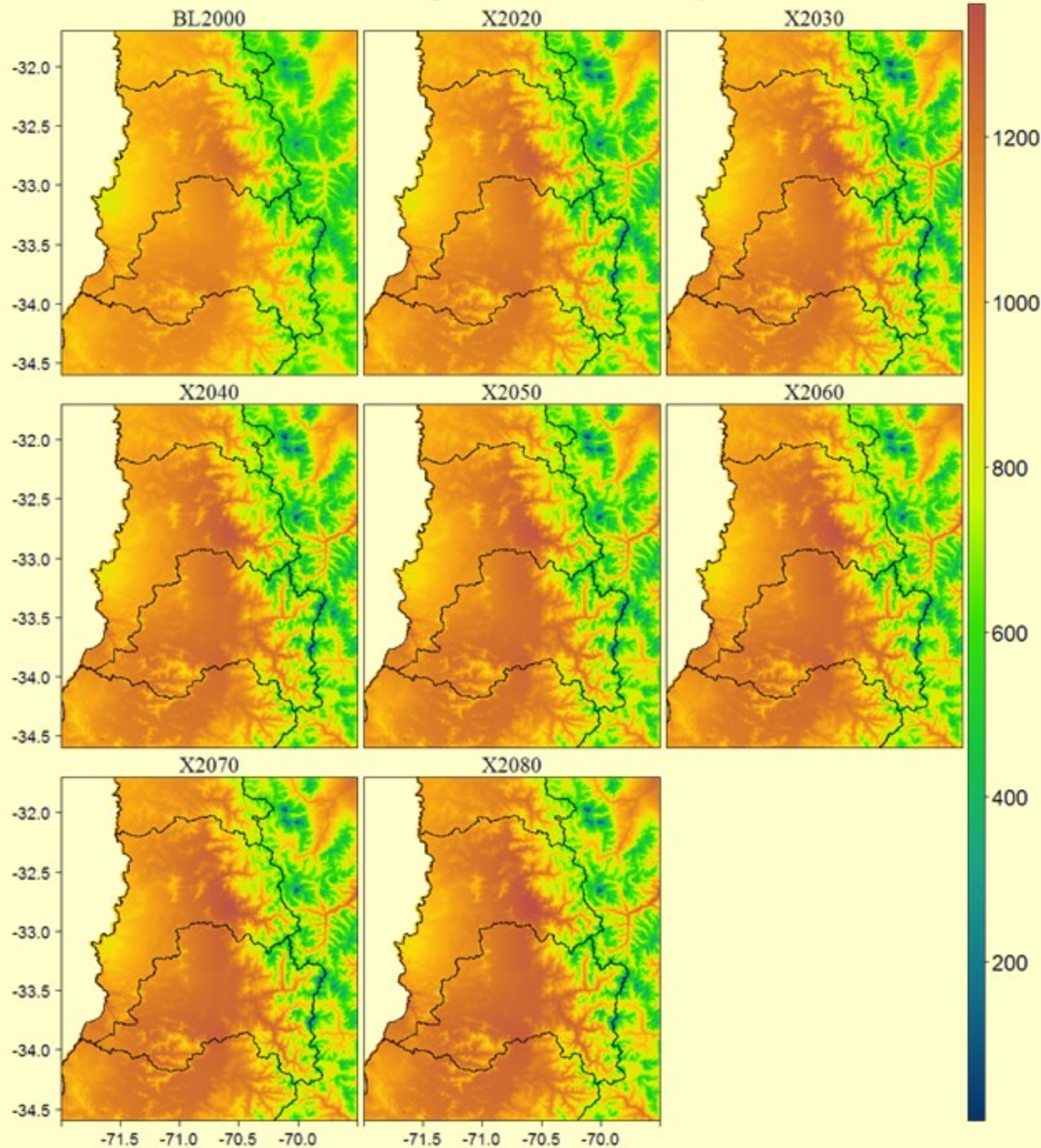
## ET0 anual para el escenario rcp2.6



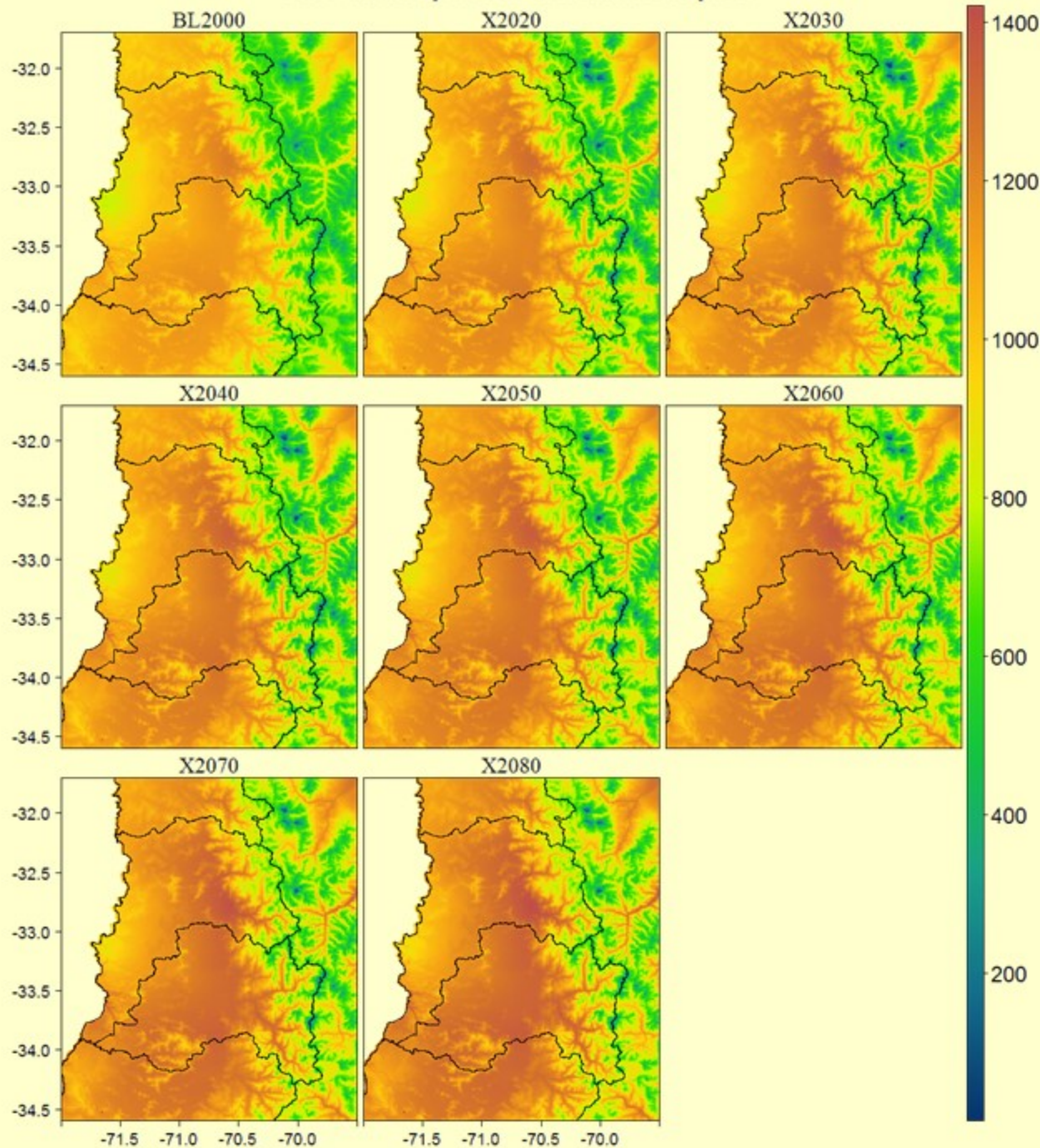
## ET0 anual para el escenario rcp4.5



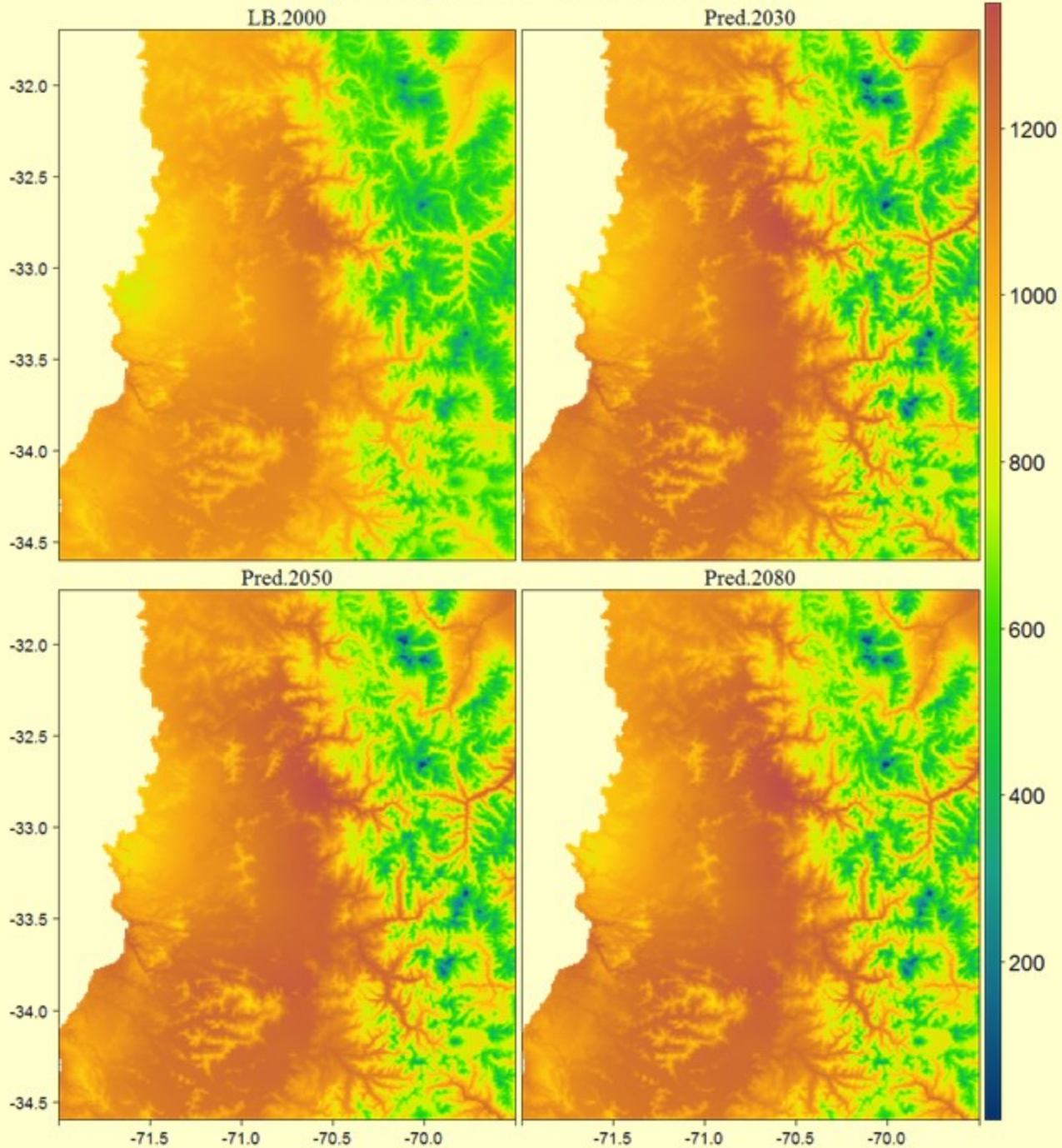
## ET0 anual para el escenario rcp6.0



## ET0 anual para el escenario rcp8.5

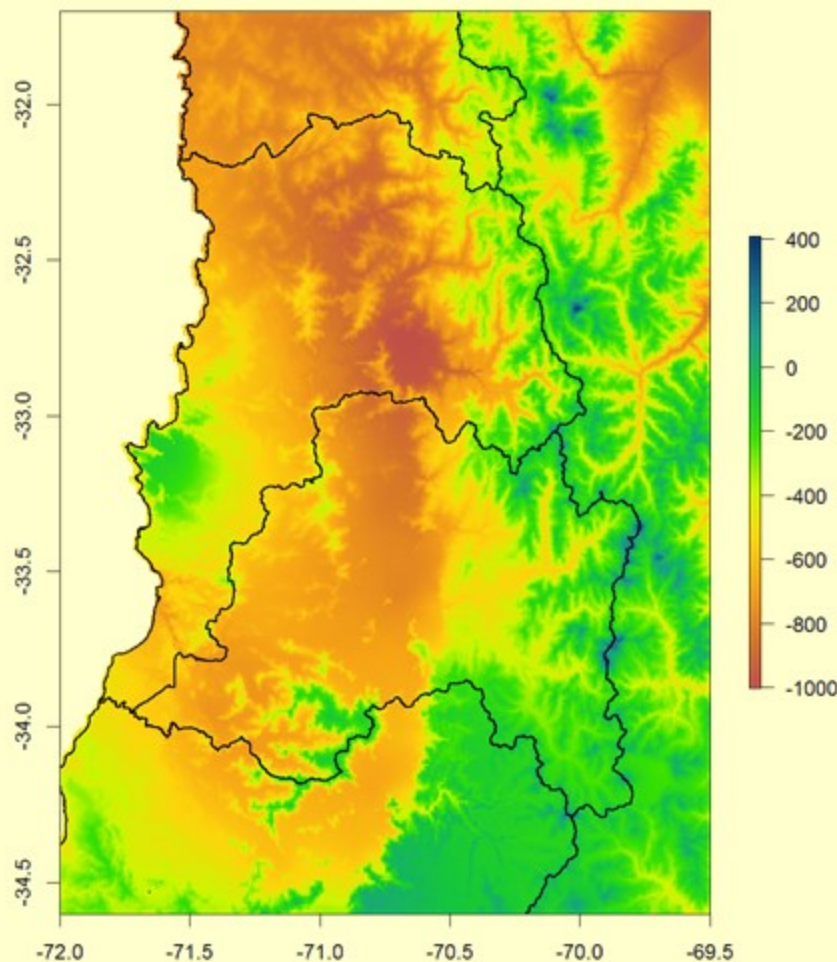


## Evapotranspiración acumulada anual

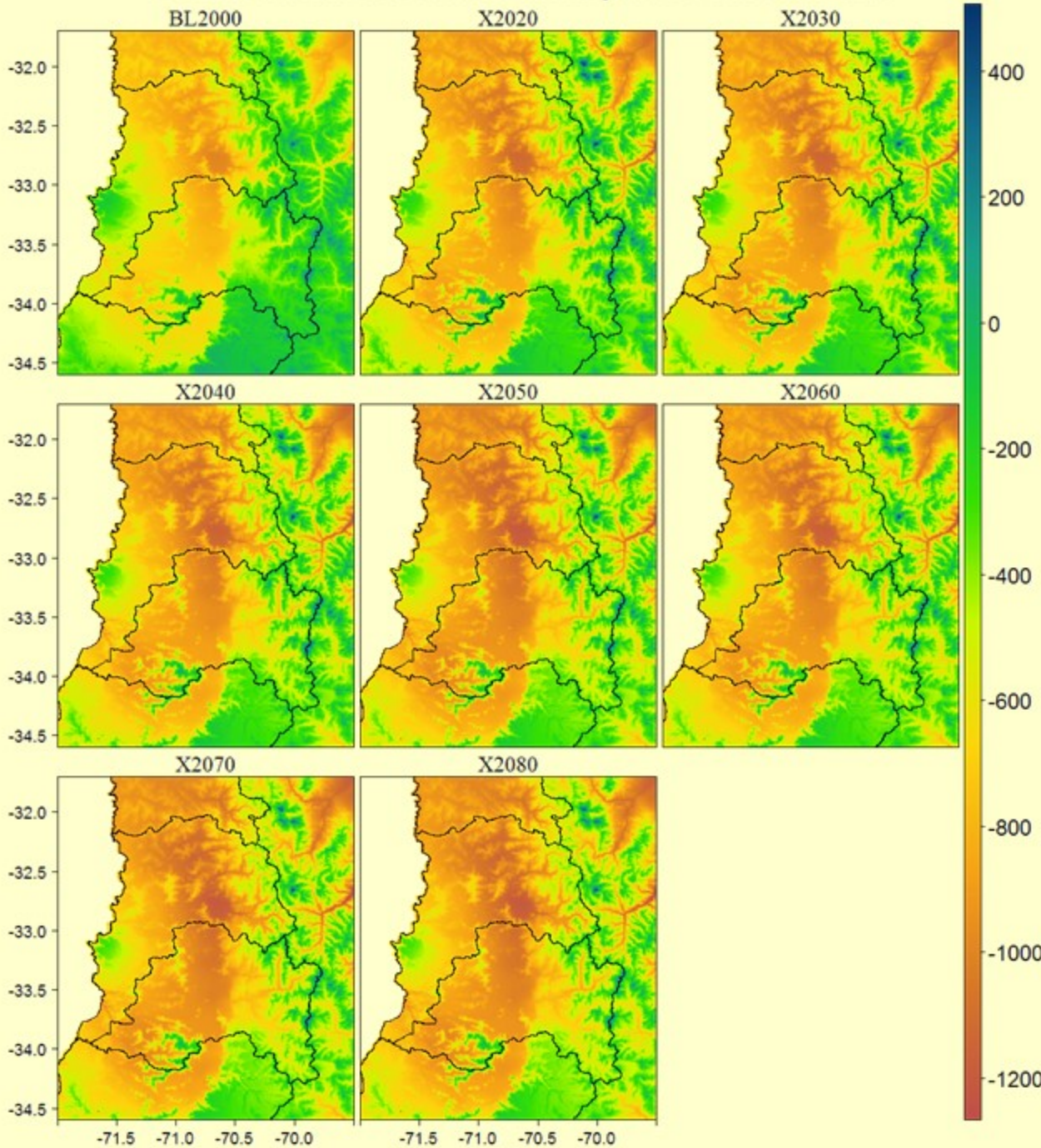


# BALANCE HIDRICO

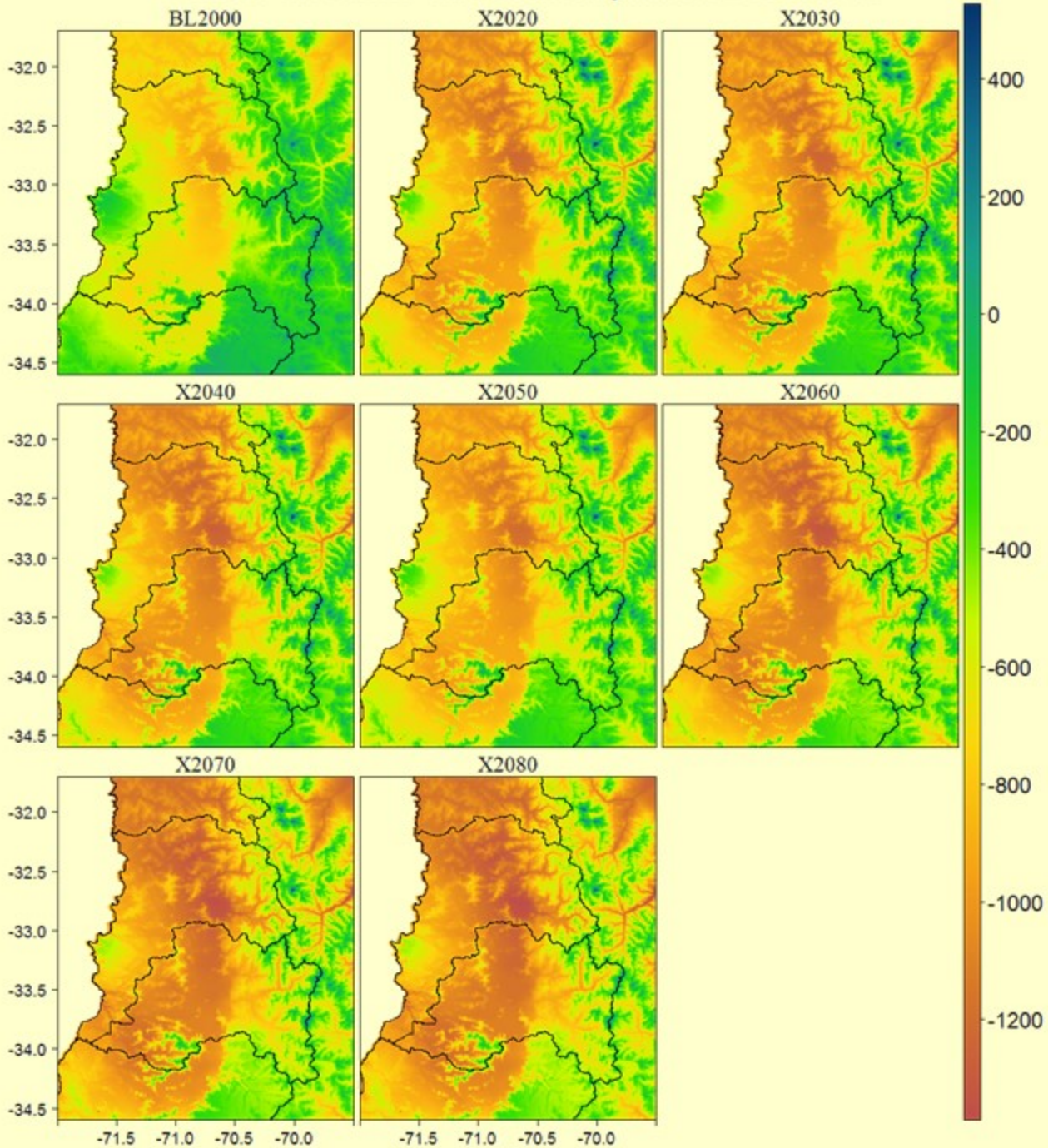
Déficit o Excedente Hídrico Anual



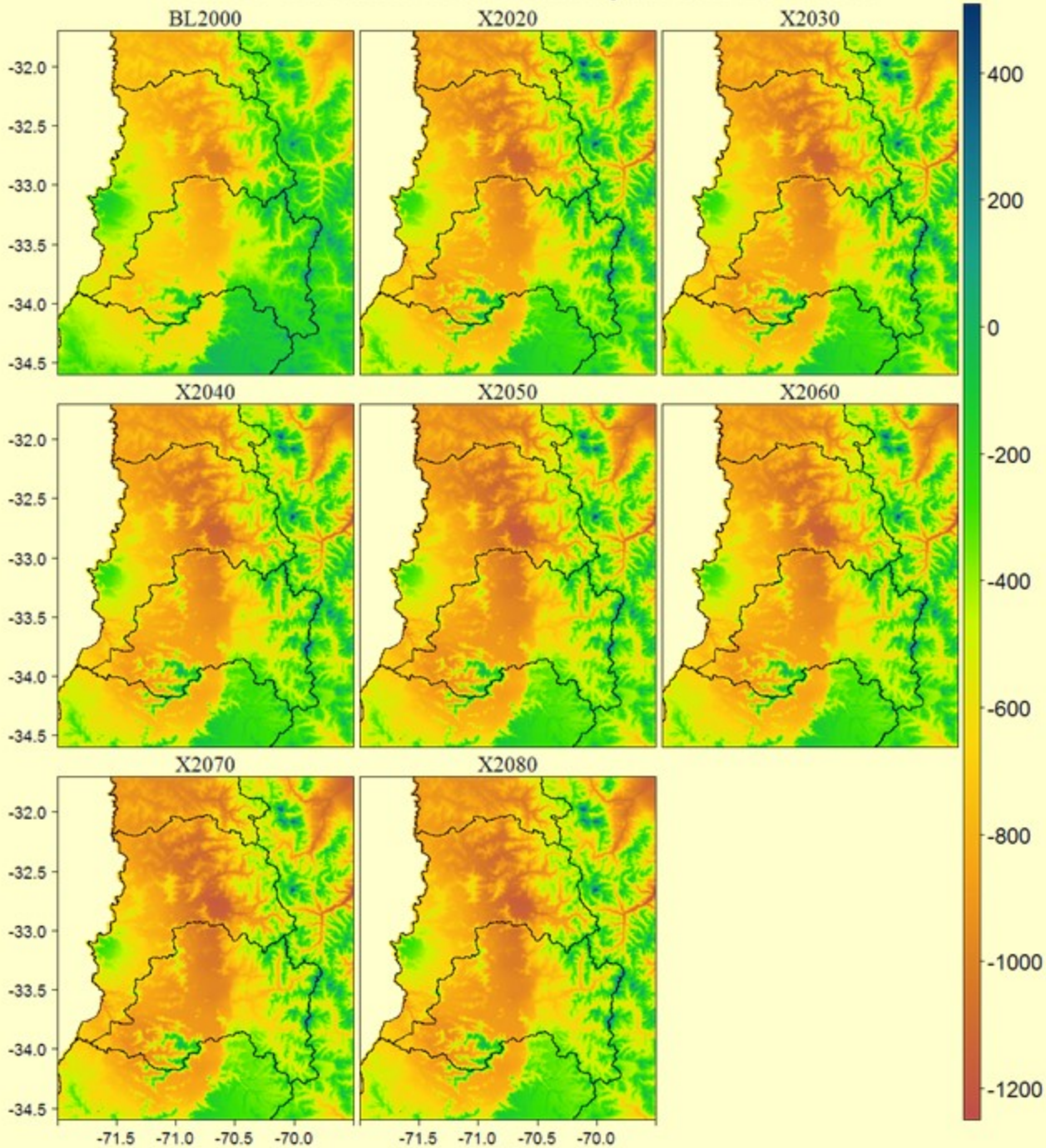
## Déficit o excedente hídrico anual para el escenario a1b



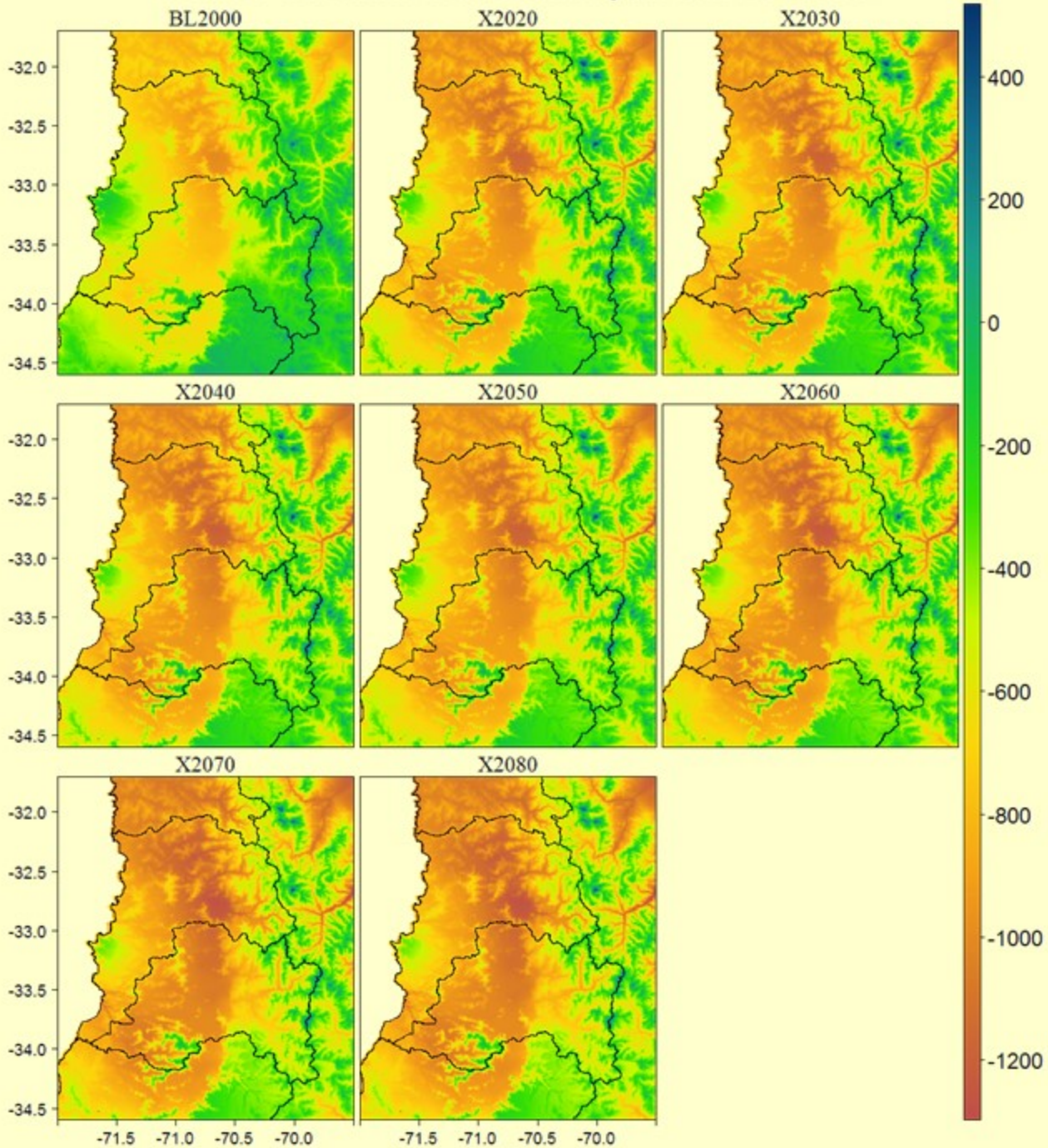
## Déficit o excedente hídrico anual para el escenario a2



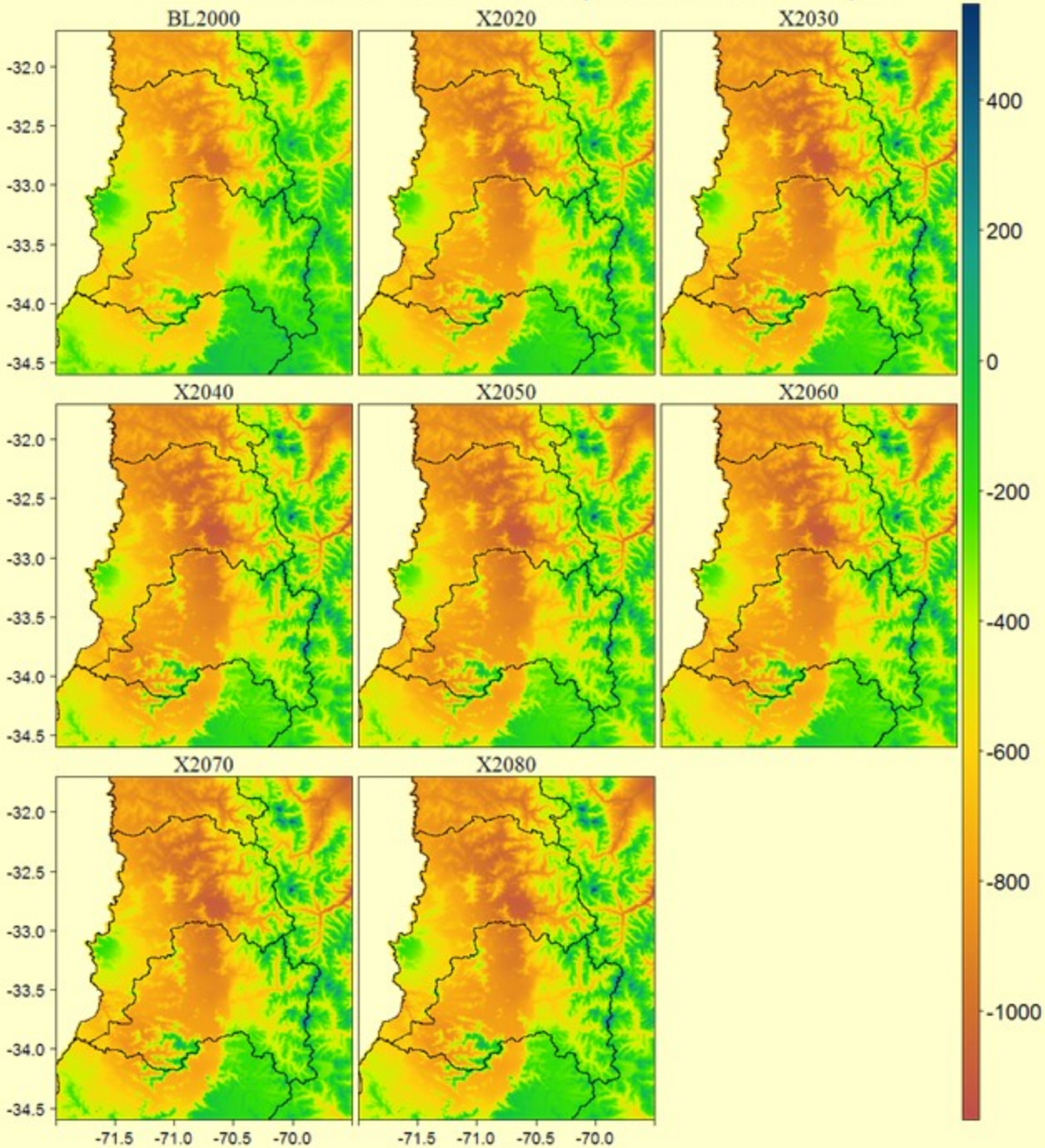
## Déficit o excedente hídrico anual para el escenario b1



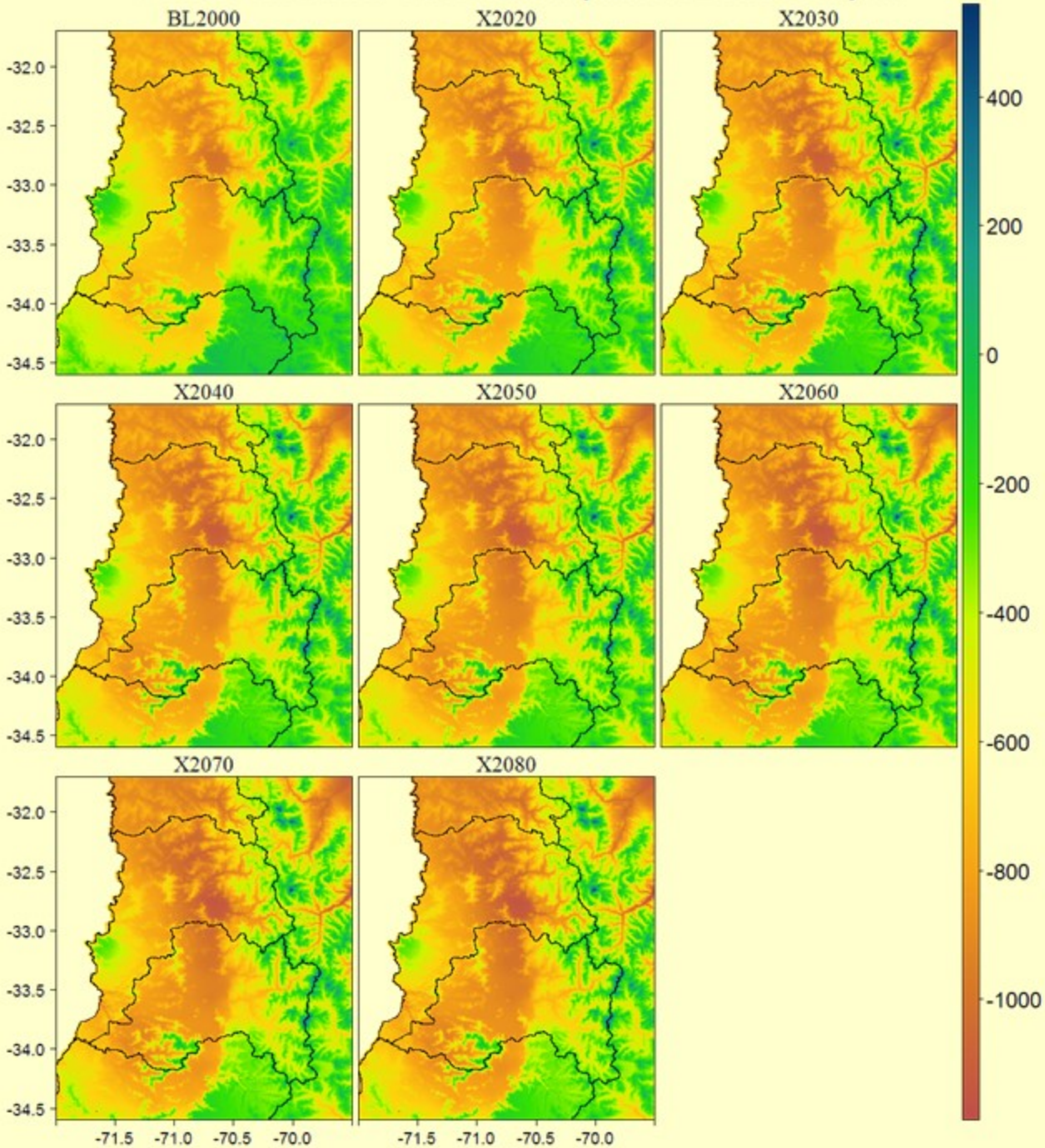
## Déficit o excedente hídrico anual para el escenario b2



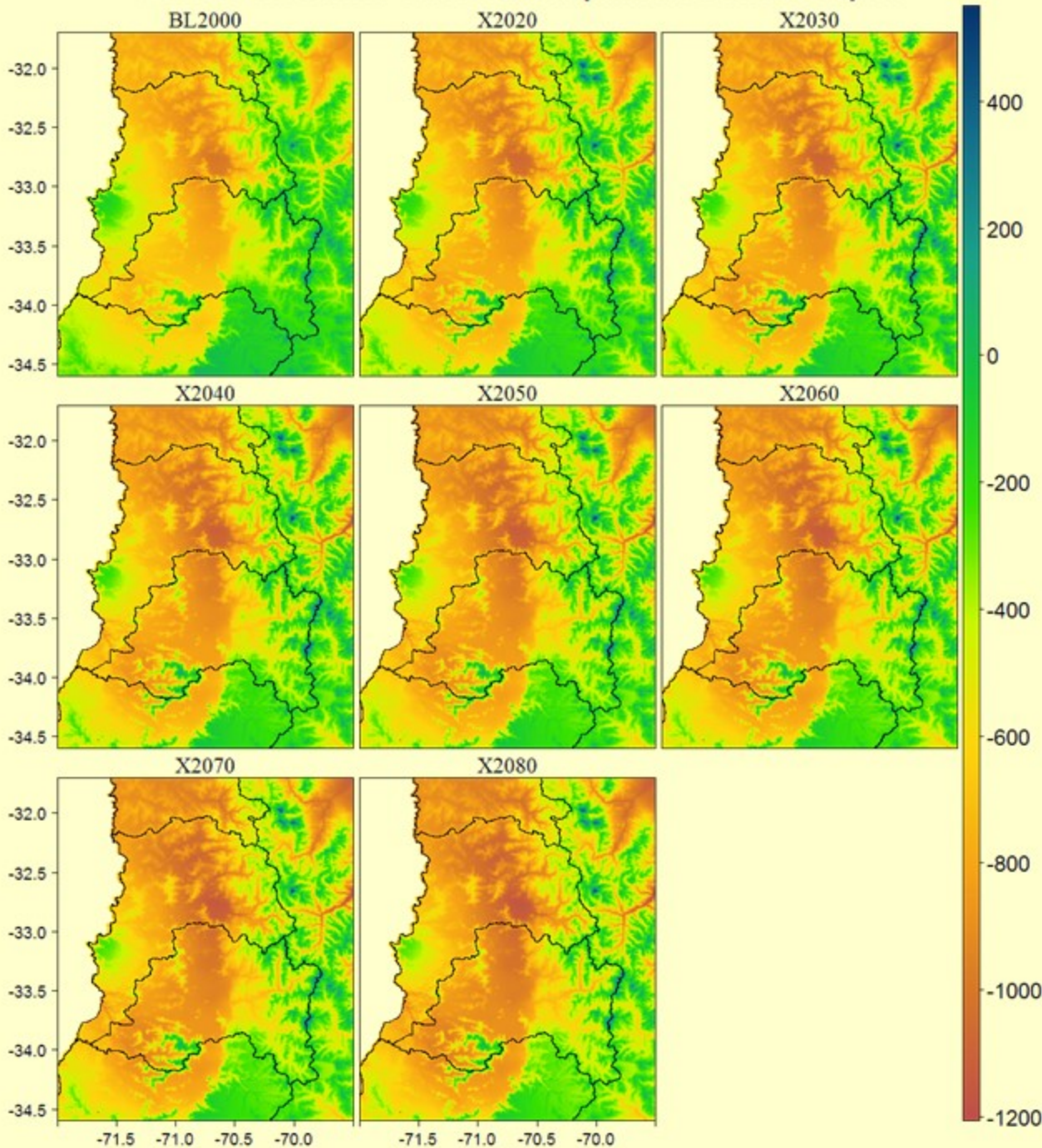
## Déficit o excedente hídrico anual para el escenario rcp2.6



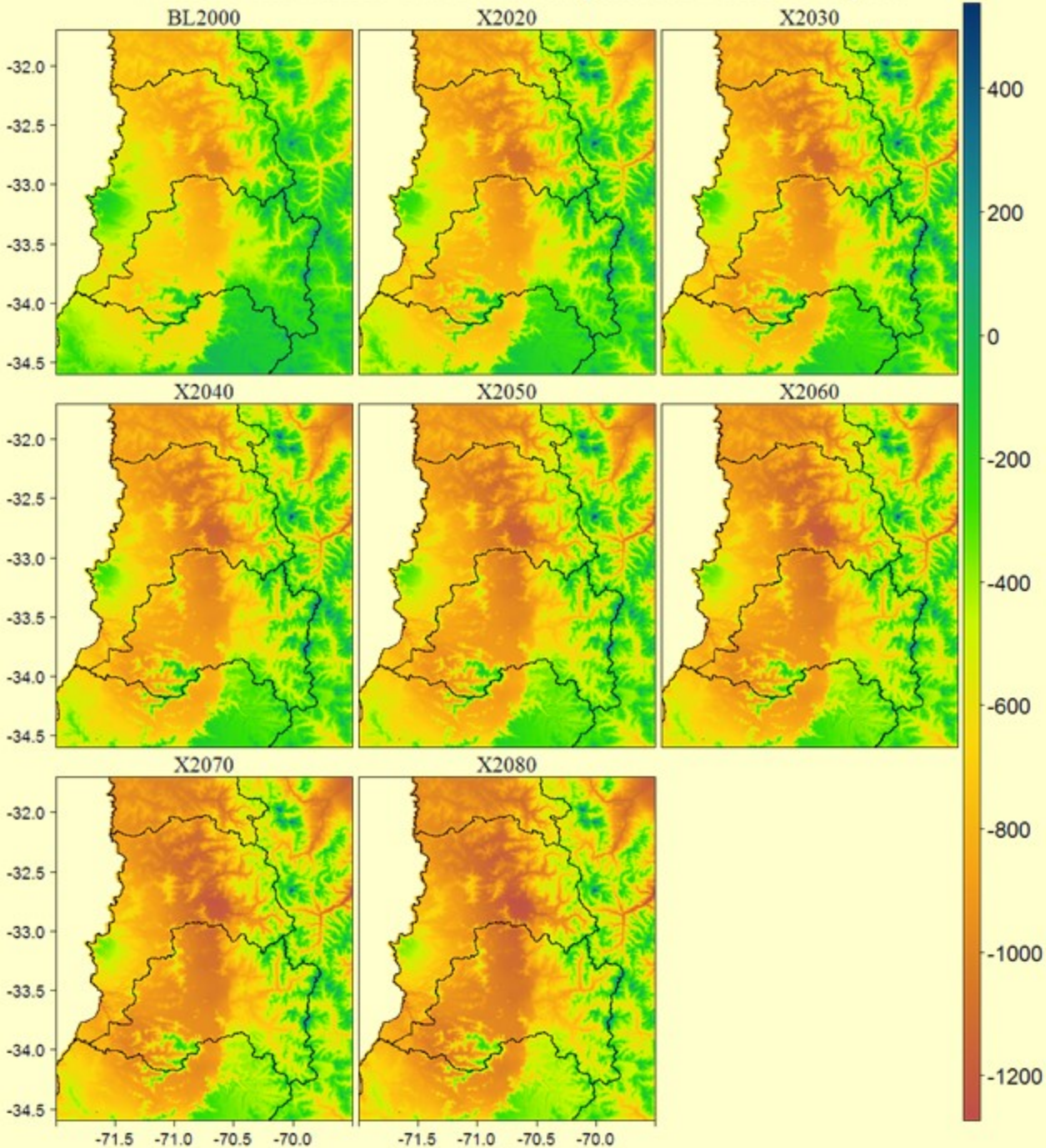
## Déficit o excedente hídrico anual para el escenario rcp4.5



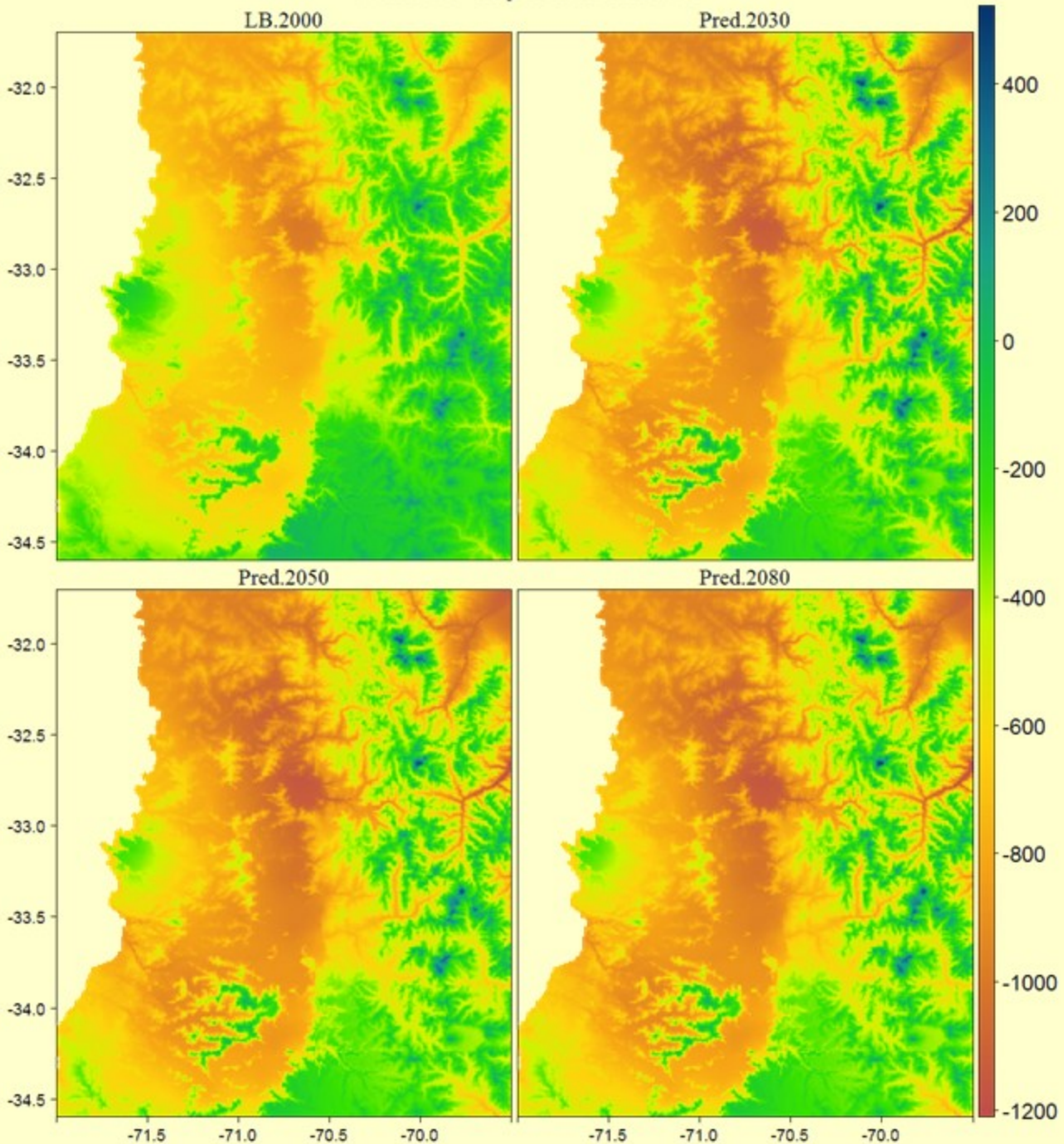
## Déficit o excedente hídrico anual para el escenario rcp6.0



## Déficit o excedente hídrico anual para el escenario rcp8.5



## Déficit o superávit hídrico



# Evapotranspiración del cultivo

Guías para la determinación de  
los requerimientos de agua de los cultivos



# ET<sub>O</sub>

Mediciones in situ

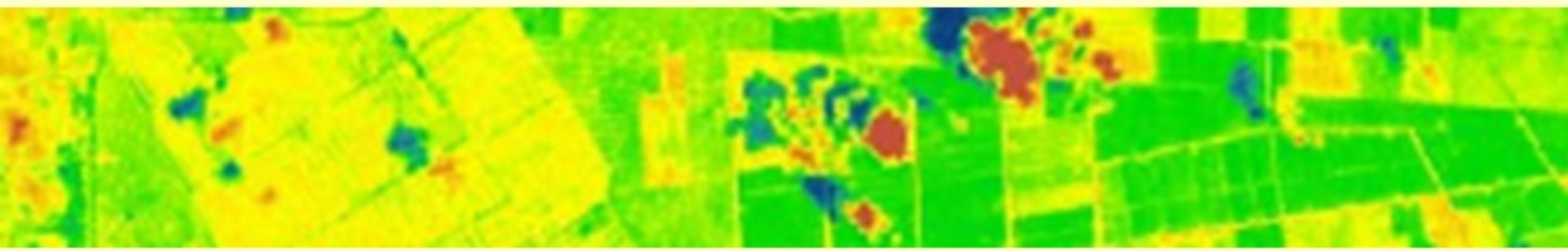
Modelos teóricos

Modelación de mesoescala

Métodos semi-empíricos

Teledetección

Hibridaciones varias



# Parsimonia ?

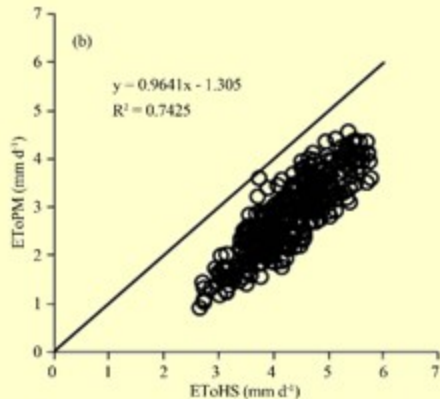
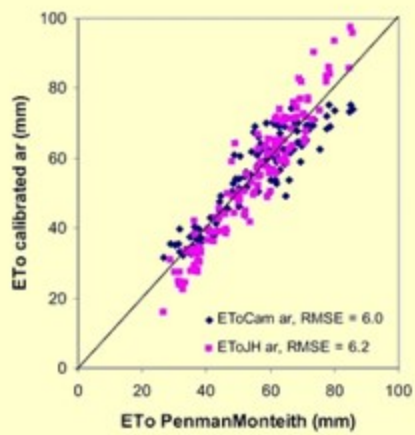
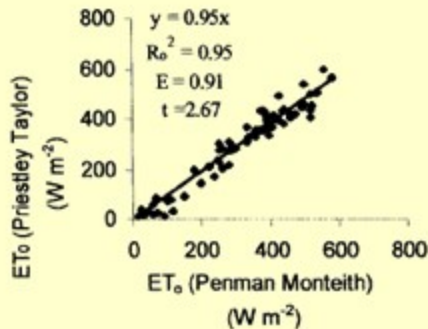


Entenderemos este concepto asociado al principio de simplicidad de Newton: “Porque a la naturaleza le complace la sencillez, y no gusta de la pompa de las causas superfluas”

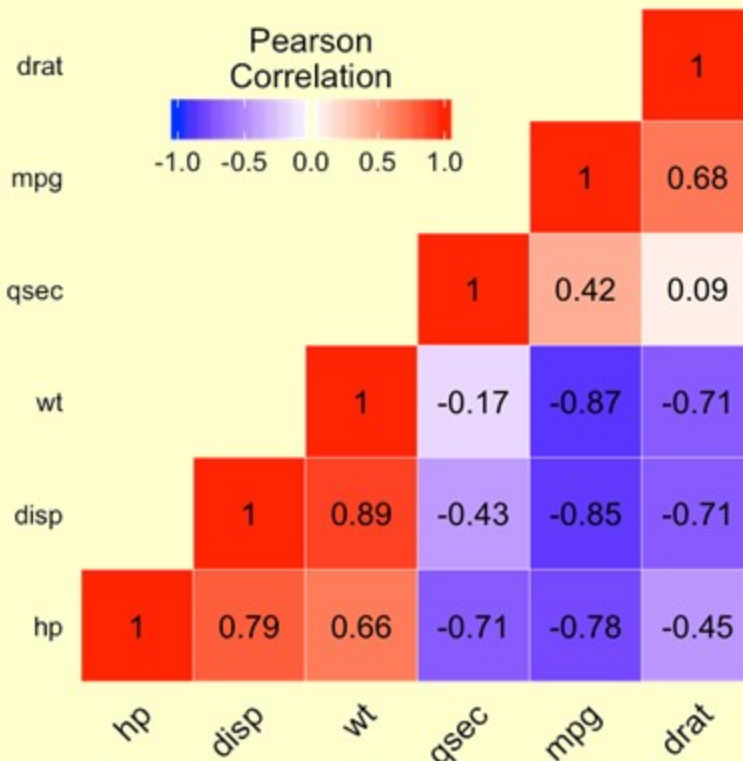
o bien preferiremos de entre un zoológico de alternativas teóricas, empíricas y semiempíricas el modelo más simple posible entre varias alternativas (Se considera un principio heurístico típico de la ciencia moderna).

# Métodos Simples

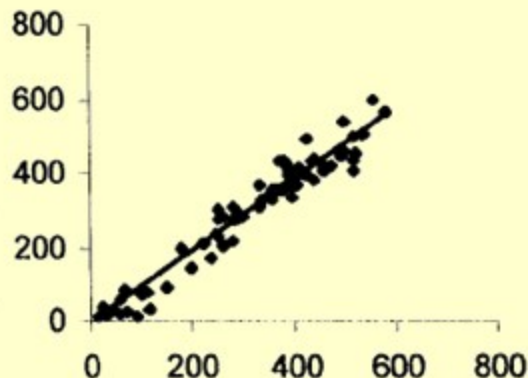
- Lisímetro
- Bandeja
- Ivanov
- Papadakis
- Blanney y Criddle
- Blanney-Morin
- Hargreaves-Samani
- Turc
- Jensen-Haise
- Makkink
- Priestley-Taylor
- Penman-Monteith



## Estos métodos están correlacionados



Penman-Monteith

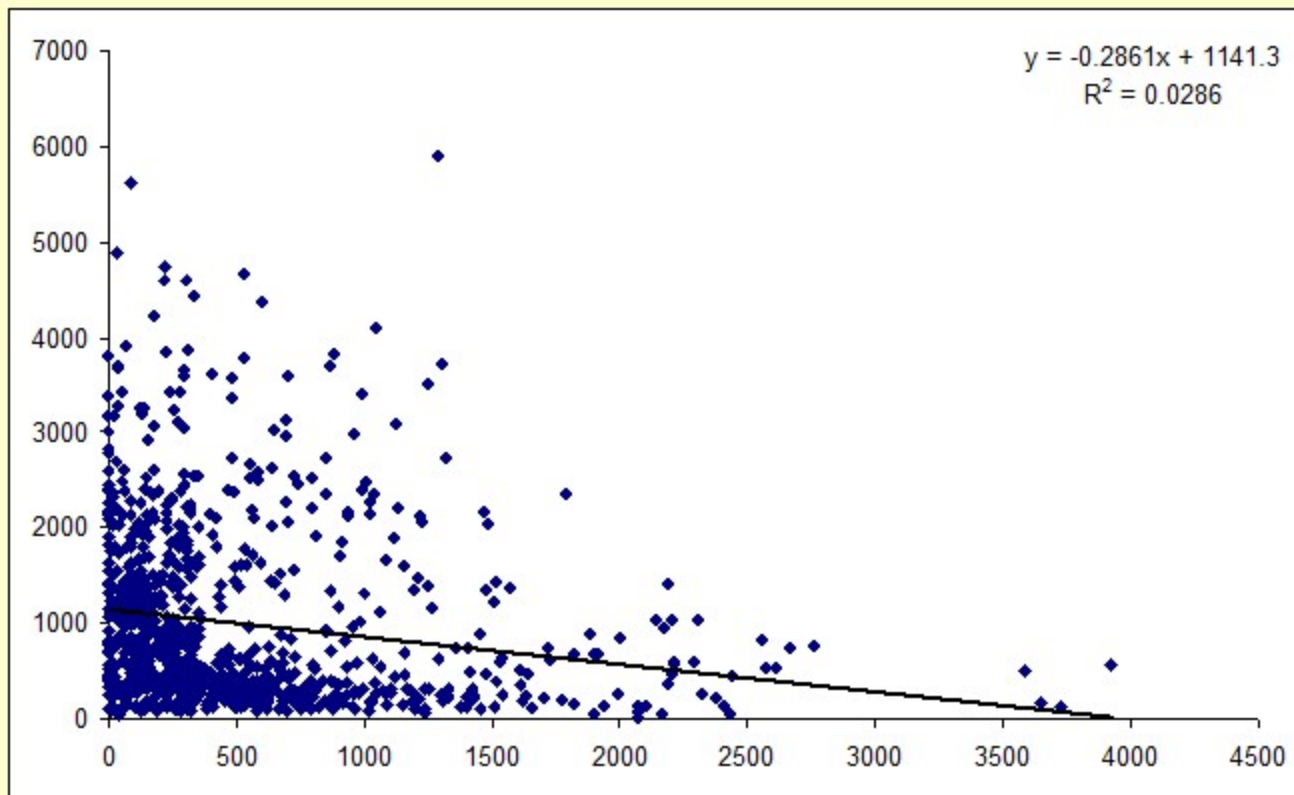


Otros

$$\frac{\text{Penman} - \text{Monteith}}{\text{Otros}} = \text{Función Corrección (Var. Amb.)}$$

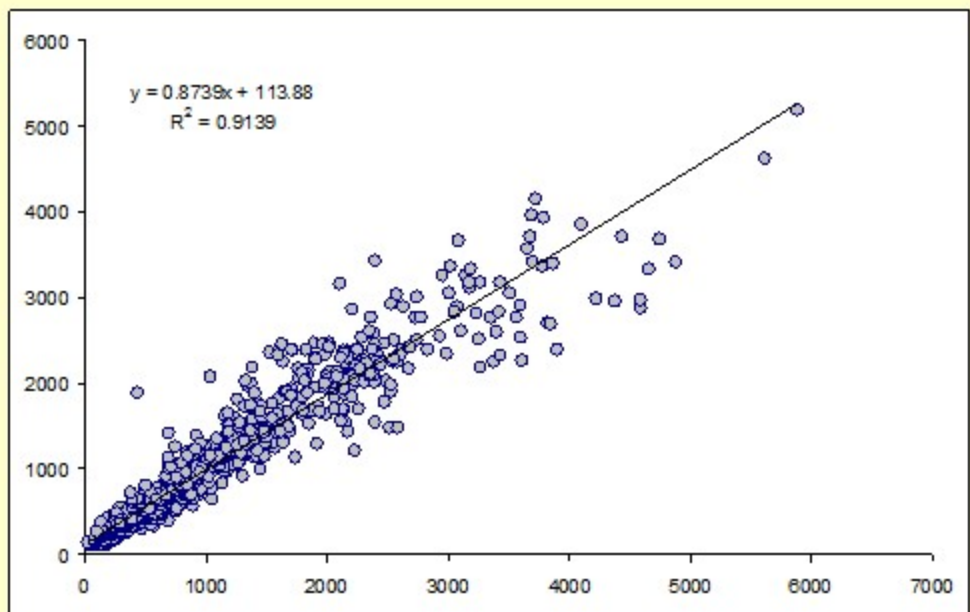
# PRECIPITACION ANUAL

$$PPMA = a + b \cdot ALT$$

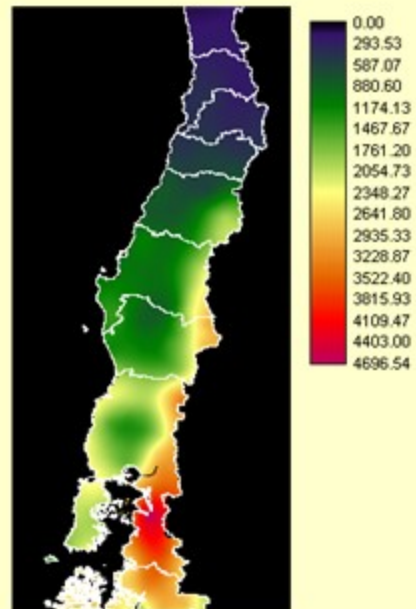


# PRECIPITACION ANUAL

Topoclimático

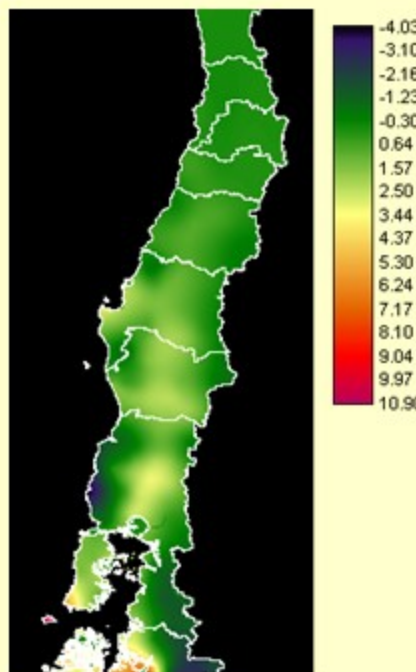


$a(x,y)$



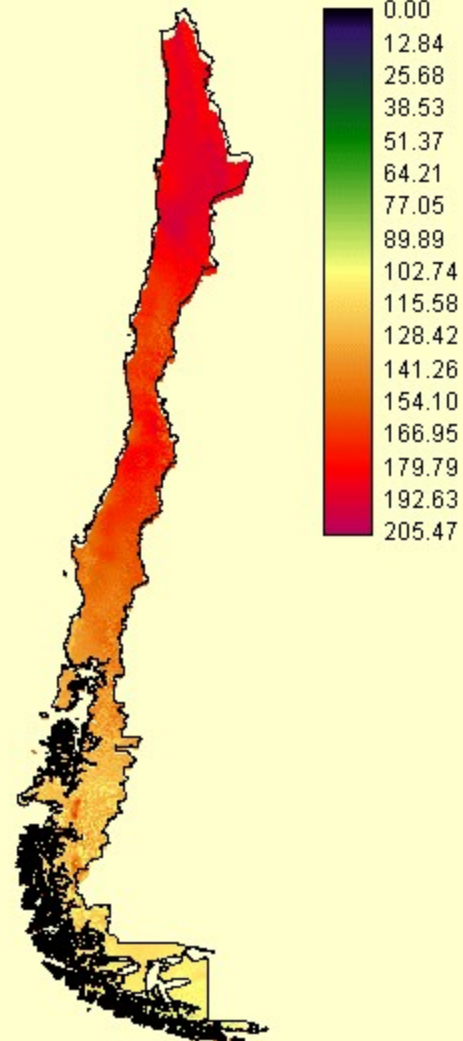
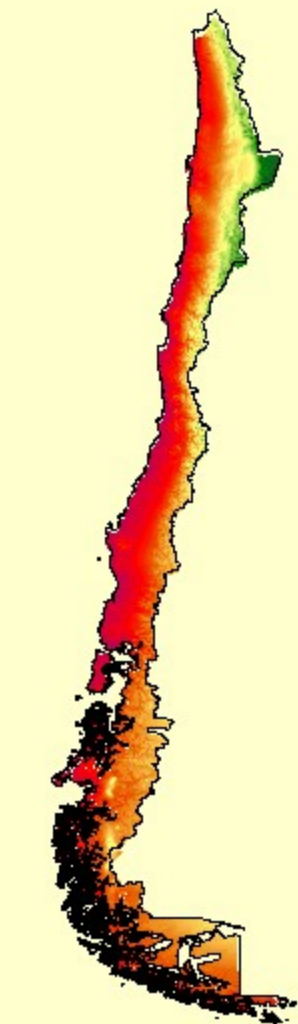
0.00
293.53
587.07
880.60
1174.13
1467.57
1761.20
2054.73
2348.27
2641.80
2935.33
3228.87
3522.40
3815.93
4109.47
4403.00
4696.54

$b(x,y)$



-4.03
-3.10
-2.16
-1.23
-0.30
0.64
1.57
2.50
3.44
4.37
5.30
6.24
7.17
8.10
9.04
9.97
10.90

$$PPMA = a(x, y) + b(x, y) \cdot ALT$$

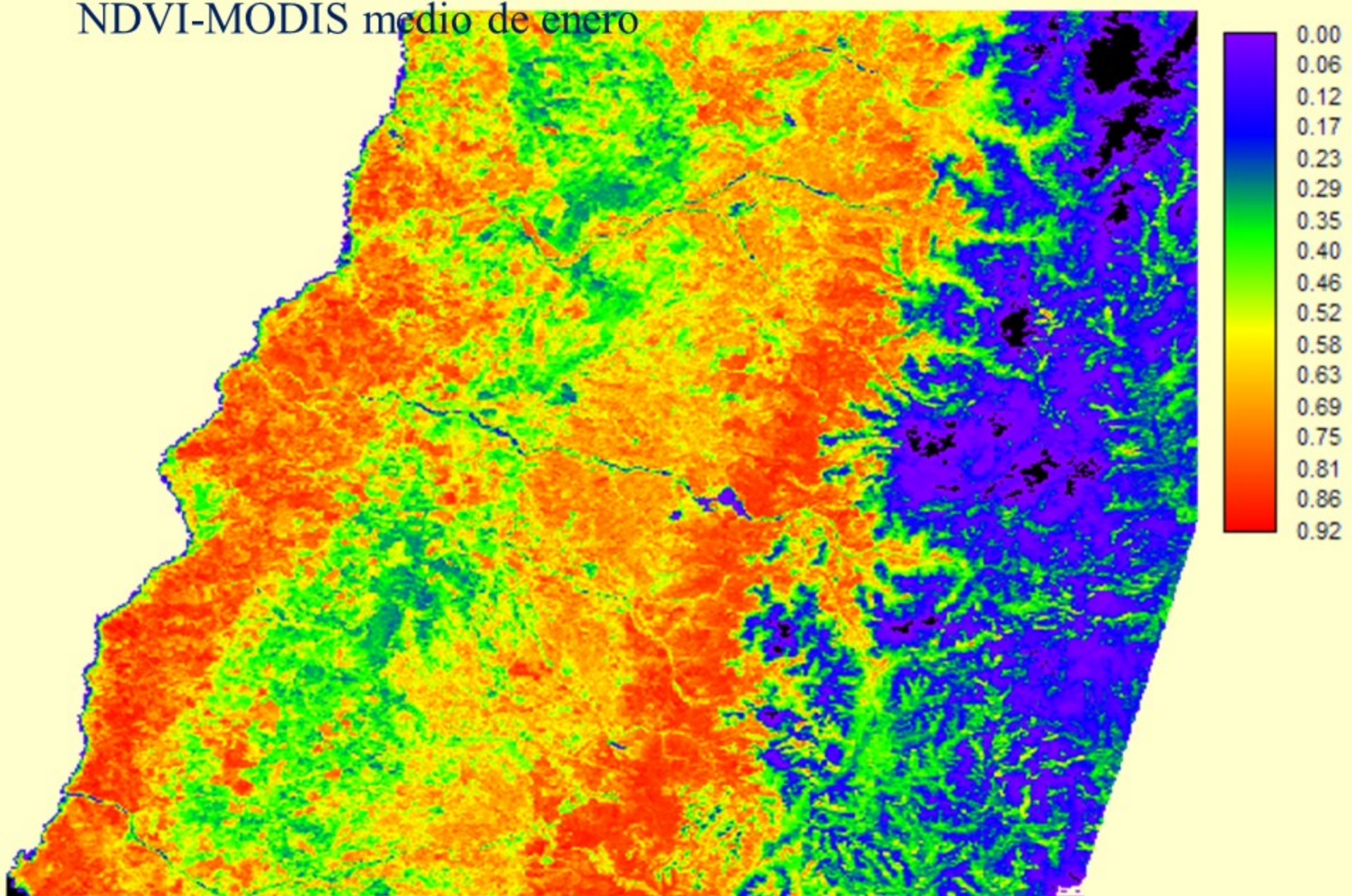


Radiación Global

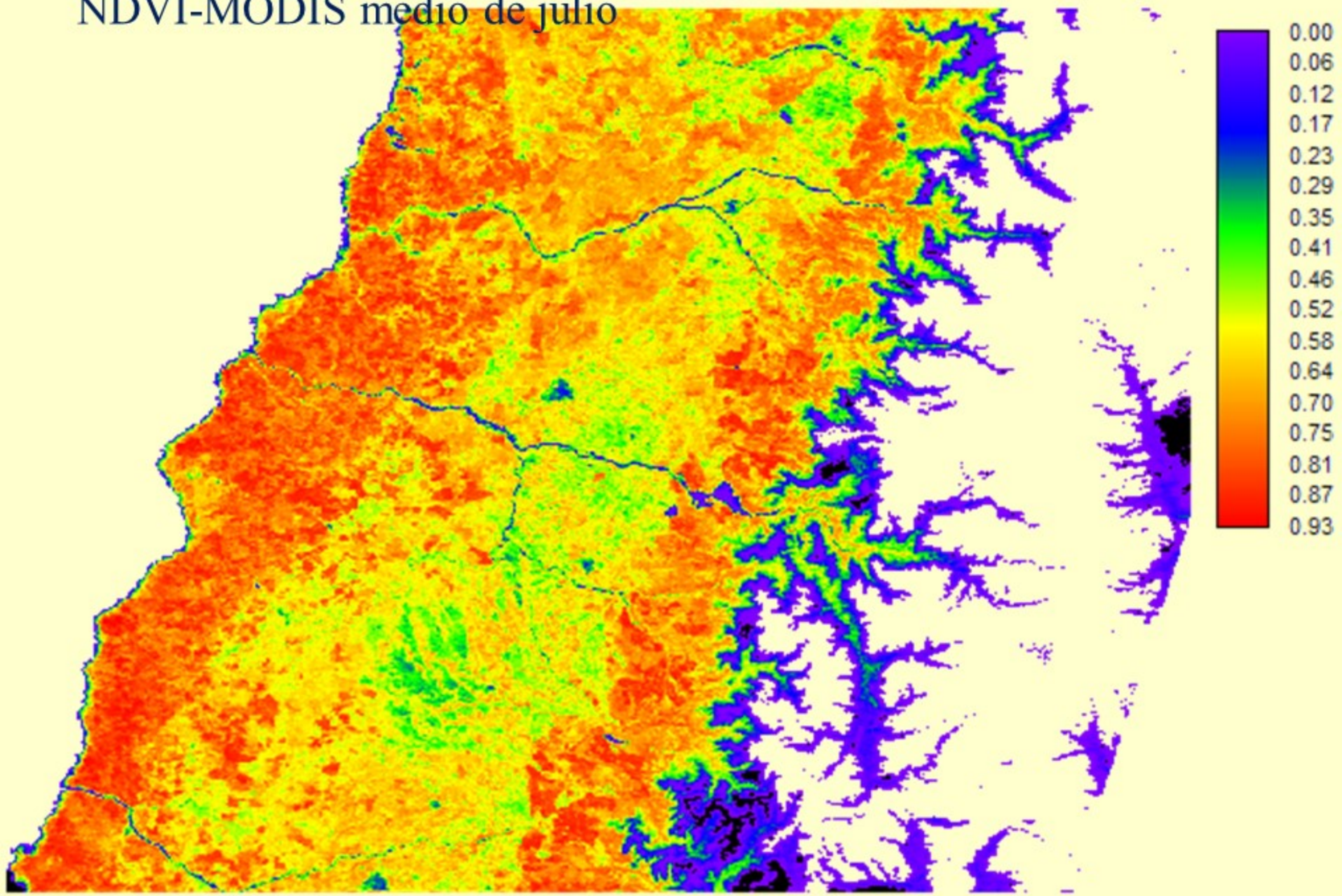
Humedad Relativa

Evapotranspiración

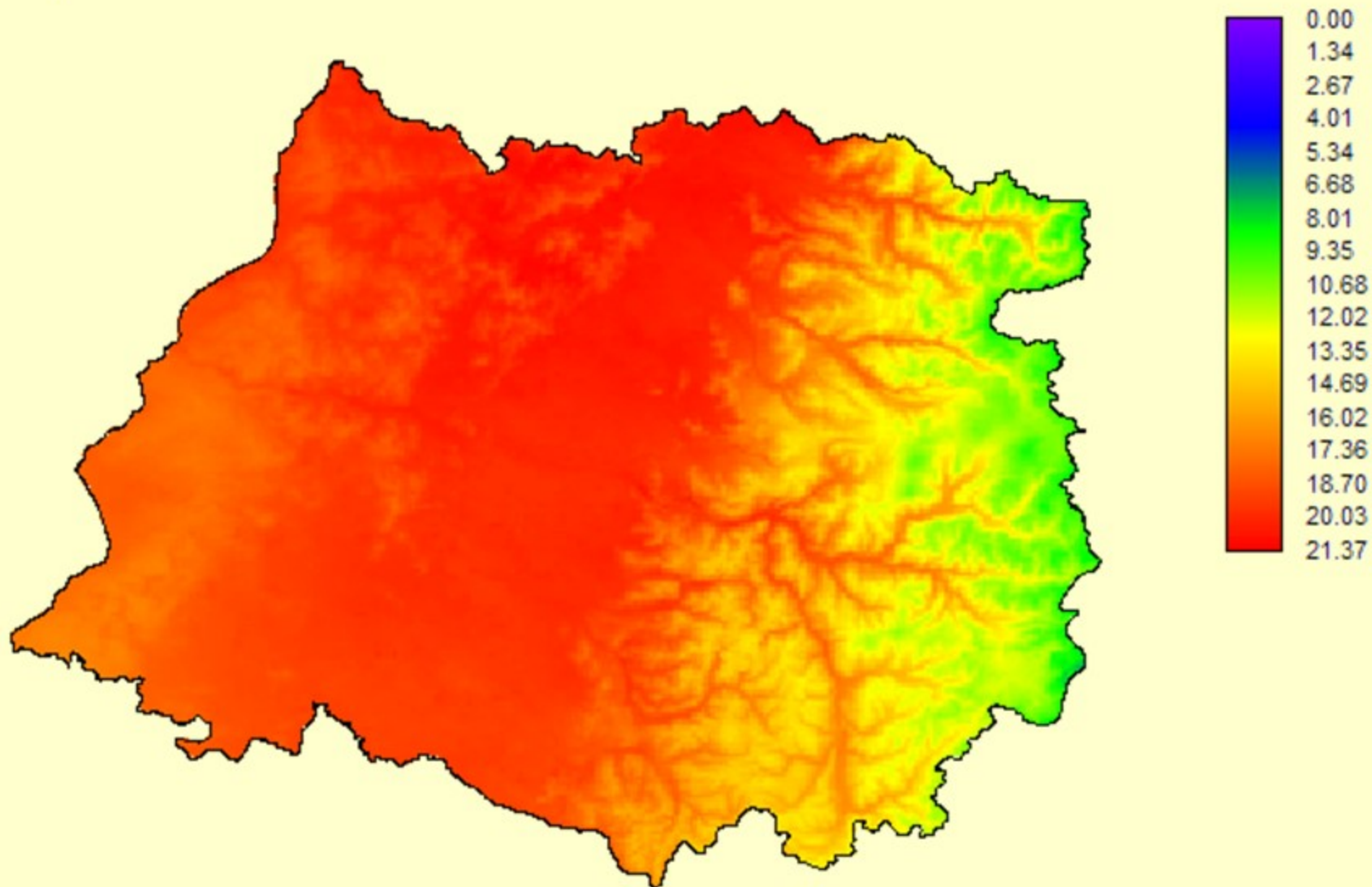
NDVI-MODIS medio de enero



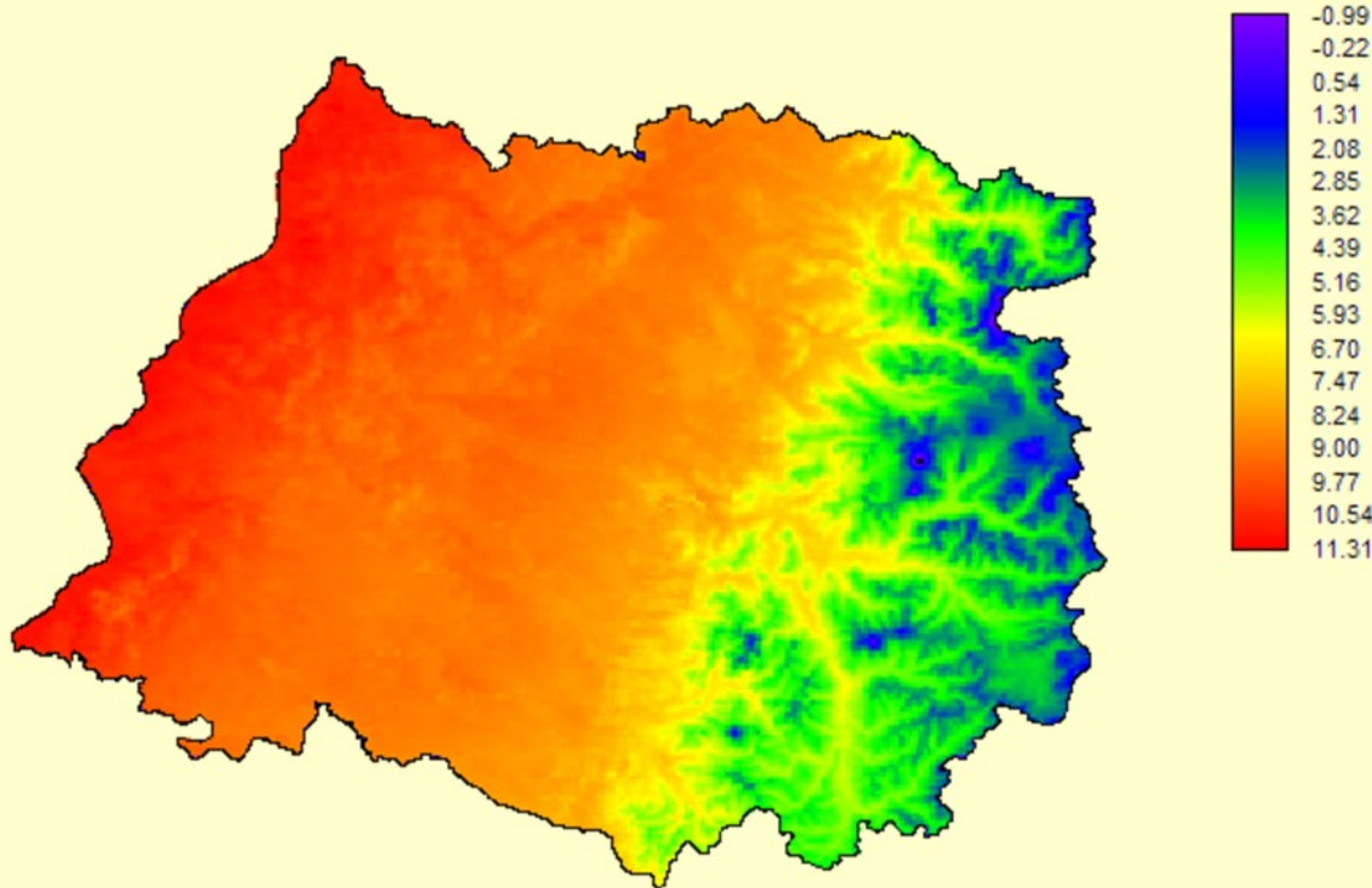
NDVI-MODIS medio de julio

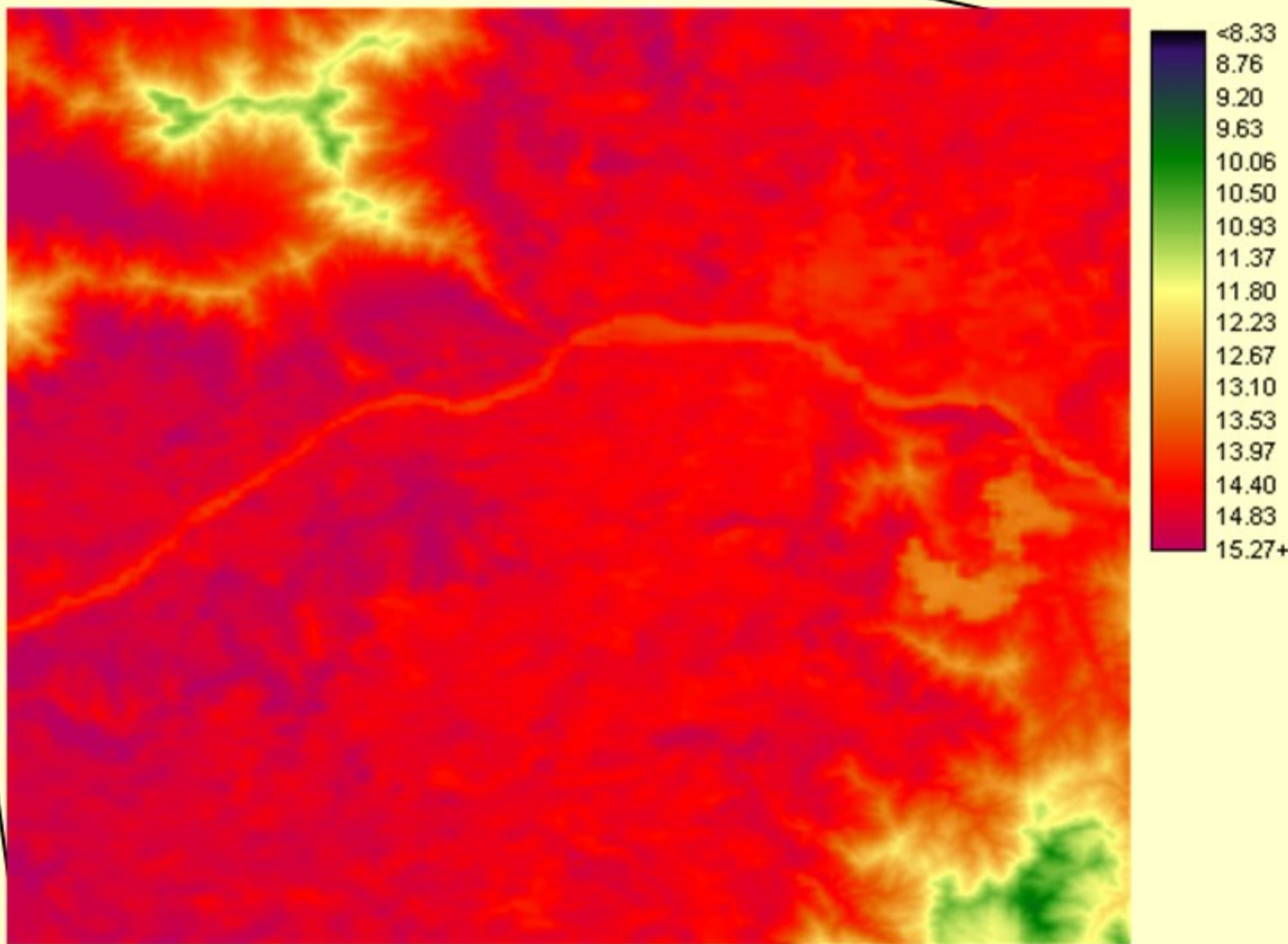
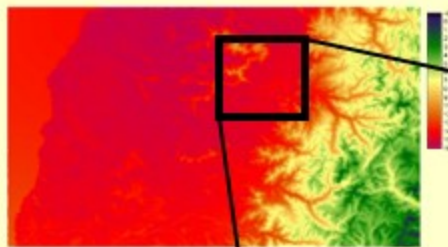


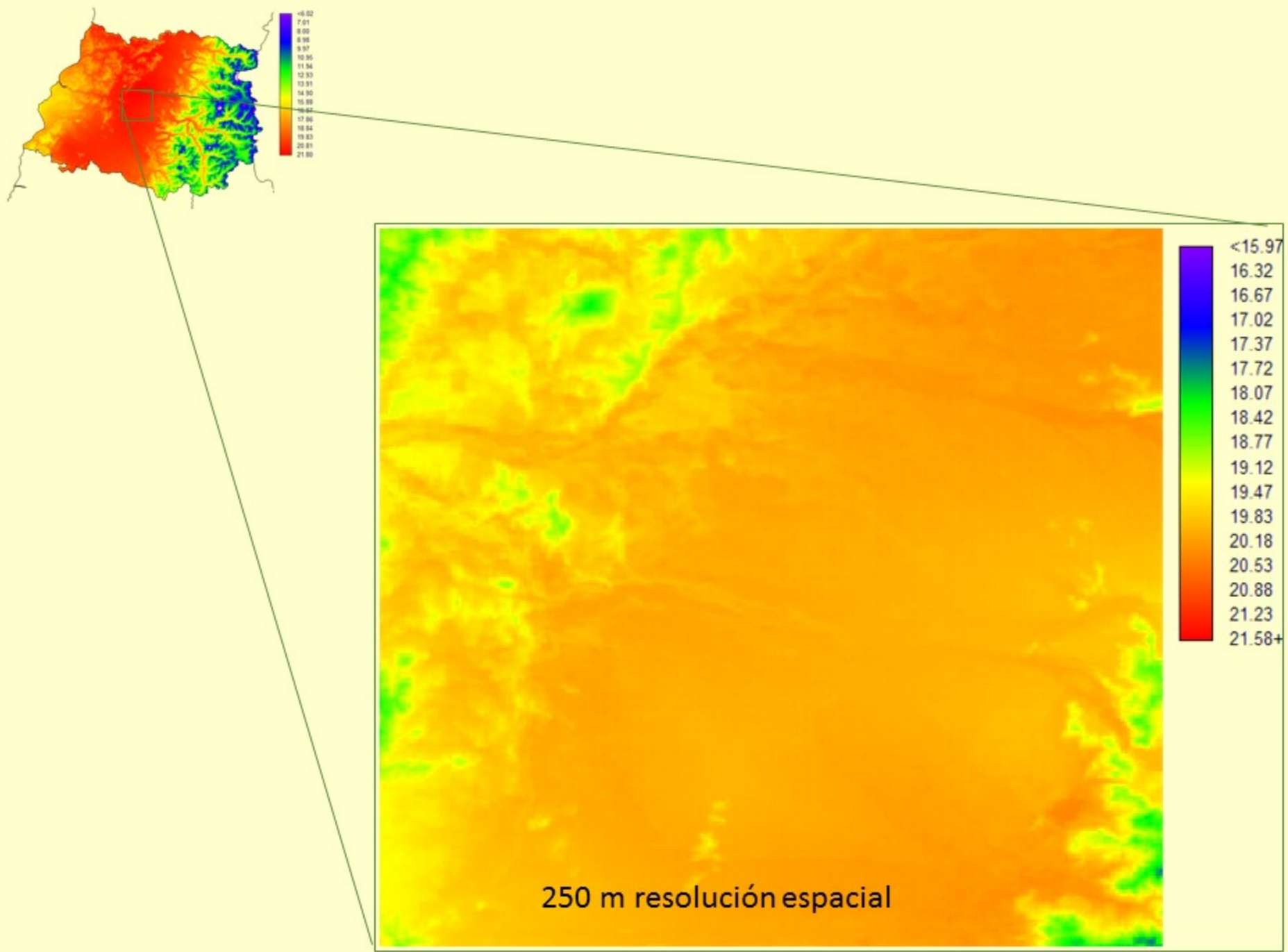
Temperatura media de enero



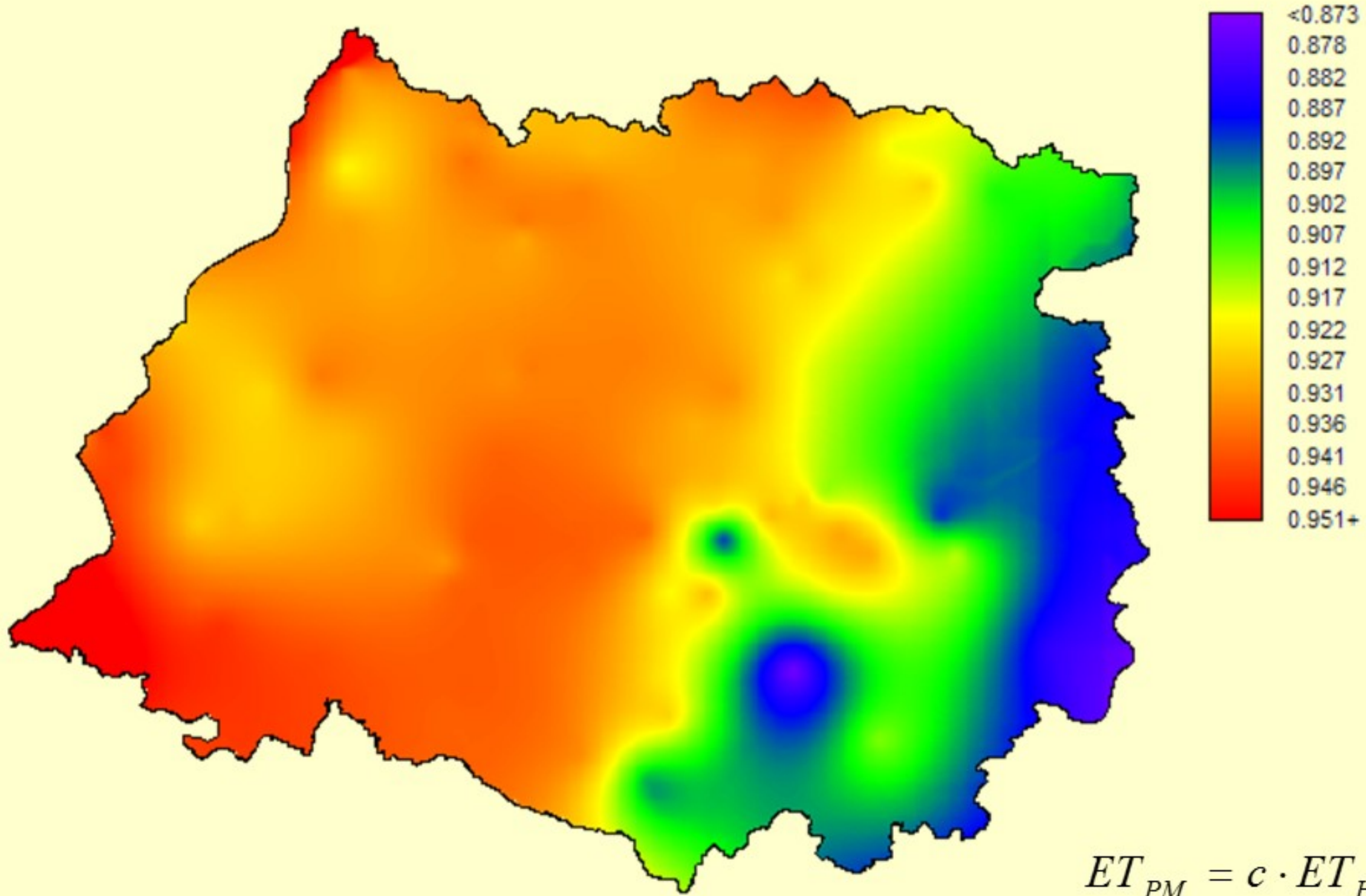
Temperatura media de julio



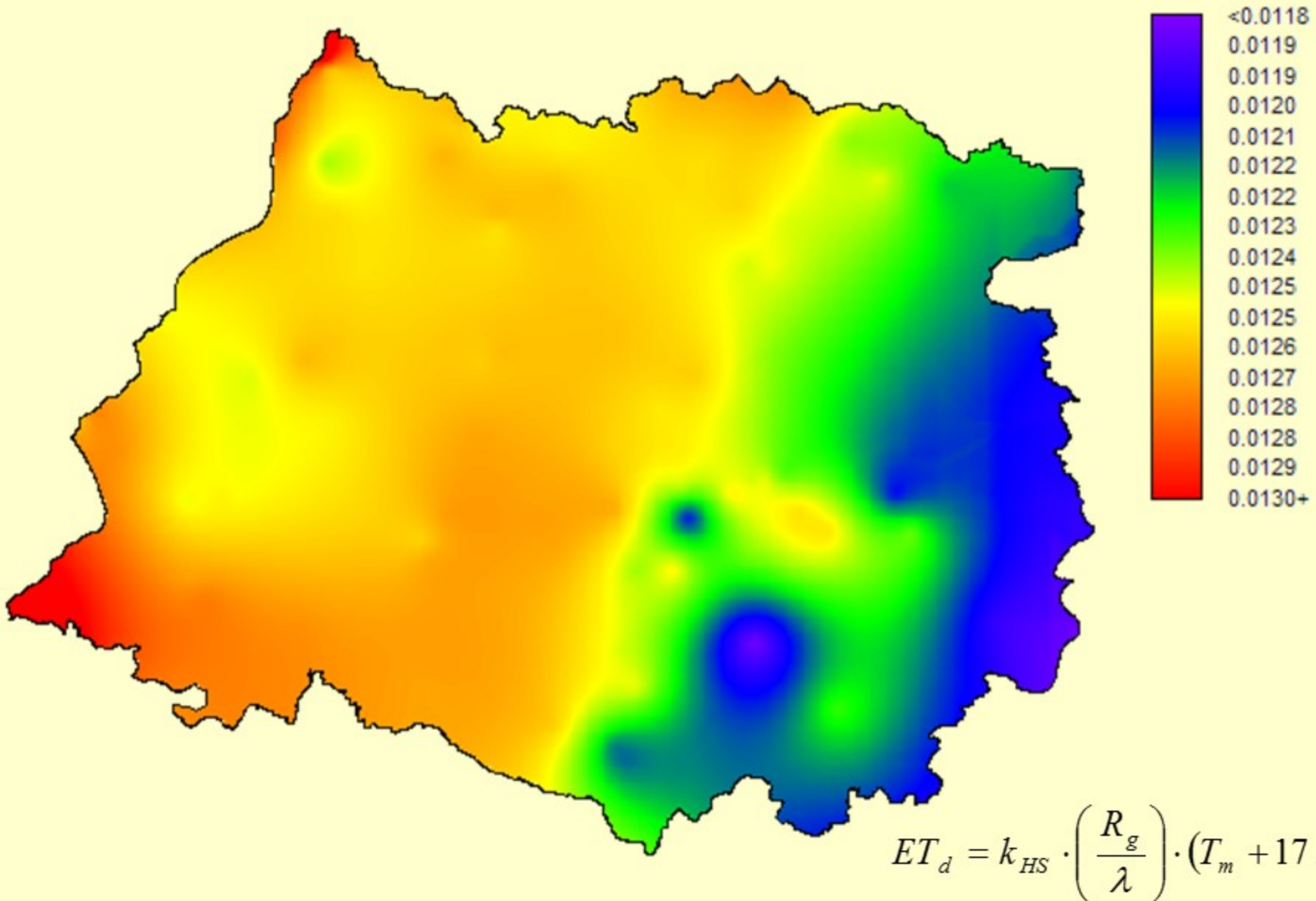


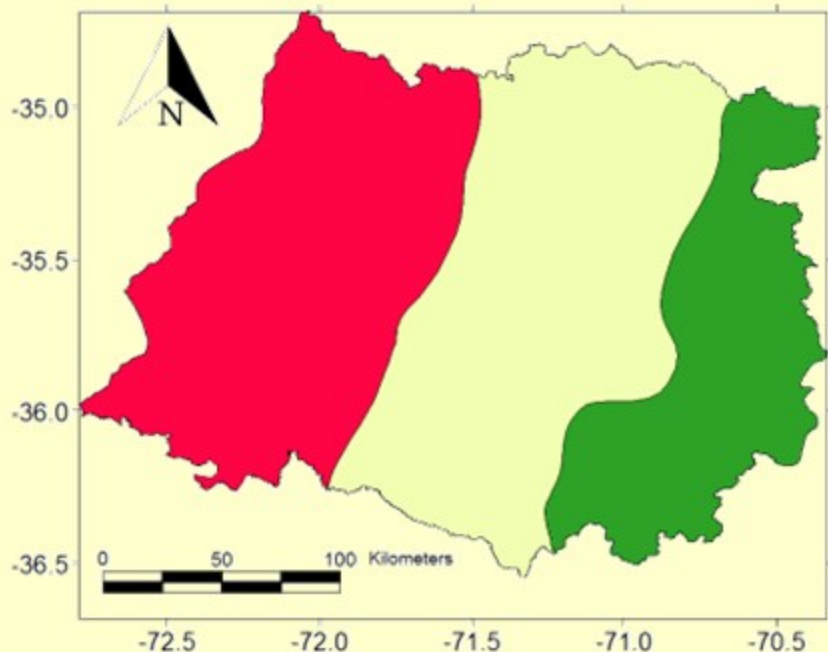


## Variación espacial del coeficiente regresión

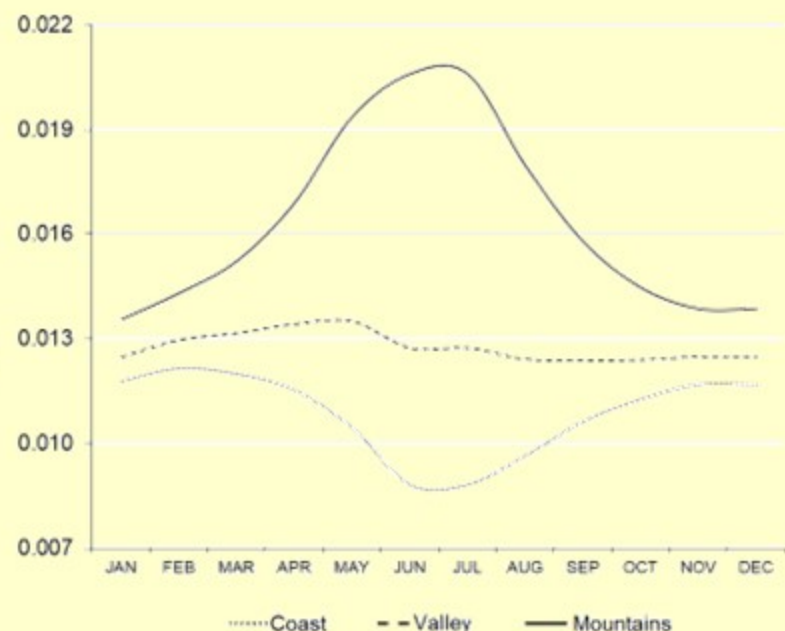


## Variación espacial del coeficiente $k_{HS}$ de Hargreaves-Samani





(a) Geographical distribution of clusters



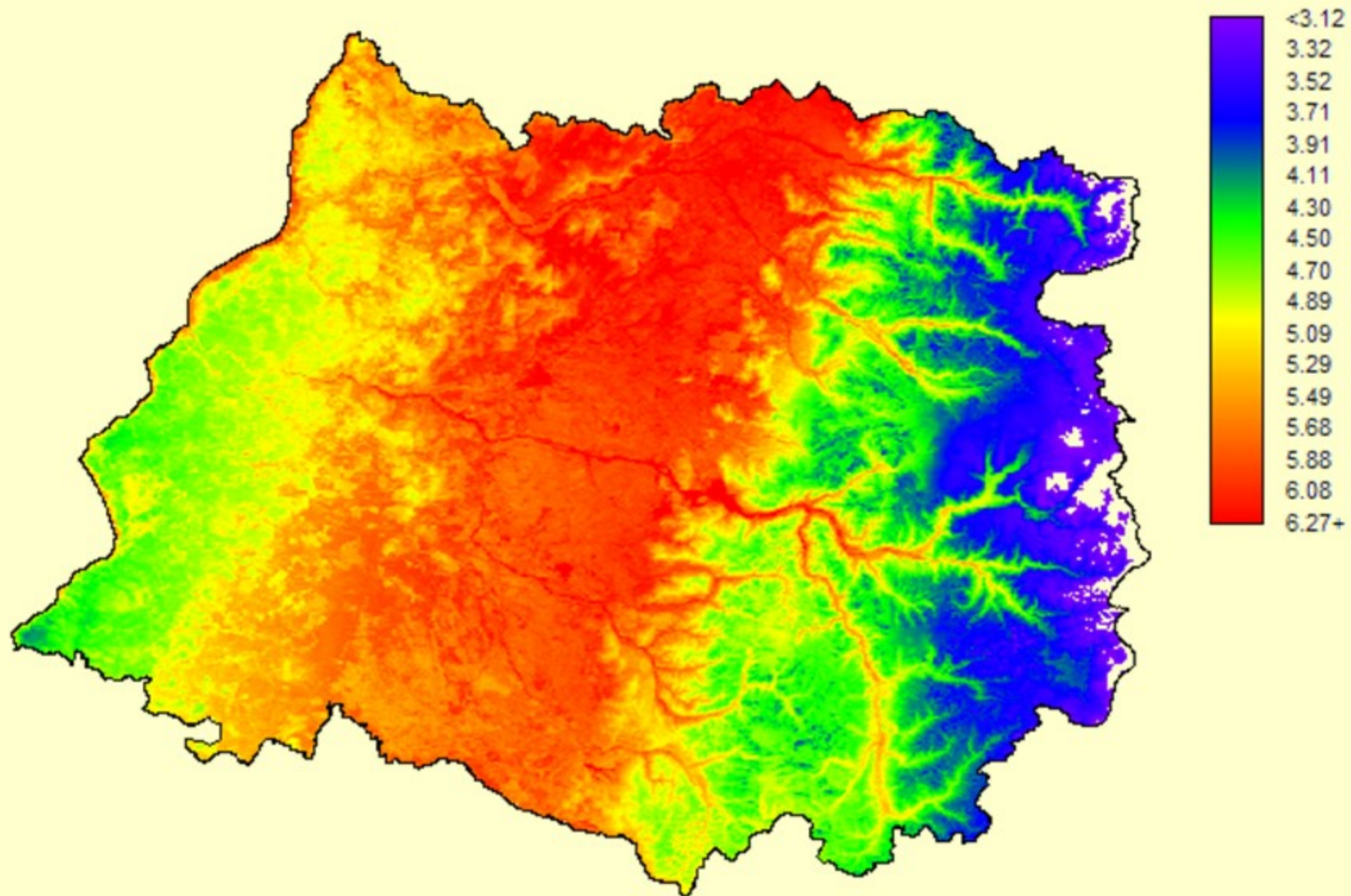
(b) Monthly variation of  $K_{HS}$  by cluster

Characterization of  $K_{HS}$  clusters in study area.

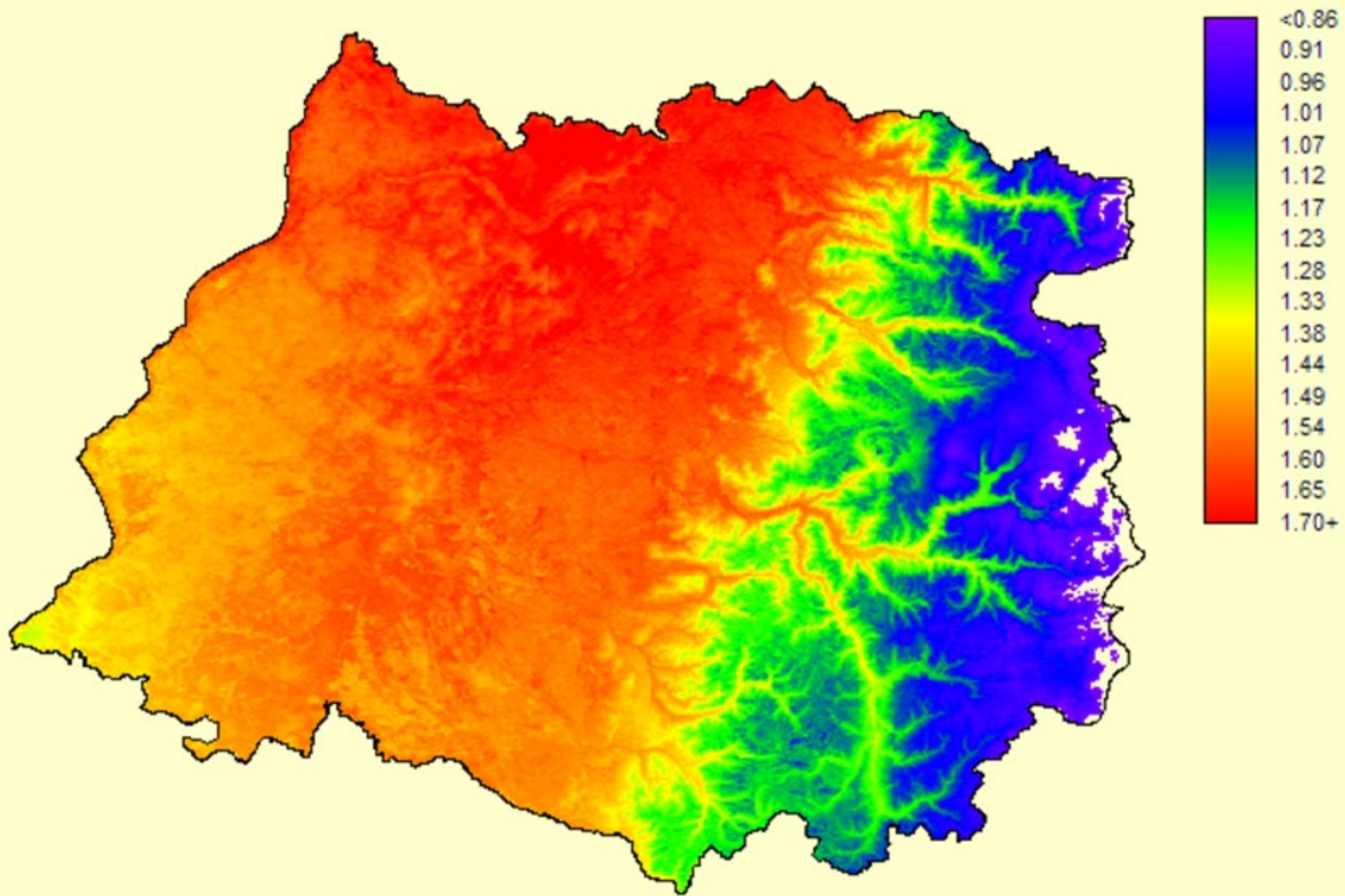
Monthly mean estimated values of  $K_{HS}$ .

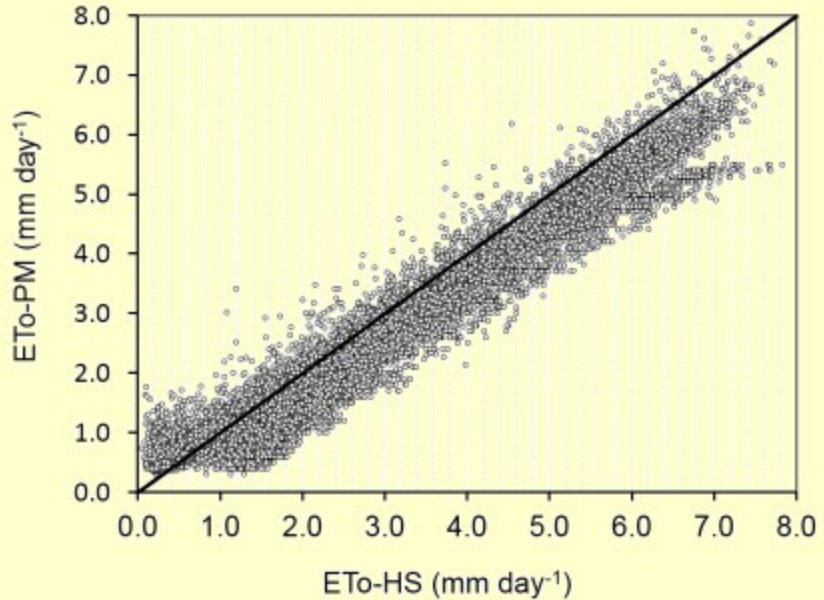
Cluster	Jan	Feb	Mar	Apr	May	Jun	Jul	Aug	Sep	Oct	Nov	Dec	Annual
Coast	0.01177	0.01214	0.01198	0.01152	0.01044	0.00881	0.00881	0.00964	0.01062	0.01126	0.01168	0.01168	0.01086
Valley	0.01247	0.01296	0.01316	0.01342	0.01350	0.01273	0.01273	0.01241	0.01237	0.01239	0.01248	0.01248	0.01276
Mountains	0.01355	0.01431	0.01523	0.01690	0.01937	0.02060	0.02060	0.01797	0.01579	0.01447	0.01386	0.01386	0.01638

Evapotranspiración media de Enero (mm)

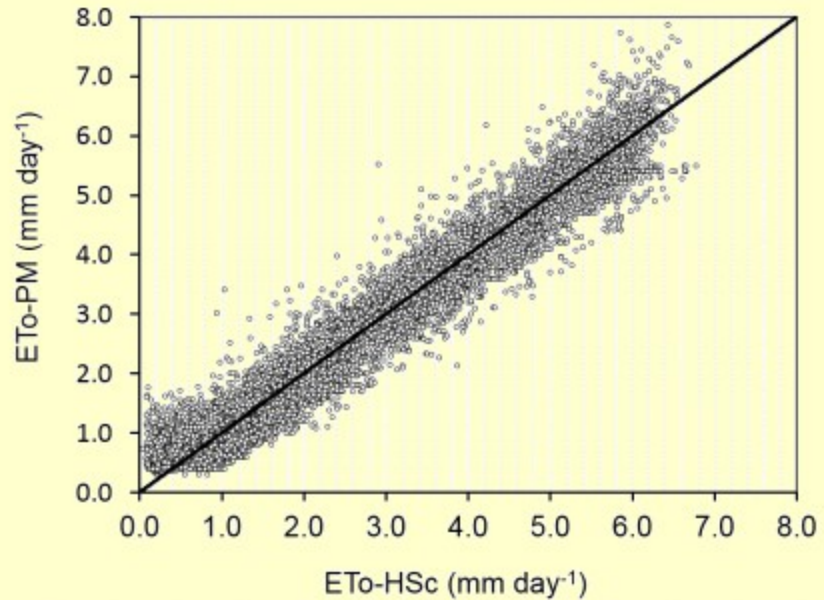


Evapotranspiración media de Julio (mm)





(a) Comparison of HS and PM



(b) Comparison of HSc and PM

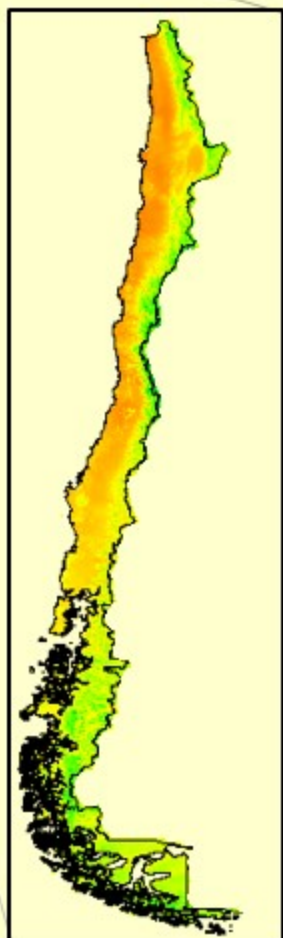
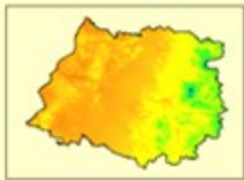
Performance of HS and HSc for validation.



# COMO EVALUAR LOS IMPACTOS EN LA AGRICULTURA



## Preguntas a responder

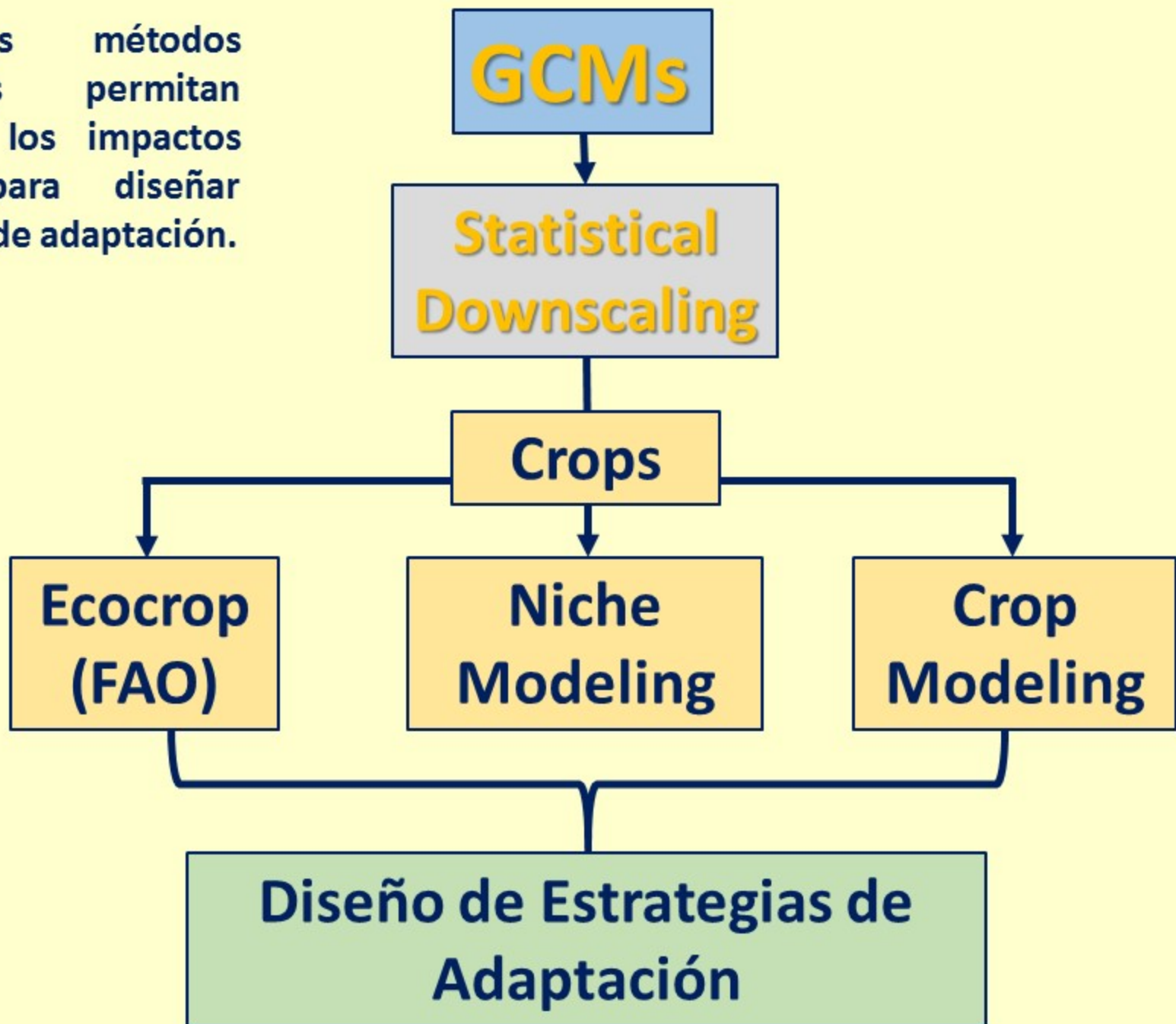


Donde puedo encontrar el clima actual de mi territorio en el futuro en el país?

Donde puedo encontrar el clima futuro de mi territorio en el país hoy?

Donde puedo encontrar el clima presente o futuro de mi territorio hoy en el país?

Necesitamos métodos que nos permitan cuantificar los impactos del cc para diseñar estrategias de adaptación.



## A simple method for estimating suitable territory for bioenergy species in Chile

Luis Morales-Salinas<sup>a</sup>, Edmundo Acevedo<sup>b</sup>, Giorgio Castellaro<sup>b</sup>, Luis Román-Osorio<sup>b</sup>, Jael Morales-Inostroza<sup>b</sup> and Máximo F. Alonso<sup>a</sup>  
<sup>a</sup>Facultad de Ciencias Agronómicas, Universidad de Chile, Casilla 3064, Santiago, Chile.  
<sup>b</sup>Instituto Nacional de Investigaciones Agropecuarias, Ururi, Magallanes 1865, Arica, Chile.

### Abstract

L. Morales-Salinas, E. Acevedo, G. Castellaro, L. Ramón-Osorio, J. Morales-Inostroza, and M.F. Alonso. 2015. A simple method for estimating suitable territory for bioenergy species in Chile. *Cien. Inv. Agr.* 42(2): 227-242. In the past 20 years, different areas of research concerning native and exotic species, herbaceous crops and forest plantations have been oriented toward satisfying domestic, industrial and transportation energy requirements. Because bioenergy species constitute an important resource, it would be strategic for a country to have a method for identifying areas suitable for their cultivation to properly incorporate the establishment of energy crops into land use planning. In this study, we sought to define the suitable territories for 16 bioenergy species and their energy potential based on their soil and climate requirements in Central and Southern Chile. We used an adapted version of the FAO EcoCrop database implemented through DIVA-GIS software to predict the crop suitability of different geographical areas, and our results indicate that this method is a simple way to identify land suitable for the establishment of bioenergy species, which is information that can be used in land use planning. Furthermore, spatially explicit regression and ordinary kriging proved to be satisfactory tools for interpolating data from weather station networks through the generation of continuous climatic information grids. Land suitability is presented at a scale of 1:1,000,000 in a continuous digital format expressed in probabilistic terms.

**Key words:** Bioenergy species, EcoCrop, ecological niche model, land suitability.

### Introduction

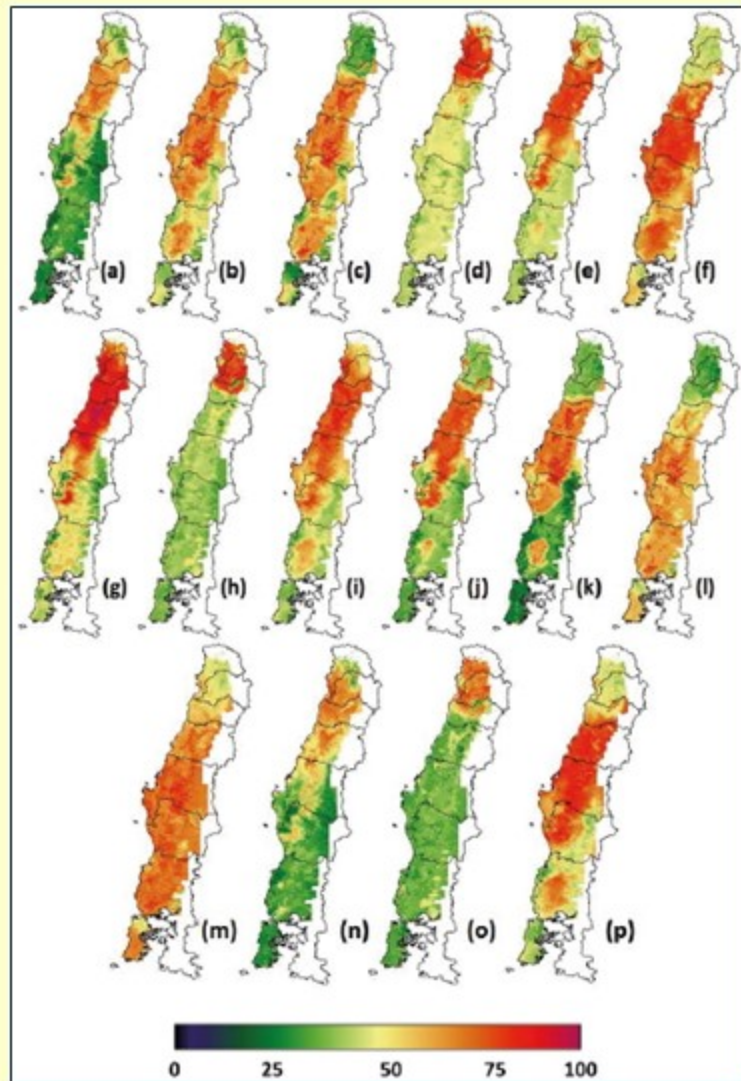
Biomass is a renewable source of energy, and its use is of particular interest because it can reduce greenhouse gas emissions, waste volume

in landfills and dependence on non-renewable energy sources (Rudnick *et al.*, 2011).

Biomass has high energy potential in Chile, and the primary sources are the residues from the management and utilization of native and commercial forests (ProChile, 2009). According to a study of the biomass market in Chile (UACH,

Received July 1, 2014; Accepted April 3, 2015.  
Corresponding author: maximo.alonso@usach.cl

**MORALES-SALINAS, Luis et al. A simple method for estimating suitable territory for bioenergy species in Chile. *Cienc. Inv. Agr.* [online]. 2015, vol.42, n.2, pp. 227-242. ISSN 0718-1620.**



Land suitability maps for *Acacia dealbata* (a), *A. mearnsii* (b), *A. melanoxylon* (c), *A. saligna* (d), *Arundo donax* (e), *Miscanthus x giganteus* (f), *Paulownia* spp. (g), *Salix viminalis* (h), *Eucalyptus camaldulensis* (i), *E. globulus* (j), *E. nitens* (k), *Populus deltoides* (l), *Populus* spp. (m), *Robinia pseudoacacia* (n), *Opuntia ficus-indica* (o) and *Panicum virgatum* (p).

**PLISCOFF, Patricio; ARROYO, Mary T. K. and CAVIERES, Lohengrin. Predicciones de cambios en los principales tipos de vegetación de Chile bajo cambio climático basados en un estudio preliminar: Modelos, incertidumbres y adaptación de la investigación para un mundo de biodiversidad dinámica. Anales Instituto Patagonia (Chile) [online]. 2012, vol.40, n.1, pp. 81-86. ISSN 0718-686X.**

CHANGES IN THE MAIN VEGETATION TYPES OF CHILE PREDICTED UNDER CLIMATE CHANGE BASED ON A PRELIMINARY STUDY: MODELS, UNCERTAINTIES AND ADAPTING RESEARCH TO A DYNAMIC BIODIVERSITY WORLD

PREDICCIONES DE CAMBIOS EN LOS PRINCIPALES TIPOS DE VEGETACIÓN DE CHILE BAJO CAMBIO CLIMÁTICO BASADOS EN UN ESTUDIO PRELIMINAR: MODELOS, INCERTIDUMBRES Y ADAPTACIÓN DE LA INVESTIGACIÓN PARA UN MUNDO DE BIODIVERSIDAD DINÁMICA

Patricio Pliscoff<sup>1</sup>, Mary T. K. Arroyo<sup>2</sup> & Lohengrin Cavieres<sup>3</sup>

RESUMEN

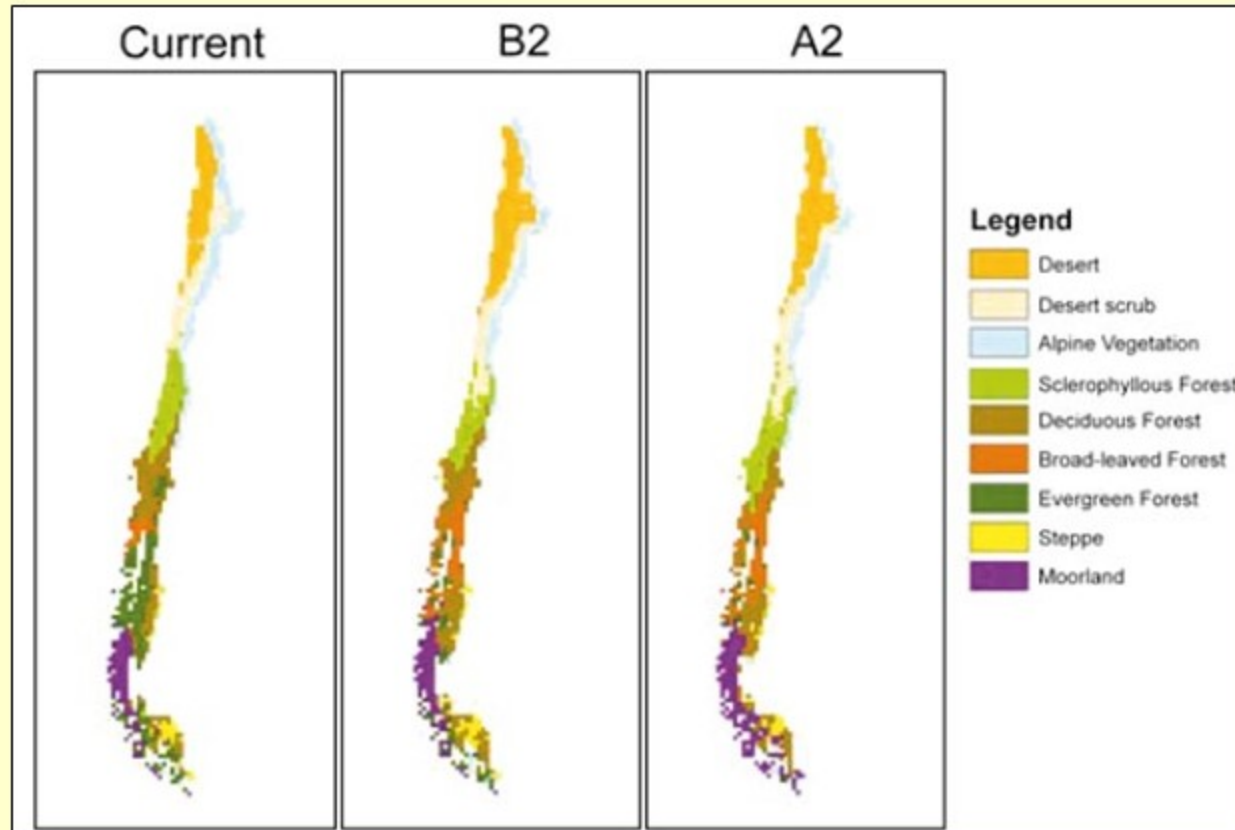
Los efectos del cambio climático sobre la biodiversidad ocurren a diferentes niveles de organización (organismos, especies y ecosistemas). La vegetación se encuentra relacionada directamente con el clima, por lo que se espera que el calentamiento global altere la distribución de los tipos de vegetación, para el futuro cercano. Usando un enfoque de enfoque de escala, los tipos de vegetación de Chile fueron modelado para el año 2050 usando los escenarios de cambio climático del IPCC para el año 2050. Los resultados muestran cambios en las distribuciones y las transiciones entre los tipos de vegetación, en relación a su distribución histórica y actual. Entre los cambios principales, se identifica el avance altitudinal de la vegetación alta, la expansión hacia el sur del desierto árido y del matorral desértico sobre el bioma esclerófilo. Se esperan cambios en la representación relativa de las áreas protegidas dentro de los diferentes tipos de vegetación de Chile. Las limitaciones del ejercicio de modelación son discutidas junto a la necesidad de mejorar el conocimiento científico sobre procesos biológicos clave como dispersión y polinización.

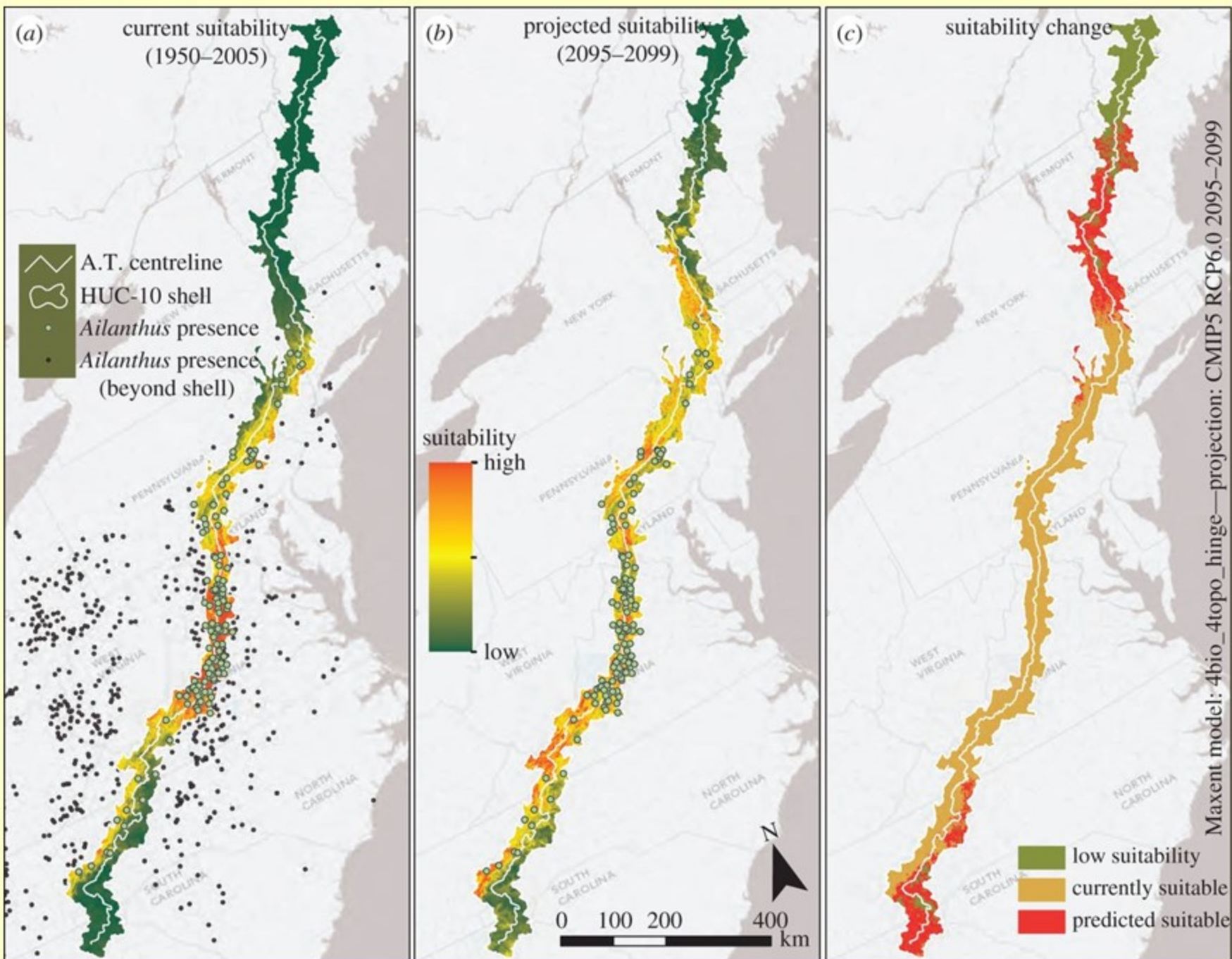
**Palabras clave:** Cambio climático, Modelos de distribución biogeográfica, tipos de vegetación, MAXENT, PRECIS.

<sup>1</sup> Department of Ecology and Evolution, Faculty of Biology and Medicine, University of Louisville, Louisville, patricio@louisville.edu.  
<sup>2</sup> Institute of Ecology and Biodiversity (IEB), University of Chile, mtarro@ieb.edu.cl  
<sup>3</sup> University of Concepción and Institute of Ecology and Biodiversity (IEB), lcavieres@udec.cl

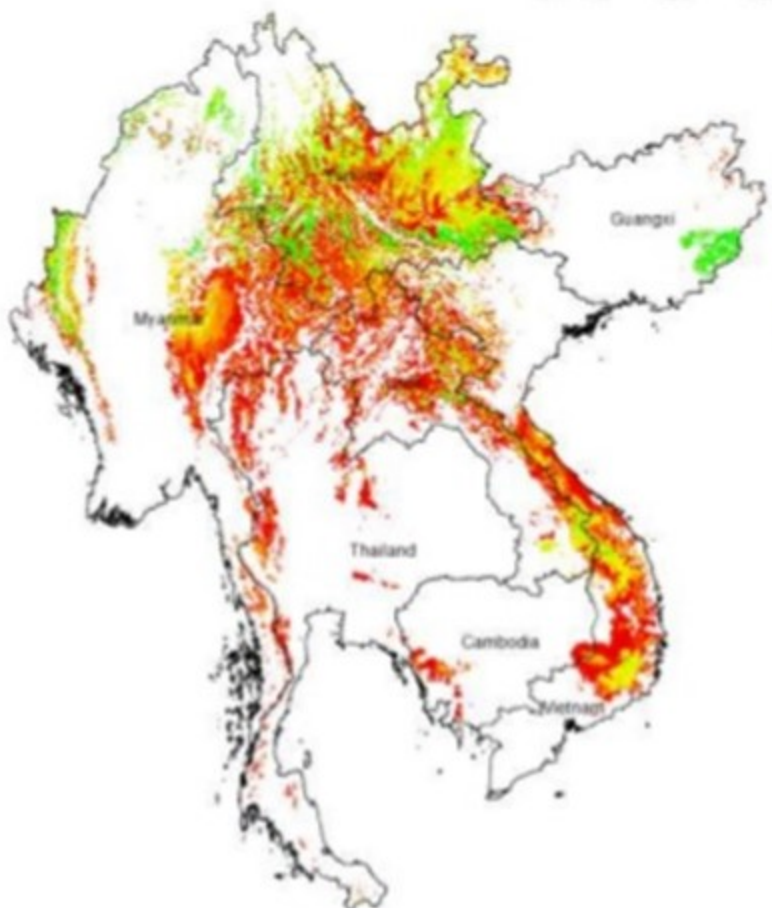
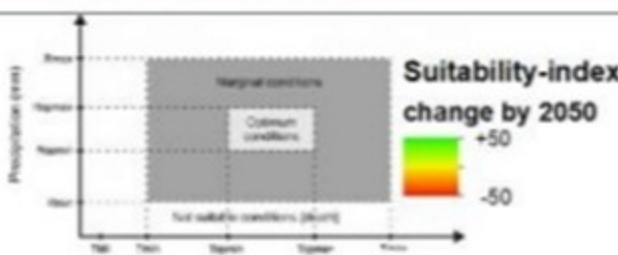
Received Oct. 12, 2011

Accepted May 15, 2012

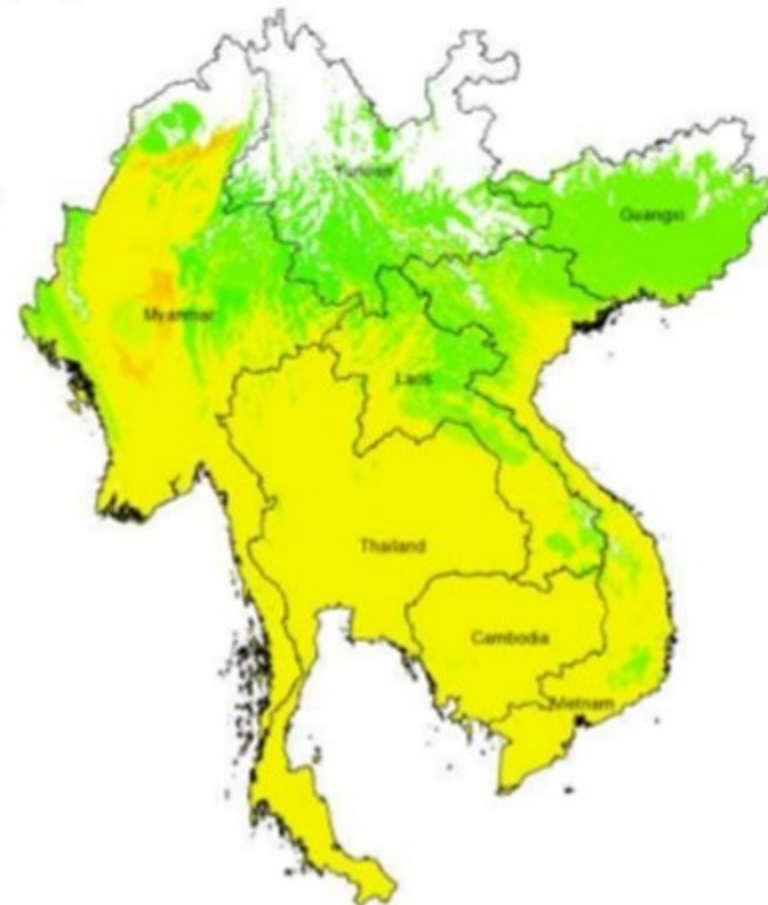




## Common beans (*phaseolus vulgaris*)

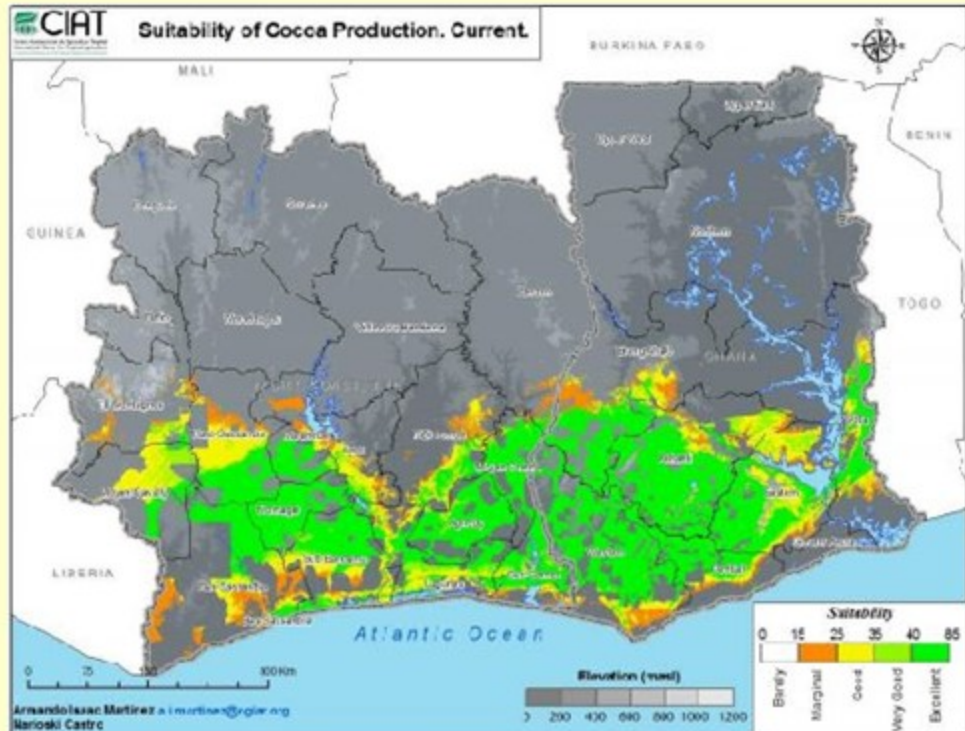


## Cassava (*manihot esculenta*)

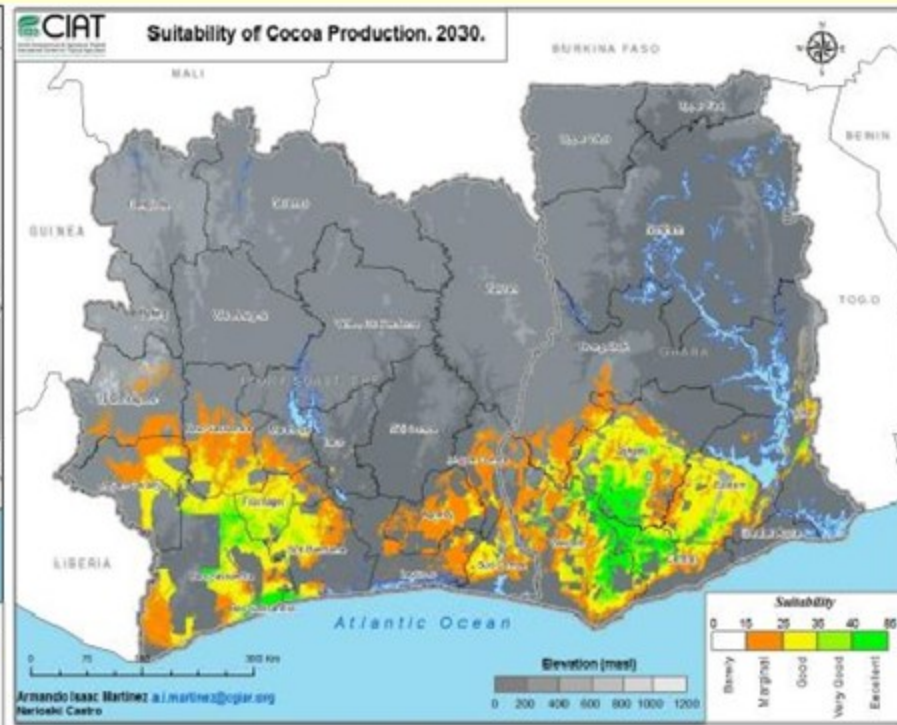


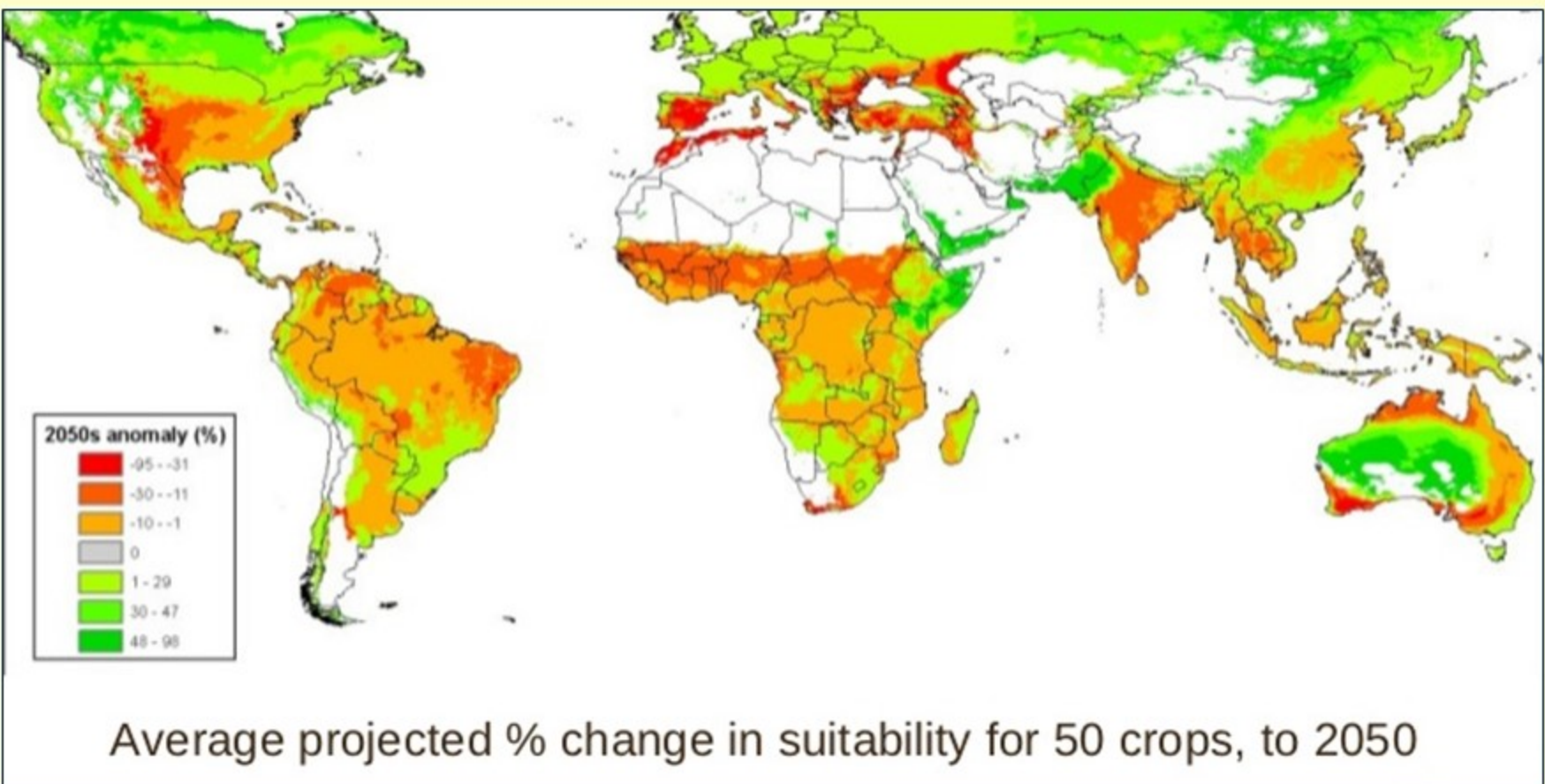


Suitability of Cocoa Production. Current.

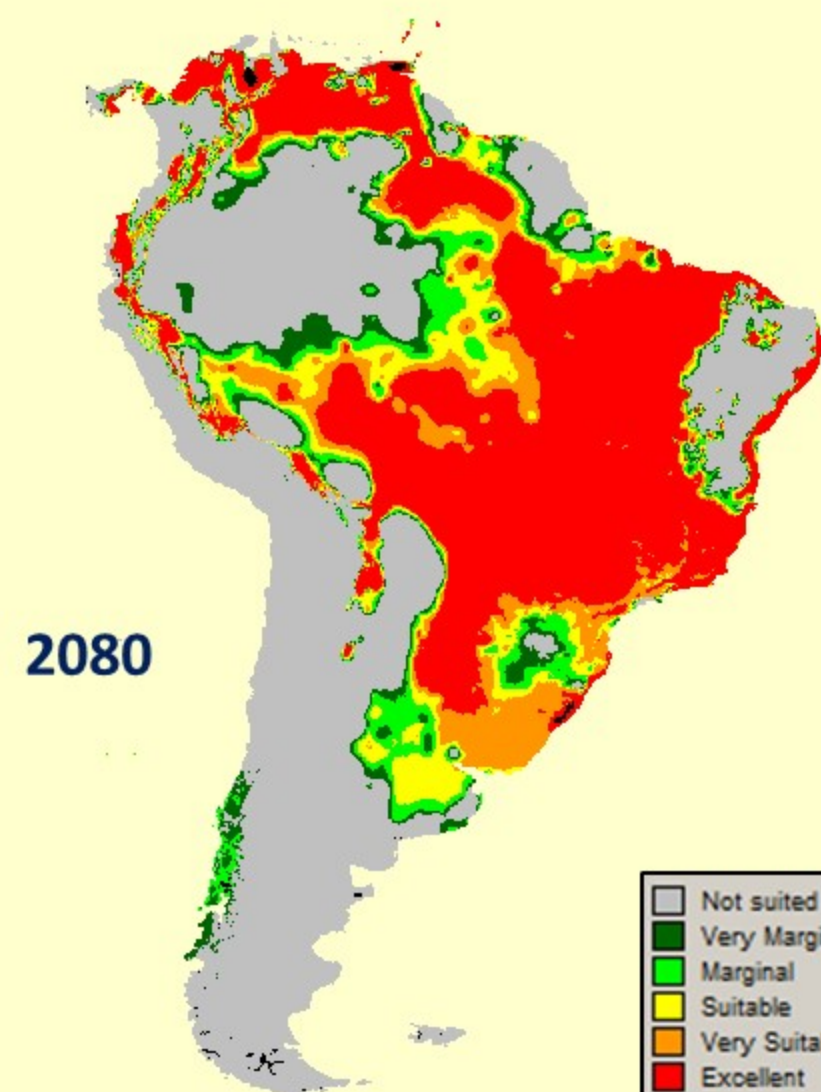
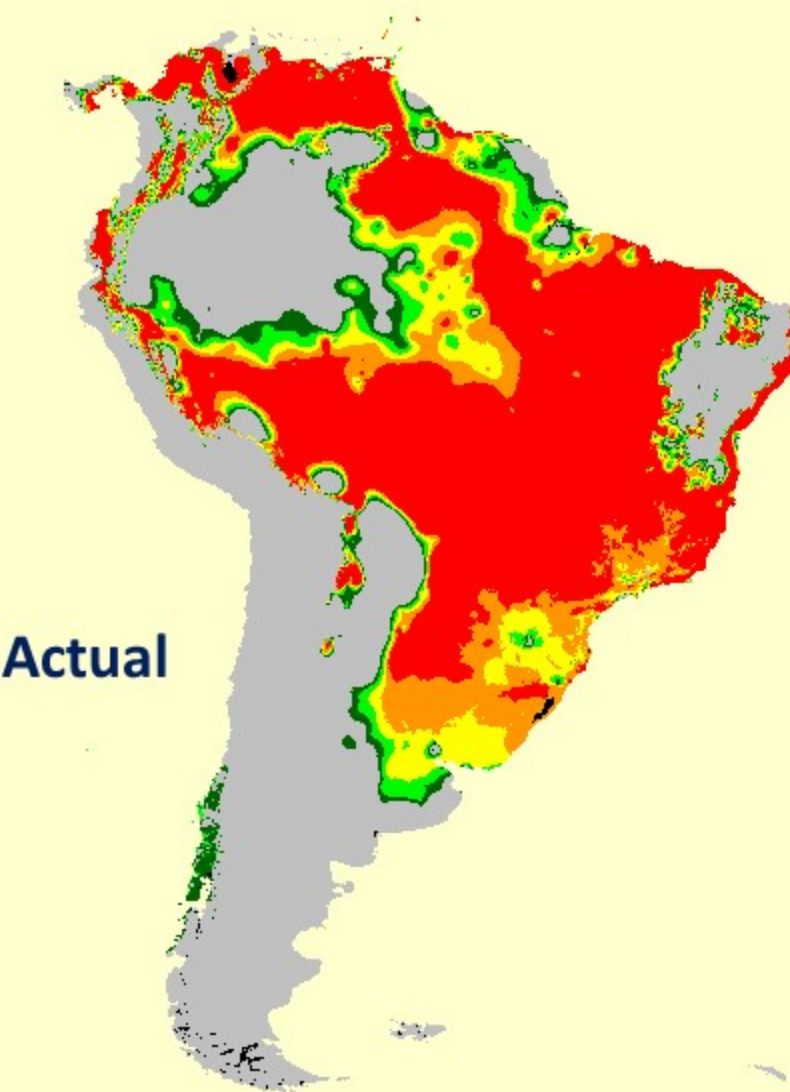


Suitability of Cocoa Production. 2030.



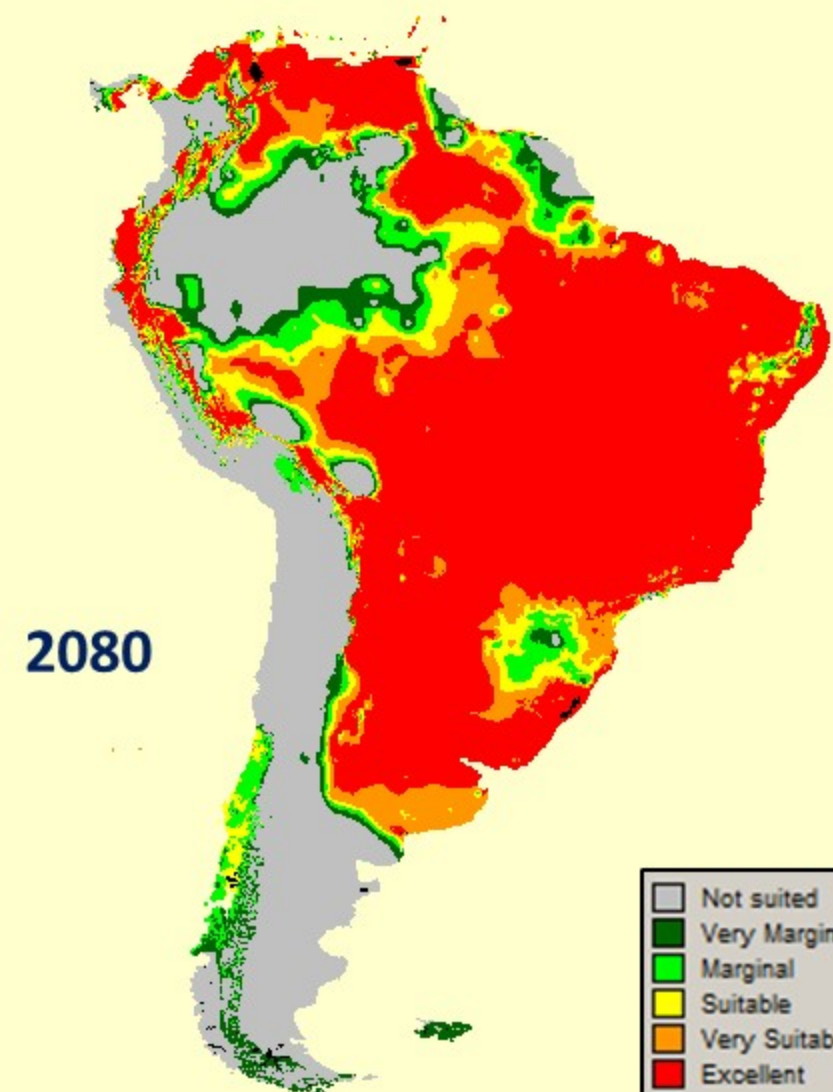
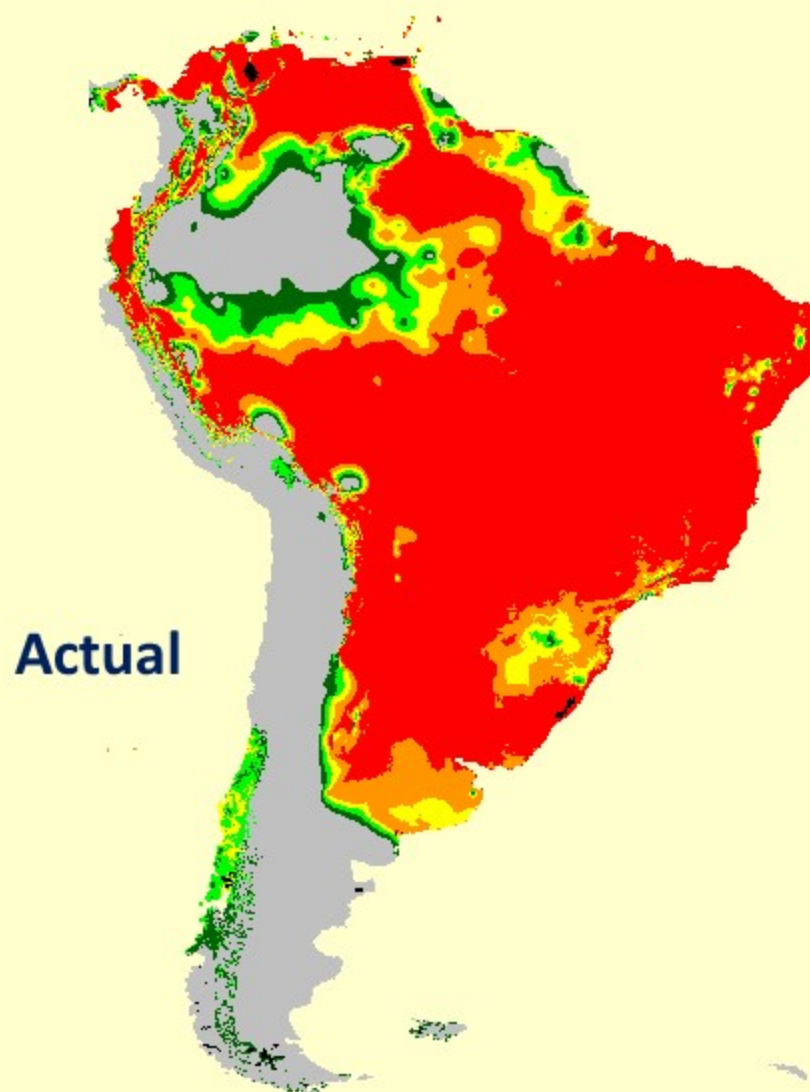


# Melocotón



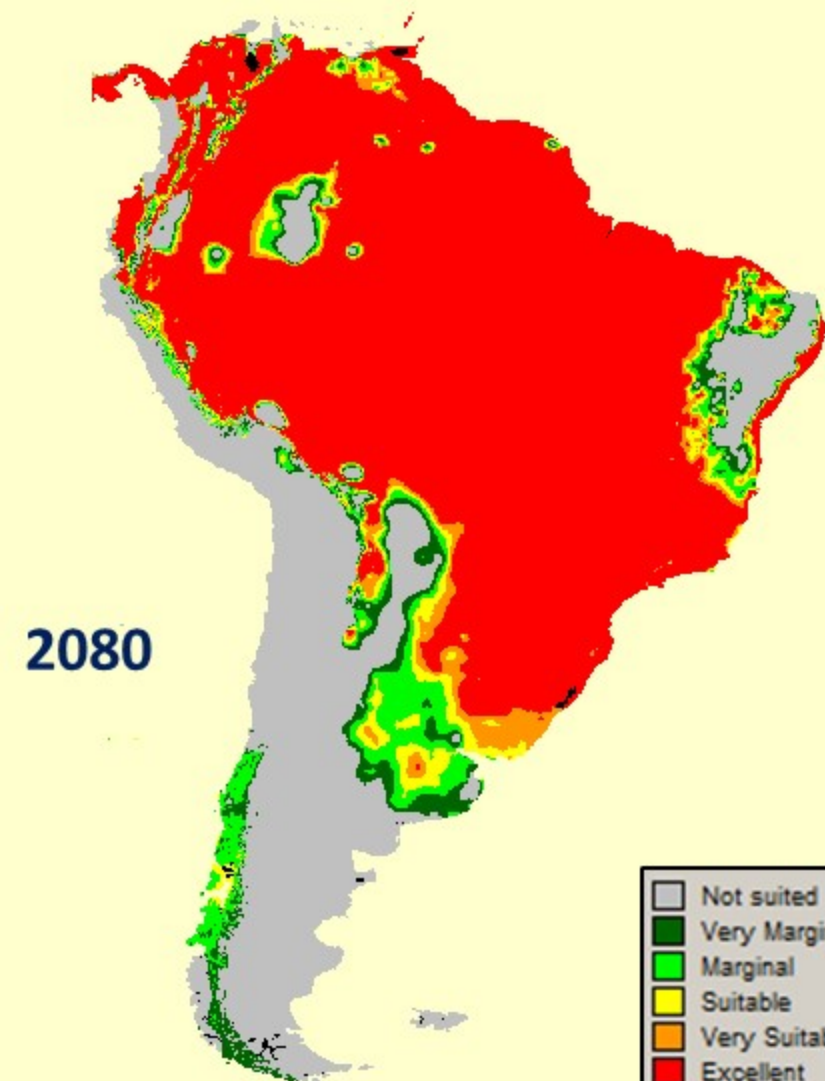
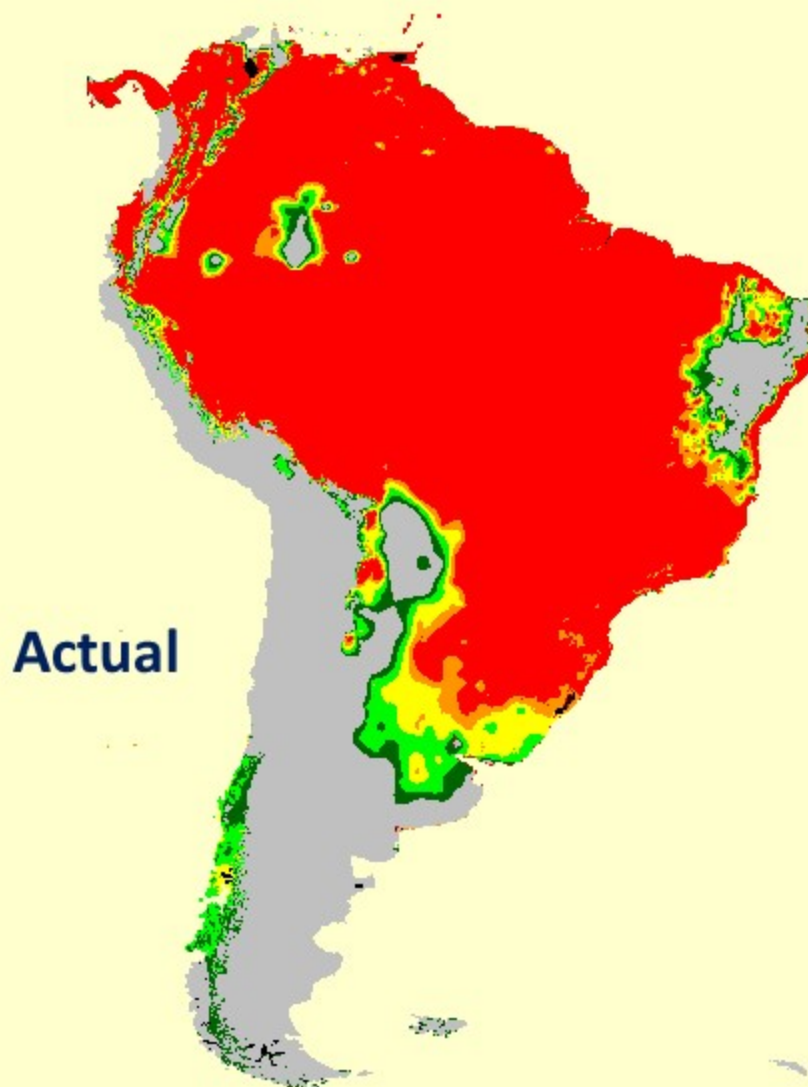
Not suited
Very Marginal
Marginal
Suitable
Very Suitable
Excellent

# Cereza



Not suited
Very Marginal
Marginal
Suitable
Very Suitable
Excellent

# Ciruela



Not suited
Very Marginal
Marginal
Suitable
Very Suitable
Excellent

# Cydia pomonella



Journal of Economic Entomology Advance Access published June 26, 2015

## ECOLOGY AND BEHAVIOR

### Assessing the Global Risk of Establishment of *Cydia pomonella* (Lepidoptera: Tortricidae) using CLIMEX and MaxEnt Niche Models

SUNIL KUMAR,<sup>1,2</sup> LISA G. NEVEN,<sup>2</sup> HONGYU ZHU,<sup>3</sup> AND RUNZHI ZHANG<sup>2</sup>

J. Econ. Entomol. 1–12 (2015); DOI: 10.1093/jee/tov266  
ABSTRACT Accurate assessment of insect pest establishment risk is needed by national plant protection organizations to negotiate international trade of horticultural commodities that can potentially carry the pests and result in inadvertent introduction in the importing countries. We used mechanistic and comparative niche models to identify and map the global patterns of the potential for establishment of codling moth (*Cydia pomonella* L.), a major pest of apples, pears, plums, peaches, and other potential stone fruits, and a minor pest in countries where it currently does not occur. The mechanistic model CLIMEX was calibrated using species-specific physiological tolerance thresholds, whereas the comparative model MaxEnt uses species occurrences and climatic spatial data. Projected potential distribution from both models conformed well to the current known distribution of codling moth. None of the models predicted suitable environmental conditions in countries located between 20°N and 20°S potentially because of shorter photoperiod, and lack of chilling requirement (<60 d at ≤10°C) in these areas for codling moth to break diapause. Models predicted suitable conditions in South Korea and Japan where codling moth currently does not occur but where its preferred host species (i.e., apple) is present. Average annual temperature and latitude were the main environmental variables associated with codling moth distribution at global level. The predictive models developed in this study present the global risk of establishment of codling moth, and can be used for monitoring potential introductions of codling moth in different countries and by policy makers and trade negotiators in making science-based decisions.

KEY WORDS biosecurity, species distribution modeling, pest risk analysis, insect pest, quarantine pest

The codling moth, *Cydia pomonella* (L.) (Lepidoptera: Tortricidae), is one of the most destructive and economically important fruit pests of apples, its preferred host, as well as walnuts, pears, apricots, and plums in most fruit-growing temperate regions of the world (Baran 1993, Biers et al. 2003, Neven 2012). It is a pest of quarantine concern in several countries in regions where it currently does not occur (e.g., Colombia, Japan, South Korea, and China).<sup>1</sup> Tortricid codling moth has the potential to cause 100% infestation in untreated apple orchards (Biers et al. 2003). Other fruit species, as peach (*Pyrus* spp.) and walnuts are less susceptible to codling moth infestation (Baran 1993). Codling moth is considered to have originated somewhere in eastern Europe and was inadvertently introduced across the world through infested fruits (Lloyd 1960); it was introduced to North America around 1750 (Slingsbyard 1998).

Codling moth is an internal feeding pest and its biology is very well-studied because of its high economic importance (Neven et al. 2009, Neven 2012). It is a multivoltine species with a facultative diapause, and has the ability to adapt to diverse climatic conditions. This pest has one to five generations per year with fewer generations further away from the equator (Anonymous 2014a). *C. pomonella* has five larval instars and overwinters under the tree bark or at the base of the tree fifth-instar diapausing larvae (Wettmer and Whalen 1987). Diapause is triggered primarily by shorter day lengths in late summer (Biers 1993, Neven 2012, 2013). The critical photoperiod (i.e., the day length) for codling moth varies from 13.5 to 15.5 h for cold-hardiness varies from 13.5 to 15.5 h at ≤10°C temperature to break diapause (Neven 2013).

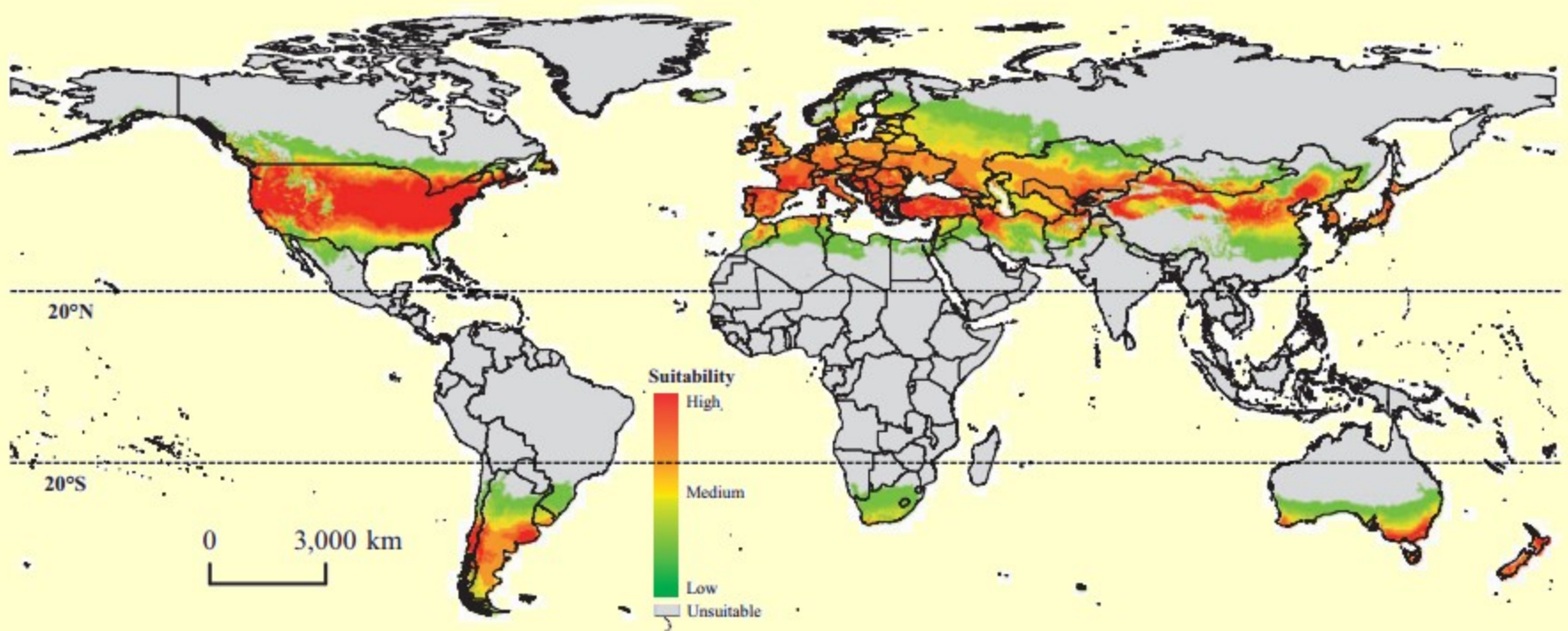
International trade of fruits, plant materials, and other commodities (e.g., seeds and plant parts) can potentially carry pests and cause inadvertent introductions in importing countries where the pest is not established. Therefore, the World Trade Organization (WTO) requires its members to establish national Sanitary and Phytosanitary Measures (SPS; WTO 2014) measures consistent with international standards (WTO 2014). The plants, insects, and disease pathogens

<sup>1</sup>National Resource Biology Laboratory, Colorado State University, Fort Collins, CO 80526-0166.

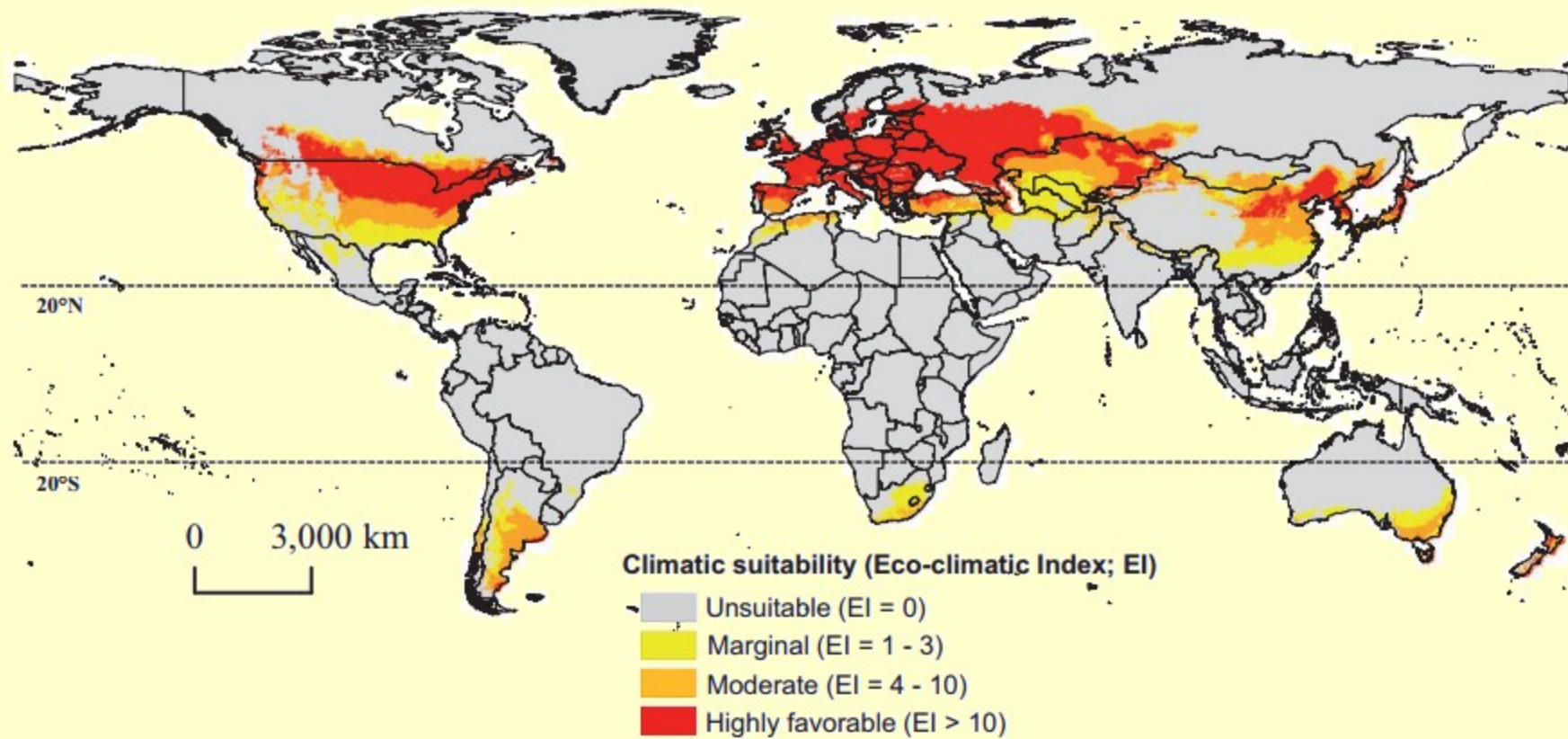
<sup>2</sup>College of Biological Sciences, National Research Center for Environmental Sciences, Chinese Academy of Agricultural Sciences, Beijing 100083, China.

<sup>3</sup>United States Department of Agriculture Agricultural Research Service, Tomato Agricultural Research Laboratory, 3220 Kourouneau Paseo, Wapato, WA 98951.

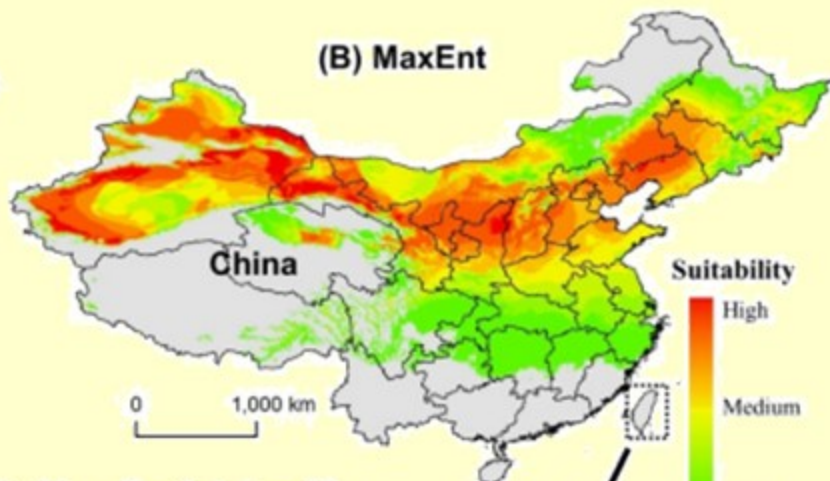
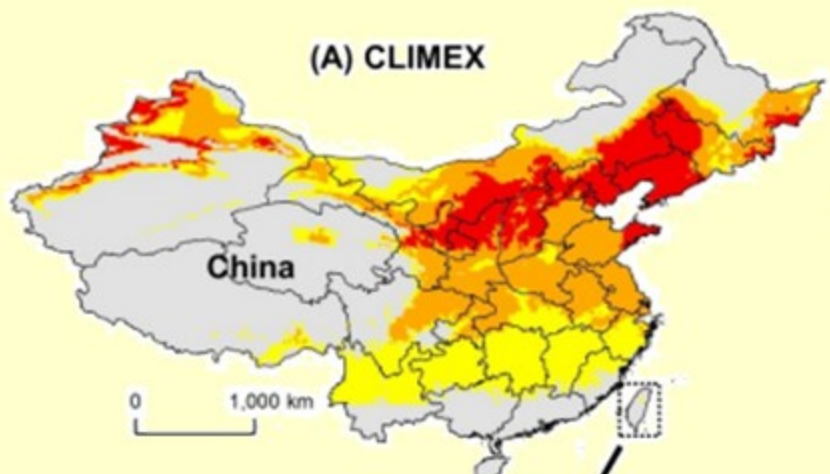
<sup>1</sup>Member of Zoology, Chinese Academy of Sciences, Beijing West Rd, Chongming, Shanghai 200036, China.



**Fig. 1.** Global risk of establishment of codling moth using MaxEnt model.



**Fig. 2.** Global risk of establishment of codling moth using CLIMEX model.

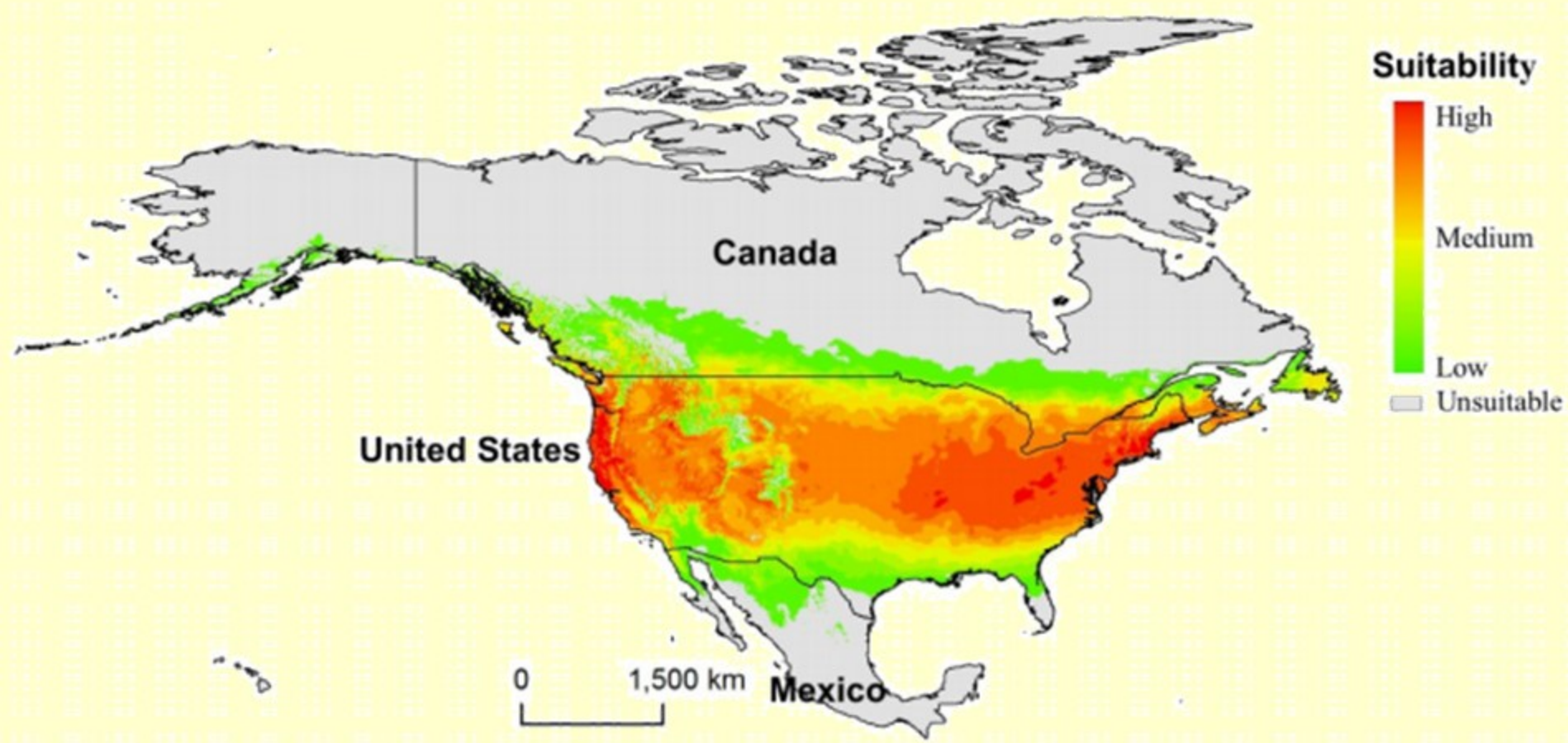


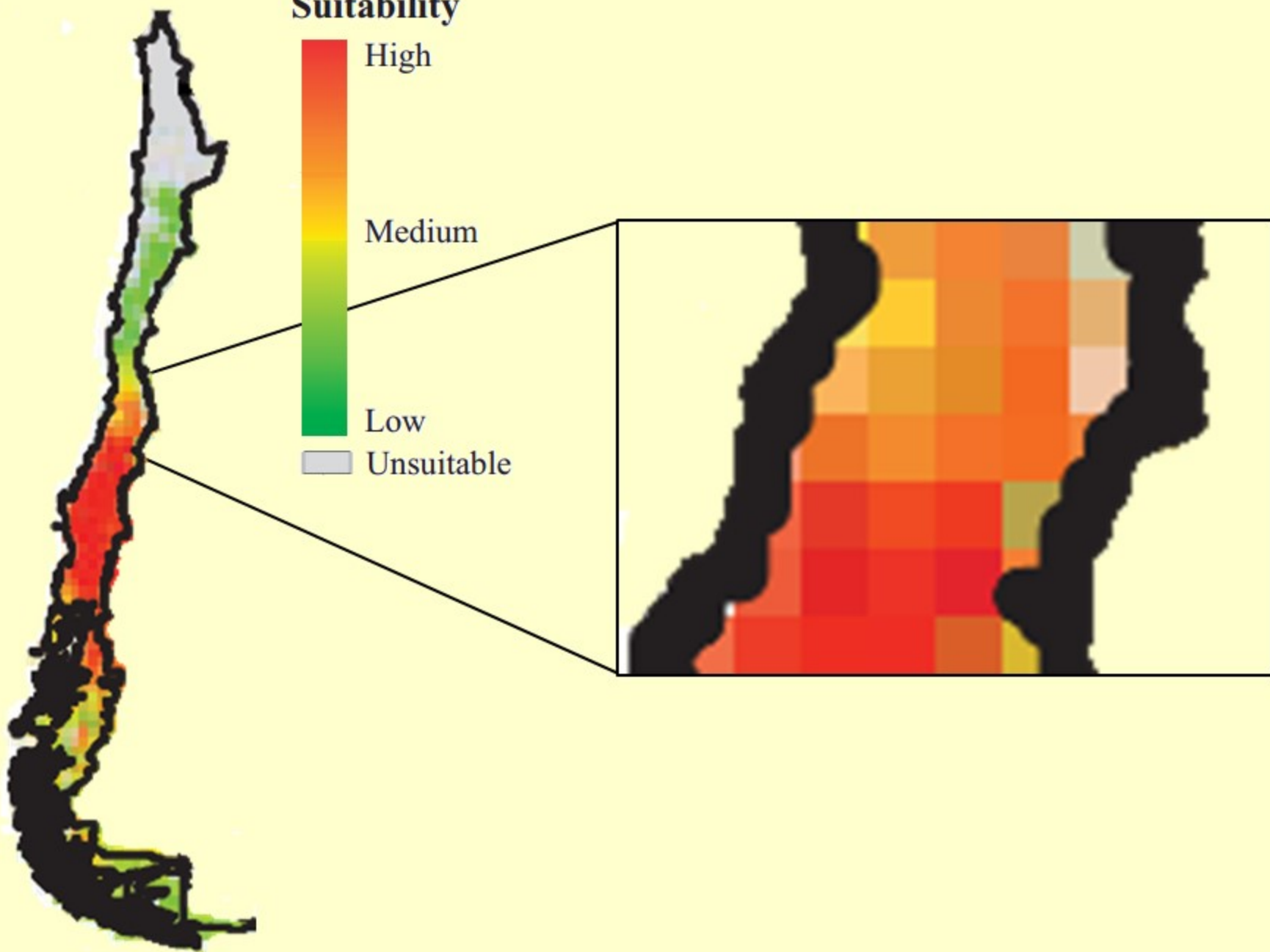
Climatic suitability (Eco-climatic Index; EI)

- Unsuitable (EI = 0)
- Marginal (EI = 1 - 3)
- Moderate (EI = 4 - 10)
- Highly favorable (EI > 10)

- Suitability
- High
  - Medium
  - Low
  - Unsuitable







# Risk analysis of the establishment of *Scaphoideus titanus*, vector of “flavescence dorée” phytoplasma in grapevine, under current and estimated climate change conditions in Chile



Phytopathology: Molecules  
Vol. 7 (3), June 2017, 58-64  
doi:10.4292/phymol.v7i3.1601  
Institute Journals

**Research Article**

Risk analysis of the establishment of *Scaphoideus titanus*, vector of “flavescence dorée” phytoplasma in grapevine, under current and estimated climate change conditions in Chile

Nicolás Quiroga<sup>a</sup>, Dinka Ivlbic<sup>a</sup>, Javiera Lagos<sup>a</sup>, Miguel Saavedra<sup>a</sup>, Alejandra Sandoval-Rodríguez<sup>b</sup>, Rodrigo Infante<sup>c</sup>, Luis Morales<sup>c</sup> and Nicola Fiore<sup>a</sup>

<sup>a</sup>Universidad de Chile, Facultad de Ciencias Agronómicas, Departamento de Sanidad Vegetal, Avenida Santa Rosa 1333, La Reina, Santiago, Chile  
<sup>b</sup>Universidad de Chile, Centro de Investigación en Agrobiología y Veterinaria, La Pintana, Santiago, Chile  
<sup>c</sup>Universidad de Chile, Facultad de Ciencias, Las Palmeras 3423, Ñuñoa, Santiago, Chile

Received: May 4, 2016; Accepted: May 20, 2017

**Abstract**  
Chile is one of the “flavescence dorée” disease-free countries. Given the importance of maintaining industry in the country, it is fundamental to know which could be the conditions for the arrival and future spread of the disease in Chile. The journal “Molecules” of the University of Chile, through its publishing site (ISSN 1420-3049 (XIV-21)) and considering the importance of the disease in Chile, it is possible to consider a current and projected climate analysis.

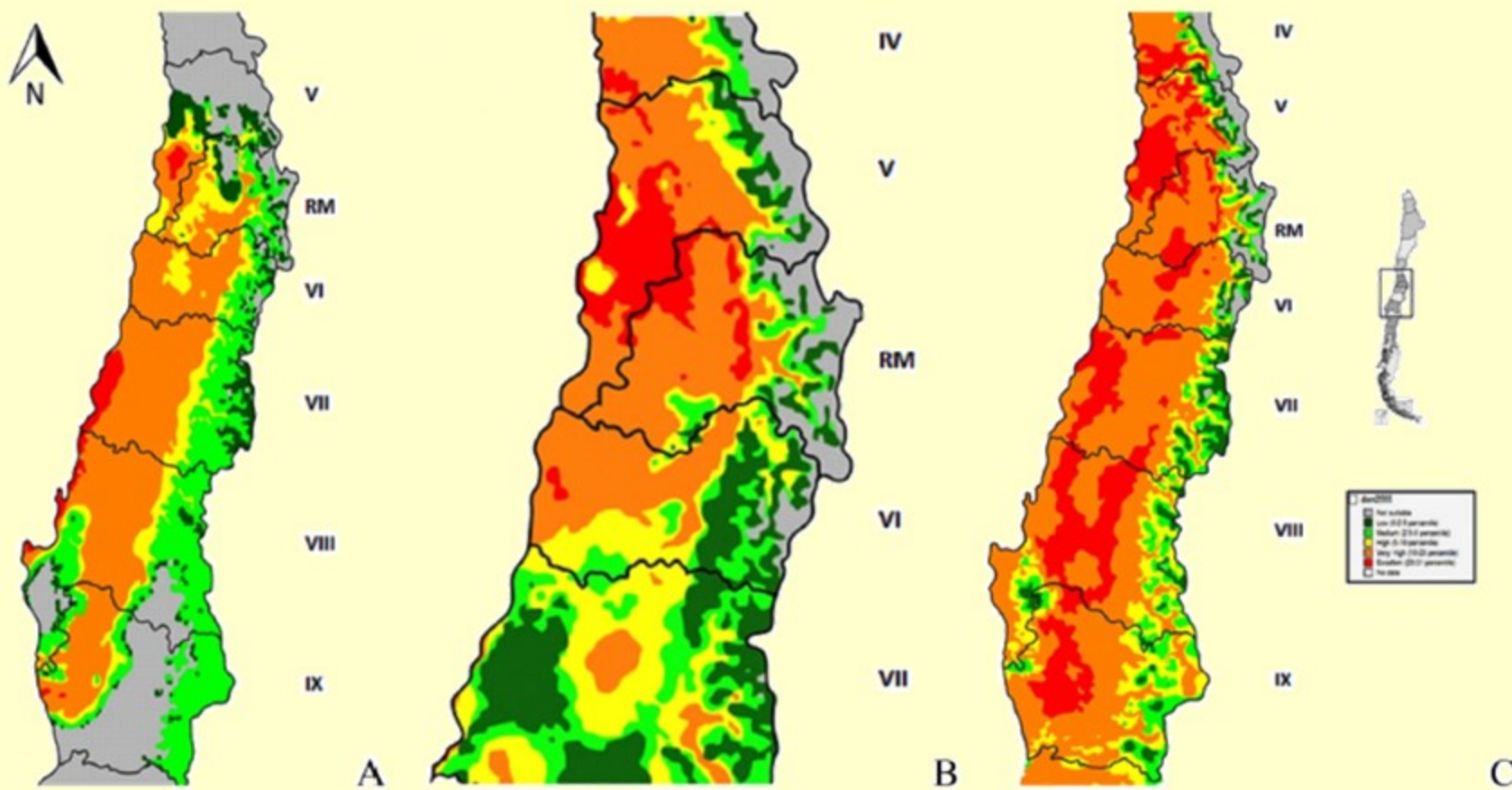
**Keywords:** Disease, Phytoplasma, Climate change, Risk analysis

**Introduction**  
*“Flavescence dorée”* (FD) is a disease associated with the presence of phytoplasmas belonging to the ribosom subgroup 16SrVc and -D (Martínez et al., 2004). This disease causes serious damage to vine systems, inducing severe reductions in the leaf area, sprouts and bunches that do not reach the marketable size. This, in turn, can lead to the death of vines (Moggi et al., 2011). Phytoplasmas associated with FD are transmitted by the跳虫 *Scaphoideus titanus* Bell, 1933 (Homoptera: Cicadellidae: Odontoceratinae). This insect vector is the only one known to be able to efficiently transmit 16SrVc and -D phytoplasmas from one grapevine to another plant (Couch and Thivay, 2014). Despite significant research, FD is widely distributed in Europe, infecting vineyards in

several countries (Dermatotis et al., 2017). The vector entered in Europe during the XIX century carried by the phylloxera root louse *Dactylotum bicolor* (Perreyre and Urtizere, 2008). As the result of a trade agreement between Chile and the European Union, Chilean wine is imported from both FD and its main vector. Due to the economic importance of the grapevine industry in Chile, and considering that the Country imports vintages and other grapevines growing regions around the world from Europe, a risk analysis was performed to evaluate possible Chilean vineyards areas in which FD could settle. The analysis focused on variables relevant to S. titanus biology. Comparative graphic analyses were performed by software simulation that determined the potential distribution of the insect vector in Chile considering current climate conditions and climate change projections.

Corresponding author e-mail: Nicola.Fiore@uchile.cl

Nicolás Quiroga, Dinka Ivlbic, Javiera Lagos, Miguel Saavedra, Alejandra Sandoval-Rodríguez, Rodrigo Infante, Luis Morales and Nicola Fiore



**Figure 3.** Potential space distribution of *S. titanus* in South-Central area of Chile under: A) current climate conditions; B) climate conditions projected by the optimistic climate change scenario; C) climate conditions projected by the pessimistic climate change scenario. Gray: not suitable areas; dark green: low probability of suitability; light green: medium probability of suitability; yellow: high probability of suitability; orange: very high probability of suitability; red: excellent probability of suitability. Chilean regions: IV, Coquimbo; V, Valparaíso; RM, Metropolitana; VI, O'Higgins; VII, Maule; VIII, Biobío; IX, Araucanía.

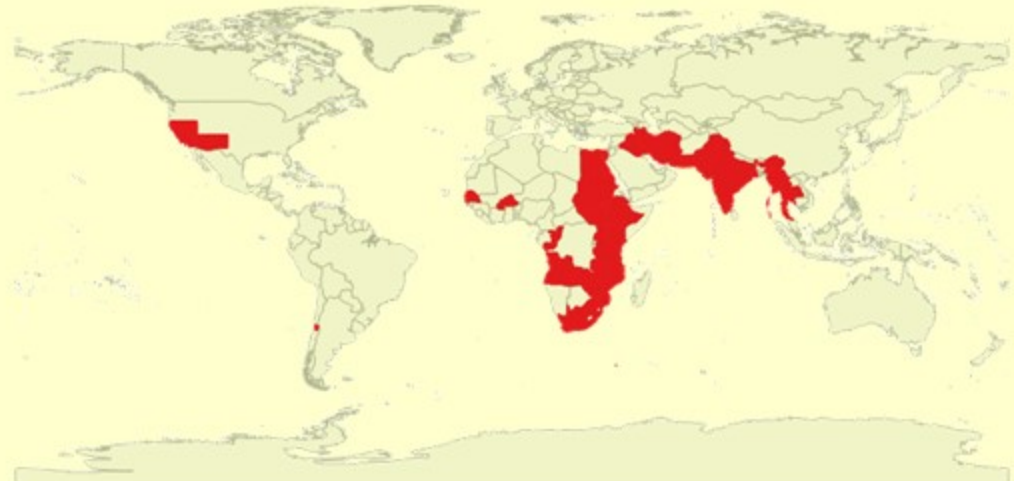
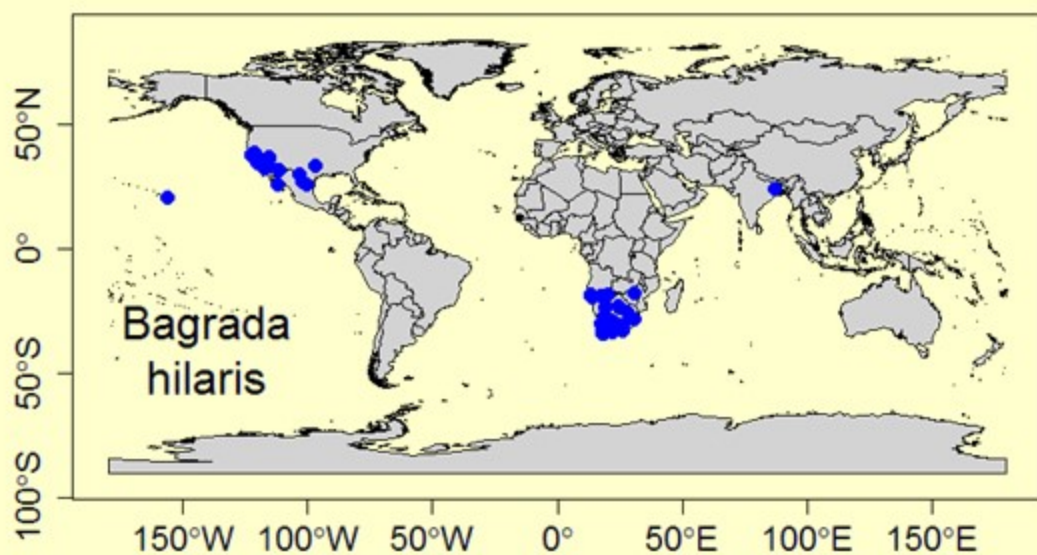
# Modelamiento de Nicho Ecológico para *B. hilaris*

Modelos Utilizados: Maxent, Bioclim y Domain

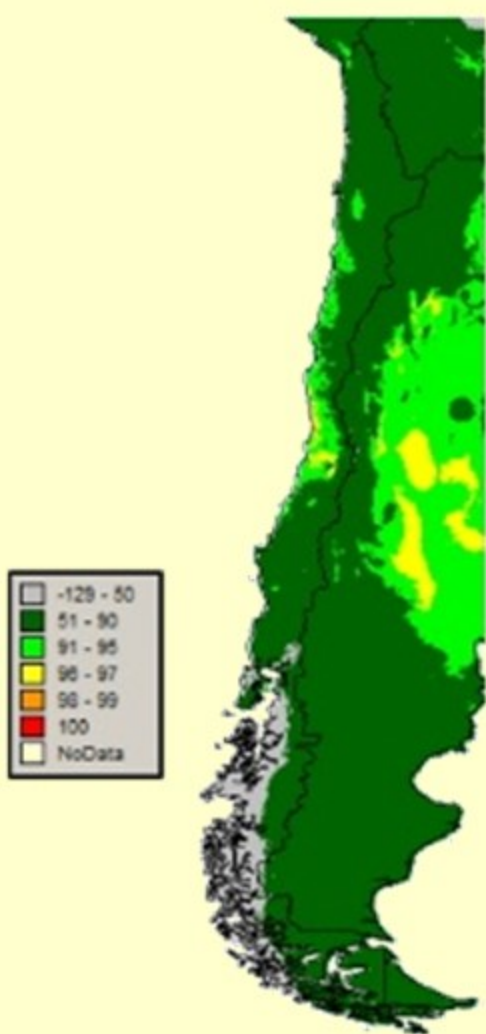
Base Bioclimática: Worldclim (variables bioclimáticas)

Presencias internacionales: Presencias nacionales: Comunas positivas

Modelos de Nicho: Permite determinar que tan idóneo o apropiado es un territorio climáticamente para el establecimiento de un individuo.



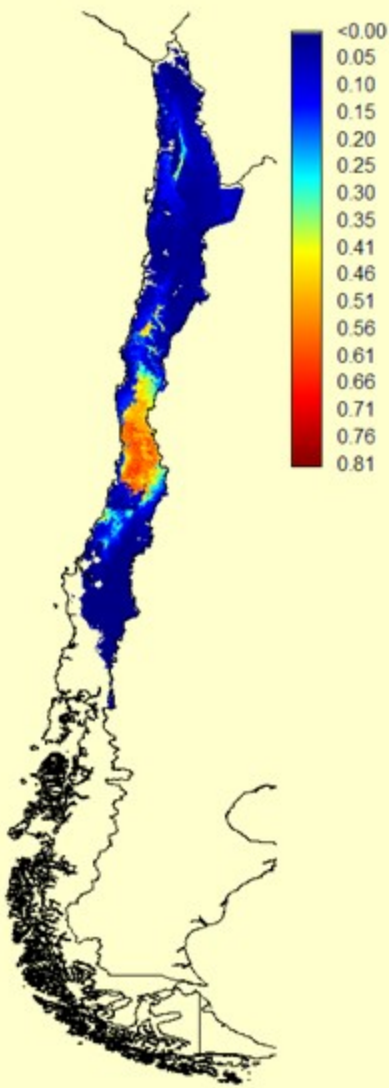
Modelos de Nicho: Permite determinar que tan idóneo es un territorio para el establecimiento de un individuo



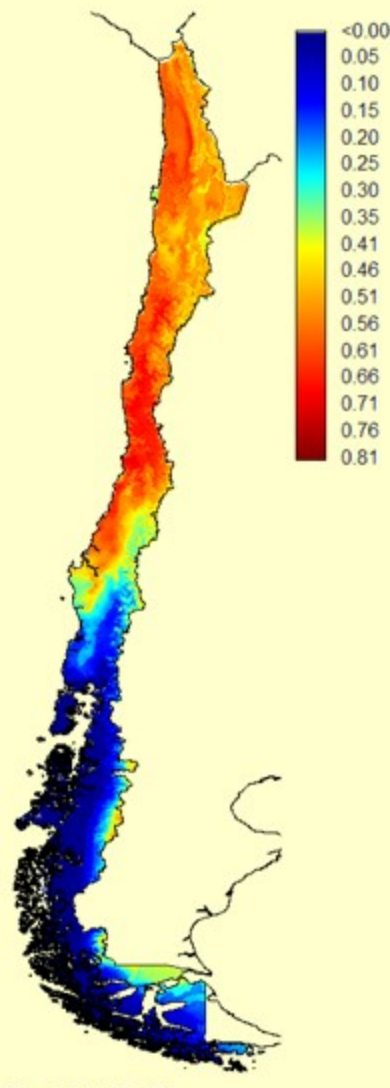
Modelo: DOMAIN



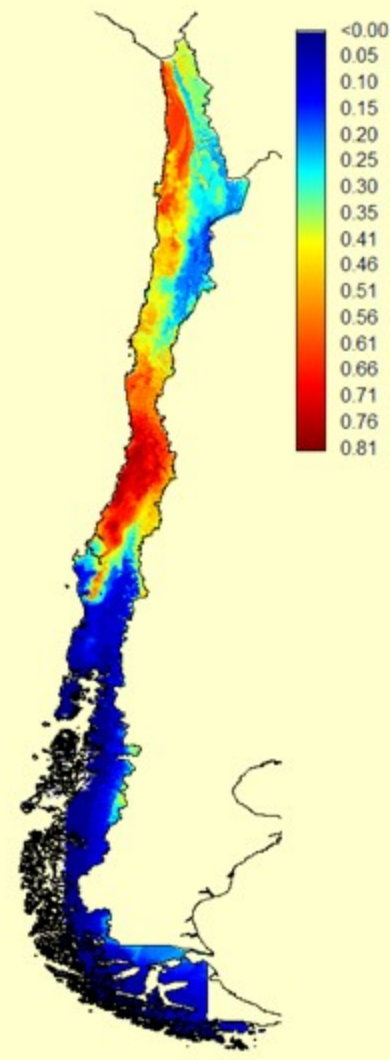
Modelo: BIOCLIM



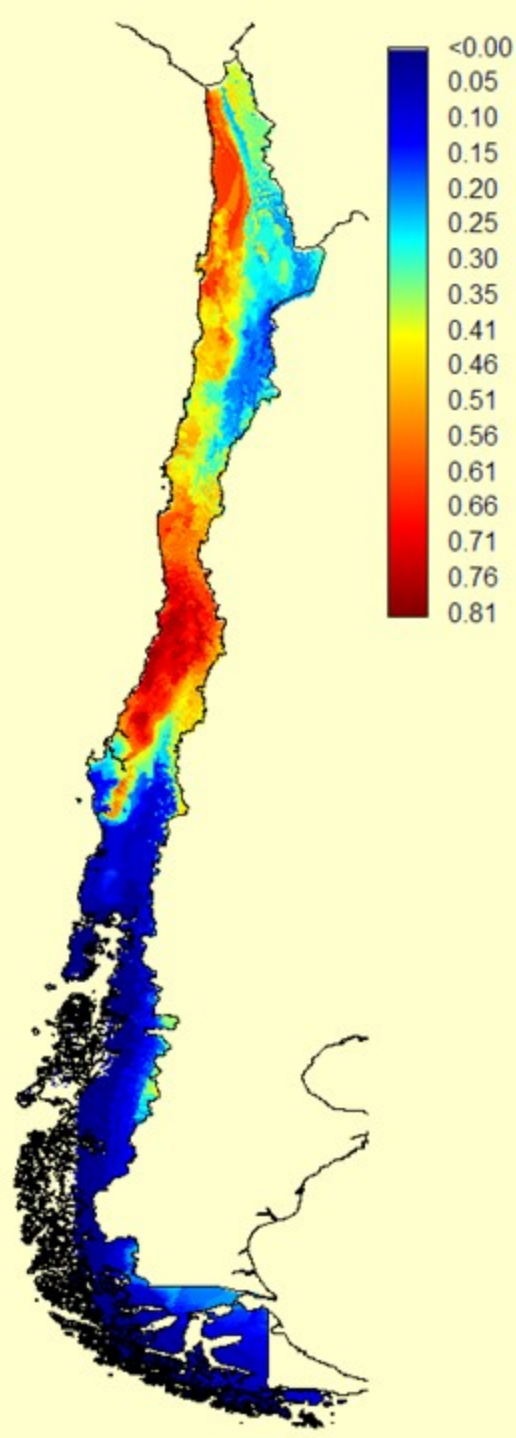
Modelo: MAXENT  
Nº variables Worldclim: 8  
Análisis: Nacional  
Presencias: comunas  
Pseudo presencias: 200  
Pseudo ausencias: 2000  
Replicas: 25

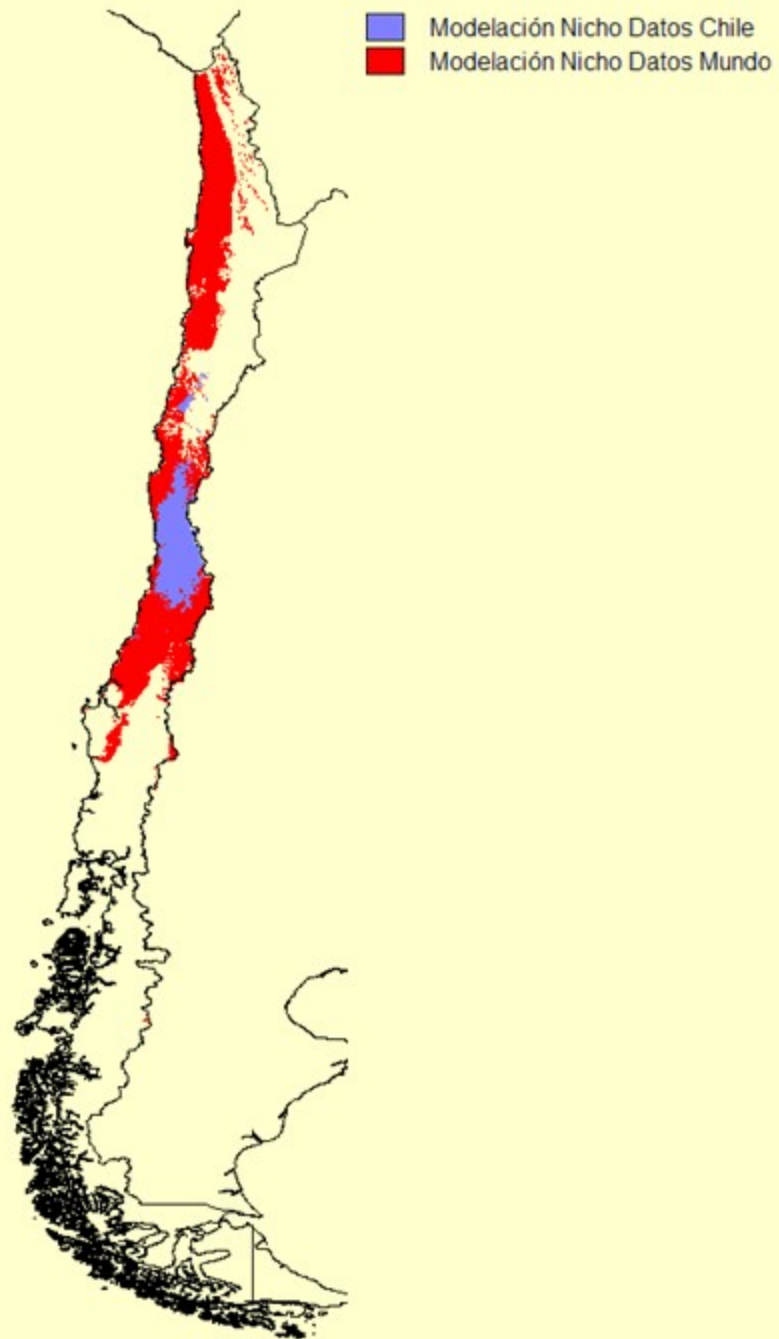
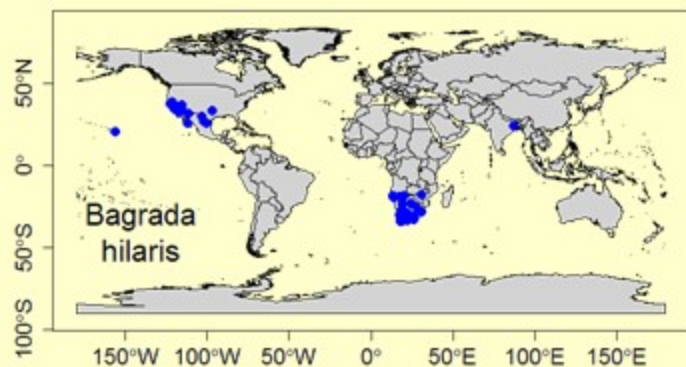


Modelo: MAXENT  
Nº variables Worldclim: 8  
Análisis: Nacional/Inter.  
Presencias: comunas  
Pseudo presencias: 6000  
Pseudo ausencias:  
50,000  
Replicas: 25



Modelo: MAXENT  
Nº variables: 19  
Análisis: Nacional/Inter.  
Presencias: comunas  
Pseudo presencias: 6000  
Pseudo ausencias: 50,000  
Replicas: 25



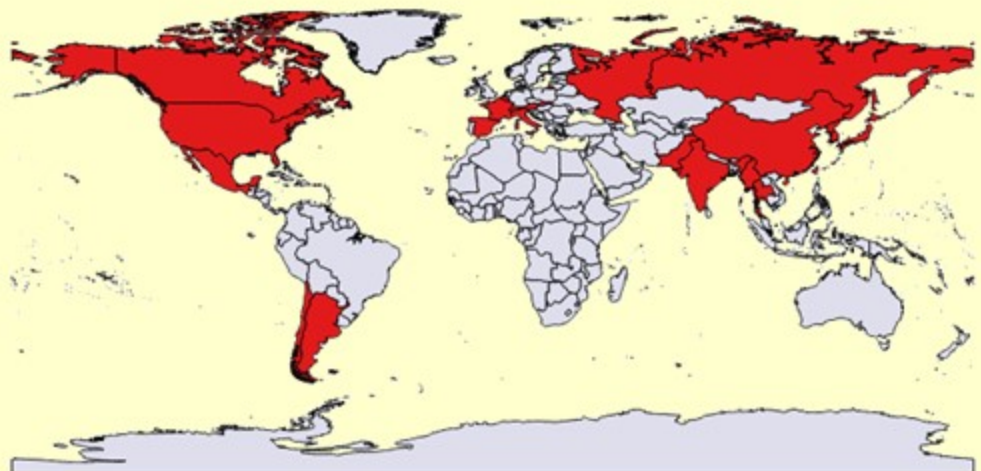
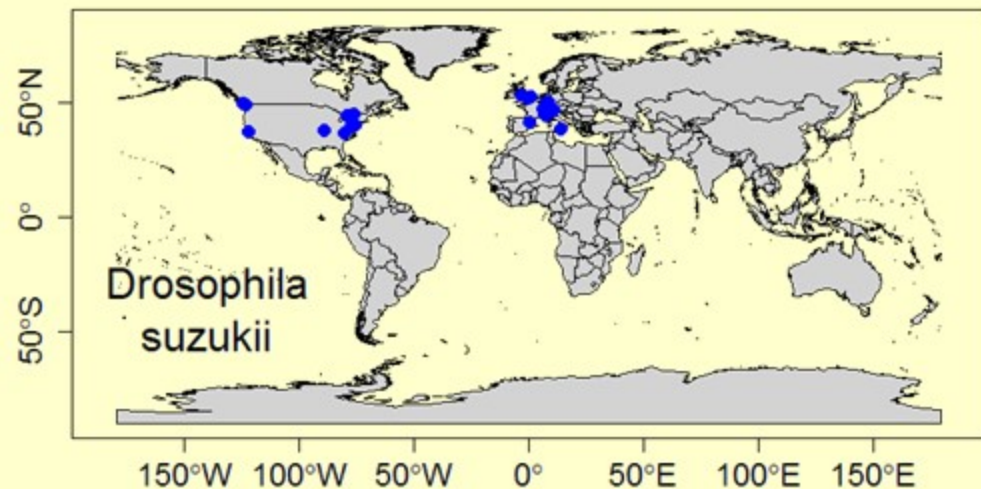


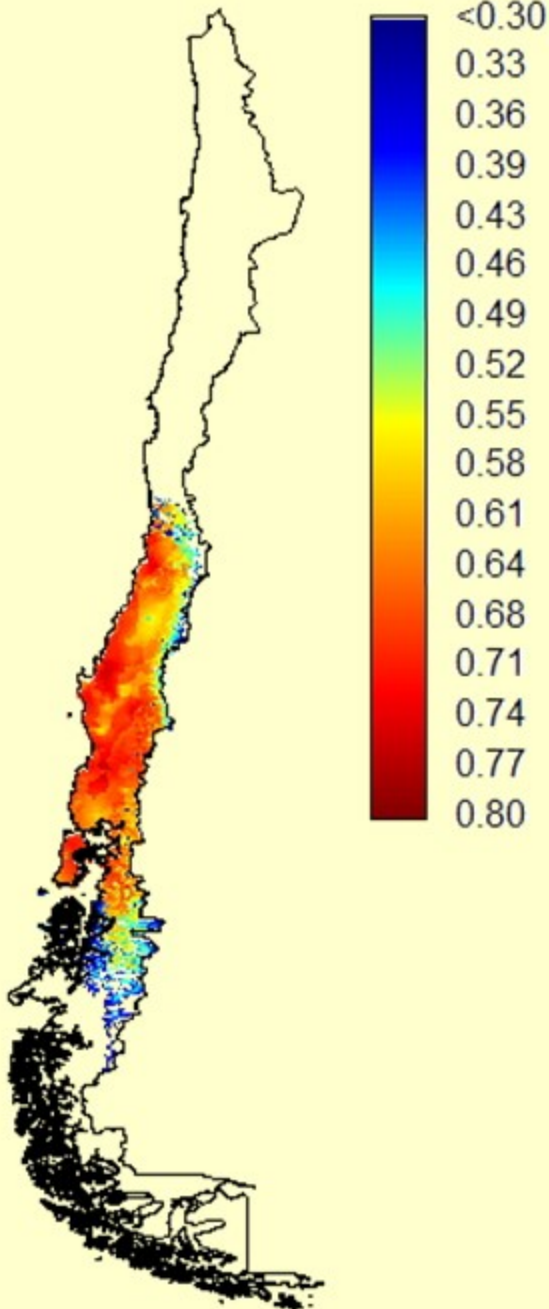
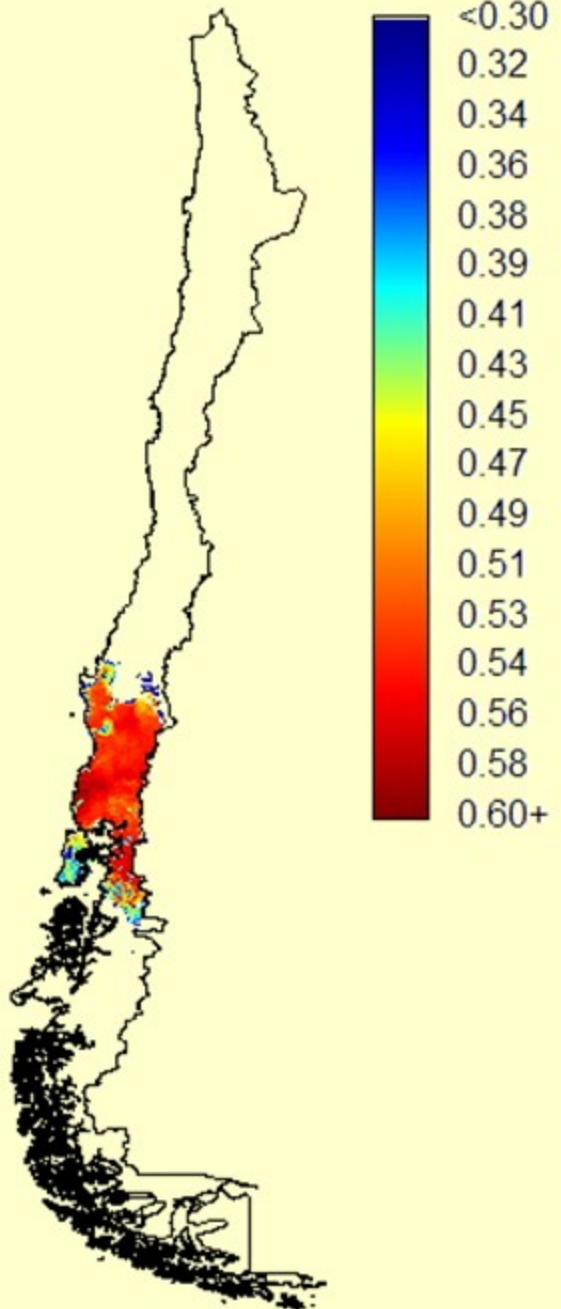
# Modelamiento de Nicho Ecológico para *Drosophila suzukii*

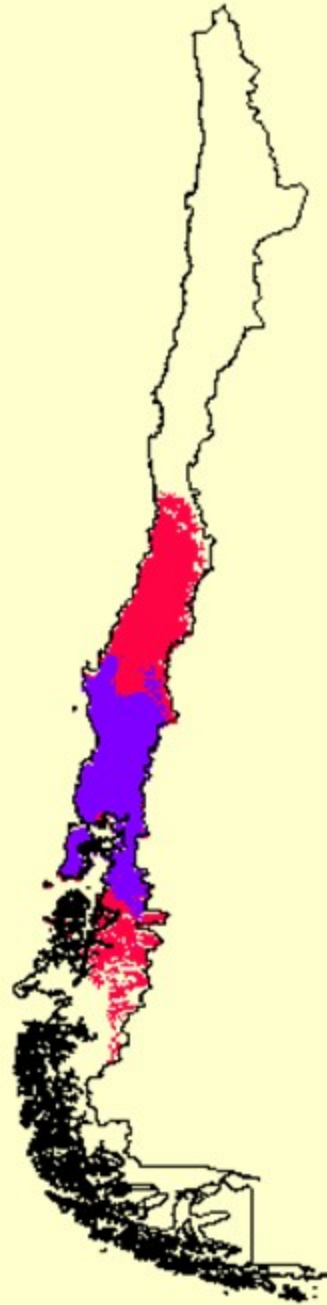
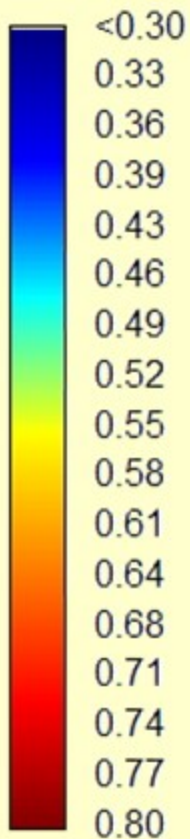
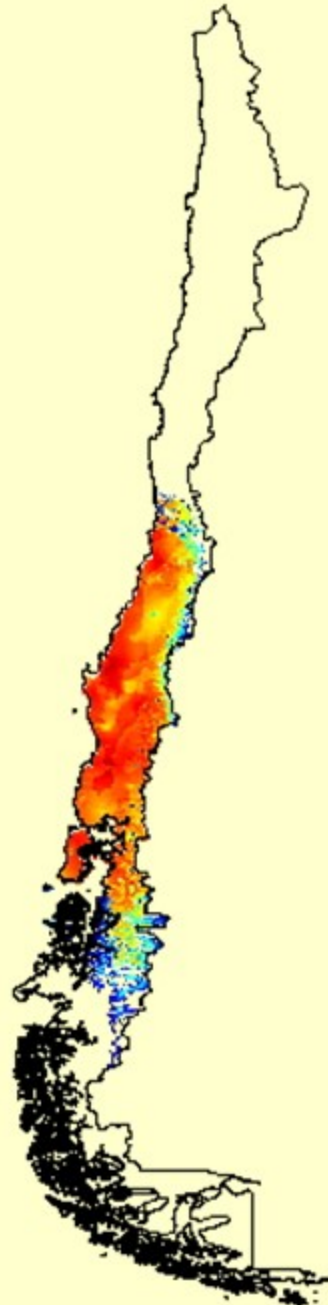
Modelos Utilizados: Maxent, Bioclim y Domain

Base Bioclimática: Worldclim (variables bioclimáticas)

Presencias internacionales: Presencias nacionales: Comunas positivas







Modelación Presencias Mundo  
Modelación Presencias Chile

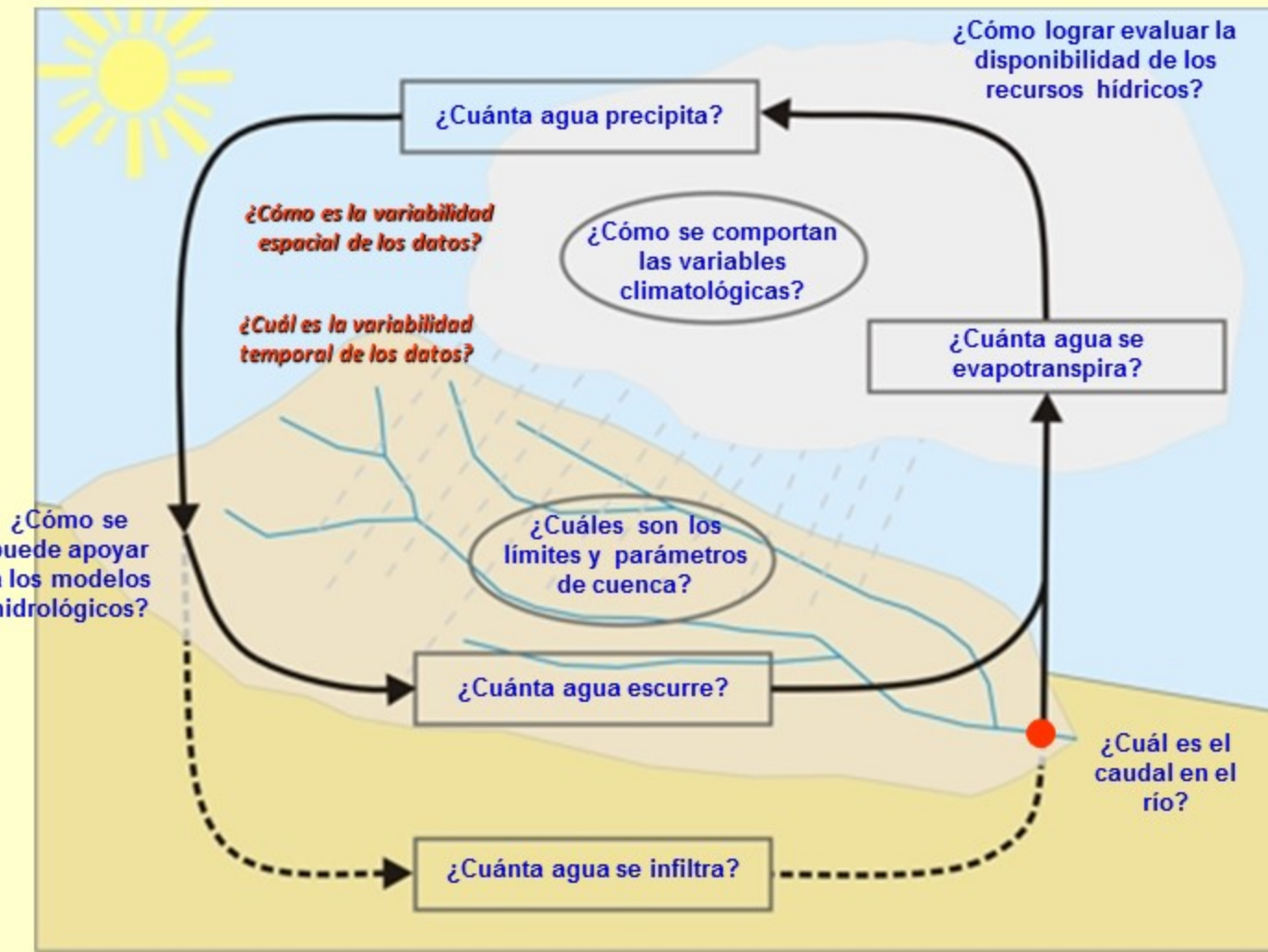
# Modelación Hidrológica con SIG

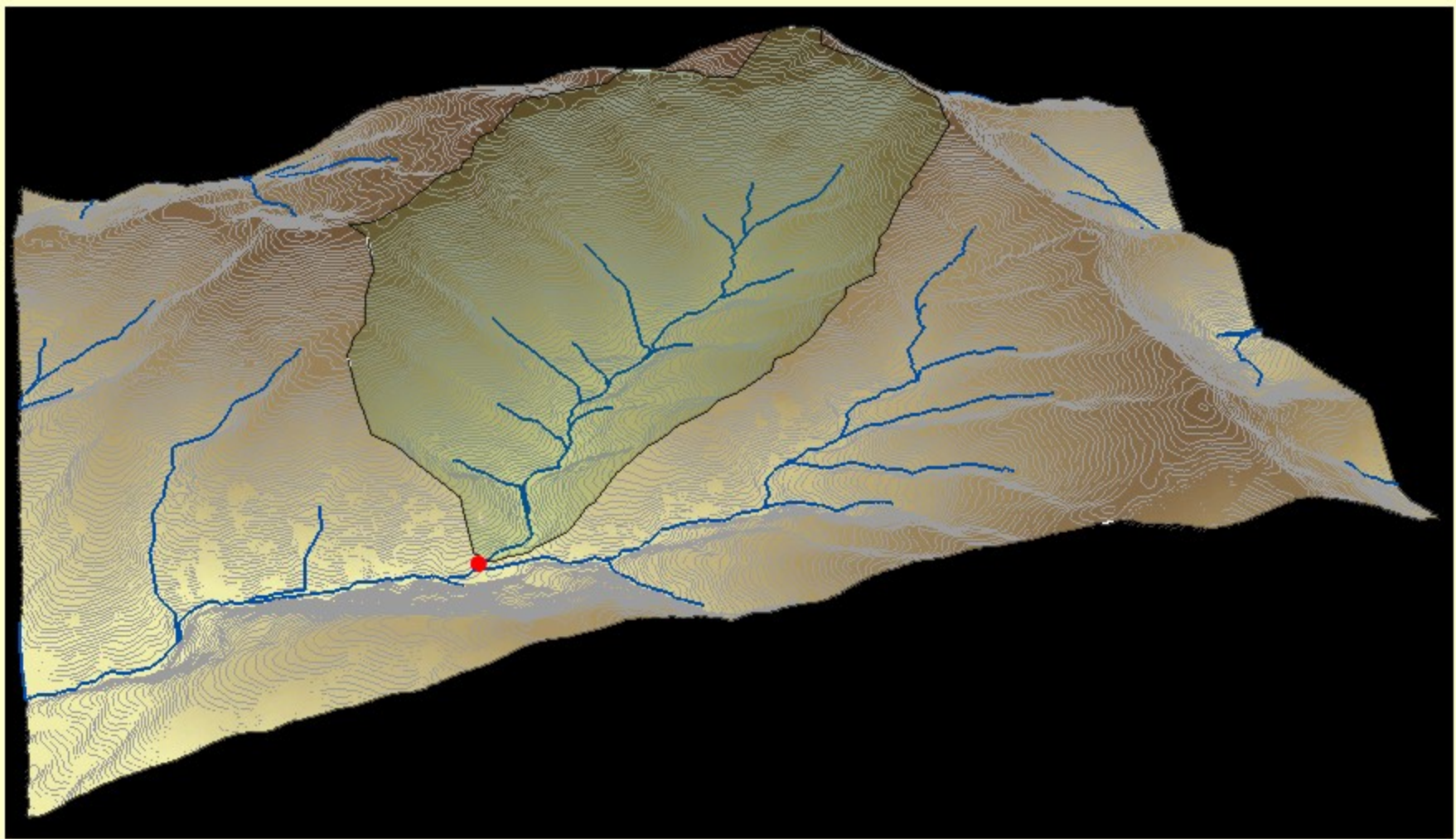
Contribuciones  
en su difusión  
y aplicación

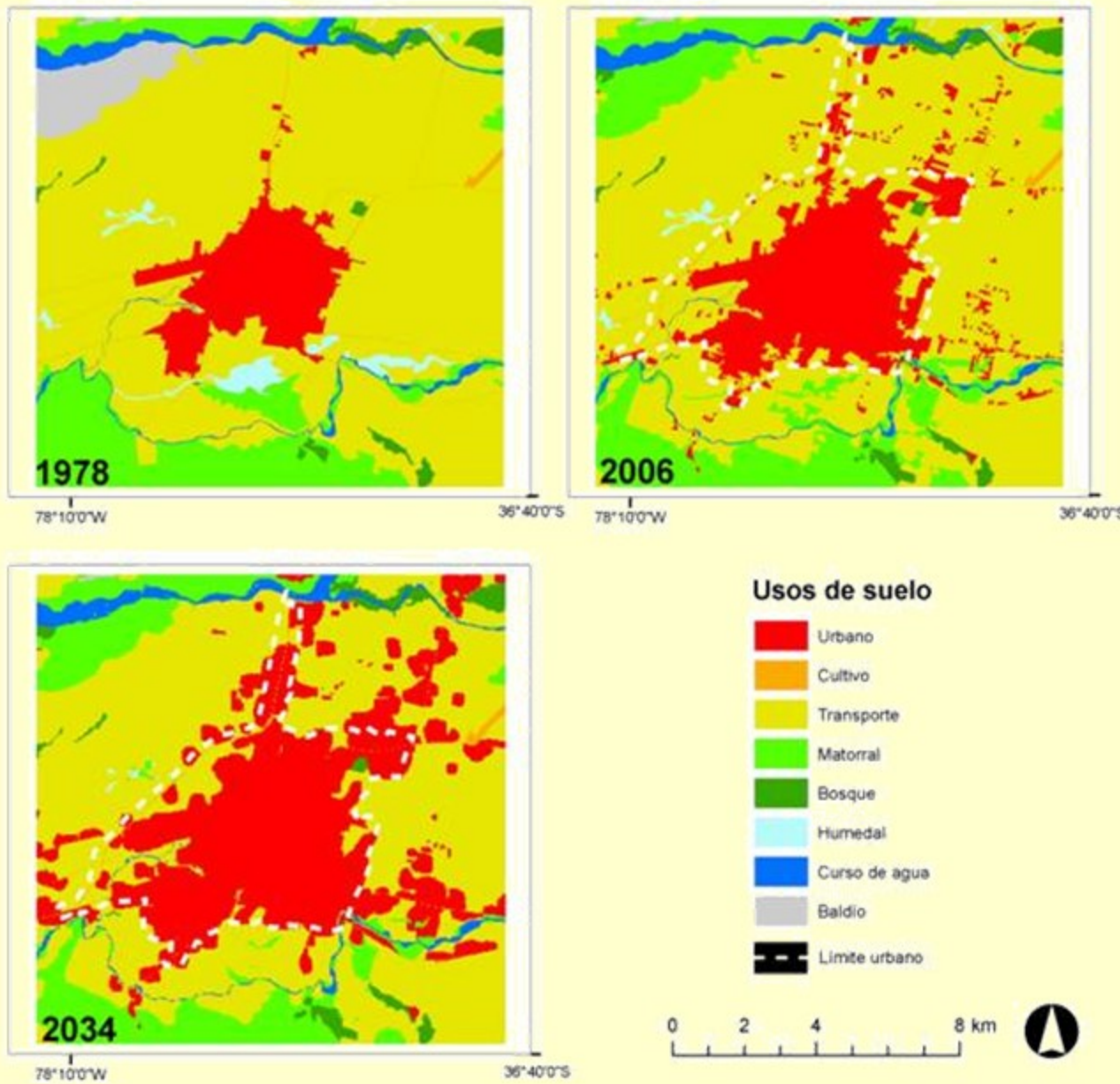


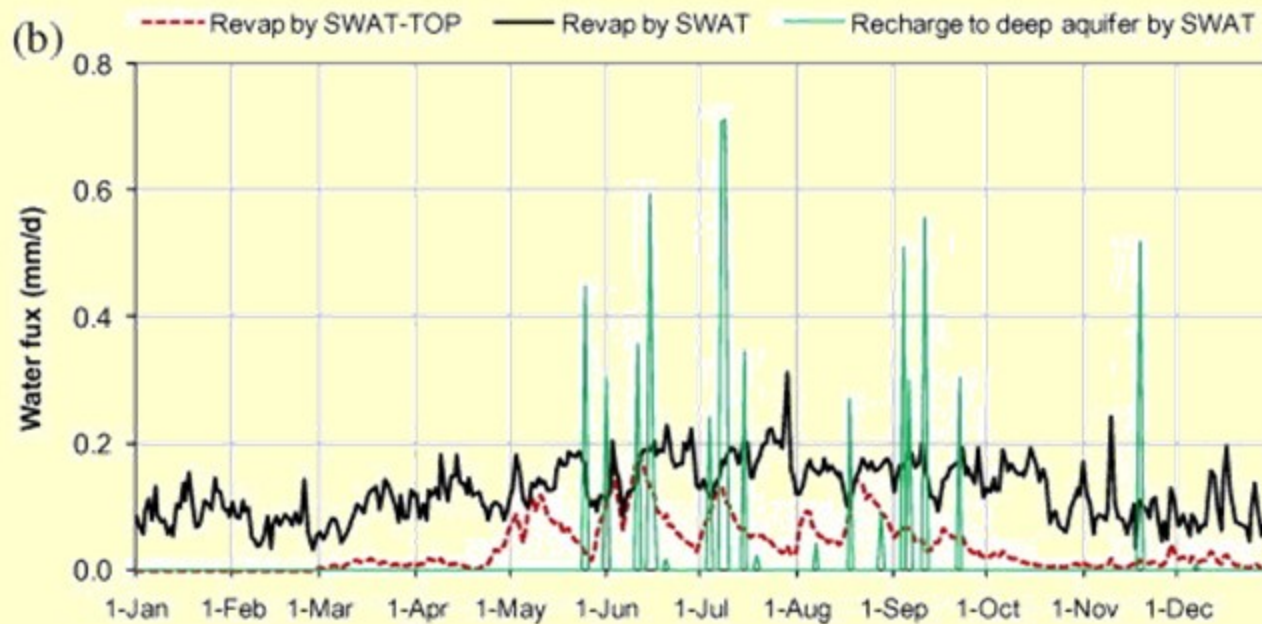
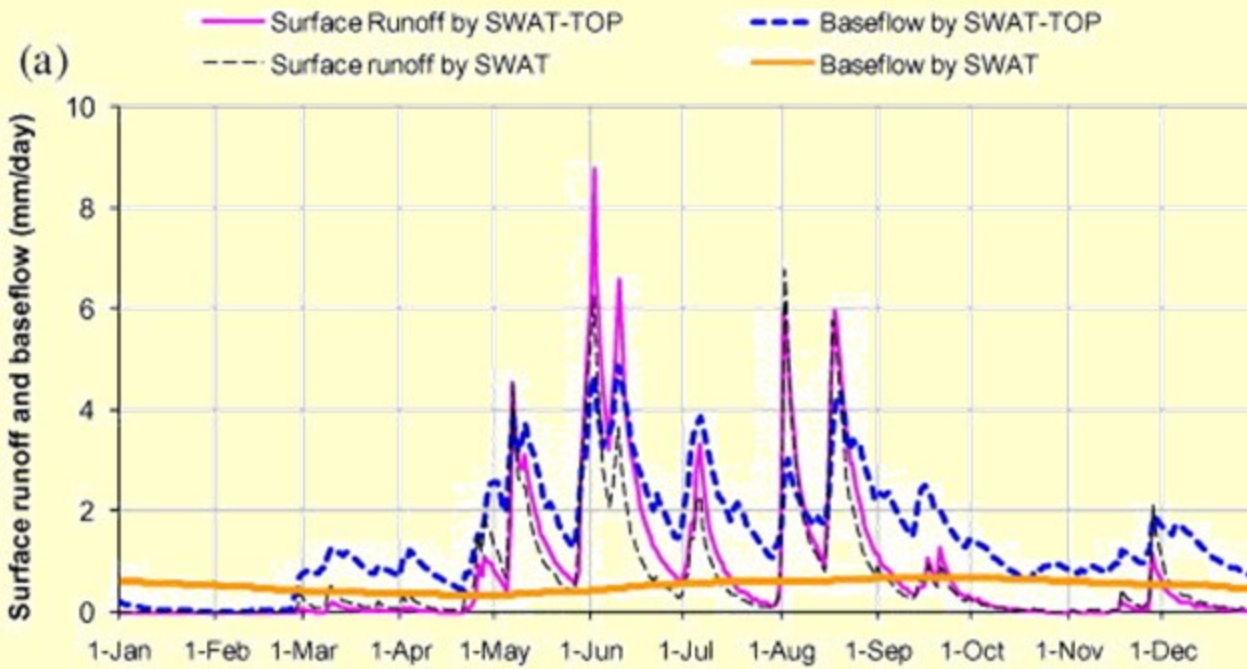
Rosana del Carmen Hernández, Raquel Tardivo,  
Ricardo Hugo Gascón, Carlos Ubaldio Paoli,  
Pablo Alberto Cadík y Carlos Antonio Inglesi Brest

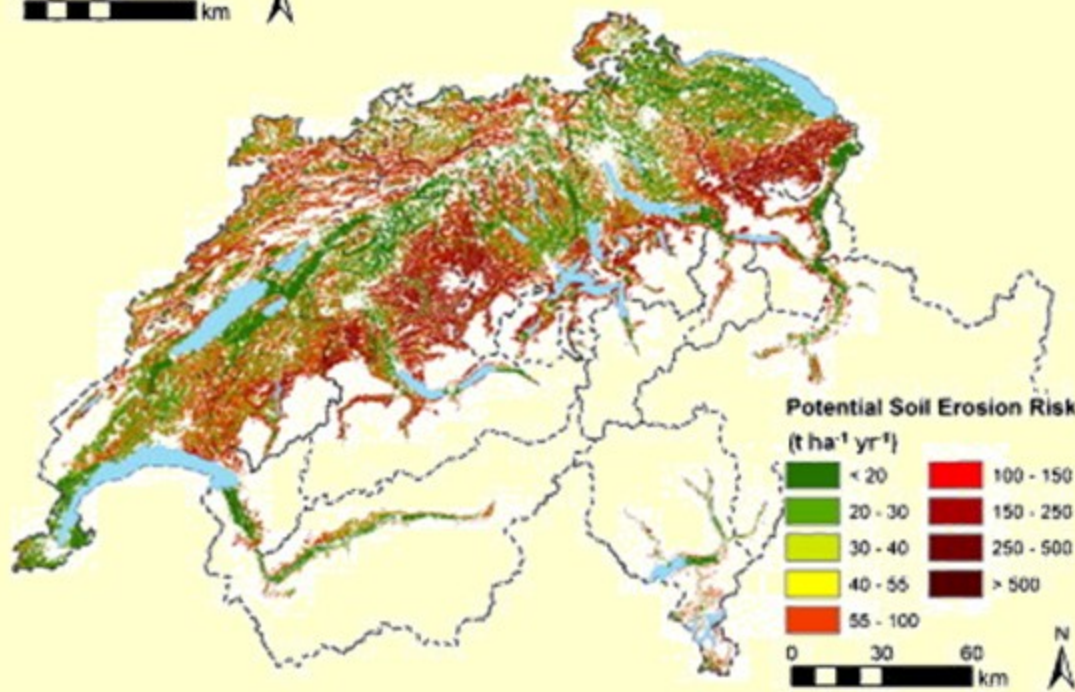
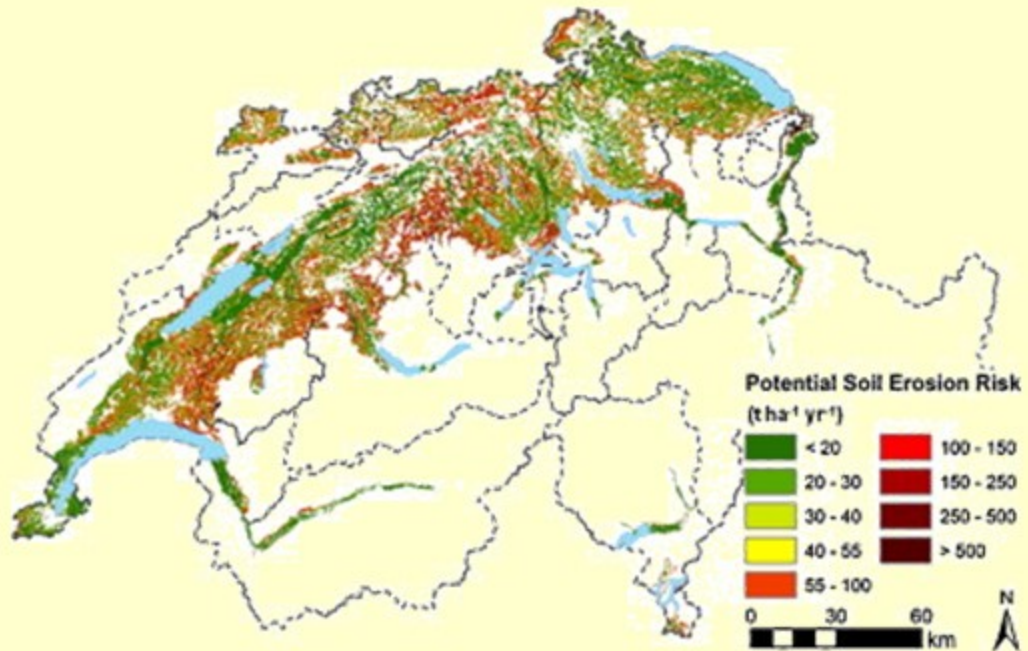
UNIVERSIDAD NACIONAL  
DEL LITORAL



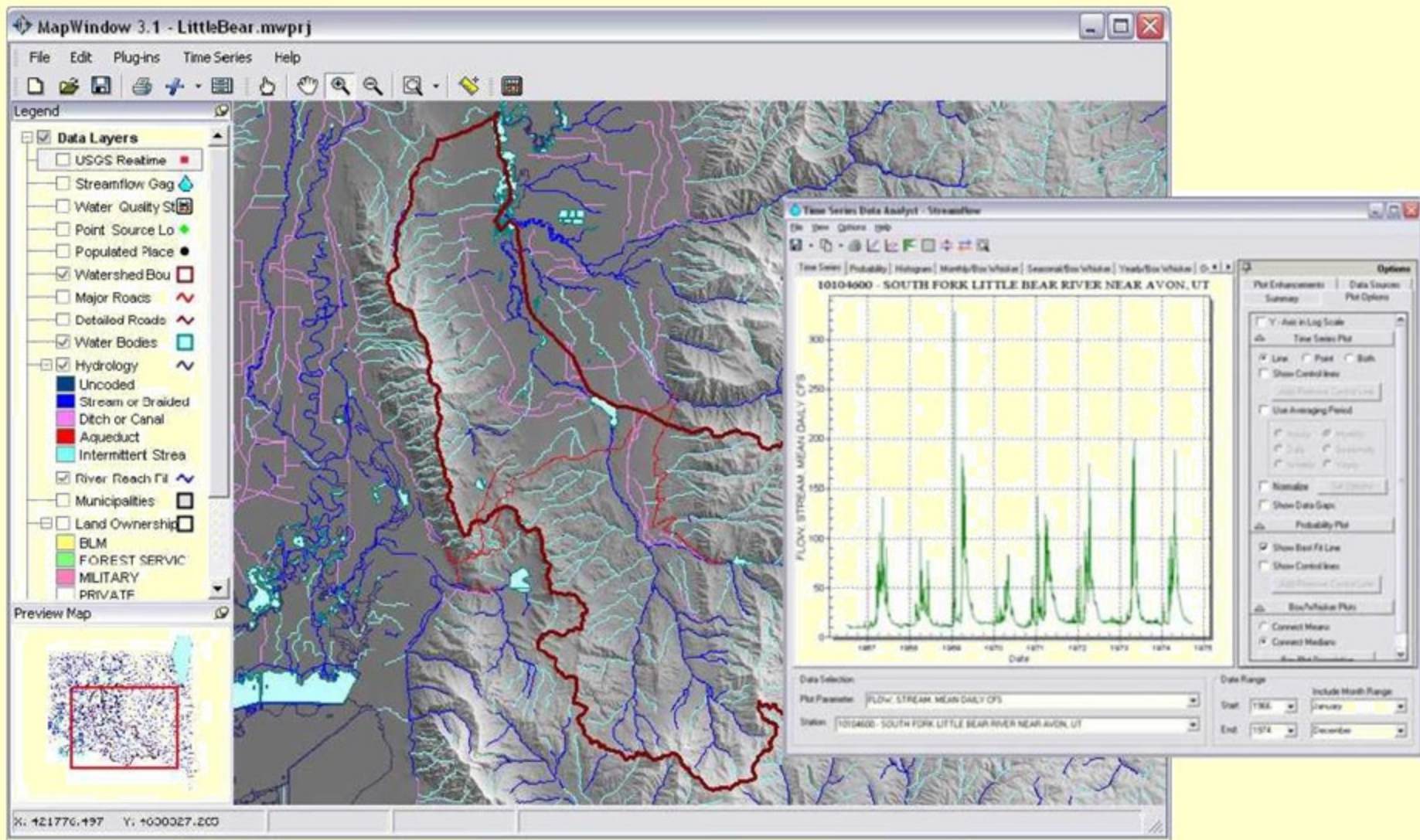


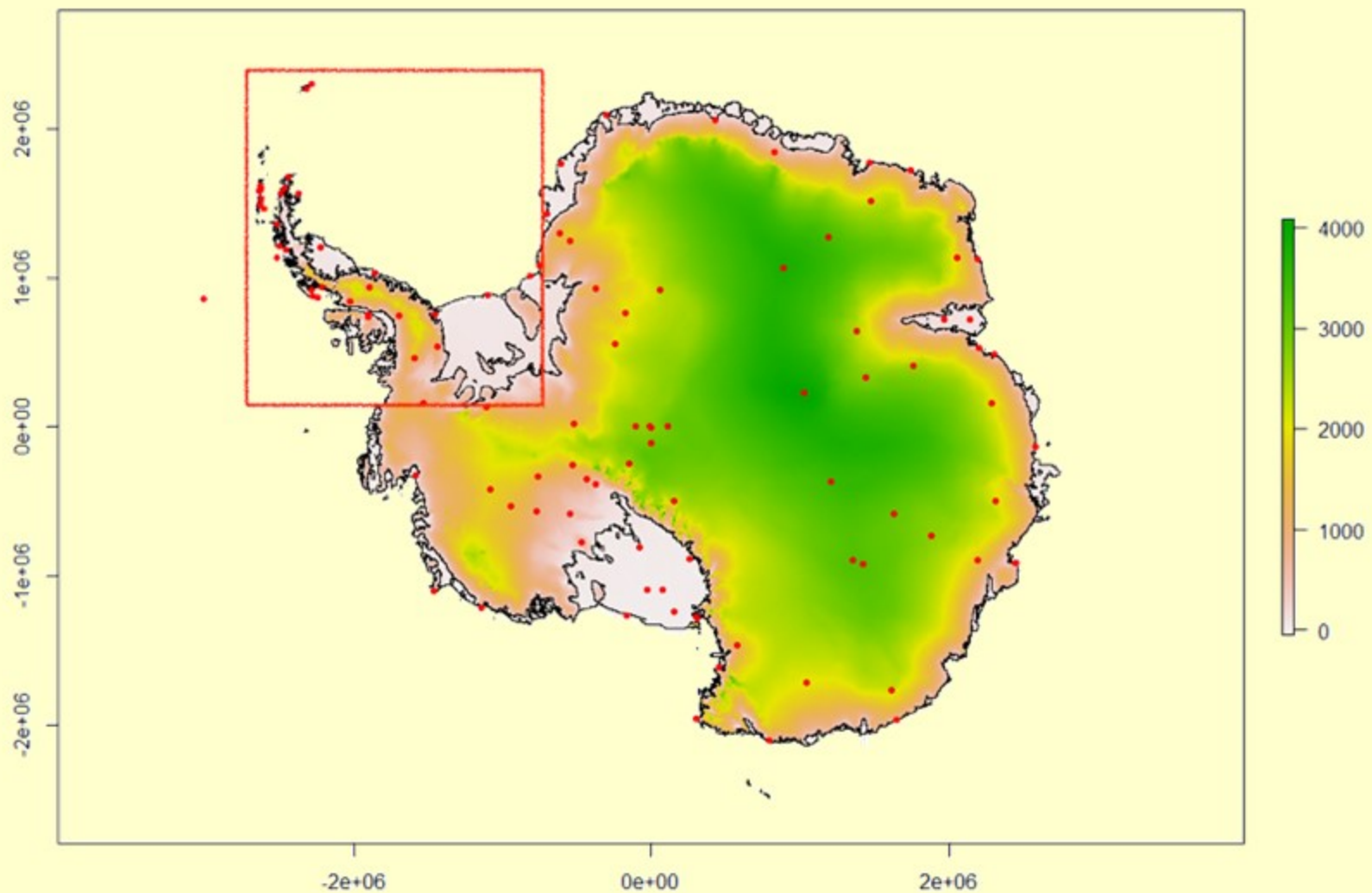


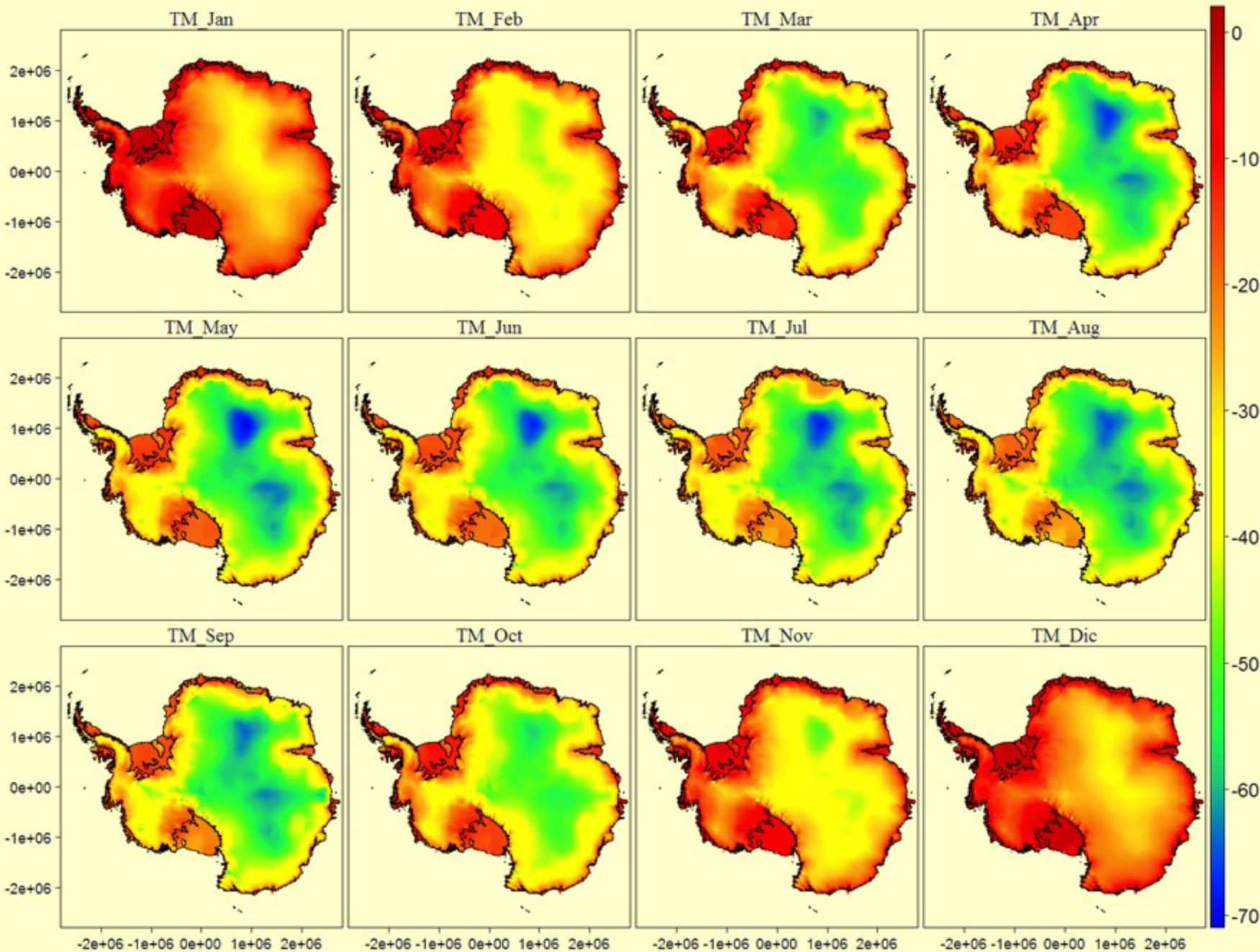




# OpenNSPECT









# GRACIAS !